

การพัฒนาและทดสอบความถูกต้องของวิธีวิเคราะห์ปริมาณสารอะคริลามีด
ในอาหาร โดยใช้วิธีเจือจางไอโซโทปและ
ตรวจวัดด้วย LC-ESI-MS/MS

**DEVELOPMENT AND VALIDATION METHOD FOR DETERMINATION OF
ACRYLAMIDE IN FOODS BY ISOTOPE DILUTION
LIQUID CHROMATOGRAPHY COUPLED WITH
ELECTROSPRAY IONIZATION TANDEM MASS SPECTROMETRY**

พน่าวัน กลึงกล่างดอน
PANAWAN KLUENGKLANGDON

วิทยานิพนธ์นี้เป็นส่วนหนึ่งของการศึกษาตามหลักสูตรปริญญาวิทยาศาสตรมหาบัณฑิต
สาขาวิชาเคมี
บัณฑิตวิทยาลัย
สถาบันเทคโนโลยีพระจอมเกล้าเจ้าคุณทหารลาดกระบัง
พ.ศ.2550

**DEVELOPMENT AND VALIDATION METHOD FOR
DETERMINATION OF ACRYLAMIDE IN FOODS BY ISOTOPE
DILUTION LIQUID CHROMATOGRAPHY COUPLED WITH
ELECTROSPRAY IONIZATION TANDEM MASS SPECTROMETRY**

PANAWAN KLUENGKLANGDON

**A THESIS SUBMITTED IN PARTIAL FULFILLMENT
OF THE REQUIREMENT FOR THE DEGREE OF
MASTER OF SCIENCE IN CHEMISTRY
SCHOOL OF GRADUATE STUDIES
KING MONGKUT'S INSTITUTE OF TECHNOLOGY LADKRABANG**

2007

COPYRIGHT 2007

SCHOOL OF GRADUATE STUDIES

KING MONGKUT'S INSTITUTE OF TECHNOLOGY LADKRABANG

หัวข้อวิทยานิพนธ์	การพัฒนาและทดสอบความถูกต้องของวิธีวิเคราะห์ปริมาณสารอะคริลามิโนด์ในอาหารโดยใช้วิธีเจือจางไอโซโทปและตรวจวัดด้วย LC-ESI-MS/MS
นักศึกษา	นางสาวพนาวัลย์ กลิ่งกลางดอน
รหัสประจำตัว	46063804
ปริญญา	วิทยาศาสตรมหาบัณฑิต
สาขาวิชา	เคมี (เคมีวิเคราะห์)
พ.ศ.	2550
อาจารย์ที่ปรึกษาวิทยานิพนธ์	รศ. อรุณี คงศักดิ์ไพศาล

บทคัดย่อ

สารอะคริลามิโนด์เป็นสารกลุ่ม 2A ที่อาจทำให้เกิดมะเร็งในมนุษย์ได้ ตรวจพบในอาหารที่มีการปรุงด้วยความร้อนสูงโดยเฉพาะอาหารจำพวกครัวโน่ไชเดรต งานวิจัยนี้ได้พัฒนาวิธีวิเคราะห์ปริมาณอะคริลามิโนด์ในอาหารด้วยเครื่อง LC-ESI-MS/MS มีสารเจือไอโซโทป ($\text{^{14}\text{C}}$ -อะคริลามิโนด์) เป็นอินเทอร์นอลสแตนดาร์ดให้สามารถปฏิบัติงานได้ง่าย รวดเร็ว มีความเที่ยงและความแม่นยำสูง โดยใช้สารละลายผสมเมทานอลในน้ำ 70 % โดยปริมาตรเป็นตัวทำละลายที่เหมาะสมในการสกัดอะคริลามิโนด์จากอาหาร (โดยแยกเฉพาะอาหารที่มีปริมาณแป้งมาก) สารละลายตัวอย่างที่สกัดได้ทำให้บริสุทธิ์ด้วยสารละลาย carrez I และ carrez II เที่ยงเป็นเวลา 30 นาที จากนั้นกำจัดชั้นเมทานอลโดยระเหยแห้ง เก็บสารอะคริลามิโนด์ในชั้นน้ำและวิเคราะห์ปริมาณด้วยเครื่อง LC-ESI-MS/MS ขั้นตอนการแยกโครงภาพใช้คอลัมน์ Luna Su C18 ขนาดอนุภาคน 100 อั้งสตอรอม ขนาด 2.00 x 250 มิลลิเมตร ทดสอบความถูกต้องของวิธีวิเคราะห์ในอาหาร เมื่อเติมสารละลายน้ำตรฐานที่ระดับความเข้มข้น 20-800 ไมโครกรัมต่อกิโลกรัม ในแม่ทริกซ์ต่างๆ 7 ชนิด คือ ข้าว ข้าวโพด มันฝรั่ง ถั่ว ขมนปัง ผลไม้ และกาแฟ พนว่าเบอร์เซ็นต์คืนกลับและค่าเบี่ยงเบนมาตรฐานสัมพัทธ์ มีค่าอยู่ระหว่างร้อยละ 85.0-106.1 และต่ำกว่าร้อยละ 11 ตามลำดับ ความเที่ยงในการทวนซ้ำได้ (repeatability) และทำซ้ำได้ (reproducibility) มีค่าเบี่ยงเบนมาตรฐานสัมพัทธ์ ต่ำกว่าร้อยละ 10 นิดจำกัดการตรวจพบของทุกแม่ทริกซ์มีค่าน้อยกว่า 14 ไมโครกรัมต่อกิโลกรัม และนิดจำกัดการวิเคราะห์ปริมาณของทุกแม่ทริกซ์ มีค่า 20 ไมโครกรัมต่อกิโลกรัม ยกเว้นถ้าได้ 30 ไมโครกรัมต่อกิโลกรัม ความเป็นเส้นตรงของกราฟมาตรฐานมีค่าสัมประสิทธิ์สหสัมพันธ์ (r) มากกว่า 0.999 ที่ระดับความเข้มข้น 2-80 ไมโครกรัมต่อกิโลกรัม ตรวจวิเคราะห์ปริมาณการปนเปื้อนสารอะคริลามิโนด์ในอาหารต่างๆทั้งหมด 161 ตัวอย่าง มีการปนเปื้อนอยู่ระหว่าง ไม่พน (น้อยกว่านิดจำกัดการตรวจพบ) ถึง 3,466 ไมโครกรัมต่อกิโลกรัม

Thesis	Development and Validation Method for Determination of Acrylamide in Foods by Isotope Dilution Liquid Chromatography Coupled with Electrospray Ionization Tandem Mass Spectrometry
Student	Miss. Panawan Kluengklangdon
Student ID	46063804
Degree	Master of Science
Programme	Chemistry (Analytical Chemistry)
Year	2007
Thesis Advisor	Assoc. Prof Arunee Kongsakphaisal

ABSTRACT

Acrylamide have been found in foods cooked at high temperature, especially in carbohydrate-rich foods. It is classified as “probable human carcinogen” (group 2A). A simple and rapid method was developed for the quantitation of acrylamide in various food products. The method involved spiking the labeled internal standard ($^2\text{d}_3$ -acrylamide) onto food products, extracting with 70 %(*v/v*) methanol in water (especially for starchy food), purifying the sample solution with carrez I and II solution, shaking of sample for 30 min, evaporated to dryness and dissolved in water. The final extract was analyzed by LC-ESI-MS/MS. The chromatographic separation was performed on Luna Su C18 column (2.00 mm. x 250 mm., 100 °A). In-house validation data in 7 different food matrixes (rice, corn, potato, peanut, bread, fruit and coffee) showed good results with high precision and accuracy. Recoveries of acrylamide from sample spiked at level 20- 800 $\mu\text{g}/\text{kg}$ ranged between 85.0 and 106.1 % with relative standard deviation (RSD) of less than 11 %. Excellent results were obtained for intra-day repeatability and inter-day reproducibility (%RSD < 10). The limit of detection (LOD) was less than 14 $\mu\text{g}/\text{kg}$, the limit of quantitation (LOQ) was 20 $\mu\text{g}/\text{kg}$ for all matrixes except the peanut was 30 $\mu\text{g}/\text{kg}$ and correlation coefficients (*r*) for calibration curve were typically better than 0.999 at level 2-80 $\mu\text{g}/\text{l}$. The analysis of 161 processed food samples that acrylamide levels ranged between ND (< LOD) to 3,466 $\mu\text{g}/\text{kg}$.

กิตติกรรมประกาศ

วิทยานิพนธ์ฉบับนี้สำเร็จได้ด้วยคำแนะนำและคำปรึกษาจาก รศ. อรุณี คงศักดิ์ไพศาล ชั่งเป็นอาจารย์ผู้ควบคุมวิทยานิพนธ์ รศ. ดร. สุวรรณ ไชยสิทธิ์ พศ. ดร. วินัย นุตมาภูล และ ดร. วิบูลย์ ประดิษฐ์เวียงคำ คณะกรรมการสอบวิทยานิพนธ์ ข้าพเจ้ารู้สึกซาบซึ้งในความอนุเคราะห์จากท่านอาจารย์ทั้งสี่ท่านและขอขอบพระคุณเป็นอย่างสูง

ขอกราบขอบพระคุณคณาจารย์ภาควิชาเคมี คณะวิทยาศาสตร์ สถาบันเทคโนโลยีโลหะและอุตสาหกรรมเกล้าเจ้าคุณทหารลาດกระบัง ทุกๆ ท่านที่ได้ประสิทธิ์ประสาทวิชาให้กับข้าพเจ้า

ขอกราบขอบพระคุณผู้บริหารและเจ้าหน้าที่สำนักคุณภาพและความปลอดภัยอาหาร กรมวิทยาศาสตร์การแพทย์ นางสาวจันทร์ฉาย แจ้งสว่าง (ผู้อำนวยการสำนักฯ) นายประกาย บริญูรัตน์ (นักวิทยาศาสตร์การแพทย์ ๑๗๗.) นางลัดดาวัลย์ ใจดี ใจดี (หัวหน้างานสารบัญและสารพิมพ์) นางสาวมยุรี อุรารุ่ง ใจดี และนางลัดดาวัลย์ ใจดี (หัวหน้างานสารบัญและสารพิมพ์) ที่ให้การสนับสนุนและดำเนินงานวิจัยครั้งนี้

ขอขอบคุณเพื่อนๆ สถาบันเทคโนโลยีโลหะและอุตสาหกรรมเกล้าเจ้าคุณทหารลาดกระบัง ทุกคนที่ให้คำแนะนำด้วย ตลอดจนให้กำลังใจเสมอมา

ขอขอบคุณบัณฑิตศึกษาและบัณฑิตวิทยาลัยคณะวิทยาศาสตร์ที่ให้ความช่วยเหลือ ในเรื่องต่างๆ

สุดท้ายนี้ข้าพเจ้าขอกราบขอบพระคุณ คุณพ่อวิจักษณ์ กลึงกลางดอน คุณแม่เทวี กลึงกลางดอน คุณป้าสมใจ โคงสันเทียะและนายธนิต กลึงกลางดอน ที่เป็นกำลังใจ และให้การสนับสนุนในทุกเรื่องๆ ทำให้ข้าพเจ้าสามารถทำวิทยานิพนธ์ฉบับนี้สำเร็จลุล่วงด้วยดี

คุณค่าและประโยชน์อันพึงมากกวิทยานิพนธ์ฉบับนี้ ข้าพเจ้าขอขอบคุณแด่ผู้มีพระคุณ ทุกท่าน

พนาวัลย์ กลึงกลางดอน

สารบัญ

	หน้า
บทคัดย่อภาษาไทย.....	I
บทคัดย่อภาษาอังกฤษ.....	II
กิตติกรรมประกาศ.....	III
สารบัญ.....	IV
สารบัญตาราง.....	VIII
สารบัญรูป.....	X
รายการคำย่อและสัญลักษณ์.....	XII
บทที่ 1 บทนำ.....	1
1.1 ความสำคัญของวิทยานิพนธ์.....	1
1.2 วัตถุประสงค์ของงานวิจัย.....	4
1.3 ขอบเขตของงานวิจัย.....	4
1.4 ประโยชน์ที่คาดว่าจะได้รับ.....	4
บทที่ 2 ทฤษฎีและงานวิจัยที่เกี่ยวข้อง.....	5
2.1 อะคริลาไมด์.....	5
2.1.1 คุณสมบัติทางกายภาพและทางเคมีของสารอะคริลาไมด์.....	5
2.1.2 ความเป็นพิษของสารอะคริลาไมด์ (Toxicology of acrylamide).....	6
2.1.3 การเกิดสารอะคริลาไมด์ในอาหาร (Formation of acrylamide).....	7
2.1.4 ปริมาณสารอะคริลาไมด์ที่มีในอาหารและปริมาณที่คนได้รับจาก อาหาร.....	12
2.2 โคมากอทกราฟีของเหลวแมสสเปกโทรเมทรี (Liquid Chromatography Mass Spectrometry, LC-MS).....	14
2.2.1 หลักการพื้นฐาน.....	14
2.2.2 แมสสเปกโทรมิเตอร์ (Mass spectrometer, MS).....	15
2.2.3 เทคโนโลยีของอินเตอร์เฟส (Interface Technology).....	16
2.2.4 แมสสเปกโทรมิเตอร์แบบสามคูลูโพล (Triple Quadrupole Mass Spectrometer).....	29
2.3 เทคนิคการเจือจางไอโซotope (Isotope dilution techniques).....	34

สารบัญ (ต่อ)

	หน้า
2.4 งานวิจัยที่เกี่ยวข้อง.....	35
บทที่ 3 การดำเนินงานวิจัย.....	45
3.1 สารเคมีและอุปกรณ์สำหรับงานวิจัย.....	45
3.1.1 สารมาตรฐานและวัสดุอ้างอิงมาตรฐาน.....	45
3.1.2 สารเคมี.....	45
3.1.3 เครื่องมือและอุปกรณ์.....	45
3.2 ขั้นตอนดำเนินการวิจัย.....	46
3.2.1 พัฒนาวิธีวิเคราะห์สารอะคริลามิค์ในอาหาร โดยใช้เครื่อง LC-ESI-MS/MS.....	46
3.2.2 ทดสอบความถูกต้องของวิธีวิเคราะห์หาปริมาณอะคริลามิค์ในอาหารแม่ทริกต่างๆด้วยวิธีวิเคราะห์ที่พัฒนาขึ้น.....	46
3.2.3 วิเคราะห์ปริมาณการปนเปื้อนสารอะคริลามิค์ในอาหาร.....	46
3.2.4 สรุปรวมรวมและประเมินผลการศึกษา.....	46
3.3 วิธีดำเนินการ.....	47
3.3.1 การเตรียมสารละลายมาตรฐาน.....	47
3.3.2 การเตรียมสารละลายมาตรฐานสำหรับสร้างกราฟมาตรฐาน (calibration standard solution).....	48
3.3.3 การเตรียมสารละลายเคมี.....	48
3.3.4 ศึกษาการแยกสิ่งรบกวน (interference) ในสารละลายตัวอย่างออกจากสารที่สนใจเมื่อตรวจวิเคราะห์ด้วย LC-ESI-MS/MS.....	49
3.3.5 ศึกษาตัวทำละลายและสภาพที่เหมาะสมสำหรับใช้สักดسارอะคริลามิค์ในอาหาร (โดยเฉพาะอาหารที่มีปริมาณแป้งมาก).....	50
3.3.6 ทดสอบความถูกต้องของวิธีวิเคราะห์.....	51
3.3.7 วิเคราะห์ปริมาณการปนเปื้อนสารอะคริลามิค์ในอาหาร.....	54
3.4 การวิเคราะห์ปริมาณสารอะคริลามิค์ในตัวอย่างอาหาร.....	54
3.4.1 ขั้นตอนการเตรียมตัวอย่าง.....	54

สารบัญ (ต่อ)

	หน้า
3.4.2 สภาวะที่เหมาะสมของโครงมาโทกราฟของเหลวแทนเติมแมสสเปก- โพรเมตอร์ (LC-MS/MS) สำหรับวิเคราะห์สารอะคริลามีด์.....	55
3.4.3 การควบคุมคุณภาพและรายงานผล.....	56
 บทที่ 4 ผลการทดลองและอภิปรายผล.....	 57
4.1 พัฒนาวิธีวิเคราะห์หาปริมาณสารอะคริลามีด์ในอาหารด้วยเครื่อง LC-ESI-MS/MS โดยใช้เทคนิคการเจือจางไอโซโทป.....	57
4.1.1 ผลการศึกษาการแยกสิ่งรบกวน (interference) ในสารละลายตัวอย่าง ออกจากสารที่สนใจเมื่อตรวจวิเคราะห์ด้วยเครื่อง LC-ESI-MS/MS.....	59
4.1.2 ผลการศึกษาตัวทำละลายและสภาวะที่เหมาะสมสำหรับการสกัดสาร อะคริลามีด์ในอาหารเมื่อตรวจวิเคราะห์ด้วยเครื่อง LC-ESI-MS/MS.....	62
4.2 ผลการทดสอบความถูกต้องของวิธีวิเคราะห์ (Validation Method).....	67
4.2.1 ความเป็นเส้นตรง (Linearity).....	67
4.2.2 ปีดจำกัดการตรวจพบ (Limit of detection, LOD) และ ปีดจำกัดการ วิเคราะห์ปริมาณ (Limit of quantitation, LOQ).....	68
4.2.3 ความเที่ยง (Precision) และ ความแม่น (Accuracy).....	70
4.3 ผลการตรวจวิเคราะห์ปริมาณการปนเปื้อนสารอะคริลามีด์ในอาหาร.....	72
 บทที่ 5 สรุปผลการวิจัยและข้อเสนอแนะ.....	 75
5.1 สรุปผลการวิจัย.....	75
5.2 ข้อเสนอแนะ.....	77
 เอกสารอ้างอิง.....	 78
 ภาคผนวก.....	 84
ภาคผนวก ก. การยืนยันความสัมพันธ์เชิงสัมบูรณ์โดย residual plots	85
ภาคผนวก ข. การคำนวณปริมาณอะคริลามีด์.....	88
ภาคผนวก ค. คำนวณปีดจำกัดการตรวจพบและปีดจำกัดการวิเคราะห์ปริมาณ...	90

สารบัญ (ต่อ)

	หน้า
ภาคผนวก ง. คำนวณปริมาณอะคริลาไมค์ดของแต่ละแมทริกซ์ที่ระดับความเข้มข้นต่างๆ.....	104
ภาคผนวก จ. คำนวณปริมาณอะคริลาไมค์ใน SRM2387 peanut butter.....	118
ภาคผนวก ฉ. เกณฑ์การยอมรับความเที่ยงและความแม่น.....	122
ภาคผนวก ช. การประเมินความถูกต้องและช่วงของความเชื่อมั่นของค่าเฉลี่ย...	126
ภาคผนวก ช. การศึกษาการสูญเสียอะคริลาไมค์เมื่อเป็นแห้ง.....	129
ภาคผนวก ฉ. ผลการตรวจวิเคราะห์ปริมาณอะคริลาไมค์ในอาหาร.....	132
ประวัติผู้เขียน.....	137

สารบัญตาราง

ตารางที่		หน้า
2.1	ปริมาณอะคริลามิค์ในอาหารจากผลการศึกษาของนอร์เวย์ สวีเดน สวิตเซอร์แลนด์ อังกฤษและสหรัฐอเมริกา.....	12
2.2	สรุปปริมาณการได้รับสัมผัสสารอะคริลามิค์จากการบริโภคอาหาร ประจำวัน.....	13
3.1	สภาพที่เหมาะสมของแหล่งผลิต ไอออนสำหรับวิเคราะห์สารอะคริลามิค์ ในโหมดประจุบวก (positive mode).....	55
3.2	แสดงสภาพที่เหมาะสมสำหรับการตรวจติดตามหลายปฏิกิริยา (multiple reaction monitoring, MRM).....	56
4.1	แสดงผลสักดคงตัวอย่างด้วยสารละลายผสมของเมทานอลในน้ำที่อัตราส่วน ต่างๆ ในตัวอย่าง SRM2387 peanut butter และมันฝรั่งแผ่นทดสอบชนิดที่ 1...	63
4.2	แสดงผลของน้ำหนักตัวอย่างที่มีต่อเปอร์เซ็นต์การสักดคงตัวอย่างมันฝรั่ง แผ่นทดสอบชนิดที่ 1.....	65
4.3	แสดงเปอร์เซ็นต์การสักดคงสารอะคริลามิค์ในตัวอย่าง มันฝรั่งแผ่นทดสอบ ชนิดที่ 2 ในสภาพต่างๆ.....	66
4.4	แสดงปีดจำกัดการตรวจพบ(LOD) และปีดจำกัดการวิเคราะห์ปริมาณ (LOQ) ของการวิเคราะห์อะคริลามิค์ในอาหาร (แมทริกซ์ต่างๆ).....	68
4.5	แสดงเปอร์เซ็นต์คืนกลับเฉลี่ยและค่าเบี่ยงเบนมาตรฐานสัมพัทธ์ที่ความ เข้มข้นต่างๆ ของแต่ละแมทริกซ์.....	71
4.6	แสดงความทวนซ้ำได้ (repeatability) โดยวิเคราะห์ภายในวันเดียว (intra- day) และ การทำซ้ำได้ (reproducibility) โดยวิเคราะห์ระหว่างวัน (inter- day) ในตัวอย่าง SRM 2387 peanut butter.....	72
4.7	ผลการตรวจวิเคราะห์ปริมาณการปนเปื้อนสารอะคริลามิค์ในอาหาร.....	74
ก.1	แสดงพื้นที่ได้พิกและ residuals ของอะคริลามิค์เป็นอินเทอร์นอลสแตนดาร์ด (ระดับความ เข้มข้นละ 5 ชั้น).....	86
ก.1	แสดงค่า expected %RSD _r (การทวนซ้ำได้) และ RSD _R (การทำซ้ำได้) ที่ คำนวณจาก Horwitz's equation ที่ระดับความเข้มข้นต่างๆ.....	123

สารบัญตาราง (ต่อ)

ตารางที่	หน้า
ฉ.2 แสดงผลการคำนวณ HORRAT ของแต่ละระดับความเข้มข้นในชนิดตัวอย่างต่างๆ	124
ฉ.3 แสดงผลการคำนวณ HORRAT ของการวิเคราะห์ตัวอย่าง SRM 2387 peanut butter ภายในวันเดียว (intra-day) และ ระหว่างวัน (inter-day).....	125
ฉ.4 เกณฑ์การยอมรับเพอร์เซ็นต์คืนกลับ (%recovery) ที่ระดับความเข้มข้นต่างๆ	125
ช.1 แสดงปริมาณอะคริลามิค์ในตัวอย่าง SRM2387 peanut butter	127
ช.2 The t-distribution (two-tailed)	128
ภ.1 ปริมาณอะคริลามิค์ ในขนมขบเคี้ยวหรือข้อมูลกรอบบรรจุของโดยแบ่งเป็นประเภทต่างๆตามวัตถุคิบ.....	132
ภ.2 ปริมาณอะคริลามิค์ในขนมหรือของว่าง ไทย โดยแบ่งเป็นประเภทต่างๆตามวัตถุคิบ.....	133
ภ.3 ปริมาณอะคริลามิค์ในขนมปัง บิสกิต แครกเกอร์ คุกคิ้และเฟเฟอร์.....	134
ภ.4 ปริมาณอะคริลามิค์ในเฟรนฟรายด์.....	135
ภ.5 ปริมาณอะคริลามิค์ในธัญพืชอาหารเชื้้า.....	135
ภ.6 ปริมาณอะคริลามิค์ในบทหมึกสำเร็จรูป.....	135
ภ.7 ปริมาณอะคริลามิค์ในผักและผลไม้ที่ผ่านกระบวนการให้ความร้อน.....	136
ภ.8 ปริมาณอะคริลามิค์ในกาแฟสำเร็จรูป.....	136

สารบัญ

รูปที่	หน้า
2.1 โครงสร้างทางเคมีของอะคริลามิด (chemical structure of acrylamide).....	5
2.2 โครงสร้างของสารอะคริลามิด สารไกลซิคามิด หรือ 2,3 -epoxypropanamide และ glycidamide-DNA adduct.....	6
2.3 แสดงการเกิดอะคริลามิดที่เกิดจากกรดอะมิโนแ요สพาราเจ็นกับกลูโคส....	7
2.4 แสดงโครงสร้างของแ요สพาราเจ็นและอะคริลามิด	8
2.5 แสดงการเกิดอะคริลามิดจากการสลายตัวของไขมัน.....	9
2.6 แสดงกลไกการเกิดอะคริลามิดจากสมมติฐานของ Zyzak และคณะ	10
2.7 แสดงกลไกการเกิดอะคริลามิดจากสมมติฐานของ Yaylayan และคณะ.....	11
2.8 โภคภัยของระบบ HPLC.....	15
2.9 อินเตอร์เฟสแบบสายพานเคลื่อนที่ (Moving - Belt Interface).....	16
2.10 อินเตอร์เฟสแบบการนำของเหลวเข้าเครื่องโดยตรง (Direct -Liquid- Introduction Interface, DLI).....	19
2.11 อินเตอร์เฟสแบบการชนกับอะตอมความเร็วสูงขณะที่ไหลต่อเนื่อง (Continuous -Flow -Fast - Atom -Bombardment Interface).....	20
2.12 อินเตอร์เฟสแบบ dynamic FAB แบบต่างๆ.....	21
2.13 อินเตอร์เฟสแบบลำอนุภาค (Particle-Beam Interface).....	22
2.14 อินเตอร์เฟสแบบพ่นไอร์่อน (Thermospray Interface).....	24
2.15 อินเตอร์เฟสแบบสเปรย์ไฟฟ้า (Electrospray Interface).....	25
2.16 แผนภาพแสดงการระเหยไออกอน.....	26
2.17 แผนภาพแสดงปฏิกิริยา APCI.....	27
2.18 แผนภาพแสดงการผลิตไออกอนทางเคมีที่ความดันบรรยายกาศ (APCI).....	28
2.19 แผนภาพแสดง triple quadrupole mass spectrometer.....	30
2.20 การแยกสารตัวอย่างผสม R, M และ N.....	30
2.21 การแยกของไออกอนผลิตภัณฑ์ (product ion) จากของผสม R, M และ N.....	31
2.22 แสดงการสแกนไออกอนผลิตภัณฑ์ (Product ion scan).....	32
2.23 แสดงการสแกนไออกอนตั้งต้นหรือไออกอนแม่ (Precursor ion scan).....	32
2.24 แสดงการสแกนชนิดการสูญเสียโมเลกุลที่เป็นกลางคงที่ (Constant neutral loss).....	33

สารบัญรูป (ต่อ)

รูปที่		หน้า
2.25	แสดงการติดตามปฏิกิริยาเดี่ยวและหลายปฏิกิริยา (Single/multiple reaction monitoring).....	33
4.1	MRM โคม่าโทแกรมของสารละลายน้ำมาตรฐานอะคริลาไมด์เข้มข้น 10 $\mu\text{g}/\text{l}$ (m/z 72/44 , 72/55 และ 72/72) ที่มี $^2\text{d}_3$ -อะคริลาไมด์เข้มข้น 40 $\mu\text{g}/\text{l}$ (m/z 75/58) (ก) คอลัมน์ Atlantis dC18 5 μm 2.1 x 150 mm. (旭) คอลัมน์ Luna Su C18 100 °A 2.00 x 250 mm.	58
4.2	MRM โคม่าโทแกรม ของสารละลายน้ำตัวอย่าง SRM2387 peanut butter สกัดด้วยน้ำ (ก) คอลัมน์ Atlantis dC18 5 μm 2.1 x 150 mm. (ไม่ใช้ SPE) (ข) คอลัมน์ Atlantis dC18 5 μm 2.1 x 150 mm. (ใช้ SPE) (ค) คอลัมน์ Luna Su C18 100 °A 2.00 x 250 mm (ไม่ใช้ SPE).....	61
4.3	กราฟแสดงความสัมพันธ์ระหว่างปริมาณสารอะคริลาไมด์ที่ได้จากการสกัดด้วยสารละลายน้ำที่อัตราส่วนต่างๆในตัวอย่าง SRM2387 peanut butter และมันฝรั่งแผ่นทดสอบชนิดที่ 1.....	63
4.4	กราฟแสดงความสัมพันธ์ระหว่างปริมาณสารอะคริลาไมด์ของการสกัดครั้งที่ 1 และครั้งที่ 2 ในตัวอย่างมันฝรั่งแผ่นทดสอบชนิดที่ 1 ที่นำหนักต่างๆ.....	65
4.5	กราฟมาตรฐานสารละลายน้ำมาตรฐานอะคริลาไมด์ (m/z 72/55) ความเข้มข้น 0-80 $\mu\text{g}/\text{l}$ ที่มี $^2\text{d}_3$ -อะคริลาไมด์ (m/z 75/58) เข้มข้น 40 $\mu\text{g}/\text{l}$ เป็นอินเทอร์โนลสแตนдар์ด.....	67
4.6	MRM โคอม่าโทแกรมของสารละลายน้ำตัวอย่างเมล็ดกาแฟ ที่เติมสารละลายน้ำมาตรฐานอะคริลาไมด์ 400 $\mu\text{g}/\text{kg}$ (ก) ไม่ใช้ SPE ในขั้นตอนการเตรียมตัวอย่าง (ข) ทำตัวอย่างให้บริสุทธิ์ด้วย SPE Oasis MCX.....	69
ก.1	แสดง Residual plots รูปแบบต่างๆ.....	85
ก.2	แสดงการพลอตระหว่าง y-residual กับอัตราส่วนของความเข้มข้นของสารละลายน้ำมาตรฐานอะคริลาไมด์ต่ออินเทอร์โนลสแตนдар์ด ($^2\text{d}_3$ -อะคริลาไมด์).....	87

รายการคำย่อและสัญลักษณ์

AA	หมายถึง	อะคริลาไมด์ (acrylamide)
AFSSA	หมายถึง	French Food Safety Agency
API	หมายถึง	ผลิตไออกอนที่ความดันบรรยายกาศ (atmospheric pressure ionization)
APCI	หมายถึง	อินเตอร์เฟสแบบผลิตไออกอนทางเคมีที่ความดันบรรยายกาศ (Atmospheric Pressure Chemical Ionization Interface)
BAG	หมายถึง	Swiss Federal Office of Public Health
BfR	หมายถึง	Bundesinstitut fur Risikobewertung
C	หมายถึง	concentration ratio
CAD	หมายถึง	Collision Gas
CE	หมายถึง	Collision Energy
CI	หมายถึง	เกิดไออกอนแบบวิธีทางเคมี (chemical ionization)
CI	หมายถึง	ช่วงของความเชื่อมั่น (confidence interval)
CID	หมายถึง	การชนกันกับแก๊สอาร์กอน (collision-induced dissociation)
conc.	หมายถึง	ความเข้มข้น
CUR	หมายถึง	Curtain Gas
CXP	หมายถึง	Collision Cell Exit Potential
DC	หมายถึง	ศักย์ไฟฟ้ากระแสตรง
df	หมายถึง	degree of freedom
DLI	หมายถึง	อินเตอร์เฟสแบบการนำของเหลวเข้าเครื่องโดยตรง (Direct-Liquid-Introduction Interface)
DP	หมายถึง	Declustering Potential
DPP	หมายถึง	differential pulse polarography
EI	หมายถึง	เกิดไออกอนแบบอิเลคตรอนอิมแพคท์ (electron impact)
EP	หมายถึง	Entrance Potential
ESI	หมายถึง	อินเตอร์เฟสแบบสเปรย์ไฟฟ้า (Electrospray Interface)
EU SCF	หมายถึง	European Union Scientific Committee on Food

รายการคำย่อและสัญลักษณ์ (ต่อ)

FAO	หมายถึง	องค์การอาหารและเกษตรแห่งสหประชาชาติ
FAB	หมายถึง	เกิดไออกอนแบบการชนกับอะตอมความเร็วสูง (fast atom bombardment ionization)
g	หมายถึง	หน่วยน้ำหนักของเครื่องหมุนเรี่ยง
g	หมายถึง	น้ำหนัก หน่วย “กรัม”
GC-ECD	หมายถึง	แก๊สโคมนาไฟกราฟี มีอิเลคตรอนแคปเจอร์เป็นดีเทกเตอร์
GC-MS	หมายถึง	แมสสเปกโทรมทริต์ควบคู่กับเทคนิคแก๊สโคมนาไฟกราฟี
GS ₁	หมายถึง	Ion Source Gas 1
GS ₂	หมายถึง	Ion Source Gas 2
HPLC	หมายถึง	โคมนาไฟกราฟของเหลวแบบสมรรถนะสูง
IARC	หมายถึง	International Agency for Research on Cancer
IS	หมายถึง	Ion Spray Voltage
IS	หมายถึง	อินเทอร์นอลสแตนดาร์ด (internal standard)
JECFA	หมายถึง	Joint Expert Committee on Food Additives
k	หมายถึง	ค่าแฟกเตอร์ความจุ
kPa	หมายถึง	ความดันในหน่วย “Kilopascal”
kV	หมายถึง	ความต่างศักย์ในหน่วย “กิโลโวลต์”
LC	หมายถึง	โคอมนาไฟกราฟของเหลว
LC-DAD	หมายถึง	โคอมนาไฟกราฟของเหลวสมรรถนะภาพสูง มีไดโอดอาร์เรย์ เป็นดีเทกเตอร์
LC-MS	หมายถึง	แมสสเปกโทรมทริต์ควบคู่กับเทคนิคโคอมนาไฟกราฟีของเหลว
LC-ESI -MS/MS	หมายถึง	เครื่องโคอมนาไฟกราฟของเหลวแทนเดียมแมสสเปกโทรมิเตอร์ อินเตอร์เฟสแบบสเปรย์ไฟฟ้า
LOAEL	หมายถึง	ค่าปริมาณต่ำสุดที่ทำให้เกิดความเป็นพิษ (lowest observe adverse effect level)
LOD	หมายถึง	จุดจำกัดการตรวจพบ (limit of detection)
LOQ	หมายถึง	จุดจำกัดการวิเคราะห์ปริมาณ (limit of quantitation)
m/z	หมายถึง	มวลต่อประจุ

รายการคำย่อและสัญลักษณ์ (ต่อ)

mg	หมายถึง	มิลลิกรัม
ml	หมายถึง	มิลลิลิตร
MRM	หมายถึง	การตรวจติดตามการทราบซิชันแบบหลายปฏิกริยา
MS	หมายถึง	แมสสเปกโทรมิเตอร์
MS/MS	หมายถึง	เทคนิคแทนเดิมแมสสเปกโทรมทรี
μ	หมายถึง	ค่าจริงหรือค่าอ้างอิง
$\mu\text{g/kg}$	หมายถึง	ไมโครกรัมต่อกิโลกรัม
$\mu\text{g/l}$	หมายถึง	ไมโครกรัมต่อลิตร
ND	หมายถึง	ตรวจไม่พบ (มีค่าน้อยกว่าปีกจัดการตรวจพบ)
NFA	หมายถึง	Swedish National Food Administration
NFCS	หมายถึง	National focal centres
NOAEL	หมายถึง	ค่าปริมาณที่ไม่ก่อให้เกิดความเป็นพิษ (no observe adverse effect level)
ng	หมายถึง	นาโนกรัม
ng/g	หมายถึง	นาโนกรัมต่อกิโลกรัม
ppb	หมายถึง	ส่วนในพันล้านส่วน
ppm	หมายถึง	ส่วนในล้านส่วน
Q1	หมายถึง	ควอครูโพลส่วนที่ 1 ทำหน้าที่คัดแยกมวล
Q2	หมายถึง	ควอครูโพลส่วนที่ 2 ทำให้เกิดการแตกย่อยของไอออน (fragmentation)
Q3	หมายถึง	ควอครูโพลส่วนที่ 3 ทำหน้าที่คัดแยกมวล
r	หมายถึง	ค่าสัมประสิทธิ์สหสัมพันธ์
R^2	หมายถึง	ค่าสัมประสิทธิ์การตัดสินใจ
R_r	หมายถึง	อัตราส่วนของพื้นที่ใต้พิกของสารละลายมาตรฐานอะคริลามีด์ต่ออินเทอร์นอลสแตนดาร์ด ${}^2\text{d}_3$ - อะคริลามีด์ (แกน y)
R_c	หมายถึง	อัตราส่วนของความเข้มข้นสารละลายมาตรฐานอะคริลามีด์ต่ออินเทอร์นอลสแตนดาร์ด ${}^2\text{d}_3$ - อะคริลามีด์ (แกน x)
%Rec	หมายถึง	เบอร์เซ็นต์คืนกลับ (% recovery)
RF	หมายถึง	ความถี่คลื่นวิทยุ

รายการคำย่อและสัญลักษณ์ (ต่อ)

RSD	หมายถึง	ค่าเบี่ยงเบนมาตรฐานสัมพัทธ์
RSD_r	หมายถึง	ค่าเบี่ยงเบนมาตรฐานสัมพัทธ์ของการทวนซ้ำได้ (repeatability)
RSD_R	หมายถึง	ค่าเบี่ยงเบนมาตรฐานสัมพัทธ์ของการทำซ้ำได้ (reproducibility)
RT	หมายถึง	เวลาที่ลูกหนังไว้
SCE	หมายถึง	ขั้วคาโลเมลชนิดอิ่มตัว (saturated calomel electrode)
SD	หมายถึง	ค่าเบี่ยงเบนมาตรฐาน
SNT	หมายถึง	Norwegian Food Control Authority
SNFA	หมายถึง	The Swedish National Food Administration
SPE	หมายถึง	การสกัดแบบเฟสของแข็ง (solid phase extraction)
SRM	หมายถึง	selected reaction monitoring
<i>SRM</i>	หมายถึง	วัสดุอ้างอิงมาตรฐาน (Standard Reference Material)
std	หมายถึง	standard
t_c	หมายถึง	ค่า t-distribution ที่จุดวิกฤต (t-critical)
TIC	หมายถึง	กระแสไออ่อนรวม (total - ion - current)
UK	หมายถึง	อังกฤษ
UV	หมายถึง	Ultraviolet
US-FDA	หมายถึง	the US Food and Drug Administration
USA	หมายถึง	สหรัฐอเมริกา
% v/v	หมายถึง	ร้อยละโดยปริมาตร
WHO	หมายถึง	องค์การอนามัยโลก
Wt.	หมายถึง	น้ำหนัก
\bar{x}	หมายถึง	ค่าเฉลี่ย
x_i	หมายถึง	ค่าของข้อมูลแต่ละค่า

บทที่ 1

บทนำ

1.1 ความสำคัญของวิทยานิพนธ์

ปัจจุบันธุรกิจอาหารประเพณีฟูดมีการขยายตัวอย่างรวดเร็วและต่อเนื่องควบคู่ไปกับอุตสาหกรรมขนมเปื้องกรอบ (ขนมขบเคี้ยว) ซึ่งส่วนมากทำมาจากแป้งข้าวโพด ข้าวสาลี หรือ มันฝรั่ง นำมาหยอดแล้วปรุงแต่งรสต่างๆ ลงไป และที่น่าเป็นห่วงคือ มีการโฆษณาบนขนมเคี้ยวอย่างมากทางสื่อต่างๆ โดยเฉพาะ โทรทัศน์ เป็นการส่งเสริมทำให้มีการบริโภคอาหารประเพณีมากขึ้น โดยเฉพาะเด็กและวัยรุ่น บางครั้งไม่สนใจการรับประทานอาหารหลักทำให้ได้รับสารอาหารไม่ครบถ้วน นอกจากนี้มีรายงานวิจัยเมื่อเดือน เมษายน ปี ค.ศ. 2002 ของสำนักงานคณะกรรมการอาหารแห่งชาติประเทศไทย (Swedish National Food Administration; NFA) และมหาวิทยาลัยสต็อกโฮล์ม (Stockholm University) ได้สร้างความไม่สบายใจแก่ผู้บริโภคที่นิยมรับประทานอาหารจำพวกแป้งไปทั่วโลก โดยงานวิจัยดังกล่าวได้ระบุว่า อาหารจำพวกแป้งที่ผ่านการเตรียมหรือปรุงสุกด้วยอุณหภูมิสูง โดยวิธีการทอด อบ ปิ้งหรือย่าง มีสารพิษที่เรียกว่า “อะคริลามายด์” เกิดขึ้น แต่สารนี้จะไม่เกิดขึ้นโดยวิธีการต้ม [1]

สารอะคริลามายด์ (acrylamide) มีการใช้ทั่วโลกมากกว่า 200 ล้านกิโลกรัมต่อปี ซึ่งจะใช้แพร่หลายในอุตสาหกรรม เช่น เป็นโนโนเมอร์ที่นำมาผลิตโพลีอะคริลามายด์ (polyacrylamide) ซึ่งช่วยรองรับสักปรากหรือสารปนเปื้อนในน้ำดื่ม ซึ่งโพลีอะคริลามายด์นั้นไม่ก่อให้เกิดพิษ นอกจากนี้อะคริลามายด์ยังถูกนำไปใช้ในอุตสาหกรรมการผลิตพลาสติกสำหรับบรรจุอาหาร กาวกระดาษ เครื่องสำอางและอื่นๆ ในอคีตแอลกอล์ที่พบการปนเปื้อนของสารนี้ส่วนใหญ่เป็นในน้ำดื่ม และควันบุหรี่ปริมาณอะคริลามายด์ที่ตรวจพบในบุหรี่ 1-2 ไมโครกรัมต่อบุหรี่ 1 mund [2] สำหรับในน้ำดื่มทางสหภาพยุโรปได้กำหนดมาตรฐานไม่เกิน 0.1 ไมโครกรัมต่อลิตร นอกจากนี้ยังมีการกำหนดมาตรฐานของสารอะคริลามายด์ที่ปนเปื้อนสู่อาหารจากพลาสติกที่ห่อหุ้มอาหารไม่เกิน 0.01 มิลลิกรัมต่อกิโลกรัม [3] ไม่มีการกำหนดก่อหน่วยมาตรฐานไม่เกิน 0.1 ไมโครกรัมต่อลิตร นอกจากนี้ยังมีการกำหนดมาตรฐานของสารอะคริลามายด์ที่ปนเปื้อนสู่อาหารจากพลาสติกที่ห่อหุ้มอาหารไม่เกิน 0.01 มิลลิกรัมต่อกิโลกรัม [3] ไม่มีการกำหนดก่อหน่วยมาตรฐานไม่เกิน 0.1 ไมโครกรัมต่อลิตร จนกระทั่งมีรายงานตรวจพบสารอะคริลามายด์ในอาหาร คือ การตรวจในมะเขือเทศ [4] เห็ดที่ปลูกในเจลที่ผลิตจากโพลีอะคริลามายด์ [5] ที่แสดงว่าอาจมีบางโมโนโนเมอร์ของอะคริลามายด์เหลือตกค้างผลคือไม่พบการปนเปื้อนสารอะคริลามายด์ จนกระทั่งมีรายงานตรวจพบสารอะคริลามายด์ในอาหารของประเทศไทย เช่น เฟรนช์ฟราย (0.4 มิลลิกรัมต่อกิโลกรัม) มันฝรั่งแผ่น (1.5 มิลลิกรัมต่อกิโลกรัม) และขนมปัง (0.04 – 1.7 มิลลิกรัมต่อกิโลกรัม) เป็นต้น [2] สารอะคริลามายด์มีพิษต่อระบบประสาทและมีผลต่อระบบสืบพันธุ์สถาบันวิจัยมะเร็งแห่งชาติ (International Agency for Research on

Cancer , IARC) จัดให้สารอะคริลาไมค์อยู่ในระดับที่มีความเป็นไปได้ที่จะก่อให้เกิดมะเร็งในมนุษย์ (probably carcinogenic to humans, group 2A) ถึงแม้ยังไม่สามารถสรุปได้แน่ชัดว่าสารอะคริลาไมค์เป็นสารก่อมะเร็งในมนุษย์แต่ก็สามารถทำให้สัตว์ทดลองเป็นมะเร็งและก่อภัยพันธุ์ได้ [6, 7]

กระบวนการเกิดสารอะคริลาไมค์ในอาหารนั้นยังไม่ทราบแน่ชัด ในปี ก.ศ. 2002 งานวิจัยของ Mottram และคณะ [8] กับ Stadler และคณะ [9] เสนอว่าสาเหตุของการเกิดสารอะคริลาไมค์ในอาหารเกิดผ่านปฏิกิริยาระหว่างกรดอะมิโนและน้ำตาลรีดิวชิง (reducing sugar) เรียกปฏิกิริยานี้ว่า “Maillard reaction” ปฏิกิริยานี้ทำให้ผลิตภัณฑ์มีสีน้ำตาล ซึ่งกรดอะมิโนที่เป็นสารตั้งต้นปฏิกิริยา (precursors) คือ แอสพาราเจน (asparagines) พูบมากในมันฝรั่งและข้าวพืช ส่วนงานวิจัยของ Yasuhara และคณะ [10] เสนอว่าการเกิดสารอะคริลาไมค์ในอาหารที่มีไขมันสูงนั้นจะเกิดจากการให้ความร้อนสูงของกรดอะมิโนจะทำให้ได้แอมโมเนียและแอมโมเนียที่เกิดขึ้นนี้จะทำปฏิกิริยากับกรดอะคริลิก (acrylic acid) ซึ่งกรดอะคริลิกในอาหารจะเกิดจากปฏิกิริยาออกซิเดชันของอะโครเลิน (acrolein) ที่เกิดจากปฏิกิริยาขัดน้ำออก (dehydration) ของกลีเซอรอล

สารอะคริลาไมค์มีคุณสมบัติละลายน้ำได้ดี ว่องไวต่อการเกิดปฏิกิริยาและขาดแคลนกลุ่มโครโนฟอร์ (chromophore) จึงไม่ง่ายในการตรวจเคราะห์ ดังนั้นการใช้แมสสเปกโทรเมทรีต่อกวนคู่กับเทคนิคโคมากอฟกราฟ (GC-MS) และใช้อิโซโทปอะคริลาไมค์เป็นอินเทอร์นอลสแตนดาร์ด (internal standard) นั้นจึงเป็นเทคนิคที่ใช้กันอย่างแพร่หลายในการวิเคราะห์อะคริลาไมค์ในอาหาร [11]

การใช้เทคนิค GC-MS ในการตรวจเคราะห์อะคริลาไมค์ เนื่องจากสารนี้มีไม่เลกุลขนาดเล็ก มีขี้วและจุดเดือดสูง ดังนั้นการตรวจเคราะห์ด้วยเทคนิคแก๊สโคมากอฟกราฟนั้นจึงต้องทำการเตรียมสารอนุพันธ์ (derivatization) ก่อนที่จะตรวจด้วยเครื่อง GC-MS [12-14] การเตรียมสารอนุพันธ์ที่นิยมคือปฏิกิริยาเพิ่มเข้าบอร์มีน (bromination) ข้อดีของการเตรียมสารอนุพันธ์คือสารอนุพันธ์จะระเหยง่ายและลดความมีขี้วของสารนี้ ทำให้สามารถแยกง่ายด้วยวิธีแก๊สโคอมากอฟกราฟ นอกจากนั้นยังช่วยเพิ่มประสิทธิภาพในการละลายเมื่อใช้สารอินทรีย์เป็นตัวสกัด ทำให้มีน้ำหนักไม่เลกุลสูงขึ้นเพิ่มความจำเพาะมากขึ้นเมื่อใช้เทคนิคแมสสเปกโทรเมทรีเป็นดีแทกเตอร์ แต่ข้อเสียของการทำอนุพันธ์นั้นคือการเสียต่อการสูญเสียสารที่สนใจ (analyte) เนื่องจากความไม่เสถียรของสารอนุพันธ์ที่เกิดขึ้น หรือการทำปฏิกิริยาไม่สมบูรณ์ ความผิดพลาดของผลการตรวจเคราะห์ที่มากกว่าความเป็นจริง (false positive) เนื่องจากการเกิดปฏิกิริยาข้างเคียงหรือมีสิ่งรบกวนจากสารเคมีที่ใช้ในการเตรียมสารอนุพันธ์ นอกจากระดับยังสิ้นเปลืองเวลาและเป็นอันตรายต่อผู้ปฏิบัติงานจากพิษและการกัดกร่อนของบอร์มีน ส่วนการวิเคราะห์โดยตรงด้วย GC-MS ที่ไม่ต้องผ่านการเตรียมสารอนุพันธ์นั้น [15] ควรจะต้องมีการประเมินการสูญเสียอะคริลาไมค์บริเวณจุดฉีด (injection port) ส่วนการใช้เทคนิค LC-MS ในการตรวจเคราะห์อะคริลาไมค์ เนื่องจากสารนี้มี

จุดเดือดสูงและการละลายนำได้ดีที่สุด (2,155 กรัมต่อลิตร ที่อุณหภูมิ 30 องศาเซลเซียส) และเมทานอล (1,150 กรัมต่อลิตร) [16] จึงเหมาะสมกับการตรวจวิเคราะห์ด้วยเทคนิคโกรมาโทกราฟของเหลว มีข้อดีคือสามารถตรวจวัดโดยตรงเมื่อสกัดด้วยน้ำ ไม่ต้องทำอนุพันธ์และสามารถเพิ่มปริมาตรที่ใช้ในการตรวจวัด (injection volume) ได้มากขึ้น แต่ข้อเสียคือการแยกใน columน์เริเวอร์สเฟสจะไม่ดีน่องสารนี้มีขั้วจึงถูกหน่วงไว้ (retention) ใน columน์ได้น้อย และมีสิ่งรบกวนเนื่องจากการสกัด ถึงแม้เทคนิคแมสสเปกโගามทรีจะเป็นดีเกตเตอร์ที่มีความจำเพาะสูง แต่มวลของอะคริลามิดและการแตกตัวเป็นไอออนส่วนย่อย (fragment) ของสารนี้ไม่มีความจำเพาะ (specific) เนื่องจากสิ่งรบกวนที่มีมวลต่อประจุ (m/z) เหมือนกับสารอะคริลามิด ซึ่งสิ่งรบกวนนี้สามารถหลีกเลี่ยงได้เมื่อใช้เทคนิคแทนเดิมแมสสเปกโgodamทรี (MS/MS) เป็นดีเกตเตอร์แต่ก็ยังไม่สมบูรณ์ [17] หลายงานวิจัยปรับปรุงวิธีเตรียมตัวอย่างเพื่อกำจัดสิ่งรบกวนก่อนจะตรวจด้วยแทนเดิมแมสสเปกโgodamทรีโดยใช้การสกัดแบบเฟสของแข็ง (solid phase extraction , SPE) ทำให้ตัวอย่างบริสุทธิ์ขึ้น [18-25] Rosen J. และคณะ [18] เป็นงานวิจัยแรกที่รายงานการตรวจวิเคราะห์สารอะคริลามิดในอาหารที่ปรุงด้วยความร้อนโดยใช้เทคนิคการเจือจาง ไอโซโทปและตรวจวิเคราะห์ด้วย LC-MS/MS

รายงานการประชุม Codex เรื่อง “Food Additive and Contaminants” ขององค์การอาหารและเกษตรแห่งสหประชาชาติ (FAO) และองค์การอนามัยโลก (WHO) ระหว่างวันที่ 24-28 เมษายน ค.ศ. 2006 ได้รวบรวมวิธีวิเคราะห์และเทคนิคการเตรียมตัวอย่างสำหรับการวิเคราะห์อะคริลามิดในอาหาร สรุปว่าอิทธิพลของเทคนิคการสกัดและตัวทำละลายที่ใช้ในการสกัดที่แตกต่างกันนั้นยังไม่มีการศึกษาอย่างเต็มรูปแบบ [26] โดยทั่วไปนั้นจะใช้น้ำเป็นตัวสกัดสารอะคริลามิดจากอาหาร แต่ในอาหารจำพวกที่มีแป้งสูง เช่น มันฝรั่ง น้ำ การสกัดด้วยน้ำค่อนข้างยากเนื่องจากการละลายร่วมของคอลลอยด์ ทำให้สารละลายตัวอย่างที่สกัดได้มีลักษณะหนืดและกรองผ่านแมมเบรนได้ยากเนื่องจากเกิดการอุดตันของแมมเบรน หลายงานวิจัยต้องแยกโดยใช้เครื่องหมุนเหวี่ยงความเร็วด้วยความเร็วอบต่อน้ำที่ค่อนข้างสูง [24] หรือการกรองผ่านแมมเบรนด้วยวิธี centrifuge spin filter [18] เนื่องจากเมทานอลไม่สามารถสกัดโพลิแซคคาโรด (polysaccharides) เช่น แป้งและเพคติน (pectin) มักจะพบในอาหารจำพวกพืช [27] ดังนั้นงานวิจัยนี้จึงได้ศึกษาการสกัดอะคริลามิดในอาหารด้วยสารละลายผสมของเมทานอลกับน้ำ เพื่อลดปัญหาการสกัดในอาหารที่แป้งสูง คงประสิทธิภาพในการสกัดสารนี้สูงและสามารถตรวจวิเคราะห์อาหารชนิดอื่นๆ ได้ ตรวจสารอะคริลามิดที่สกัดได้ด้วยเครื่องโกรมาโทกราฟของเหลวแทนเดิมแมสสเปกโgodamทรี อินเตอร์เฟสแบบสเปรย์ไฟฟ้า (LC-ESI -MS/MS) และแยกสิ่งรบกวนออกจากสารที่สนใจโดยใช้การแยกของ columน์โกรมาโทกราฟของเหลวแทนการทำให้สารละลายตัวอย่างบริสุทธิ์ด้วยการสกัดแบบเฟสของแข็ง

หลายประเทศมีการรายงานการปนเปื้อนสารอะคริลามิดในอาหารพบว่าปนเปื้อนปริมาณสูง แต่ในประเทศไทยยังไม่มีข้อมูลเกี่ยวกับการปนเปื้อนของสารนี้ ดังนั้นจึงควรมีการตรวจ

วิเคราะห์ปริมาณสารอะคริลามีดที่ปนเปื้อนในอาหาร โดยเฉพาะอาหารจำพวกかる์บอยไชเดรตที่ผ่านกระบวนการหยอด อบ ปั่นหรือย่าง เพื่อให้ได้ข้อมูลใช้เป็นแนวทางคุ้มครองผู้บริโภคให้ปลอดภัย และทำการประเมินความเสี่ยงของการบริโภคอาหารที่ปนเปื้อนสารนี้ต่อไป

1.2 วัตถุประสงค์ของงานวิจัย

1. พัฒนาวิธีวิเคราะห์ปริมาณสารอะคริลามีดในอาหาร ด้วยเครื่อง LC-ESI-MS/MS ให้สามารถปฏิบัติงานได้ง่าย รวดเร็ว ผลวิเคราะห์มีความแม่นและความเที่ยงสูง วิเคราะห์อาหารได้หลากหลายชนิด

2. ตรวจวิเคราะห์หาปริมาณการปนเปื้อนสารอะคริลามีดในอาหาร โดยเฉพาะอาหารจำพวกかる์บอยไชเดรตที่ผ่านกระบวนการหยอด อบ ปั่นหรือย่าง โดยเก็บตัวอย่างอาหารมาตรวจสอบวิเคราะห์หาปริมาณอะคริลามีดด้วยวิธีวิเคราะห์ที่พัฒนาขึ้น

1.3 ขอบเขตของงานวิจัย

- ศึกษาสภาวะที่เหมาะสมในการสกัดและตรวจวัดสารอะคริลามีดในอาหาร
- ทดสอบความถูกต้องของวิธีการวิเคราะห์ (method validation) ได้แก่ จุดจำกัดการตรวจพบ (limit of detection) จุดจำกัดการวิเคราะห์หาปริมาณ (limit of quantitation) ความเป็นเส้นตรง (linearity) ความแม่น (accuracy) และความเที่ยง (precision)
- ตรวจวิเคราะห์หาปริมาณการปนเปื้อนสารอะคริลามีดในอาหาร โดยเฉพาะอาหารจำพวกかる์บอยไชเดรตที่ผ่านกระบวนการให้ความร้อน

1.4 ประโยชน์ที่คาดว่าจะได้รับ

- วิธีวิเคราะห์ปริมาณสารอะคริลามีดในอาหาร ด้วยเครื่อง LC-ESI-MS/MS ที่พัฒนาขึ้น สามารถตรวจวิเคราะห์หาปริมาณสารอะคริลามีดในอาหารหลากหลายชนิด
- ทราบสถานการณ์การปนเปื้อนสารอะคริลามีดในอาหารของประเทศไทย
- ข้อมูลการปนเปื้อนสารอะคริลามีดในอาหารที่ได้จากการตรวจวิเคราะห์ด้วยวิธีวิเคราะห์ที่พัฒนาขึ้น ใช้เป็นแนวทางคุ้มครองผู้บริโภคให้ปลอดภัยและสามารถนำไปใช้ประกอบการประเมินความเสี่ยงการบริโภคอาหารที่ปนเปื้อนสารนี้ของคนไทย

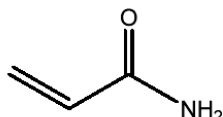
บทที่ 2

ทฤษฎีและงานวิจัยที่เกี่ยวข้อง

2.1 อะคริลามิด

2.1.1 คุณสมบัติทางกายภาพและทางเคมีของสารอะคริลามิด (CAS-No. 79-06-1) [16,18]

อะคริลามิด (acrylamide) หรือมีชื่อพ้องเหมือน 2-propenamide, ethylene carboxamide, acrylic acid amide, vinyl amide และ propenoic acid amide เป็นโมเลกุลขนาดเล็กมีมวลโมเลกุล 71.08 Dalton สูตรโมเลกุล C_3H_5NO สูตรโครงสร้างทางเคมีแสดงดังรูปที่ 2.1 มีลักษณะเป็นของแข็งสีขาวที่อุณหภูมิห้อง การละลายที่อุณหภูมิ 30 องศาเซลเซียส ละลายได้ดีในน้ำ (2,155 กรัมต่อลิตร) และละลายในตัวทำละลายที่มีขึ้น เช่น เมทานอล (1,550 กรัมต่อลิตร) เอทานอล (860 กรัมต่อลิตร) อะซิโตน (631 กรัมต่อลิตร) อะซิโทอไทร์ (396 กรัมต่อลิตร) และเอทิลอะซิเตต (126 กรัมต่อลิตร) แต่ละลายได้น้อยในตัวทำละลายที่ไม่มีขึ้น เช่น เสกเซน เอปเทน และการบ่อนแตกระคลอไรด์ (น้อยกว่า 1 กรัมต่อลิตร) จุดหลอมเหลว 84.5 ± 0.3 องศาเซลเซียส และจุดเดือด 136 องศาเซลเซียส (ที่ 3.3 kPa) จะเกิดโพลีเมอร์ไรซัน (polymerization) ที่อุณหภูมิสูงกว่า 84 องศาเซลเซียส



รูปที่ 2.1 โครงสร้างทางเคมีของอะคริลามิด (chemical structure of acrylamide)

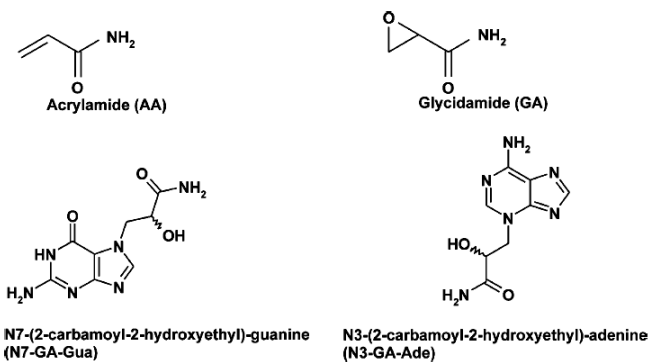
อะคริลามิดเป็นขั้นตอนกลุ่มโครโนฟอร์ (chromophore) เนื่องจากมีข้อจำกัดการ共轭อนูเกตชัน (conjugation) ของ π -อิเลคตรอน ทำให้การตรวจด้วย UV ค่อนข้างยาก และไม่เกิดฟลูอเรสเซนซ์ (fluorescence) อะคริลามิดเป็นโมโนเมอร์ที่มี 2 หมู่ฟังก์ชันนัล ประกอบด้วยพันธะคู่ที่ขาดแคลน อิเลคตรอนซึ่งว่องไวในการเกิดปฏิกิริยา (reactive electron-deficient double bond) และหมู่เอามิด (amide) การเกิดปฏิกิริยาของ 2 หมู่ฟังก์ชันนัสนี้จะทำให้อะคริลามิดมีคุณสมบัติเป็นได้ทั้งกรด อ่อนและเบสอ่อน

2.1.2 ความเป็นพิษของสารอะคริลามีด (Toxicology of acrylamide) [3, 29, 30]

สารอะคริลามีดสามารถก่อการกลายพันธุ์และก่อมะเร็งได้ในหมู่ทดลองแต่ในมนุษย์ยังไม่พบหลักฐาน ดังนั้นสารอะคริลามีดจึงจัดเป็นสารก่อมะเร็ง กลุ่ม 2 A คือ มีความเป็นไปได้ที่จะก่อเกิดมะเร็งในมนุษย์ สารอะคริลามีดเมื่อเข้าสู่ร่างกายจะถูกเคมีบานออกไซด์ (epoxide) ซึ่งสารเคมีที่สำคัญคือ ไกลซิดามิเด (glycidamide) มีคุณสมบัติเป็นสารก่อมะเร็ง ในสัตว์ที่แรงกว่าอะคริลามีด ซึ่งสารนี้จะจับกับ DNA ได้ถ้าว่าอะคริลามีด ลักษณะของ DNA adduct ที่ได้จากศึกษาปฏิกริยาในทดลองทดลองของ DNA กับ ไกลซิดามิเดที่สำคัญ คือ N7-GA-Gua และ N3-GA-Ade (รูปที่ 2.2) เป็นสารแทนทุกทำลายพันธุกรรม (genetic) อัตราการเกิดปฏิกริยาของอะคริลามีดกับ DNA จะมากกว่าไกลซิดามิเด สารทั้งสองนี้กระจายไปยังอวัยวะต่างๆ ของสัตว์ทดลอง ได้อ่ายกว้างขวาง รวมทั้งในน้ำนมและขับถ่ายได้เร็ว ในหมู่ทดลองจะขับถ่ายเหลือเพียงครึ่งหนึ่งใน 2 ชั่วโมง การได้รับสัมผัสสารอะคริลามีดเป็นเวลานานในหมู่ทดลองจะทำให้เกิดเนื้องอก ถ้าได้รับสารนี้ในปริมาณสูงจะมีผลกระทบต่อระบบประสาทและระบบสืบพันธุ์

- พิษต่อระบบประสาท จากการศึกษาคนงานในประเทศญี่ปุ่นที่ทำงานกับสารอะคริลามีด และอะคริโลไนไตร (acrylonitrile) นานกว่า 2 ปี และการศึกษาในสัตว์ทดลองหลายชนิดสรุปได้ว่าค่าปริมาณที่ไม่ก่อให้เกิดความเป็นพิษ (no observe adverse effect level, NOAEL) เท่ากับ 0.5 มิลลิกรัมต่อน้ำหนักตัวหนึ่งกิโลกรัมต่อวัน และค่าปริมาณต่ำสุดที่ทำให้เกิดความเป็นพิษ (lowest observe adverse effect level, LOAEL) เท่ากับ 2 มิลลิกรัมต่อน้ำหนักตัวหนึ่งกิโลกรัมต่อวัน

- การก่อมะเร็ง ในหมู่ทดลองที่ให้สารนี้พบการเกิดเนื้อร้ายในอวัยวะต่างๆ เช่น ไครอยด์ และแอดรีนาล ส่วนในมนุษย์ ผลการศึกษาระบบทิวทายของผู้ได้รับสัมผัสสารนี้เป็นเวลานานในสองช่วงเวลา พบว่าการเกิดมะเร็งสมองเพิ่มขึ้นร้อยละ 15 และมะเร็งอื่นรวมกันร้อยละ 9 จึงไม่ได้หมายความว่าสารนี้ไม่สามารถก่อมะเร็งในมนุษย์ นอกจานี้ยังพบว่าไกลซิดามิเดก่อให้เกิดมะเร็งที่ผิวหนัง และเซลล์สืบพันธุ์ (germ cells) มากกว่าอะคริลามีด



รูปที่ 2.2 โครงสร้างของสารอะคริลามีด สารไกลซิดามิเด หรือ 2, 3 – epoxypropanamide และ glycidamide -DNA adduct [2]

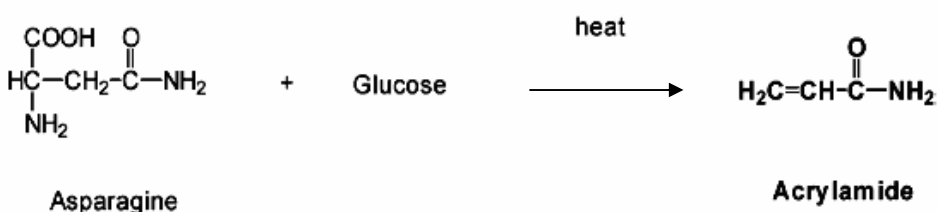
2.1.3 การเกิดสารอะคริลามีดในอาหาร (Formation of acrylamide)

อะคริลามีดเป็นสารที่มีโมเลกุลเล็กและโครงสร้างง่าย สามารถเกิดขึ้นได้ในอาหารที่ผ่านความร้อนโดยจะเกิดผ่านกลไกทางหلام ซึ่งรวมไปถึงปฏิกิริยาของสารบีโภเดต โปรตีน กรดอะมิโน ไขมัน และองค์ประกอบอื่นๆ ในอาหาร ตั้งแต่เมื่อการตรวจสอบสารอะคริลามีดในอาหาร มีหลายงานวิจัยที่ศึกษากลไกของการเกิดสารนี้ [8, 9, 12, 31, 34] แต่ยังไม่ทราบแน่ชัด ข้อสังเกต ต่างๆ ที่น่าสนใจของลักษณะการเกิดอะคริลามีดในอาหาร [8] ดังนี้

- อาหารดิบจะไม่พบอะคริลามีดหรือพบปริมาณต่ำ (น้อยกว่า 5 ไมโครกรัมต่อ กิโลกรัม) ซึ่งหมายความว่าการเกิดอะคริลามีดนั้นจะต้องผ่านกระบวนการให้ความร้อน
- อาหารที่มีโปรตีนสูงจะพบปริมาณอะคริลามีดน้อยกว่าอาหารที่มีแป้งสูง
- พบน้ำมันอะคริลามีดสูงในอาหารจำพวกผลิตภัณฑ์มันฝรั่งทอด เช่น เฟรนช์ฟราย มันฝรั่งแผ่นทอดกรอบ

- อาหารจำพวกเนื้อทอดพบปริมาณอะคริลามีดต่ำ (น้อยกว่า 50 ไมโครกรัมต่อ กิโลกรัม)

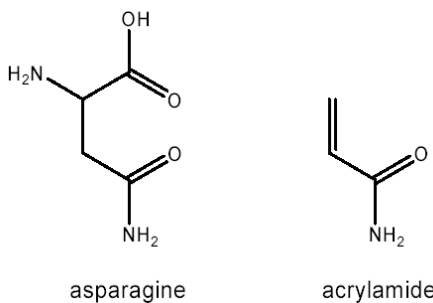
- การเกิดอะคริลามีดในอาหารจะเพิ่มสูงขึ้นถ้าหากในอาหารถูกกระทะหรือปิ้งมากขึ้น
- อุณหภูมิที่มากกว่า 120 องศาเซลเซียล จะมีอิทธิพลต่อการเกิดอะคริลามีดจะมีมากขึ้น หลายกลุ่มยืนยันการเกิดอะคริลามีดว่าเกิดจากปฏิกิริยาเมลาร์ดอย่างแน่นอน เช่น งานวิจัยของ Mottram และคณะ [8] รายงานว่าสารอะคริลามีดเกิดจากแอกซิเจนที่ถูกให้ความร้อนกับกลูโคสหรือ dicarbonyl 2,3-butanedione และได้ตั้งสมมติฐานการเกิดสารนี้ว่าเกิดจากปฏิกิริยาเมลาร์ด ผ่าน dicarbonyl-assisted Strecker degradation ของแอกซิเจน ในเวลาเดียวกันกับงานวิจัยของ Stadler และคณะ [9] แสดงให้เห็นการแยกสลายตัวด้วยความร้อน (pyrolysis) ของแอกซิเจนกับกลูโคส (หรือน้ำตาลอื่นๆ) ทำให้เกิดอะคริลามีด (รูปที่ 2.3) พบว่า เกิดสารอะคริลามีดประมาณ 1,700 เท่าเมื่อเทียบกับการเกิดสารนี้จากการแยกสลายตัวด้วยความร้อน ของสารแอกซิเจนเพียงอย่างเดียว



รูปที่ 2.3 แสดงการเกิดอะคริลามีดที่เกิดจากกรดอะมิโนแอกซิเจนกับกลูโคส [31]

จากการเจือไออกไซโทปของกลูโคสและแオスพาราจีนแสดงให้เห็นว่านำตาลไม่ใช่โครงสร้างหลักของโมเลกุลอะคริลาไมด์ นอกจากนี้พบว่าอะตอมในโครงสร้างของอะคริลาไมด์มาจากกลุ่มเอ่ไมด์ (amide) ของแオスพาราจีน จึงระบุได้ว่าสารแオスพาราจีนเป็นสารต้นที่ต้นหลัก (precursor) ในการเกิดอะคริลาไมด์ ซึ่งมีข้อสนับสนุนต่างๆดังนี้

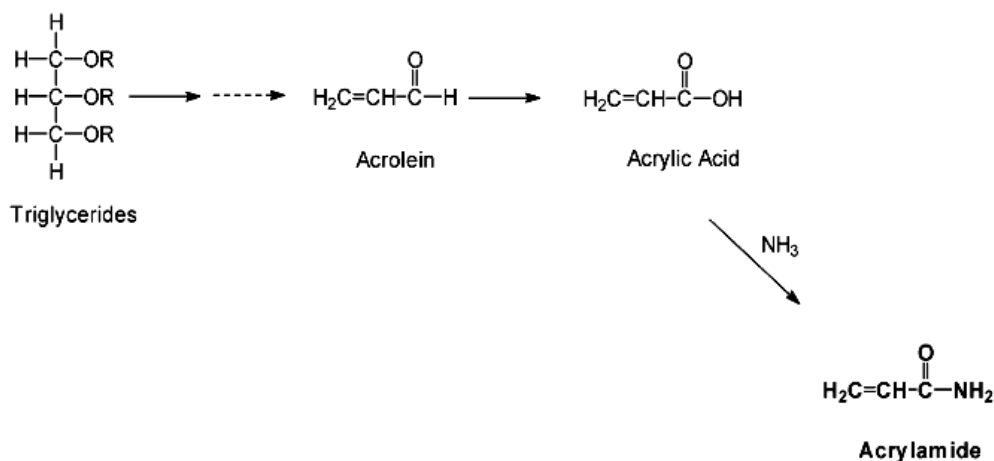
- โมเลกุลของแオスพาราจีนมีโครงสร้างใกล้เคียงกับโมเลกุลของอะคริลาไมด์ (รูปที่ 2.4) เมื่อแオスพาราจีนถูกกำจัดการ์บอนไดออกไซด์ (decarboxylation) และกำจัดแอมโมเนียออก (deamination) จะได้อะคริลาไมด์เกิดขึ้น
- พบว่าผลิตภัณฑ์มันฝรั่งทอดมักจะมีปริมาณอะคริลาไมด์สูง ซึ่งในมันฝรั่งนั้นจะประกอบด้วยแオスพาราจีโนิสระยังพนในพืชรับประทานชนิดอื่นรวมทั้งธัญพืช
- แオスพาราจีโนิสระยังพนในพืชรับประทานชนิดอื่นรวมทั้งธัญพืช



รูปที่ 2.4 แสดงโครงสร้างของแオスพาราจีนและอะคริลาไมด์

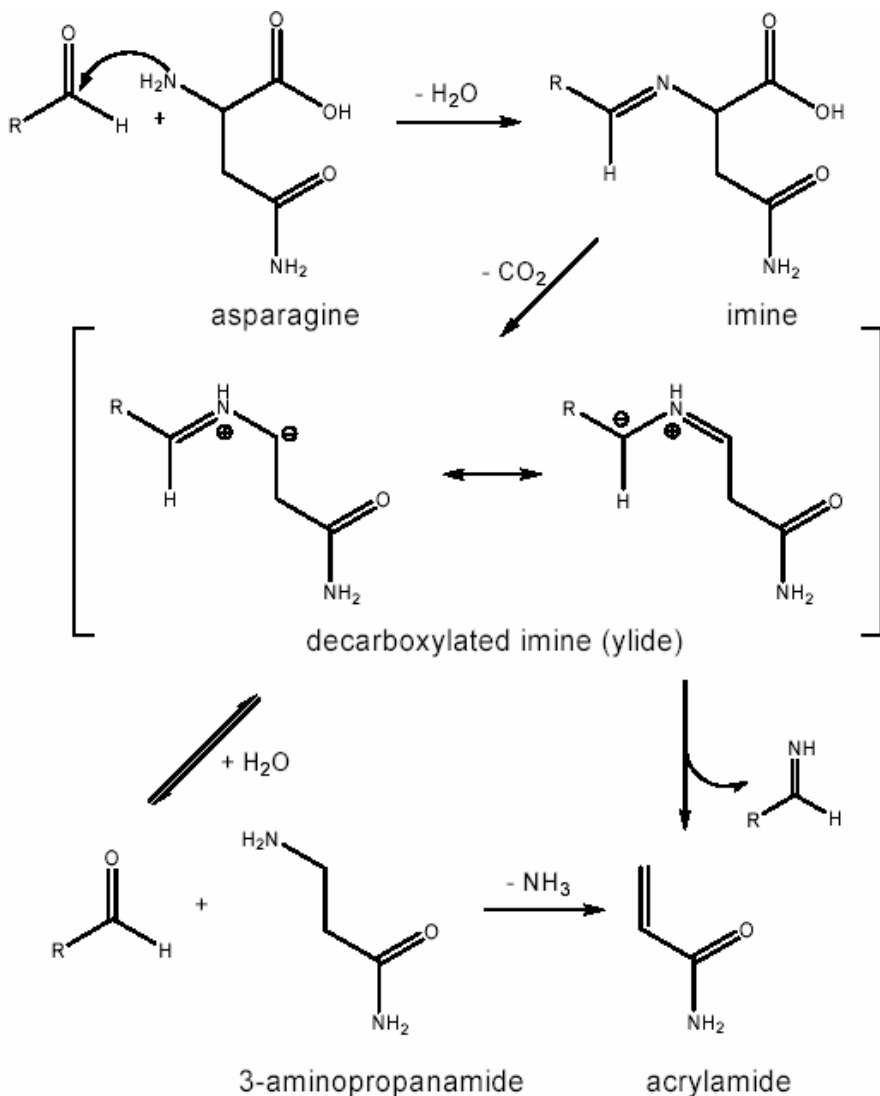
ต่อมานำเสนอวิจัยอื่นๆที่ได้ระบุช่นกันว่าสารต้นที่ต้นหลักของอะคริลาไมด์คือแオスพาราจีน และรายงานการเกิดสารอะคริลาไมด์ของลงมาคือ การให้ความร้อนแก่สารแオスพาราจีโนย่างเดียว นอกจากนี้ยังศึกษาการเกิดอะคริลาไมด์จากการลดอะมิโนชนิดอื่นๆ เช่น กรดแオスพาร์ติก (aspartic acid) กลูตามายน (glutamine) เมทไทโอนีน (methionine) ซีสเทอีน (cysteine) และไลซีน (lysine) ที่แยกลายตัวด้วยความร้อนกับนำตาลรีดิวชันน์ พบร่วงเกิดอะคริลาไมด์เพียงเล็กน้อย [31]

งานวิจัยของ Umano, K. และ Shibamoto, K. เสนอว่าอะคริลาไมด์เกิดจากน้ำมันและสารประกอบในอาหารที่มีในโครงสร้างเป็นองค์ประกอบ กลีเซอรอล (glycerol) ลายตัวด้วยความร้อนได้อะโครลีน (acrolein) จากนั้นเกิดปฏิกิริยาออกซิเดชันได้กรดอะคริลิก (acrylic acid) สุดท้ายเกิดปฏิกิริยาระหว่างกรดอะคริลิกกับแอมโมเนีย ซึ่งได้จากการลายตัวด้วยความร้อนของสารประกอบที่มีในโครงสร้างทำให้เกิดอะคริลาไมด์ [31] ดังรูปที่ 2.5



รูปที่ 2.5 แสดงการเกิดอะคริลามีดจากการสลายตัวของไขมัน [31]

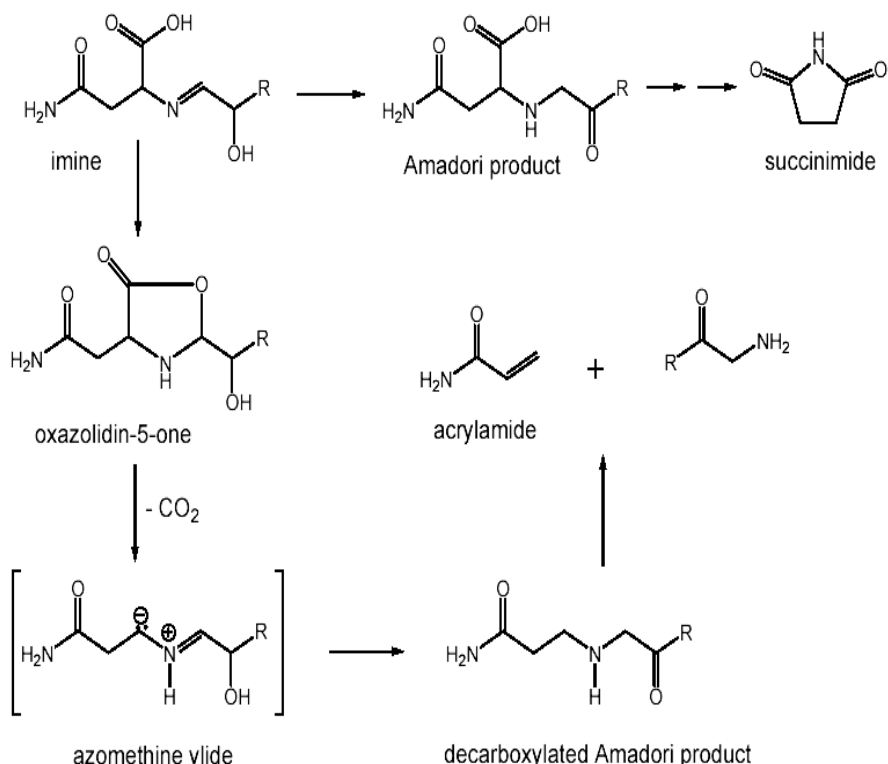
ปัจุบันมีศึกษาเชิงลึกเกี่ยวกับกลไกการเกิดอะคริลามีด เช่น งานวิจัยของ Zyzak และคณะ [32] กลไกของการเกิดอะคริลามีดจากปฏิกิริยาของกรดอะมิโนและสารเจนกับสารประกอบที่มีคาร์บอนิล เมื่อการให้ความร้อนทำให้เกิด Schiff base และกำจัดคาร์บอนไดออกไซด์ออก จาก Schiff base จากนั้นสามารถเกิดอะคริลามีดได้โดยตรงจากการปฏิกิริยาขัดของอีมีนหรือการเกิดปฏิกิริยาไฮโดรไลซ์ (hydrolyze) ทำให้เกิด 3- aminopropanamide จากนั้นจะสลายตัวโดยขัดแยมโมเนียออก เกิดเป็นสารอะคริลามีด (รูปที่ 2.6)



รูปที่ 2.6 แสดงกลไกการเกิดอะคริลามีดจากสมมติฐานของ Zyzak และคณะ [33]

งานวิจัยของ Yaylayan และคณะ [34] เมื่อให้การสลายตัวด้วยความร้อนของแอสพาราเจน จะทำให้เกิด maleimide เป็นผลิตภัณฑ์หลัก เนื่องจากการเกิดปฏิกิริยารูมเป็นวงกวายในโมเลกุล (intramolecular cyclization reaction) อย่างรวดเร็วทำให้ป้องกันการเกิดของอะคริลามีด คณะวิจัย พนกการเกิด succinimide จากการให้ความร้อนแก่ของผสมระหว่างแอสพาราเจนและกลูโคสเกิดเป็น Amadori product จากนั้นเกิดปฏิกิริยารูมเป็นวงกวายในโมเลกุล (intramolecular cyclization) เกิดเป็น succinimide และตั้งสมมุติฐานการเกิดแข่งขันของปฏิกิริยารูมเป็นวงกวายในโมเลกุลระหว่าง Amadori product กับ Schiff base (ทำให้ได้ oxazolidin-5-one) เมื่อกำจัดคาร์บอนไดออกไซด์

ออกจะได้ azomethine ylide ซึ่งจะไม่มีรวมเป็นวงกายนในโมเลกุลเนื่องจากการหายไปของหมู่การบักซิลแต่จะทำให้เกิดอะคริลาไมด์โดยผ่านปฏิกิริยา retro Michael แสดงดังรูปที่ 2.7 จากสมมติฐานนี้สามารถอธิบายได้ว่าทำในแอสพาราเจนจึงต้องการนำตาลวีดิวชิงในการทำปฏิกิริยาเพื่อให้ได้สารอะคริลาไมด์ เพราะถ้าไม่มีนำตาลหมู่คาร์บอชิลของแอสพาราเจนจากเกิดเพียงการรวมเป็นวงกายนในโมเลกุลทำให้ได้ succinimide



รูปที่ 2.7 แสดงกลไกการเกิดอะคริลาไมด์จากสมมติฐานของ Yaylayan และคณะ [33]

สรุปเมื่ออาหารได้รับความร้อนอาจเกิดอะคริลาไมด์ได้ 3 แนวทาง [35] คือ

- 1) เกิดจากอะโครลีน (2-propenal, $\text{CH}_2=\text{CH-CHO}$) ซึ่งมาจากการสลายตัวของไขมันกรดอะมิโน โปรตีน คาร์โนไไซเดต และปฏิกิริยาเมลลาร์ดระหว่างกรดอะมิโนหรือโปรตีนและคาร์โนไไซเดต อะโครลีนเป็นสารตั้งต้นที่เป็นไปได้ที่ทำให้เกิดอะคริลาไมด์ เช่นการทำปฏิกิริยากับแอมโมเนียอิสระ(จากกรดอะมิโน) สามารถเปลี่ยนอะโครลีนให้เป็นอะคริลาไมด์
- 2) เกิดจากปฏิกิริยาไฮโดรไลซ์ (hydrolyse) การจัดเรียงตัวใหม่ (rearrangement) กำจัดการรับอนไดออกไซด์ (decarboxylation) ของโปรตีนและหรือกรดอะมิโน
- 3) เกิดจากกรดอะมิโนโดยตรง

ปัจจัยที่มีผลต่อการเกิดอะคริลาไมค์ในอาหารนอกจากสารตั้งต้นปฏิกิริยา (แօสพาราเจ็นและน้ำตาลรีดิวชิง) แล้ว ยังมีปัจจัยอื่นที่มีผลต่อการเกิดอะคริลาไมค์ได้แก่ อุณหภูมิและเวลาในการปรุงอาหาร สภาวะอื่นหรือพารามิเตอร์ในการเกิดปฏิกิริยา เช่น ค่าความเป็นกรด-ด่าง (pH) ปริมาณน้ำพื้นที่ผิวและบริเวณที่จะเกิดสีน้ำตาล [7]

2.1.4. ปริมาณอะคริลาไมค์ที่มีในอาหารและปริมาณที่คนได้รับจากอาหาร [3, 7, 35]

หลังจากสถาบัน NFA ของสวีเดนเปิดเผยแพร่ข้อมูลการพบสารนี้ในอาหารที่สำรวจหลายชนิดในเดือนเมษายน 2545 ประเทศอื่นก็ได้ทำการสำรวจอาหารในประเทศตนเองทันที ได้ข้อมูลที่สอดคล้องกับการศึกษาของนักวิจัยสวีเดน คือ พ布ในอาหารทอดหรืออบ โดยเฉพาะมันฝรั่งหรือมันเทศ บนมีปังและบนมีปังกรอบ หลายตัวอย่างพบปริมาณสูงมากกว่า 1,000 ไมโครกรัมต่อกิโลกรัม คณะที่ปรึกษา FAO/WHO ได้รวบรวมข้อมูลการสำรวจอาหารของประเทศต่างๆ ที่ได้ผลก่อนวันประชุมคือ 25-27 มิถุนายน 2545 ตามตารางที่ 2.1

ตารางที่ 2.1 ปริมาณอะคริลาไมค์ในอาหารจากผลการศึกษาของนอร์เวย์ สวีเดน สวิตเซอร์แลนด์ อังกฤษ และสหรัฐอเมริกา [35]

อาหาร/กลุ่มผลิตภัณฑ์	ปริมาณอะคริลาไมค์ (ไมโครกรัมต่อกิโลกรัม)			
	ค่าเฉลี่ย	ค่ากลาง	ค่าต่ำ-ค่าสูง	จำนวนตัวอย่าง
Crisps, potato/ sweet potato	1,312	1,343	170-2,287	38
Chip, potato	537	330	น้อยกว่า 50 -3,500	39
Batter based products	36	36	น้อยกว่า 30 - 42	2
Bakery products	112	น้อยกว่า 50	น้อยกว่า 50-450	19
Biscuits, crackers, toast, bread crisps	423	142	น้อยกว่า 30- 3,200	58
Breakfast cereals	298	150	น้อยกว่า 30- 1,346	29
Crisps, corn	218	167	34- 416	7
Bread, soft	50	30	น้อยกว่า 30- 162	41
Fish and seafood products, crumbed, battered	35	35	30-39	4
Poultry or game, crumbed, battered	52	52	39-64	2
Instant malt drinks	50	50	น้อยกว่า 50 - 70	3
Chocolate powder	75	75	น้อยกว่า 50 - 100	2
Coffee powder	200	200	170-230	3
Beer	น้อยกว่า 30	น้อยกว่า 30	น้อยกว่า 30	1

การประเมินการได้รับสัมผัสสารอะคริลามีด์ ผู้บริโภคทั่วไปโดยส่วนใหญ่แล้วจะได้รับสารนี้เข้าสู่ร่างกายจากการบริโภคอาหาร มีหลายหน่วยงานได้ทำการศึกษาการประเมินปริมาณการได้รับสัมผัสสารอะคริลามีด์ที่ได้จากการบริโภคอาหาร ดังสรุปในตารางที่ 2.2 การประเมินการได้รับสัมผัสจาก การบริโภคอาหาร ในระยะเวลาสั้นพบปริมาณการบริโภคเฉลี่ย 0.2 ไมโครกรัมต่อน้ำหนักตัวหนึ่งกิโลกรัมต่อวัน และการบริโภคที่ปริมาณสูง 3.4 ไมโครกรัมต่อน้ำหนักตัวหนึ่งกิโลกรัมต่อวัน นอกจากนี้ยังมีการคาดหมายกันไว้ว่าเด็กอาจจะได้รับสารอะคริลามีดเข้าสู่ร่างกายจากการบริโภคอาหาร ในปริมาณที่มากกว่าผู้ใหญ่ 2-3 เท่า เมื่อใช้น้ำหนักตัวเป็นพื้นฐานในการพิจารณา ทั้งนี้ผู้บริโภคนางคนอาจได้รับสารอะคริลามีดเข้าสู่ร่างกายในปริมาณที่มากกว่าค่าเฉลี่ย 2-3 เท่า

ตารางที่ 2.2 สรุปปริมาณการได้รับสัมผัสสารอะคริลามีดจากการบริโภคอาหารประจำวัน [7]

หน่วยงาน/ประเทศ	ปริมาณการได้รับสัมผัสสารอะคริลามีดจากการบริโภคอาหารประจำวัน (ไมโครกรัมต่อน้ำหนักตัวหนึ่งกิโลกรัมต่อวัน)*
FAO/WHO	0.3-0.8
EU SCF	0.2-0.4
BfR, Germany	1.1 – 3.4
BAG, Switzerland	0.28
SNT, Norway	0.32 – 1.35
AFSSA, France	0.5 - 2.9
SNFA, Sweden	0.45 – 1.03
NFCS, Netherlands	0.48 – 1.1
USA	0.43 – 2.31
UK	0.3 – 1.8
JECFA	1 – 4

* ช่วง คือ การประเมินได้รับสัมผัสจากการบริโภคเฉลี่ย ถึง สูง

สหรัฐอเมริกาโดย US-FDA เพยแพร่การสำรวจ 3 ช่วง คือ ตัวอย่างที่เก็บก่อน 15 พฤศจิกายน 2545 ระหว่างพฤษจิกายน 2545-7 กุมภาพันธ์ 2546 และช่วง 8 กุมภาพันธ์-ตุลาคม 2546 รวมอาหาร 22 ชนิด 449 ตัวอย่าง กับได้ตรวจปริมาณสารนี้ในอาหารตามโครงการ Total diet study [3] อันเป็นแผนงานที่ใช้ประมาณค่าได้รับสารเคมีจากอาหารต่อวัน (เช่น สารกำจัดศัตรูพืช โลหะหนัก) ของคนอเมริกันอายุและเพศต่างๆอยู่แล้ว โดยเก็บตัวอย่างอาหารปัจจุบันสำเร็จ อาหารที่

ต้องนำมาปูรุงสุกก่อนบริโภคและอาหารที่บีบริโภคดิน เช่น ผลไม้จากรัฐในภาคตะวันตก กลางและเหนือได้แต่ละวันออกเนี่ยงให้ รวมทั้งหมวด 286 ชนิด ข้อมูลในภาพรวมจากทั้งสองโครงการพบอะคริลาไมคร์ระดับต่างๆ คือ

- พบสูง ในอาหารที่มีแบ่งซึ่งปูรุงสุกด้วยการหยอดน้ำมันและอบบนปังบางชนิดหลังปีงพบสารนี้สูงขึ้น 5-6 เท่า ซึ่งใกล้เคียงกับที่พบในขนมปังกรอบ
- พบ ในผักบางชนิดที่ปูรุงสุกบางส่วนคือ แครอท สควอช ถั่วลันเตา และมะกอกคำ
- พบปริมาณไม่มาก ในขนมกรอบจากข้าวเจ้าข้าวผัดจากร้านอาหารจีน พิชช่า ทาโกะ ข้าวโพดถั่วที่อบโดยไม่โคลเวฟ ถั่วลิสงอบ เนย ถั่วลิสง เมล็ดทานตะวันอบ
- พบเล็กน้อย ในไก่ชูบแป้งทอด
- ไม่พบ ในเนื้อรัว ไก่ ตับวัว หมู แฮม ปลาดุก ซึ่งหยอดน้ำมัน น้ำมันมะกอกและน้ำมันพีช สารรัฐอเมริกาได้นำข้อมูลที่ได้เพิ่มใหม่มาประเมินการได้รับสัมผัสสารพิษนี้ (exposure assessment) จากการบริโภคอาหารประจำวันของคนอเมริกันได้ค่าเท่ากันทั้งข้อมูลปี 2546 และ 2547 คือ 0.4 ไม่โครงการต่อหน้าหนักตัวหนึ่งกิโลกรัมต่อวัน มีการศึกษาในอังกฤษ เปรียบเทียบระดับอะคริลาไมคร์ในอาหารชนิดเดียวกันที่ปูรุงเองในบ้าน กับที่ผลิตเป็นการค้า พบว่าปริมาณใกล้เคียงกัน

2.2 โคมาราฟิของเหลวแมสสเปกโกรมเมทรี (Liquid Chromatography Mass Spectrometry, LC-MS) [36, 37, 38]

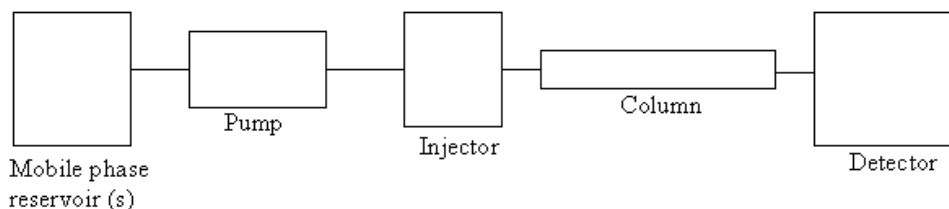
2.2.1 หลักการพื้นฐาน

เทคนิค LC-MS ต้องมีอินเตอร์เฟสระหว่างเครื่อง โคมาราฟิและแหล่งผลิต ไอออนของเครื่อง MS ซึ่งเป็นจุดสำคัญที่ต้องขัดของเหลวที่เป็นตัวทำละลายทั้งหลายออกจากส่วนที่แยกได้จากเครื่อง HPLC จึงเป็นการลดความดันของสารตัวอย่างให้อยู่ในระดับที่เหมาะสมกับแหล่งที่ทำให้ไอออนของมวลที่จะวิเคราะห์ในขณะนั้น

สำหรับเครื่อง LC-MS ประกอบด้วยส่วนประกอบหลัก 3 อย่าง คือ

- 1) เครื่อง LC เพื่อใช้แยกสารประกอบที่ต้องการออกจากสารผสม
 - 2) อินเตอร์เฟสใช้ลำเลียงสารที่วิเคราะห์เข้าสู่แหล่งผลิต ไอออนของเครื่อง MS
 - 3) เครื่อง MS ใช้แหล่งผลิต ไอออนและวิเคราะห์มวลสารแต่ละชนิดที่แยกได้จากเครื่อง LC
- ปัจจุบันนี้ส่วนใหญ่การแยกสารด้วยเทคนิค HPLC มีพื้นฐานเกี่ยวกับการพาร์ติชัน (partitioning) ของโมเลกุลที่จะวิเคราะห์ระหว่างเฟสเคลื่อนที่ (mobile phase) ซึ่งเป็นของเหลวกับเฟสนิ่ง (stationary phase) ซึ่งเป็นอนุภาคของแข็ง ส่วนประกอบที่จำเป็นของระบบ HPLC คือ มีแหล่งเก็บตัวทำละลาย (solvent reservoir) ระบบส่งตัวทำละลาย นิดสารแบบปริมาตรคงที่ (loop

injector) คอกลัมน์และเครื่องตรวจวัดสัญญาณ (detector) (รูปที่ 2.8) สัญญาณที่ได้ส่งไปยังระบบจัดการข้อมูล (data system)



รูปที่ 2.8 ไดอะแกรมของระบบ HPLC [36]

2.2.2 แมสสเปกโทรมิเตอร์ (Mass spectrometer, MS)

แมสสเปกโทรมิเตอร์เป็นเครื่องมือใช้ตรวจวัดมวลของโมเลกุลมีประจุไฟฟ้าหรือไม่อนอน แมสสเปกโทรมิเตอร์เป็นเทคนิคที่ใช้สำหรับพิสูจน์เอกลักษณ์และหาปริมาณสารประกอบ และอธิบายลักษณะโครงสร้างและคุณสมบัติทางเคมีของโมเลกุล มีข้อดีที่สำคัญคือมีความจำเพาะต่อโมเลกุล (molecular specificity) สูงและมีความไวสูงในการตรวจวัด (detection sensitivity) ไม่อนอนในแมสสเปกโทรมิเตอร์นี้จะถูกจัดเก็บเป็นมวลต่อประจุ (m/z) เนพะแต่ละไม่อนอนสัญญาณที่ได้จากคีเทกเตอร์เกิดจากการเปลี่ยนกระแสไฟฟ้า ขนาดของสัญญาณไฟฟ้านี้จะสอดคล้องกับมวลต่อประจุที่ถูกเปลี่ยนให้เป็นแมสสเปกตรัม (mass spectrum) โดยระบบข้อมูล (data system)

การเชื่อมต่อ HPLC เข้ากับ MS จึงเป็นเสมือนการประสานผลประโยชน์ อันเนื่องจากความสามารถในการแยกสารผสมออกจากกันด้วยค่าริโซลูชัน (resolution) สูงของเทคนิค HPLC และความสามารถในการตรวจสอบลักษณะเฉพาะตัวทางโครงสร้างด้วยความไวสูงของเทคนิคแทนเดิมแมสสเปกโทรมิเตอร์ (MS-MS) จึงกลายมาเป็นความสำเร็จในการหา universal detector สำหรับระบบ LC และข้อดีที่สำคัญในเบื้องต้นของเทคนิค LC-MS มีดังนี้ [38]

- เพิ่มขีดความสามารถ (capability) ของเทคนิค HPLC และ MS ให้สูงขึ้น หรือกล่าวอีกนัยหนึ่ง คือ ไม่จำเป็นต้องใช้เครื่อง HPLC ที่สามารถแยกสารด้วยค่าริโซลูชันสูงก็ได้ หรือสามารถเลือกใช้เครื่อง MS ที่มีค่าริโซลูชันต่ำ และราคาไม่ค่อยแพงนักมาเป็นเครื่องตรวจวัดมวลได้อย่างมีประสิทธิภาพ

- สามารถปรับปรุงให้มีความจำเพาะต่อโมเลกุล (molecular specificity) ของการวิเคราะห์ เนื่องจากสามารถพิสูจน์เอกลักษณ์ได้จากข้อมูลการรีเทนของกระบวนการแยก (chromatographic retention time) และข้อมูลจาก MS ที่จำเพาะต่อโครงสร้างของโมเลกุล

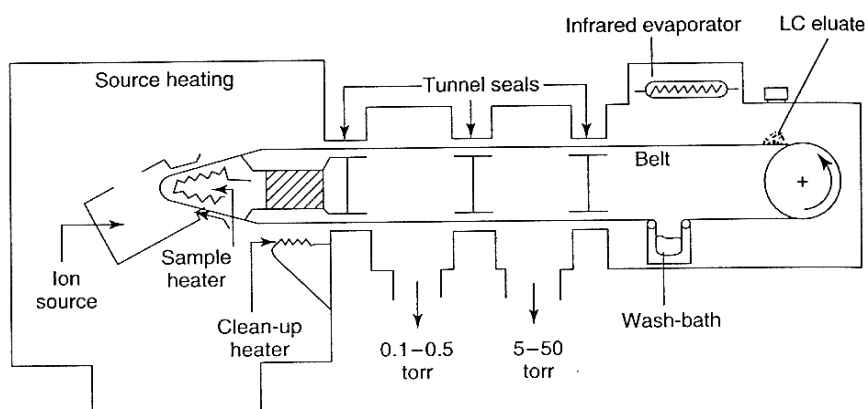
- สามารถวิเคราะห์สารผสมที่ซับซ้อนได้ง่าย

- สามารถปรับปรุงความไวของการวิเคราะห์ เนื่องจากสารตัวอย่างที่เข้าสู่เครื่อง MS อยู่ในลักษณะแคบๆ (narrow-focused band) ที่แยกออกจาก HPLC
- ลดขั้นตอนอื่นๆ ใน การทดลองได้บ้าง ส่งผลให้สัญญาณตัวอย่างน้อยที่สุดและการย่นเวลาในการวิเคราะห์ทั้งหมดให้สั้นลง
- ใช้สารตัวอย่างน้อยกว่าวิธีการวิเคราะห์โดยใช้เครื่อง LC-MS แบบแยกกันคนละเครื่อง
- เนื่องจากการแยกสารด้วย HPLC เสมือนการทำให้ตัวอย่างสะอาดขึ้น (sample cleanup) ดังนั้น การปรับสัญญาณในการวิเคราะห์ด้วย MS จึงทำได้ง่ายขึ้น เป็นการปรับปรุงคุณภาพข้อมูลของแม斯เปกตรัมได้อีกทางหนึ่ง

2.2.3 เทคโนโลยีของอินเตอร์เฟส (Interface Technology)

แม้ว่าได้พัฒนามา LC มาต่อเข้ากับ MS ตั้งแต่ปี 1970 เป็นต้นมา ก็ตาม ที่ยังไม่ค่อยประสบผลสำเร็จอย่างมีประสิทธิภาพเท่าที่ควร ทั้งนี้เนื่องจากความแตกต่างทางพื้นฐานในด้านสภาวะการทำงาน อินเตอร์เฟสเป็นตัวต่อประสานระหว่าง LC และ MS ทำหน้าที่ให้มีผลกระทบของสารในสภาวะสารละลายแตกตัวเป็นไออ่อน มีการพัฒนาอินเตอร์เฟสของ LC-MS หลายรูปแบบ แต่ที่มีเพียงไม่กี่แบบที่ใช้ได้ผลดีและเป็นที่ยอมรับกันอยู่ทั่วไป มีอินเตอร์เฟสบางแบบท่านั้นที่มีจำหน่ายในห้องทดลอง ปัจจุบันอินเตอร์เฟสสำหรับ LC-MS ที่นิยมใช้คือแบบสเปรย์ไฟฟ้าและแบบผลิตไออ่อนทางเคมีที่ความดันบรรยายกาศ

2.2.3.1 อินเตอร์เฟสแบบสายพานเคลื่อนที่ (Moving-Belt Interface) เป็นอินเตอร์เฟสชนิดแรกสำหรับ LC-MS ที่มีการขาย แต่ที่ยังไม่ติดตลาดเท่าไรนัก เป็นการออกแบบระบบเชื่อมต่อเครื่องมือซึ่งให้สารที่แยกได้จาก LC ถูกขนถ่ายไปตามกลไกขันเคลื่อนเข้าสู่แหล่งผลิตไออ่อนของเครื่องแมสเปกโตรามิเตอร์ ดังรูปที่ 2.9



รูปที่ 2.9 อินเตอร์เฟสแบบสายพานเคลื่อนที่ (Moving-Belt Interface) [36]

หลักการทำงานแบ่งออกเป็น 4 ขั้นตอนดังนี้

ขั้นตอนที่ 1 สารที่ถูกจะออกมา เช่น เฟสเคลื่อนที่และสารที่สันใจ (analyte) จะเคลื่อนที่อย่างต่อเนื่องบนสายพาน

ขั้นตอนที่ 2 เป็นขั้นตอนการกำจัดเฟสเคลื่อนที่โดยสายพานจะเคลื่อนที่ผ่านช่องให้ความร้อน infrared heater

ขั้นตอนที่ 3 สายพานเคลื่อนที่ผ่านเข้าสู่แหล่งผลิตไออกอน สารตัวอย่างจะหายออกจากสายพานนี้อย่างรวดเร็ว

ขั้นตอนที่ 4 ทำการทดสอบสายพานโดยการให้ความร้อนหรือมีอ่างน้ำล้างเพื่อกำจัดส่วนประกอบที่ไม่ระเหยหรือตัวอย่างที่เหลือก่อนที่จะเริ่มวิเคราะห์ครั้งต่อไป ซึ่งเริ่มตั้งแต่ขั้นตอนที่ 2 -4

รูปแบบการสะสมบนสายพานของสารที่สันใจนั้นขึ้นอยู่กับเฟสเคลื่อนที่และอัตราการไอลโดยที่ต้องรักษาความสมดุลของอัตราการสะสมของตัวทำละลาย ความเร็วของสายพานและความร้อนที่ให้โดย infrared evaporator นั้น การที่สายพานเคลื่อนที่เร็วเกินไปจะสัมพันธ์กับการสะสมซึ่งจะทำให้ตัวอย่างไม่สามารถสะสมบนสายพานได้ทุกส่วนเป็นผลทำให้กระแสไออกอนรวม (total - ion - current ,TIC) ไม่สม่ำเสมอและแมสสเปกตรากความต่อเนื่อง เป็นสาเหตุทำให้การแปลผล (interpretation) เกิดผิดพลาดได้ โดยเฉพาะเมื่อมีการเทียบ library จากเครื่องมือ การขาดความต่อเนื่องของ TIC ก็อาจเกิดขึ้นได้เมื่อกันถ่ายสายพานเคลื่อนช้ามากเกินไป ภายใต้สภาวะนี้จะทำให้เฟสเคลื่อนที่เกิดหยุดมากกว่าที่จะแผ่ออกบนสายพาน หยุดที่เกิดขึ้นนี้ทำให้ต้องเพิ่มความร้อนมากขึ้นเพื่อจะระเหยตัวทำละลายและอาจทำให้สารประกอบที่ไม่เสถียรต่อความร้อนนั้นเกิดการสลายตัวได้

ข้อดีของอินเตอร์เฟสชนิดนี้

- สามารถใช้กับสภาวะของ HPLC ได้หลากหลายสภาวะ เช่น อัตราการไอลและเฟสเคลื่อนที่ใช้ได้ทั้งนอร์молเฟสและรีเวอร์สเฟส โดยเฉพาะอย่างยิ่งถ้ามีการใช้งานแบบสเปรย์สะสม (spray deposition)

- สารที่สันใจนั้นสามารถเลือกใช้วิธีการไออกอนเชิง แบบอิเลคตรอนอิมแพคท์ (electron impact, EI) เกิดไออกอนแบบบิชีทางเคมี (chemical ionization, CI) และแบบการชนกับอะตอมความเร็วสูง (fast atom bombardment ionization , FAB) ที่หาได้ง่าย

ข้อเสียของอินเตอร์เฟสชนิดนี้

- มักพบว่าแมสสเปกตราระบบที่ได้จากการใช้อินเตอร์เฟสชนิดนี้นั้นมีสัญญาณรบกวนทางเคมี (chemical background) สูง ซึ่งเกิดจากวัสดุของใช้ผลิตสายพานที่ทำมาจาก stainless steel หรือ polyimide ดังนั้นก่อนใช้งานต้องเตรียมสภาวะ (conditioning) ของสายพานประมาณ 12 ชั่วโมง

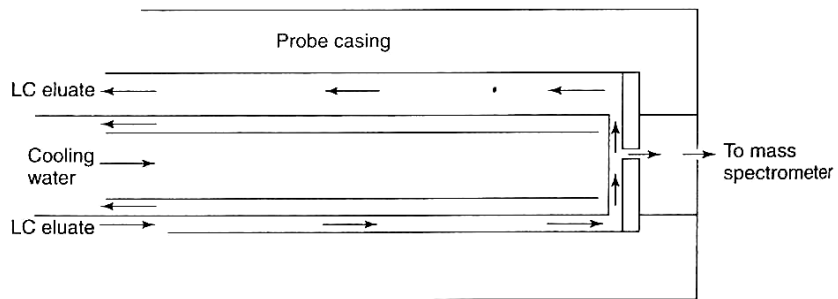
- สายพานอาจเกิดการพลิกคว่ำหรือหักในขณะทำงานได้

- ไม่เหมาะสมสำหรับการวิเคราะห์สารประกอบที่ไม่เสถียรต่อความร้อนเนื่องจากต้องมีการให้ความร้อนเพื่อกำจัดเฟสเคลื่อนที่และลำเลียงสารที่สนใจจากสายพานไปยังแหล่งกำเนิดไอออนของแมสสเปกโตรมิเตอร์ สารประกอบที่ระเหยยากทำให้ไม่สามารถถูกดึงออกจากสายพานได้ ยกเว้นต้องใช้วิธี FAB ในการไอออดในเชิงซ้อน
- เฟสเคลื่อนที่ที่มีสัดส่วนของน้ำอยู่ในปริมาณมากนั้นจะทำให้เกิดหยดบนสายพานแทนที่จะเป็นพิล์ม ทำให้ขาดความต่อเนื่องของ TIC และไม่สามารถดูดแบบแมสสเปกตราได้
- พบว่ามักมีผลกระทบจาก “memory effect” เกิดขึ้นในการวิเคราะห์ถึงแม้ว่าจะมีการให้ความร้อนหรืออ่างน้ำในการทำความสะอาด
- ผลกระทบแรงตึงผิวสามารถลดขึ้นจำกัดในการตรวจพบ (detection limit)
- ต้องหลีกเลี่ยงการใช้สารละลายบันพเฟอร์ที่ไม่ระเหยเพื่อป้องกันไม่ให้เกิดการอุดตันใน tunnel seal ซึ่งจะเป็นส่วนที่แยกส่วนสุญญากาศที่แตกต่างกันของอินเตอร์เฟส ตรงบริเวณนี้มักจะทำให้สายพานเกิดการชนได้ง่าย

2.2.3.2 อินเตอร์เฟสแบบการนำของเหลวเข้าเครื่องโดยตรง (Direct-Liquid-Introduction Interface, DLI) อินเตอร์เฟสแบบนี้สามารถนำของเหลวเข้าเครื่องโดยตรงนั้น จัดเป็นอีกเทคนิคหนึ่งปล่อยให้ส่วนที่แยกได้จากคลัมป์ไอลส์แมสสเปกโตรมิเตอร์โดยตรง ที่ปลายของอินเตอร์เฟสมีรูเล็กๆ (pinhole) ที่มีเส้นผ่านศูนย์กลางประมาณ 5 ไมครอน ซึ่งอยู่ติดกับช่องระเหยตัวทำละลาย (desolvation chamber) ที่แนบอยู่กับแหล่งกำนิดไอออนของแมสสเปกโตรมิเตอร์ (รูปที่ 2.10) ส่วนที่แยกจากคลัมป์ของ HPLC จะไอลเวียนไปร่อนๆ อินเตอร์เฟสจะถูก pinhole และพ่นผ่านออกมายังลักษณะ “liquid jet” อัตราการไอลมากรวมที่สุดที่เหมาะสมกับการทำงานของแมสสเปกโตรมิเตอร์อยู่ในช่วง 10-20 ในโครลิตต่อนาที โดยทั่วไปนั้น HPLC ใช้อัตราการไอลประมาณ 500 -1000 ในโครลิตต่อนาทีดังนั้นจะมีสารที่แยกจากคลัมป์เพียง 1- 4 % เท่านั้นที่จะไอลถึงแหล่งกำนิดไอออน ทำให้ความไว (sensitivity) ต่ำ ซึ่งระเหยตัวทำละลายจะช่วยให้การใช้เทคนิค DLI กับ CI-MS แบบธรรมดานั้นเกิดผลดีขึ้น การใช้น้ำหล่อเย็นที่ปลายอินเตอร์เฟสจะช่วยป้องกันมิให้เกิดการระเหยตัวทำละลายออกไประบุก่อน

ข้อดีของอินเตอร์เฟสชนิดนี้

- ไม่มีการให้ความร้อนกับอินเตอร์เฟสทำให้สามารถใช้กับตัวอย่างที่ไม่ทนความร้อนได้มากกว่าอินเตอร์เฟสแบบสายพานเคลื่อนที่
- อินเตอร์เฟสประกอบด้วยส่วนที่ไม่เคลื่อนที่ ทำให้ราคาถูก ง่ายในการติดตั้งและใช้งาน



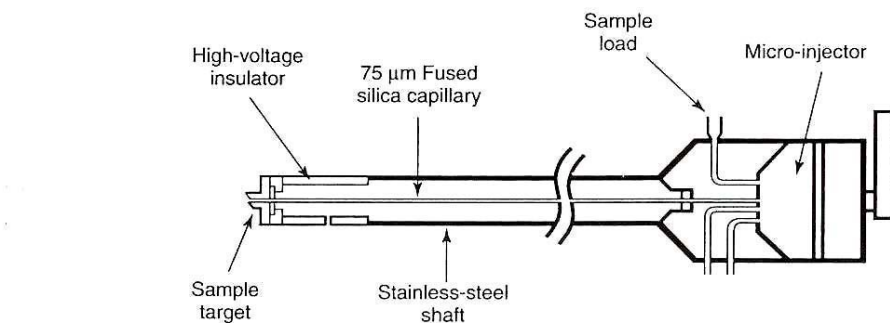
รูปที่ 2.10 อินเตอร์เฟสแบบการนำของเหลวเข้าเครื่องโดยตรง (Direct-Liquid- Introduction Interface, DLI) [36]

ข้อเสียของอินเตอร์เฟสชนิดนี้

- สารประกอบที่ไม่ระเหยมักจะไม่สามารถทำให้เป็นไออ่อนได้
- การเกิดอุดตันของ pinhole ดังนั้นระบบต้องปราศจากของแข็ง
- ความไวต่อ

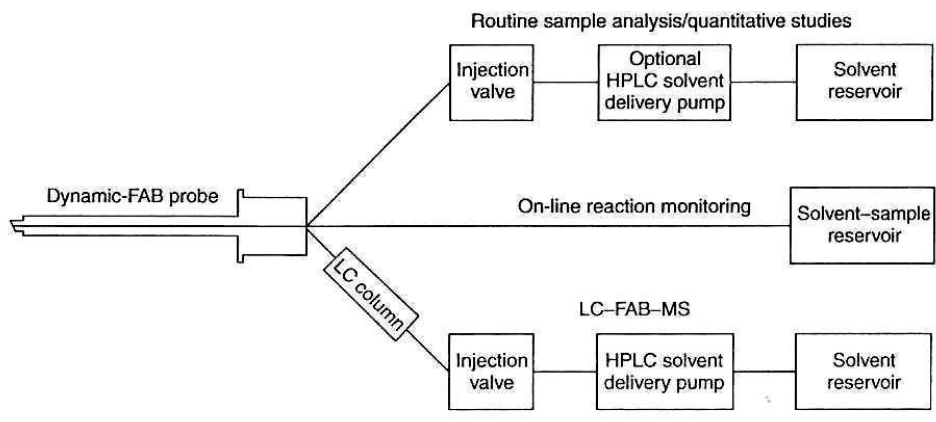
2.2.3.3 อินเตอร์เฟสแบบการชนกับอะตอมความเร็วสูงขณะที่ไอลต่อเนื่อง (Continuous -

Flow -Fast-Atom-Bombardment Interface) เทคนิค Fast Atom Bombardment (FAB) แบบดึงเดิมนั้นจะผสมสารที่สนใจกับ matrix material ที่เหมาะสม นำสารละลายผสมนี้เข้าไปที่ปลาย probe ตรงบริเวณแหล่งกำเนิดไออ่อนในแมสสเปกโทรมิเตอร์จากเกิดการ bombard กับลำแสงอะตอมหรือไออ่อน ส่วนใหญ่ matrix material ที่ใช้นั้นจะเป็นของเหลว เช่น กลีเซอรอล เติมลงไปเพื่อละลายสารที่สนใจและทำให้สารที่สนใจเกิดไออ่อนได้เช่นเดียวกับการถ่ายโอนพลังงานพลังงานสำหรับการไอลต่อเนื่องได้จากการอะตอมพลังงานสูง โดยทั่วไปใช้ชีโนน (xenon) หรือ ลามิโออ่อน (Cs^+) อยู่ตรงบริเวณปลาย probe สารละลายผสมจะถูกชนด้วยอะตอมความเร็วสูง เมื่อนำมาต่อเชื่อมกับ HPLC การไอลต่อเนื่องของ HPLC ทำให้เกิดลำแสงไอลต่อเนื่อง (ionizing beam) เมื่อนำเทคนิค FAB มาใช้ประโยชน์ใน LC-MS จะเรียกว่า “continuous- flow FAB” โดยอาจจะเติม matrix material ในสารที่จะจาก HPLC ได้ทั้งก่อนหรือหลังคอลัมน์ และของผสมนี้จะไอลต่อเนื่องไปยังปลาย probe ที่ใส่เข้าไปในแมสสเปกโทรมิเตอร์ จากนั้น bombard กับลำแสงอะตอม อินเตอร์เฟสประกอบด้วย probe ที่มีหลอดจิ้วอยู่ตรงกลางที่จะให้สารที่ถูกชะจาก HPLC ไอลต่อเนื่อง (รูปที่ 2.11) พบว่าเทคนิค FAB เมื่อมีเฟสเคลื่อนที่จะใช้ matrix material ลดลงเหลือประมาณเพียง 5-10 % จึงลดการรบกวนสัญญาณ ทำให้มีประสิทธิภาพสูงกว่าเมื่อเทียบกับเทคนิค FAB แบบดึงเดิม



รูปที่ 2.11 อินเตอร์เฟสแบบการชนกับอะตอมความเร็วสูงขณะที่ไหลต่อเนื่อง (Continuous-Flow – Fast-Atom-Bombardment Interface) [36]

การเติม matrix material ในเฟสเคลื่อนที่ก่อนที่จะทำการผ่านคลัมน์จะมีผลกระทบต่อ การแยกของโกรมาโทรกราฟ แต่ถ้าเติมหลังจากผ่านคลัมน์จะพบว่าทำให้พิกว้าง จึงได้มีการ พัฒนาอินเตอร์เฟสแบบ “dynamic FAB” ซึ่งจะเติม matrix material ปริมาณเพียงเล็กน้อยโดยไม่ทำ ให้ประสิทชิพใน การเกิดไอออกไซเดชันลดลง กรณี static FAB สารที่สนใจจะละลายใน matrix material นั้นมีวัตถุประสงค์ 2 อย่างคือ ถ่ายโอนพลังงานจากลำดงของอะตอมหรือไอออกอนที่ใช้ bombard ไปยังสารที่สนใจ และการเติมเติมพื้นที่ผิวในการ bombard ของโมเลกุลสารที่สนใจอย่าง ต่อเนื่องจะทำให้เกิดการไอออกไซเดชันมากที่สุด แต่สำหรับ dynamic FAB นั้น การเติมเติมพื้นที่ผิวไม่ สำคัญ เนื่องจากกระแสของเหลวที่ต่อเนื่องทำให้ได้โมเลกุลสารที่สนใจใหม่เสมอ วัตถุประสงค์ หลักของเติม matrix material ที่เติมลงไป คือ การถ่ายโอนพลังงานจึงสามารถใช้ปริมาณน้อยได้ โดยปกติใช้ปริมาณ 1% ความไวของ dynamic FAB ดีกว่า static FAB เป็นผลมาจากการลดลง ของการรวมตัวระหว่างสารที่สนใจและ matrix material นอกเหนือ dynamic FAB ยังสามารถใช้ กับระบบ HPLC ที่ไม่มีคลัมน์สำหรับแยกได้ (รูปที่ 2.12) จากความแตกต่างของความดันระหว่าง แม่สเปกโทรมิเตอร์กับสภาพแวดล้อมในห้องปฏิบัติการนั้นทำให้สามารถดึงดูดสารละลาย (สารที่สนใจและ matrix material) เข้าไปใน probe โดยผ่านหลอดจี้ได้โดยตรง ข้อดีอย่างเดียวของ dynamic FAB คือสามารถศึกษาสารที่สนใจในช่วงมวลโมเลกุลต่ำกว่า 2,000 ดาลตัน แต่สำหรับ static FAB ในช่วงมวลโมเลกุลสูงกว่า 10,000 ดาลตัน



รูปที่ 2.12 อินเตอร์เฟสแบบ dynamic FAB แบบต่างๆ [36]

ข้อดีของอินเตอร์เฟสชนิดนี้

- อินเตอร์เฟสชนิดนี้หมายความว่าสามารถปรับแต่งการฉีดสารที่ต้องการได้ตามที่ต้องการโดยการเปลี่ยน probe เพื่อป้องกันการแข็งตัวของเฟสเคลื่อนที่ขณะที่ระเหย เนื่องจากเมื่อเกิดการระเหยของเฟสเคลื่อนที่จะทำให้อุณหภูมิที่ปลาย probe ลดลง

- อินเตอร์เฟสชนิดนี้สามารถใช้กับอัตราการไหลต่ำ ดังนั้นสามารถใช้คอลัมน์ HPLC แบบไมโครบอร์ (microbore) จะให้พิกแคนและความไวสูงสามารถใช้กับตัวอย่างปริมาณน้อยได้
- สามารถใช้ปริมาณ matrix material เล็กน้อยเมื่อใช้ dynamic FAB จะลดสัญญาณรบกวนทางเคมี

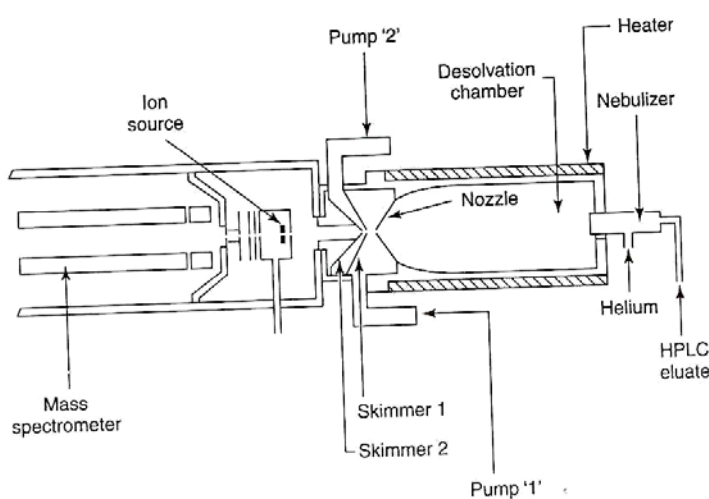
ข้อเสียของอินเตอร์เฟสชนิดนี้

- การเติม matrix material ในเฟสเคลื่อนที่ก่อนผ่านคอลัมน์จะทำให้การแยกของโกรมา-โทกราฟมีปัญหา ในการฉีดที่ใช้คอลัมน์ที่เส้นผ่านศูนย์กลางเล็ก อัตราการไหลที่ใช้ก็จะต่ำด้วย ดังนั้น จึงต้องเพิ่มความเข้มข้นของ matrix material ในเฟสเคลื่อนที่เพื่อให้มีปริมาณพอเหมาะสมเมื่อถึงปลาย probe

- ถ้าใช้คอลัมน์ HPLC ทั่วไปและสารที่สนใจด้วยอัตราการไหลของเฟสเคลื่อนที่เหมาะสม ผลที่ได้มักจะมีความไวลดลง

2.2.3.4 อินเตอร์เฟสแบบลำอนุภาค (Particle-Beam Interface) กลไกของอินเตอร์เฟสนี้จะให้ส่วนที่แยกได้จาก LC ไหลผ่านรูขนาดเส้นผ่านศูนย์กลาง 10 ไมโครเมตร เข้าสู่ช่องกำจัดตัวทำละลาย (desolvation chamber) ซึ่งเป็นส่วนที่ทำให้ของเหลวกลายเป็นหยด ผ่านกระบวนการนี้จะช่วยทำให้เหลือสารที่สนใจในสภาพที่เป็นอนุภาคแห้ง (dry particulate state) ที่เดินทางด้วยความเร็วสูง

จากนั้นลำอนุภาค ไอของตัวทำละลาย และไฮเดรียมจะไหลด่าระบบแยกส่วนเชิงโมเมนตัม (momentum separation) คล้ายกับกลไกการแยกที่เกิดขึ้นในคอลัมน์ของเทคนิค GC-MS ลำอนุภาคที่ความดันต่ำๆ (10^{-6} 托ร์) เมื่อเข้าสู่แหล่งผลิตไออยู่บนประภากับความร้อนแล้วระเหย (รูปที่ 2.13) วิธีนี้เหมาะสมกับอัตราการไหลด้วยสูงถึง 2 มิลลิลิตรต่อนาที อย่างไรก็ตาม อาจใช้อัตราการไหลดในช่วง 0.1 - 0.5 มิลลิลิตรต่อนาที ซึ่งเหมาะสมกับการใช้เฟสเคลื่อนที่ชนิดที่เป็นสารอินทรีย์และสารละลายของลำอนุภาคนี้



รูปที่ 2.13 อินเตอร์เฟสแบบลำอนุภาค (Particle-Beam Interface) [36]

ข้อดีของอินเตอร์เฟสชนิดนี้

- สารประกอบที่เสถียรต่อความร้อนและระเหยยากไม่สามารถให้สเปกตร้า EI เมื่อใช้วิธีนำสารเข้าโดยทั่วไป ดังนั้นสามารถใช้อินเตอร์เฟสแบบลำอนุภาคแทนอินเตอร์เฟสแบบเดิมได้ ข้อเสียของอินเตอร์เฟสชนิดนี้
 - ความไวของอินเตอร์เฟสแบบลำอนุภาคไม่ได้เท่ากับความจำเพาะของสารที่สนใจ เพียงอย่างเดียวแต่ยังขึ้นกับสภาพที่ใช้ในการทดลอง ข้อจำกัดการตรวจพบจะคงที่สูงกว่าที่ต้องการ
 - ประสิทธิภาพของอินเตอร์เฟสแบบลำอนุภาคจะลดลงเมื่อใช้เฟสเคลื่อนที่มีเปอร์เซ็นต์ของน้ำสูง

2.2.3.5 อินเตอร์เฟสแบบการพ่นไออร์่อน (Thermospray Interface) กระบวนการของอินเตอร์เฟสแบบนี้ ประกอบด้วย 4 ขั้นตอน คือ

ขั้นตอนที่ 1 สารที่จะจาก HPLC เกิดเป็นหยด (droplets)

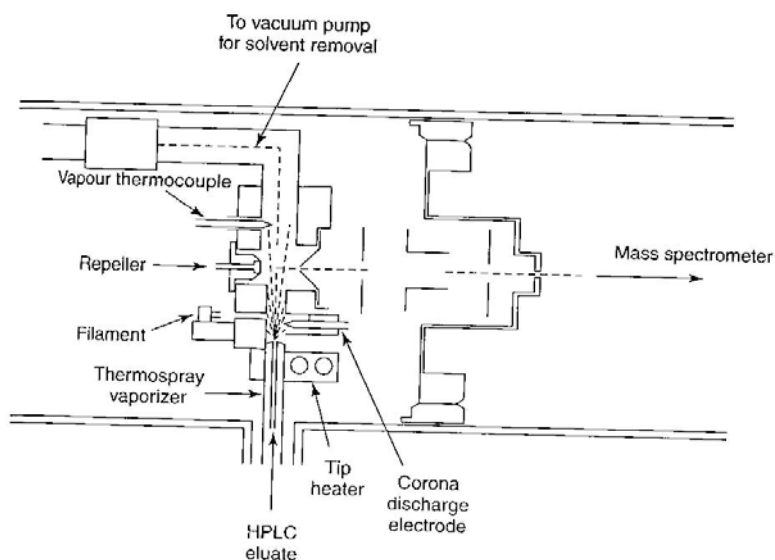
ขั้นตอนที่ 2 การเกิดประจุของหยดที่เกิดขึ้น

ขั้นตอนที่ 3 การระเหยตัวทำละลายออกจากหยด

ขั้นตอนที่ 4 เกิดไออ่อนจากสารที่สนใจ (analyte)

ระบบการพ่นไออร์่อน แสดงดังรูปที่ 2.14 ประกอบด้วย คอลัมน์จิว (capillary) ที่ถูกให้ความร้อนตลอดเวลาเมื่อส่วนที่แยกได้จาก LC ไหลผ่าน การควบคุมอุณหภูมิของคอลัมน์จิวจะให้ของเหลวกล้ายเป็นไอประมาณ 95 % ไอที่เกิดขึ้นหน้าที่เป็น “nebulizing gas” และช่วยให้กระแสของเหลวเป็นหยด หยดที่เกิดขึ้นจะถูกเรียบร้อยอินเตอร์เฟสที่มีการให้ความร้อนตามขวางและสารที่สนใจที่อยู่ในกระแสของเหลวจะเกิดเป็นไออ่อนโดยการทำให้เกิดปฏิกิริยาระหว่างไออ่อนกับโมเลกุล (ion-molecule reaction) เช่น การเกิดไออ่อนแบบเคมี (chemical ionization) หรือกระบวนการระเหยให้เป็นไออ่อน (ion-evaporation) ทั้งนี้จะขึ้นอยู่กับคุณสมบัติของกระแสของเหลวและสารที่สนใจ ไออ่อนที่เกิดขึ้นจะถูกเหนี่ยวนำด้วยกระแสไฟฟ้าให้เข้าสู่กรวยเก็บตัวอย่างไออ่อน (sampling cone) ซึ่งอยู่ในแนวตั้งจาก ส่วนที่เหลือนั้นจะถูกดูดจากแหล่งผลิตไออ่อน โดยการเสริมเครื่องปั๊มแบบธรรมชาติ ไว้อีกด้วย การออกแบบอินเตอร์เฟสจะมีทั้งแบบที่ใช้วัวด (filament) และหรืออิเล็กโทรด (discharge electrode) และระบบขับดัน (repeller) ในแหล่งผลิตไออ่อน ซึ่งจะช่วยจัดสภาพที่มีบัพเพอร์ปอนอยู่ในขณะที่กำลังเกิดการไออ่อนในส่วนระดับในการเกิดเป็นโมเลกุลส่วนย่อยๆ ท่าที่สังเกตได้จากแมสสเปกตรัมแล้ว สามารถควบคุมได้โดยปรับค่าศักย์ไฟฟ้าของระบบขับดัน การให้ความร้อนคอลัมน์จิวมากเกินไปจะทำให้เกิดการสะสมของสารที่สนใจที่คอลัมน์ และถ้าอินเตอร์เฟสทำงานด้วยสภาพนี้ไปนานๆ จะทำให้คอลัมน์จิวเกิดการอุดตัน แต่ถ้าให้ความร้อนไม่เพียงพอ ก็ไม่ทำให้เกิดไอและของเหลวที่ไหลมาที่จะไม่เกิดเป็นสเปรย์

การเติมสารละลายน้ำฟอเรที่ระเหยได้ง่าย เช่น เกลือแอมโมเนียมอะซิเตต (ammonium acetate) ลงในเฟสเคลื่อนที่จะช่วยทำให้สารตัวอย่างกล้ายเป็นไออ่อนโดยการเติมไออ่อนที่มีประจุบวก (H^+ หรือ NH_4^+) หรือประจุลบ (CH_3COO^-) ให้กับโมเลกุลที่เป็นกลางของสารที่สนใจ จากนั้นโมเลกุลของสารตัวอย่างที่เกิดเป็นไออ่อนแล้วก็จะสูญเสียตัวทำละลายออกไประยะที่อยู่ในสภาพไอร้อน (heated spray) และผ่านเข้าสู่เครื่องแมสสเปกโทรมิเตอร์เพื่อวิเคราะห์มวลต่อไป



รูปที่ 2.14 อินเตอร์เฟสแบบพ่นไอร์่อน (Thermospray Interface) [36]

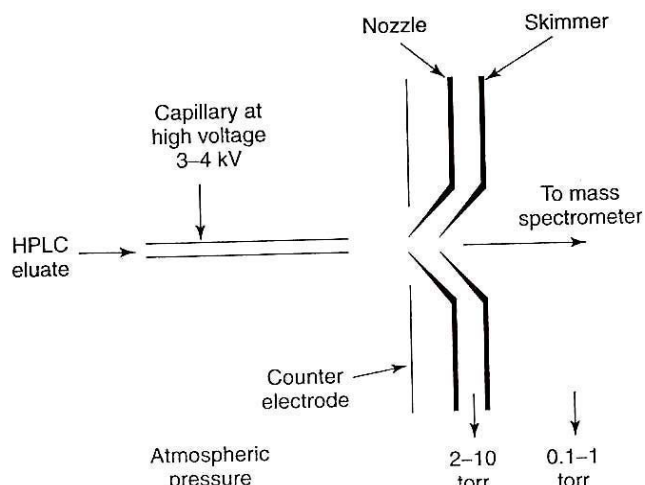
ข้อดีของอินเตอร์เฟสชนิดนี้

- สามารถปฏิบัติงานภายใต้สภาพ HPLC ช่วงกว้าง เช่น อัตราการไหลสามารถใช้ประมาณ 1 มิลลิลิตรต่อนาที และเฟสเคลื่อนที่สามารถใช้ส่วนประกอบของน้ำสูงขึ้น
 - ตัวอย่างถูกไอออนไนซ์โดยตรงจากสารละลาย ซึ่งสารละลายจะช่วยป้องกันความร้อนจึงทำให้ลดการสลายตัวของสารที่สนใจที่ไม่เสียรุ่อร่วมกันความร้อน
 - เนื่องจากสเปกトラที่ได้จากอินเตอร์เฟสชนิดนี้มักประกอบด้วยไอออนที่ง่ายของสเปซีฟิคโมเลกุลที่เกิดจากการแตกตัวเป็นไอออนย่อยเล็กน้อย ทำให้สามารถหาปริมาณน้ำหนักโมเลกุลได้อย่างไม่คลุมเครือ
 - การมี discharge electrode และ filament ในแหล่งผลิตไอออนแบบพ่นไอร์่อน ทำให้สามารถเพิ่มขอบเขตการศึกษาของสารประกอบได้กว้างขึ้น

ข้อเสียของอินเตอร์เฟสชนิดนี้

- อินเตอร์เฟสแบบนี้ไม่เหมาะสมกับสารที่สนใจที่มีมวลโมเลกุลสูง (มากกว่า 1,000 ดาตตัน)
- สารละลายบัพเพอร์ที่ใช้เป็นเฟสเคลื่อนที่ใน HPLC นั้นควรจะระเหยได้ง่าย

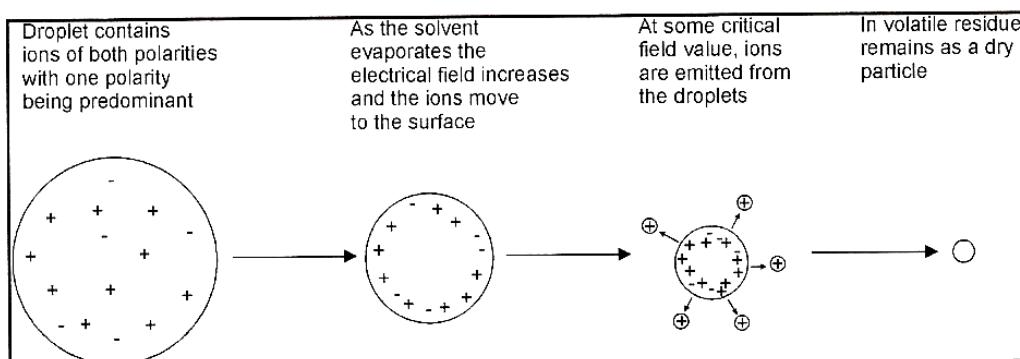
2.2.3.6 อินเตอร์เฟสแบบสเปรย์ไฟฟ้า (Electrospray Interface, ESI) จัดเป็นเทคนิคการนำส่วนที่แยกได้จาก HPLC เข้าเครื่องแมสสเปกโทรมิเตอร์เพื่อผลิตไอออนที่ความดันบรรยายกาศ (atmospheric pressure ionization, API) โดยส่วนที่แยกได้นี้ผ่านเข้า孔ลัมจิวที่มีการให้ศักย์ไฟฟ้าแรงสูง ที่ความดันบรรยายกาศ กระแสของเหลวที่ผ่านออกมานี้เป็นละอองขนาดเล็กจากนั้นหยดสารจะถูกระเหยตัวทำละลายออกตรงบริเวณระหว่างความดันบรรยายกาศนั่ง counter electrode จะระเหยตัวทำละลายโดยใช้กระแสของแก๊สแห้ง (drying gas) ซึ่งโดยทั่วไปมักใช้แก๊สในโทรศัพท์ ซึ่งจะระเหยไปเรื่อยๆ ในบริเวณสเปรย์ (spraying region) จนได้ไอออนของสารที่สนใจเกิดขึ้น จากนั้นไอออนนี้ได้ผ่านบริเวณปั๊ม 2 ชุดที่แตกต่างกันเข้าสู่แมสสเปกโทรมิเตอร์ (รูปที่ 2.15) ศักย์ไฟฟ้าที่ให้แก่คอลัมน์จิวประมาณ 3-4 kV สำหรับผลิตไอออนบวก และเมื่อให้ศักย์ไฟฟ้าในทางตรงข้ามจะผลิตไอออนลบ



รูปที่ 2.15 อินเตอร์เฟสแบบสเปรย์ไฟฟ้า (Electrospray Interface) [36]

การระเหยไอออน (ion evaporation)

หยดสารที่มีประจุที่ประกอบด้วยตัวทำละลายนั้น มีทั้งไอออนบวกและลบ แต่จะมีสภาพเป็นขั้วหนึ่งที่เด่น การเหนี่ยวนำให้เป็นกลางนั้นทำให้ประจุที่เกินมาจะอչွ่บบริเวณผิวน้ำของหยด (รูปที่ 2.16) เมื่อระเหยตัวทำละลายออก สนามไฟฟ้าที่บริเวณผิวน้ำของหยดจะเพิ่มขึ้นเมื่อรัศมีของหยดลดลง ถ้าหยดสารมีไอออนเกินและระเหยตัวทำละลายจากหยดเพียงพอที่จะทำให้สนามไฟฟ้าถึงจุดวิกฤต (critical field) ไอออนจะถูกปล่อยจากผิวน้ำ ด้วยแรงที่เรียกว่า “coulombic explosion” และในที่สุดตัวทำละลายจะระเหยออกจากจานหมดได้อุ่นภาคแห้งที่ประกอบด้วยสารประกอบที่ไม่ระเหยของสารละลายตัวอย่าง



รูปที่ 2.16 แผนภาพแสดงการระเหยไออ่อน [37]

สารประกอบไอออย่างใดๆ ในตัวทำละลายจะถูกทำให้เป็นไออ่อนสถานะแก๊สในแหล่งผลิตไออ่อน (ion source) ประสาทชิพและอัตราการเกิดไออ่อนขึ้นอยู่กับพลังงานโซลเวชัน (solvation energies) ของไออ่อนเฉพาะ (specific ions) ไออ่อนที่มีพลังงานโซลเวชันต่ำจะระเหยง่ายกว่าไออ่อนที่มีพลังงานโซลเวชันสูง

ข้อดีของอินเตอร์เฟสชนิดนี้

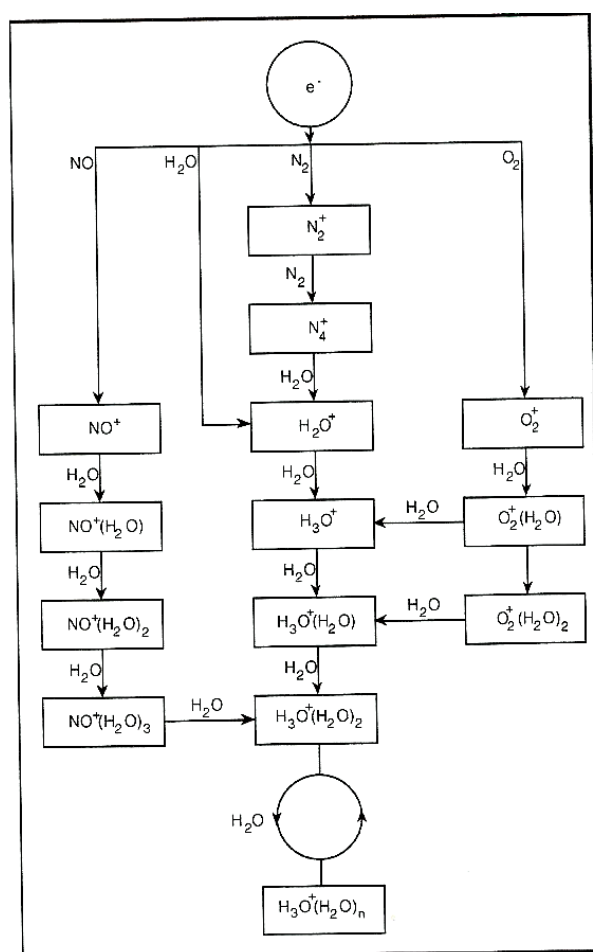
- การไอออย่างใดๆ นั้นจะเกิดจากสารละลายโดยตรงและเหมาะสมสำหรับใช้ศึกษาสารประกอบไอออนิกและไม่เสียรุ่อร่วม
 - อัตราการไอของเฟสเคลื่อนสามารถใช้ได้ดีแต่ระดับนาโนลิตรต่อนาทีถึงเกิน 1 มิลลิลิตรต่อนาที ซึ่งสามารถเลือกให้เหมาะสมกับการใช้งาน ดังนั้นจึงสามารถใช้ได้ทั้งคอลัมน์หัวไปล์และไมโครบอร์คอลัมน์

- อินเตอร์เฟสแบบ ESI เมื่อเปรียบเทียบกับอินเตอร์เฟสชนิดอื่นๆ มีจุดเด่นคือจะผลิตไออ่อนแบบหลายประจุ มีประสาทชิพในการขยายช่วงมวลของแม่สัสเปกโตรมิเตอร์ จึงเหมาะสมสำหรับใช้ศึกษาโมเลกุลที่มีน้ำหนักโมเลกุลอยู่น้อยหนึ่งจากช่วงปกติที่วิเคราะห์ได้

ข้อเสียของอินเตอร์เฟสชนิดนี้

- ESI ไม่เหมาะสมที่จะใช้งานกับสารประกอบที่ไม่มีข้าวหรือมีข้าวต่ำ
 - พนการบดบังสัญญาณเกิดขึ้นเนื่องจากตัวชาร์จ เมื่อวิเคราะห์ของผสมโดยตรง
- ESI เป็นการเกิดไอออย่างใดๆ ที่ไม่รุนแรงทำให้ได้สเปชีส์ของโมเลกุลไม่เปลี่ยนแปลงและข้อมูลโครงสร้างจึงมักจะหายใจไม่ถ่าย แหล่งกำเนิดไออ่อนแบบ ESI นั้นจะผลิตข้อมูลโครงสร้างจากการแตกตัวเป็นไออ่อนส่วนย่อยที่ cone-voltage แต่สเปกトラไได้นั้นจะเปลี่ยนยาก วิธีแก้ปัญหาคือการใช้แทนเดิมแม่สัสเปกโตรมิเตอร์

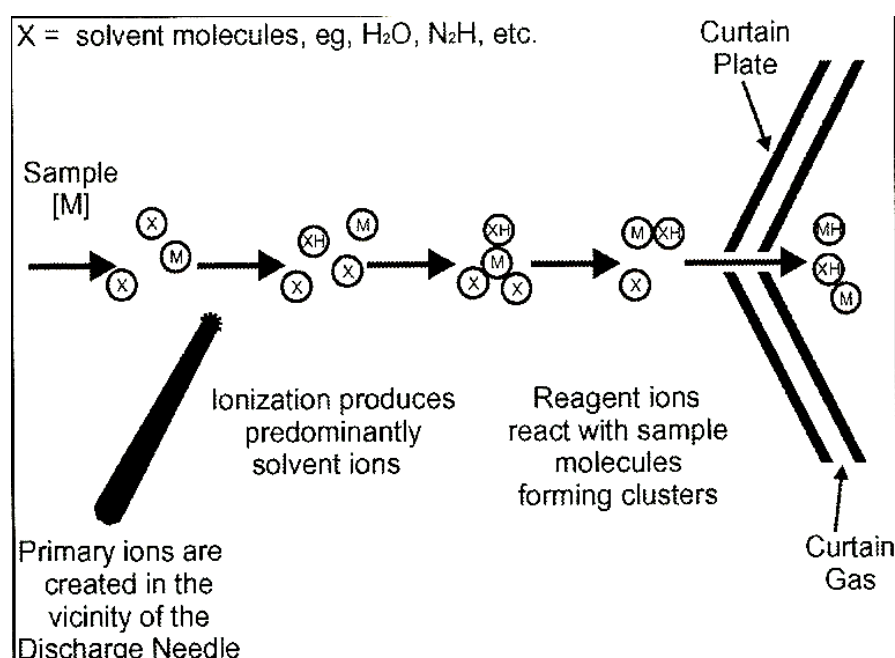
2.2.3.7 อินเตอร์เฟสแบบผลิตไออกอนทางเคมีที่ความดันบรรยายกาศ (Atmospheric Pressure Chemical Ionization Interface, APCI) ของเหลวที่แยกได้จาก LC ถูกพ่นทำให้เกิดเป็นหydronium acid ที่มีลักษณะเดียวกับที่ร้อน ซึ่งจะทำให้ตัวอย่างระเหยอย่างรวดเร็วดังนั้นไม่เลกฤทธิ์ของตัวอย่างจึงไม่ถูกทำลาย ปฏิกิริยาทางเคมีที่ความดันบรรยายกาศ ของ APCI ดังรูปที่ 2.17 เป็นกระบวนการของไออกอนบวกที่เกิดปฏิกิริยาทางเคมี คือ โปรตอนไฮเดรต ($H_3O^+[H_2O]_n$) ซึ่งลำดับเหตุการณ์ที่เกิดขึ้นได้จากผลทดลองของ Huertas และ Fontan ไออกอนปัจจุบันหลักคือ N_2^+ , O_2^+ , H_2O^+ และ NO^+ ที่เกิดขึ้นจากการถูกชนคิวบิกอิเลคตรอน ซึ่งอิเลคตรอนนี้ได้มาระหว่าง corano อะเพล็กต์อิเลคตรอนจากองค์ประกอบของอากาศที่เป็นกลางเป็นหลัก แม้ว่า NO จะไม่ใช่องค์ประกอบหลักของอากาศในสภาพแวดล้อมที่บราสุทธิ์ แต่ในแหล่งผลิตไออกอนความเข้มข้นของสปีชีส์นี้จะช่วยเพิ่มประสิทธิภาพการทำเริ่มต้นปฏิกิริยาของ corano discharge



รูปที่ 2.17 แผนภาพแสดงปฏิกิริยา APCI [37]

สารละลายตัวอย่างฉุกสเปรย์ผ่าน APCI โดยเริ่มจากการพ่นแก๊สไปในหลอดเซรามิกร้อน หยดขนาดเล็กของตัวอย่างและตัวทำละลายจะกระจายในหลอดนี้และระเหยอย่างรวดเร็วที่อุณหภูมิต่ำสุด การระเหยที่ไม่รุนแรงนี้ช่วยป้องกันไมเลกุลตัวอย่าง การเกิดไอออกไซเดชันของ APCI จะเกิดโดย corona discharge needle ที่อยู่ตรงบริเวณปลายของหลอดเซรามิก ไมเลกุลตัวอย่างจะฉุกไออกไซเดชันซึ่งการชนกับรีเอเจนต์ไอออกอนที่เกิดจากการไออกไซเดชันของไมเลกุลของเฟสเคลื่อนที่ไมเลกุลของตัวทำละลายที่ถูกระเหยจะเกิดไออกไซเดชันซึ่งเป็นรีเอเจนต์ไอออกอน $[X+H]^+$ ในโหมดประจำวัน (positive mode) และ $[X+H]^-$ ในโหมดประจุลบ (negative mode) รีเอเจนต์ไอออกอนนี้จะทำให้ไมเลกุลของตัวอย่างเสถียรเมื่อเกิดการชนกับรีเอเจนต์ไอออกอน (รูปที่ 2.18)

ไมเลกุลของตัวอย่างจะฉุกไออกไซเดชันผ่านกระบวนการถ่ายโอนโปรตอนในโหมดประจำวัน ขณะเดียวกันก็จะมีการผลิตประจุบวกหรือประจุลบ พรั่งงานของกระบวนการเกิดไออกไซเดชันของ APCI จะมาจากการชนในสภาวะความดันบรรยายกาศ



รูปที่ 2.18 แผนภาพแสดงการผลิตไออกอนทางเคมีที่ความดันบรรยายกาศ (APCI) [37]

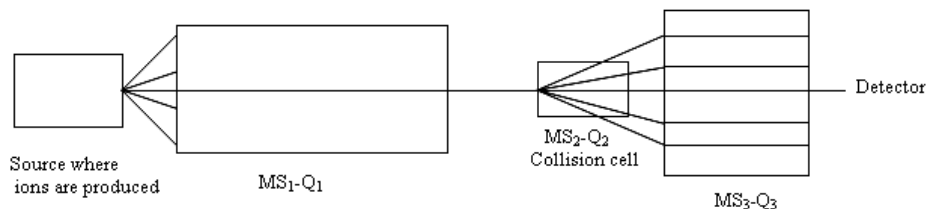
ข้อดีของอินเตอร์เฟสชนิดนี้

- APCI ใช้ความร้อนในการผลิตไออกอนจากสารละลายน้อยกว่าการผลิตไออกอนแบบ ESI ดังนั้นจึงเหมาะสมใช้ศึกษาสารประกอบที่ไม่เสถียรต่อกำลังไฟฟ้าโดยไม่มีการสลายตัว
- APCI สามารถใช้ได้ดีสุดกับสารประกอบที่มีขั้วต่ำถึงสูงปานกลาง

- APCI เป็นเทคนิคที่ผลิตไออกอนแบบไม่รุนแรง จึงใช้ศึกษาหาปริมาณนำหนักโภเมลกุลของสารที่สนใจได้
- APCI สามารถใช้ได้กับอัตราการไอลสูงถึง 2 มิลลิตรต่อนาที ดังนั้นจึงสามารถต่อ กับเครื่อง HPLC ที่มีขนาดเส้นผ่าศูนย์กลางขนาด 4.5 มิลลิเมตรได้
- APCI สามารถทนต่อเฟสเคลื่อนที่เป็นบันฟเฟอร์ได้มากกว่าแบบ ESI
- APCI สามารถทนต่อการเปลี่ยนแปลงสภาพต่างๆในการทดลองได้มากกว่าแบบ ESI สามารถใช้เฟสเคลื่อนที่ที่จะแบ่งแกรเดียนท์ได้
 - ชื่อเต็มของอินเตอร์เฟสชนิดนี้
 - สเปกトラที่ได้จาก APCI ที่มีไออกอนที่เกิดจาก adduct ของสารที่สนใจกับเฟส เคลื่อนที่หรือโมดิฟายออร์อินทรีชีน เช่น แอมโมเนียมอะซิเตต จะมีไออกอน เช่น $(M+NH_4)^+$ และ $(M+CH_3COO)^-$ ซึ่งเป็นอุปสรรคในการแปลผลของสเปกトラ
 - ข้อมูลโครงสร้างนั้นหายใจยากเนื่องจากการแตกตัวเป็นไออกอนส่วนย่อยได้น้อย อาจ แก้ปัญหาโดยใช้แทนเดิมแบบสเปกโทรมิเตอร์
 - ที่อัตราการไอลต่ำกว่านั้นประสิทธิภาพของ APCI จะไม่สามารถหาความสัมพันธ์ได้
 - สารที่สนใจที่สามารถเกิดประจุในสารละลายได้จะไม่เหมาะสมกับการใช้ APCI

2.2.4 แบบสเปกโทรมิเตอร์แบบสามค่าดิจิทัล (Triple Quadrupole Mass Spectrometer)

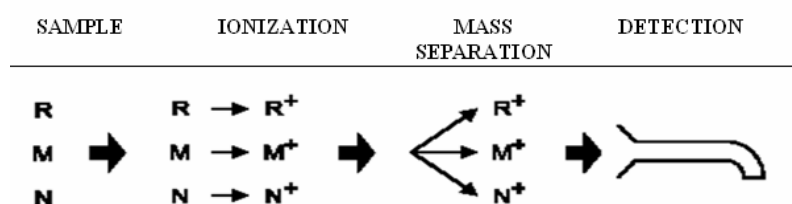
ปัญหาหลักของแบบสเปกโทรมิเตอร์ คือ จุดจำกัดในการวิเคราะห์สารผสม เทคนิคแทนเดิมแบบสเปกโทรมิเตอร์ (tandem mass spectrometry, MS-MS) จะช่วยแก้ปัญหานี้ ซึ่งมี หลายชนิด เช่น triple quadrupole, hybrid mass spectrometer, tandem mass spectrometry on the time-of-flight analyzer, quadrupole-time-of-flight instrument, tandem mass spectrometry on the ion-trap ชนิดที่นิยมใช้กันอย่างแพร่หลายคือ triple quadrupole mass spectrometer ซึ่ง ประกอบด้วย ค่าดิจิทัล 3 อัน คือ Q1 ทำหน้าที่เป็นเครื่องคัดแยกมวล ตัวอย่างถูกทำให้เกิดเป็น ไออกอน สามารถคัดแยกมวลที่ต้องการได้ จากนั้นไออกอนเหล่านี้จะส่งไปยัง Q2 ทำหน้าที่ทำให้ ไออกอนที่ได้จาก Q1 แตกตัวเนื่องจากถูกเหนี่ยวนำจากการชนกันกับแก๊สอาเรก้อน (collision-induced dissociation, CID) ได้เป็นไออกอนส่วนย่อยต่างๆซึ่งเป็นลักษณะเฉพาะตัวของสารตัวอย่าง และถูกคัดแยกมวลที่ Q3 แล้วตรวจสอบลัญญาณต่อไป (รูปที่ 2.19)



รูปที่ 2.19 แผนภาพแสดง triple quadrupole mass spectrometer [36]

แม่สสเปกโกรมิเตอร์แบบควอตดครูโพลเดี่ยว (single quadrupole) จะแยกไอออนที่เป็นตัวแทนของโมเลกุลสารประกอบบนตัวอย่าง โดยอาศัยมวลต่อประจุที่เฉพาะ ไอออนที่มีมวลต่อประจุเฉพาะนี้จะถูกแยกโดยการคัดแยกมวลด้วย single quadrupole และนับปริมาณมวลต่อประจุที่คัดแยกได้ทำให้ได้แม่สสเปกトラของตัวอย่าง ซึ่งควอตดครูโพลที่ใช้สำหรับแยกมวลประกอบด้วยแท่งโลหะ 4 ท่อน มีการติดตั้งความถี่คลื่นวิทยุ (RF) และศักย์ไฟฟ้ากระแสตรง (DC) แก้แท่งโลหะแต่ละคู่ซึ่งทำให้เกิดสนามไฟฟ้า อยู่ภายใต้ช่วงตามขอบเขตของแท่งโลหะเหล่านี้ โดยขึ้นอยู่กับสัดส่วน RF/DC สนามไฟฟาระหว่างแท่งโลหะจะคงความคุณให้ไอออนที่ช่วงมวลต่อประจุแคบๆผ่านไปได้ เมื่อเปลี่ยนสัดส่วนของ RF/DC เพื่อควบคุมเครื่องแยกมวลชนิดนี้ สามารถสแกนหาช่วงมวลของไอออนต่างๆตามค่ามวลต่อประจุสูงหรือต่ำกว่านี้ให้ผ่านไปได้ ส่วนไอออนอื่นๆที่ก็จะชนกันแท่งควอตดครูโพลและถูกกำจัดออกไปจากกระแสไอออน ในทางปฏิบัติแล้วสามารถสแกนได้เพียงช่วงสั้นๆ อย่างรวดเร็ว เช่น สแกนหามวลจากค่ามวลต่อประจุ 2-260 ภายในเวลาอันน้อยกว่า 100 ms และสามารถปรับศักย์ RF/DC เพื่อดึงไอออนที่มีค่ามวลต่อประจุตามที่ต้องการให้ผ่านไป

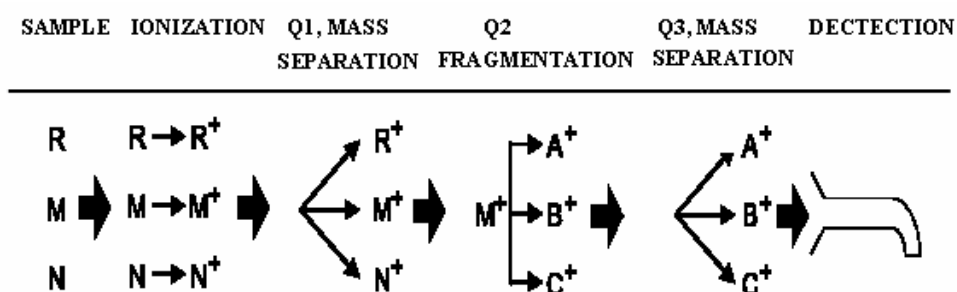
สมนูติตัวอย่างผสมที่มี 3 โมเลกุล ได้แก่ R, M และ N ถูกนำไปปัจจัย แหล่งผลิตไอออน (ion source) ซึ่งจะเป็นการทำให้เกิดไอออนแบบไม่รุนแรง (soft ionization) ทำให้เกิดไอออน R^+ , M^+ และ N^+ (รูปที่ 2.20) ไอออนเหล่านี้จะอยู่ในรูปไอออนกึ่งโมเลกุล (quasi-molecular ions) เมื่อจับกันหนึ่ง proton หรือมากกว่าจะอยู่ในโหมดประจุบวก (positive mode) หรือการดึงหนึ่ง proton หรือมากกว่าหรือการจับอิเลคตรอนจะอยู่ในโหมดประจุลบ (negative mode)



รูปที่ 2.20 การแยกสารตัวอ่อนย่างผสม R, M และ N [37]

ข้อมูลของโครงสร้างของสารตัวอย่างบางครั้งอาจได้จากการแตกตัวเป็นไอออนส่วนย่อย (fragment) ของไอ้อนตั้งต้นหรือไอ้อนแม่ (precursor ion) ในบริเวณแรกที่เกิดในการชนกับแก๊สชึ้งที่อยู่ระหว่าง orifice และ skimmer กระบวนการนี้มักเรียกว่า collision-induced mass spectrometry (CID/MS) ไอ้อนที่เกิดขึ้นในแหล่งผลิตไอ้อนจะถูกดึงผ่าน curtain ของแก๊สเฉี่ยว แห้งใน ion optics housed ในห้องที่เป็นระบบสูญญากาศ ความดันรูปโพลจะคัดแยกมวลในระบบสูญญากาศเมื่อความจำเพาะสูงในการคัดเลือกไอ้อนโดยอาศัยมวลต่อประจุ ไอ้อนที่คัดแยกได้นำสู่คีเพคเตอร์ และชนกับคีเพคเตอร์จะทำให้เกิดพัลซ์ (pulse) ของอิเล็กตรอน พัลซ์อิเล็กตรอนจะถูกเก็บและเปลี่ยนสัญญาณให้เป็นแบบดิจิตอล สัญญาณที่ได้นั้นมาจากการไอ้อนที่นับได้จะสอดคล้องกับมวลไอ้อน ข้อมูลที่ได้มาจะถูกถ่ายทอดไปยังเครื่องคอมพิวเตอร์สามารถแสดงเป็นแมสสเปกตราทั้งหมด ความเข้ม (intensity) ของไอ้อนเดียวหรือหลายไอ้อนเทียบกับเวลาหรือกระแสไอ้อนรวม (TIC) เทียบกับเวลา

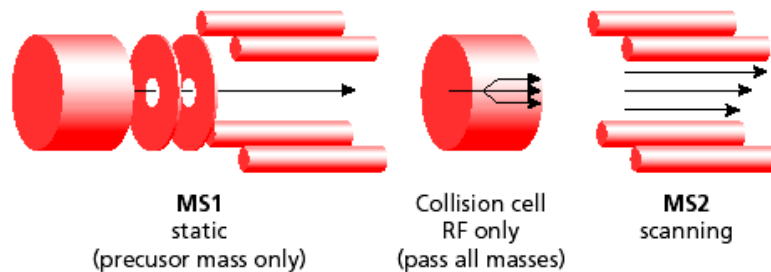
แมสสเปกโทรมิเตอร์แบบสามความดันรูปโพล (triple quadrupole) โดยที่ความดันรูปโพลที่ทำหน้าที่คัดแยกมวล (Q1 และ Q3) จะถูกแยกออกจากกันโดยความดันรูปโพลที่เกิดการชนของแก๊ส (Q2) ชึ้งความดันรูปโพร์นี้จะมี RF เพียงอย่างเดียว หลักการพื้นฐานของ MS/MS ดังรูปที่ 2.21 ตัวอย่างของผสมที่ประกอบด้วย 3 โมเลกุล คือ R, M และ N ถูกนำเข้าไปในแหล่งผลิตไอ้อน ชึ้งจะเป็นการทำให้เกิดไอ้อนแบบไม่รุนแรงทำให้เกิดไอ้อน R^+ , M^+ และ N^+ คัดแยกไอ้อนที่ต้องการที่ Q1 เช่น เลือกให้ M^+ ผ่านมายัง Q2 และเกิดการแตกตัวเป็นไอ้อนย่อย ได้ไอ้อน A^+ , B^+ และ C^+ จากนั้นผ่านไปยัง Q3 เพื่อคัดแยกมวลของไอ้อนต่อไป



รูปที่ 2.21 การแยกของไอ้อนผลิตภัณฑ์ (product ion) จากของผสม R, M และ N [37]

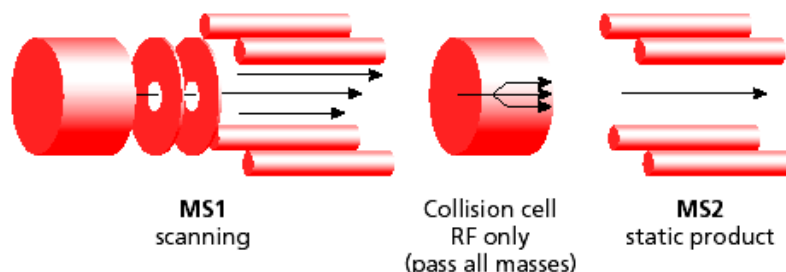
วิธีการสแกนชนิดต่างๆ

1) การสแกนไออ่อนผลิตภัณฑ์ (Product ion scan) เป็นวิธีการสแกนที่ใช้เพร่หلامชนิดหนึ่งใน MS/MS บางครั้งเรียกว่า “daughter ion scanning” โดยใช้เครื่องคัดแยกมวลแรก (MS1 หรือ Q1) อนุญาตให้ไออ่อนหนึ่ง ผ่านเข้าไปในบริเวณเซลล์การชน (collision cell) ไออ่อนที่ผ่านไปยัง Q2 นั้นจะแตกตัวเป็นไออ่อนส่วนย่อยโดยชนกับโมเลกุลของแก๊สที่เป็นกลาง เรียกขบวนการนี้ว่า “collision- activated dissociation (CAD)” ไออ่อนที่แตกตัวเป็นไออ่อนส่วนย่อยทั้งหมดผ่านไปยัง Q3 (MS2) และคัดกรองทั้งหมดได้เป็นスペกตรัม ซึ่งไออ่อนที่เกิดตรงเหล่านี้คือไออ่อนเรียกว่า “ไออ่อนตั้งต้นหรือไออ่อนแม่” ส่วนไออ่อนที่เกิดจากการแตกตัวเมื่อชนกับโมเลกุลแก๊ส เรียกว่า “ไออ่อนผลิตภัณฑ์หรือแฟร์กเม้นต์ไออ่อน” (รูปที่ 2.22)



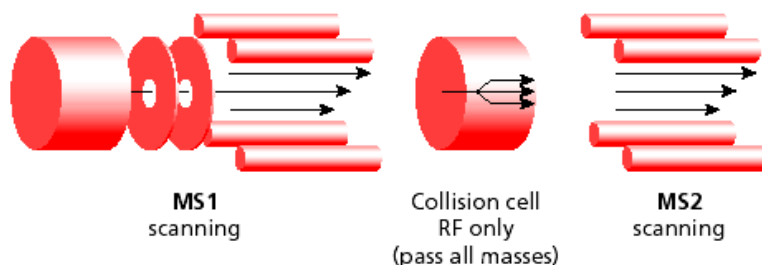
รูปที่ 2.22 แสดงการสแกน ไออ่อนผลิตภัณฑ์ (Product ion scan)

2) การสแกนไออ่อนตั้งต้นหรือไออ่อนแม่ (Precursor ion scan) วิธีการสแกนชนิดนี้ บางครั้งเรียกว่า Parent ion scans เครื่องคัดแยกมวลที่สอง (MS2 หรือ Q3) จะคัดเลือกเฉพาะไออ่อนส่วนย่อยที่สนใจ และเครื่องคัดแยกมวลแรก (MS1 หรือ Q1) จะสแกนมวลของไออ่อนทั้งหมดในช่วงกำหนด แม้スペกตรัมที่ได้จะแสดงมวลทั้งหมดของสารประกอบที่ทำให้เกิดเฉพาะไออ่อนส่วนย่อย (รูปที่ 2.23)



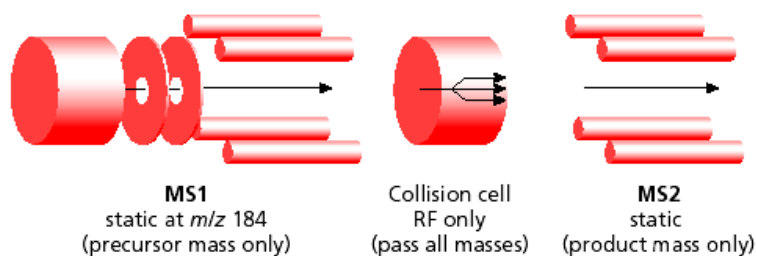
รูปที่ 2.23 แสดงการสแกน ไออ่อนตั้งต้นหรือไออ่อนแม่ (Precursor ion scan)

3) การสแกนชนิดการสูญเสียโมเลกุลที่เป็นกลางคงที่ (Constant neutral loss) เมื่อเครื่องคัดแยกมวลทั้งสอง (MS1 หรือ Q1 และ MS2 หรือ Q3) ทำการสแกนด้วยค่าความแตกต่างทางมวลที่คงที่ โดยที่ให้ค่ามวลสำหรับ Q1 สูงกว่า Q3 จะทำให้สามารถวัดค่าการสูญเสียมวลที่กำหนดซึ่งเกิดขึ้นในช่วงการชน เช่น ถ้ามวลของโมเลกุลที่สูญเสีย คือ 42 Dalton ทำการสแกน Q1 เริ่มที่ m/z 100 และมวลที่ผ่าน Q3 คือ 58 เมื่อ Q1 ผ่าน m/z 101 มวลที่ผ่าน Q3 ก็จะเป็น m/z 59 และที่ Q1 ผ่าน m/z 102 มวลที่ผ่าน Q3 ที่จะเป็น m/z 60 สัญญาณที่ได้จากเดอร์ไซเจน่าจะมีความแตกต่างกันอย่างมาก แต่ถ้าการสแกน Q1 ไม่มีการสูญเสียมวลที่สูงเท่ากับ Q3 ผลที่ได้จะไม่มีความแตกต่างกันมากนัก (รูปที่ 2.24)



รูปที่ 2.24 แสดงการสแกนชนิดการสูญเสียโมเลกุลที่เป็นกลางคงที่ (Constant neutral loss)

4) การติดตามปฏิกิริยาเดี่ยวและหลายปฏิกิริยา (Single / multiple reaction monitoring) เครื่องคัดแยกมวลทั้ง MS1 (Q1) และ MS2 (Q3) โดยที่ Q1 จะกำหนดให้คัดแยกมวลของไอออนตั้งต้นเฉพาะที่สนใจ ไปยัง Q2 เพื่อแตกย่อยไอออน ผ่านไปยัง Q3 โดยจะกำหนดให้คัดแยกมวลของไอออนส่วนย่อยของไอออนผลิตภัณฑ์เฉพาะที่สนใจ การสแกนชนิดนี้มีความเฉพาะเจาะจง (Selectivity) ในการเลือกมวลสารสามารถที่จะช่วยให้ค่าปริมาณเดียวเพียงหน่วยสำหรับใช้ในการวิเคราะห์หาปริมาณ (รูปที่ 2.25)



รูปที่ 2.25 แสดงการติดตามปฏิกิริยาเดี่ยวและหลายปฏิกิริยา (Single/multiple reaction monitoring)

2.3 เทคนิคการเจือจางไอโซโทป (Isotope dilution techniques) [39, 40]

เทคนิคการเจือจางไอโซโทปเริ่มใช้มากในห้องปฏิบัติเพื่อใช้ในการปรับปรุงค่าความแม่นและความเที่ยง โดยการลดปัญหาจาก calibration และผลกระทบจากแมทริกซ์ในการเตรียมตัวอย่าง นักวิเคราะห์บางคนอาจไม่มีประสบการณ์ระหว่างการสกัดตัวอย่างหรือแยกด้วยเทคนิคโคมาราฟี ความเปลี่ยนแปลงเหล่านี้สามารถแก้ปัญหาโดยการใช้ อินเทอร์นอลสแตนดาร์ด (internal standard) และ เชอร์โรเกต (surrogate) คือสารประกอบที่มีคุณสมบัติคล้ายกับสารที่สนใจซึ่งสารมาตรฐานที่เจือจางไอโซโทป จัดว่าเป็นอินเทอร์นอลสแตนดาร์ดและเชอร์โรเกตที่สมบูรณ์ สารมาตรฐานที่เจือจางไอโซโทป คือไอโซโทปของธาตุหรือโมเลกุลของสารประกอบที่เจือไอโซโทป เช่น เบนซิน-d₆ โดยปกติในวงแหวนของเบนซินจะจับกับไฮโดรเจน ไฮโดรเจนทั้งหมดถูกแทนด้วยดิวทีเรียม (d) ซึ่งเป็นไอโซโทปของไฮโดรเจน (²H) ดังนั้นจะได้เบนซิน-d₆ ซึ่งสารประกอบทั้ง 2 ชนิดนี้จะมีคุณสมบัติทางเคมีเหมือนกัน จะแตกต่างเพียงมวลโมเลกุลจึงถือว่าเป็นอินเตอร์นอลสแตนดาร์ดหรือเชอร์โรเกตที่สมบูรณ์

เทคนิคการวิเคราะห์ที่เกี่ยวข้องกับการเติมสารประกอบที่เจือไอโซโทป จากการค้นพบไอโซโทปที่เสถียรของไฮโดรเจน คาร์บอน ในไฮโดรเจน และออกซิเจน นั้นมีความสำคัญมากกับงานด้านเคมีวิเคราะห์ ไอโซโทปเสถียรนี้ประยุกต์ในการวิเคราะห์สารประกอบอินทรีย์ที่มีส่วนผสมซับช้อนซึ่งยากที่จะแยกสารที่เราต้องการวิเคราะห์ให้บริสุทธิ์และผลกระทบจากผลผลิตปริมาณต่ำและไม่แน่นอน การเติมสารประกอบเจือไอโซโทปที่ทราบความเข้มข้นที่เติมในตัวอย่างนั้นถือว่าเป็น “กระบวนการการเจือจางไอโซโทป” ถ้าในตัวอย่างนั้นมีสารประกอบที่เราสนใจอยู่ด้วย หลังจากที่ผสมสารประกอบที่เจือไอโซโทปในตัวอย่างแล้ว ทำการวิเคราะห์หาปริมาณสารประกอบผสมที่มีเจือจางไอโซโทป ทราบความเข้มข้นของสารประกอบเจือไอโซโทปที่เติมลงไปจึงสามารถหาปริมาณสารเดิมที่มีในตัวอย่างได้

เริ่มแรกการนำการเจือจางไอโซโทปมาประยุกต์ใช้โดยนักชีวเคมีที่สนใจเกี่ยวกับสารประกอบอินทรีย์ที่มีสารผสมซับช้อน ในการศึกษานี้นำสารประกอบที่เจือไอโซโทปและแทนต่อปฏิกิริยาแลกเปลี่ยนไอโซโทป เช่น ไอโซโทปของไนโตรเจน (N-15) เจือปนสารไกลซีน (labeled glycine) สามารถใช้หาปริมาณไกลซีนในสารผสมกรดอะมิโนจากโปรตีน

2.4 งานวิจัยที่เกี่ยวข้อง

D.C. Macwilliams และคณะ [41] การตรวจวิเคราะห์หาปริมาณอะคริลามิค์ที่ตกค้างในโพลีเมอร์และโโคโพลีเมอร์ของอะคริลามิค์ ด้วยโพลาโรกราฟิกและ สเปคโทร โฟโตมิเตอร์ สกัดอะคริลามิค์ด้วยตัวทำละลายผสมที่ออกแบบมาเพื่อทำให้โพลีเมอร์บรวมตัวได้ดี สารละลายที่สกัดได้กำจัดสิ่งรบกวนด้วย mixed ion exchange resin ซึ่งช่วงใช้งานของโพลาโรกราฟิก และ ยูวี สเปคโทร โฟโตมิเตอร์ เท่ากับร้อยละ 0.01-0.5 และ ร้อยละ 0.005 - 0.1 ของอะคริลามิค์ ตามลำดับ ค่าศักย์ไฟฟ้าครึ่งคลื่นสำหรับอะคริลามิค์ คือ -1.97 โวลต์ เทียบกับขั้วอ้างอิงคาโลเมลชนิดอิ่มตัว (saturated calomel electrode,SCE) ในตัวทำละลาย 0.091 โนลาร์ของ tetra-n-butylammonium hydroxide ใน 70:30 (ปริมาตร:ปริมาตร) ของเมทานอลต่อน้ำ หาปริมาณอะคริลามิค์จากความสูงของคลื่น (wave height) หรือความแตกต่างหลังจากเกิดปฏิกิริยา กับ dodecyl mercaptan ส่วน สเปคโทร โฟโตมิเตอร์ วัดการคุ้ดคลื่นรังสีอุลตราไวโอเลต ที่ความยาวคลื่น 240 นาโนเมตร ช่วง ความเข้มข้นที่เป็นไปตามกฎของเบียร์ (Beer's law) อยู่ระหว่าง 5 -100 มิลลิกรัมต่อลิตร

S.R. Betso และ J. D. McLean [42] การตรวจวิเคราะห์โมโนเมอร์อะคริลามิค์ในโพลีอะคริลามิค์ด้วยโพลาโรกราฟแบบพัลซ์เชิงผลต่าง (differential pluse polarography, DPP) ทำการตรวจวัดกระแสจากปฏิกิริยาเร็วกันของอะคริลามิค์ และพีกที่ได้จากการแสตนด์ไซด์ใช้หาปริมาณ ความเข้มข้นของอะคริลามิค์ เทคนิค DPP พีกเร็วกันของอะคริลามิค์ ที่ -2.0 โวลต์ เทียบกับขั้วอ้างอิง SCE ซึ่งเหมาะสมในการหาปริมาณอะคริลามิค์ ขั้นตอนการสกัดโมโนอะคริลามิค์จากโพลีอะคริลามิค์ สารละลายที่ได้ทำการกำจัดสิ่งรบกวนจำพวกแคทไอออนและแอนไฮเดรตส์ ด้วยเรซินผสม (mixed resin) อิเลคโทรไลต์ช่วย (supporting electrolyte) ในการเกิดเร็วกันของโพลาโรกราฟ คือ เมทานอลต่อน้ำในอัตราส่วน 80 : 20 (ปริมาตร:ปริมาตร) ที่มี tetra-n-butylammonium hydroxide ชีดจำกัดการตรวจพบโมโนเมอร์อะคริลามิค์ ด้วยเทคนิค DPP มีค่าน้อยกว่า 1 ส่วนในล้านส่วน (ppm)

Johan Rosen และ Karl-Erik Hellenas [18] วิเคราะห์ปริมาณอะคริลามิค์ในอาหารที่ผ่านการปั่นปั้นสูก วิธีนี้เติมสารเจือ ไอโซโทป²₃-อะคริลามิค์ เป็นอินเทอร์นอลสแตนดาร์ด สกัดตัวอย่างด้วยน้ำ ทำให้บริสุทธิ์โดยใช้การสกัดแบบเฟสของแข็ง (SPE) คือ Isolute Multimode 300 mg ตรวจวิเคราะห์ด้วยเครื่อง LC-MS/MS อินเตอร์เฟสแบบ ESI ใหม่ด้วยจุลทรรศน์ในขั้นตอนแยก โปรแกรมโพกราฟใช้คอลัมน์ Hypercarb อนุภาคนาด 5 ไมครอน ขนาด 50 x 2.1 มิลลิเมตร โดยใช้น้ำเป็นเฟสเคลื่อนที่ สำหรับ MS/MS (triple quadrupole) ใช้พิสูจน์เอกลักษณ์และหาปริมาณ โดยใช้ใหม่ของการตรวจติดตามหล่ายปฏิกิริยา (MRM) ติดตามการทราบชิ้นของมวลต่อประจุ (m/z) 72/55, 72/54, 72/44, 72/27, 72/72 และ 75/58 ข้อมูลการทดสอบความถูกต้องของวิธีวิเคราะห์ (in- house validation) ในผลิตภัณฑ์ที่ผลิตจากมันฝรั่งและขัญพืชที่ระดับความเข้มข้นของอะคริลามิค์ตั้งแต่ 30 -10,000 ไมโครกรัมต่อกิโลกรัม มีความถูกต้อง ร้อยละ 91-102 และค่าเบี่ยงเบนมาตรฐาน

สัมพัทช์ (%RSD) ร้อยละ 3- 21 และมีการทำ interlaboratory validation เปรียบเทียบกับวิธี GC-MS กับ LC-MS/MS ปริมาณอะคริลามีดที่ใช้ทดสอบความเข้มข้นตั้งแต่ 25 -2,000 ไมโครกรัมต่อ กิโลกรัมพบว่าผลไม่แตกต่างกัน มีค่าสัมประสิทธิ์การตัดสินใจ (R^2) เท่ากับ 0.998

Magnus Jezussek และ Peter Schieberle [14] วิเคราะห์ใหม่สำหรับหาปริมาณ อะคริลามีดโดยอาศัยเทคนิคการเจือจางไอโซโทปเสถียรและการเตรียมสารอนุพันธ์ด้วย กรด 2-เมอร์แคปโตเบนโซิก (2- mercaptobenzoic acid) ตรวจวัดเที่ยง LC-MS เปรียบเทียบกับการ ตรวจวิเคราะห์ด้วยเครื่อง GC-MS 2 วิธี จากการพบว่าสารอะคริลามีดเมื่อทำปฏิกิริยากับ กรด 2-เมอร์แคปโตเบนโซิก ที่อุณหภูมิ 20 องศาเซลเซียส เป็นเวลา 3 ชั่วโมง ได้ผลผลิตเป็น ไห้ไออีเทอร์ที่เสถียร (stable thioether) ประมาณร้อยละ 45-50 และการใช้ $^{13}\text{C}_3$ -อะคริลามีด เป็น อินเทอร์นอลสแตนดาร์ด ซึ่งได้พัฒนาขึ้นมาใช้เพื่อตรวจวัดด้วย LC-MS จากนั้นนำวิธีที่พัฒนาขึ้นนี้ มาประยุกต์ใช้วิเคราะห์กับตัวอย่างมันฝรั่งแผ่น ขนาดปั๊งกรอบหรือ คูกุกี และเปรียบเทียบผลการ วิเคราะห์สารอะคริลามีดโดยตรง (ไม่เป็นสารอนุพันธ์) ด้วยเครื่อง GC-MS ซึ่งขั้นตอนการ เตรียมตัวอย่างนั้นแตกต่างกันแต่ปั๊กจำกัดการตรวจพบอยู่ในระดับเดียวกัน คือ 6.6 ไมโครกรัมต่อ กิโลกรัม การวิเคราะห์หาปริมาณสาร อะคริลามีดในมันฝรั่งแผ่นหรือคูกุกี ด้วย 3 วิธีวิเคราะห์ใน ตัวอย่างเดียวกันนี้พบว่าสอดคล้องกัน และนอกจากนี้ยังมีการทดลองหาปริมาณสารอะคริลามีด ในขนาดปั๊งกรอบ โดยมีการเติมเอนไซม์อะมายลase (amylase) หรือ โปรแทส (protease) ในขั้นตอน การเตรียมตัวอย่างพบว่าเอนไซม์ไม่ได้มีผลทำให้สารอะคริลามีดเพิ่มขึ้น

Sonja Riediker และ Richard H. Stadler [19] วิเคราะห์สารอะคริลามีดในอาหาร โดย ใช้ ESI-LC MS/MS อาศัยเทคนิคการเจือจางไอโซโทปเป็นวิธีที่ยืนยันและการหาปริมาณ อะคริลามีดที่ปั๊นเป็นร่องต่ำๆที่พับในผลิตภัณฑ์อาหารชนิดต่างๆ วิเคราะห์สกัดสาร อะคริลามีดด้วยน้ำ ตกตะกอนลิ่งปั๊นเป็นจากเมทริกซ์ด้วยอะซิโทไนโตรและทำให้บริสุทธิ์ด้วย การสกัดแบบเฟล索องแพ็จ 2 ชนิด คือ Isolut Multimode และ cation-exchange cartridge จากนั้น นำไปตรวจวัดด้วย ESI-LC MS/MS โดยใช้ อะคริลามีดเจือไอโซโทป ($^{13}\text{C}_3$ - acrylamide) เป็น อินเทอร์นอลสแตนดาร์ด ในขั้นตอนการแยกโดยรวมไฟฟ้ากราฟฟิคอลัมน์เจลโพลีเมทاكريเลต (polymethacrylate gel) ซึ่งอะคริลามีดจะลูกหน่วงไว้ (retention) ในคอลัมน์ได้ดีในสภาวะการซะ แบบไอโซเครติก มีค่าแฟกเตอร์ความจุ (k) เท่ากับ 1.2 แมสสเปกตรัมได้จากเทคนิค selected reaction monitoring (SRM) โดยเลือกตรวจติดตามการทราบสิชันของมวลต่อประจุ 72/55, 72/54 และ 72/27 การทดสอบความถูกต้องของวิเคราะห์ (validation in-house) ในชั้นพืชอาหารเชื้้า และแครกเกอร์ ผลการวิเคราะห์ปริมาณอะคริลามีดทั้งภายในห้องปฏิบัติการเดียวกันและ ห้องปฏิบัติการอื่นมีการเปลี่ยนแปลงต่ำกว่าร้อยละ 10 ปั๊กจำกัดการตรวจพบในแครกเกอร์และ ชั้นพืชอาหารเชื้้าประมาณ 15 และ 20 ไมโครกรัมต่อ กิโลกรัม ตามลำดับ และเปอร์เซ็นต์คืนกลับใน

ตัวอย่างที่เติมสารมาตรฐานอยู่ระหว่างร้อยละ 58 - 76 นอกจากนี้วิธีนี้ยังเหมาะสมกับผลิตภัณฑ์อาหารต่างๆ รวมทั้ง บิสกิต ขนมปังกรอบ เวเฟอร์ โกโก้และถั่ว

Denis Andrzejewski และคณะ [43] วิเคราะห์สารอะคริลามิดในกาแฟโดยใช้เครื่อง LC-MS/MS เป็นวิธีที่คัดแปลงการวิเคราะห์สารอะคริลามิดในอาหารมาใช้วิเคราะห์กาแฟ ได้แก่ การแฟฟลามาร์ค กาแฟบด กาแฟชง ใช้อะคริลามิดเจือไอโซโทป ($^{13}\text{C}_3$ - acrylamide) เป็นอินเทอร์นอลสแตนดาร์ด การวิเคราะห์กาแฟบดและกาแฟสำเร็จรูปนั้นใช้น้ำหนัก 1 และ 0.5 กรัมตามลำดับ สกัดด้วยน้ำ 9 มิลลิลิตรเขย่า 20 นาที ส่วนกาแฟชงใช้ 9 มิลลิลิตรน้ำนำไปผ่านขั้นตอนทำให้บริสุทธิ์โดยตรงไม่ต้องมีตัวทำละลายที่ใช้สกัด โดยกาแฟที่ใช้ทดสอบจำนวน 1.5 มิลลิลิตรผ่านการสกัดแบบเฟสของแข็ง ชนิด cartridge Oasis HLB (hydrophilic/lipophilic copolymer sorbent) และ Bond Elut-Accucat (cation and anion exchange sorbent) สารละลายที่ผ่านการทำให้บริสุทธิ์แล้วตรวจด้วย ESI-LC MS/MS ในโหมดประจุบวก ซึ่ง MS/MS ใช้ในการตรวจด้วยยืนยันและหาปริมาณสารอะคริลามิด จึงจำกัดการวิเคราะห์ปริมาณสำหรับกาแฟบดและกาแฟสำเร็จรูปเท่ากับ 10 นาโนกรัมต่อกรัม ส่วนกาแฟชง 1.0 นาโนกรัมต่อมิลลิลิตร จากสำรวจพบปริมาณการปนเปื้อนสารอะคริลามิดในกาแฟบด 45 – 374 นาโนกรัมต่อกรัม กาแฟสำเร็จรูป 172-539 นาโนกรัมต่อกรัม และกาแฟชง 6-16 นาโนกรัมต่อมิลลิลิตร

Michael S. Young และคณะ [44] ทำการวิเคราะห์หาปริมาณสารอะคริลามิดในผลิตภัณฑ์ที่ผลิตจากมันฝรั่งด้วยเครื่อง LC-MS สกัดสารอะคริลามิดจากตัวอย่างด้วยสารละลายโซเดียมคลอไรด์ ความเข้มข้น 2 มोลาร์ จากนั้นทำให้บริสุทธิ์โดยใช้การสกัดแบบเฟสของแข็ง 2 ชนิดคือ Oasis HLB (reverse-phase cartridge) และ Oasis MCX (mixed-mode cation-exchange cartridge) นำสารละลายตัวอย่าง 1.5 มิลลิลิตรผ่าน Oasis HLB ชะล้างสารละลาย 1% ของกรดฟอร์มิกในเมทานอล นำสารละลายที่ได้ผ่าน Oasis MCX จากนั้นนำสารละลายที่ได้หลังจากการผ่าน SPE มาเรียบรื่นและละลายด้วยเฟสเคลื่อนที่ก่อนจะนำมาตรวจนิวิเคราะห์ด้วย LC-MS เปอร์เซ็นต์คืนกลับเมื่อใช้อินเตอร์นอลสแตนดาร์ด อยู่ระหว่างร้อยละ 96-101 ค่าเบี่ยงเบนมาตรฐานสัมพัทธ์ร้อยละ 5-11 ช่วงความเข้มข้นที่เป็นเส้นตรง 100-2,000 นาโนกรัมต่อกรัม ค่าสัมประสิทธิ์การตัดสินใจเท่ากับ 0.992 ($n=25$) ศึกษาการความแปร่ระเหยของวิธีวิเคราะห์ระหว่างวัน (interday) พนว่าเปอร์เซ็นต์คืนกลับเท่ากับร้อยละ 98 และ ค่าเบี่ยงเบนมาตรฐานสัมพัทธ์ ร้อยละ 9.5 ($n=15$) จากการสำรวจพบปริมาณการปนเปื้อนสารอะคริลามิดในมันฝรั่งแผ่นตั้งแต่ 260-1,500 นาโนกรัมต่อกรัม

Franceca Calbiani และคณะ [29] พัฒนาวิธีวิเคราะห์หาปริมาณสารอะคริลามิดในอาหารที่ผ่านการปรุงสุก ให้มีความรวดเร็วและถูกต้อง โดยใช้เครื่อง LC-MS/MS และมี ESI เป็นอินเตอร์เฟส พัฒนาการสกัดสารอะคริลามิดด้วยน้ำที่มีกรด (acidified water) และไม่ต้องมีการทำให้สารละลายตัวอย่างบริสุทธิ์ แยกด้วยคอลัมน์ C18 เฟสเคลื่อนที่ประกอบด้วยสารละลายกรดฟอร์มิกและเมทานอล ในสภาวะการ chromatograph ทดสอบความถูกต้องของวิธีวิเคราะห์

(in-house validation) โดยทดสอบความคงทนของวิธีวิเคราะห์ (robustness) จึงจำกัดการตรวจพบ จีดจำกัดการวิเคราะห์ปริมาณ ความเป็นเส้นตรง เปอร์เซ็นต์คืนกลับและความถูกต้องโดยการเติมสารละลายน้ำตรฐานอะคริลาไมค์ในผลิตภัณฑ์อาหารที่ผ่านการอบและแป้งมันฝรั่ง ค่าจีดจำกัดการ ตรวจพบและจีดจำกัดการวิเคราะห์ปริมาณเท่ากับน้อยกว่า 15 และ 25 ไมโครกรัมต่อกิโลกรัม ตามลำดับ ความเป็นเส้นตรง ค่าสัมประสิทธิ์การตัดสินใจ เท่ากับ 0.999-1.000 การวิเคราะห์ช้า ภายในวันเดียวทัน (intraday) พบค่าการเบี่ยงเบนมาตรฐานสัมพัทธ์น้อยกว่าร้อยละ 1.5 และความ เที่ยงในการวิเคราะห์ระหว่างวัน (interday) พบค่าการเบี่ยงเบนมาตรฐานสัมพัทธ์น้อยกว่าร้อยละ 5 เปอร์เซ็นต์คืนกลับของการสกัดอยู่ในช่วง $97 \pm 3\%$ ถึง $99 \pm 2\%$ ($n = 6$) โดยใช้อะคริลาไมค์ เจือไออกไซโทป ($^{13}\text{C}_3$ -acrylamide) เป็นอินเทอร์นอลสแตนดาร์ด

Alain Pittet และคณะ [45] พัฒนาวิธีวิเคราะห์หาปริมาณสารอะคริลาไมค์ ในอาหาร จำพวกหัวพืชซึ่งมีการป่นเปื้อนสารนี้ในปริมาณต่ำ (น้อยกว่า 50 ไมโครกรัมต่อกิโลกรัม) โดยใช้ เครื่อง GC-MS โดยการสกัดด้วยน้ำ ทำให้อยู่ในสภาพรวมลดและทำให้บริสุทธิ์ด้วยสารละลายน้ำ carrez I และ carrez II และการทำปฏิกิริยาเพิ่มเข้าไบรมีน (bromination) ในพันธะคู่ของอะคริลาไมค์ ผลิตภัณฑ์ที่ได้จากการเกิดปฏิกิริยาคือ 2,3-dibromopropionamide นั้นจะสกัดด้วย เอทิลอะซิเตตต่อ เออกเซนในอัตราส่วน 4 ต่อ 1 (ปริมาตรต่อปริมาตร) เติมโซเดียมชัลเฟตเพื่อคุ้มครองชีวนิรภัยและทำให้ บริสุทธิ์โดยผ่านคอลัมน์ Florisil เปลี่ยนสารอนุพันธ์ให้เป็น 2- bromopropenamide โดยปฏิกิริยา dehydrobromination ด้วย triethylamine และทำการตรวจวิเคราะห์โดย GC-MS และใช้อะคริลาไมค์ เจือไออกไซโทป ($^{13}\text{C}_3$ - acrylamide) เป็นอินเทอร์นอลสแตนดาร์ด ทดสอบความถูกต้องของวิธี วิเคราะห์ พบว่า การทวนซ้ำได้ (repeatability) และการทำซ้ำได้ (reproducibility) มีค่าเบี่ยงเบน มาตรฐานสัมพัทธ์ น้อยกว่าร้อยละ 10 จีดจำกัดการตรวจพบและจีดจำกัดการวิเคราะห์ปริมาณ เท่ากับ 2 และ 5 ไมโครกรัมต่อกิโลกรัม ตามลำดับ และเปอร์เซ็นต์คืนกลับจากการเติม สารละลายน้ำตรฐานอะคริลาไมค์ในตัวอย่างที่ระดับ 5-500 ไมโครกรัมต่อกิโลกรัม อยู่ในช่วง ระหว่างร้อยละ 93- 104

K. Hoenicke และคณะ [46] การวิเคราะห์อะคริลาไมค์ด้วยเครื่อง LC-MS/MS และ GC-MS/MS ซึ่งการวิเคราะห์ด้วย HPLC-MS/MS มีวิธีการเตรียมตัวอย่างที่แตกต่างกัน 2 วิธี คือ วิธีที่ หนึ่ง สามารถใช้วิเคราะห์อาหารหลากหลายชนิด เช่น มันฝรั่งแผ่น เฟรนช์ฟราย หัวพืชอาหาร เข้า ข้นปั่น และกาแฟคั่ว ใช้ตัวอย่าง 2 กรัม กำจัดไขมันด้วยไออกไซโซเชน (iso-hexane) สกัด สาร อะคริลาไมค์จากตัวอย่างด้วยน้ำ 2 มิลลิลิตร และใช้ ultrasonic bath ที่อุณหภูมิ 60 องศา- เชลเซียส เป็นเวลา 30 นาที จากนั้นทำให้บริสุทธิ์ด้วยการเติมอะซิโทไนโตร์ สารละลายน้ำ carrez I และ carrez II ตามลำดับ นำตัวอย่างหมุนให้วิ่งที่ความเร็ว 4,500 รอบต่อนาที เป็นเวลา 10 นาที กรองผ่านเมมเบรน 0.45 ไมครอน ซึ่งสามารถตรวจวิเคราะห์ได้ถึง 60 ตัวอย่างต่อวัน ส่วนวิธีที่สองนั้นเป็นวิธีที่ค่อนข้างยุ่งยากกว่าวิธีแรก แต่สามารถใช้วิเคราะห์ตัวอย่างที่มีแม่ทริกซ์ซับซ้อน

เช่น โภ哥ไก่ กานแฟช โนมาส และ มอลต์ ใช้ตัวอย่าง 2- 10 กรัม สารดูดสารอะคริลามิดจากตัวอย่าง ด้วยน้ำจำนวน 50 มิลลิลิตรและใช้ ultrasonic bath ที่อุณหภูมิ 60 องศาเซลเซียส เป็นเวลา 30 นาที เติม ไอโซโซกเจน สารละลาย carrez I และ carrez II นำตัวอย่างหมุนให้วายที่ความเร็ว 4,500 รอบต่อนาที เป็นเวลา 10 นาที นำขันน้ำมาทำให้อิ่มตัวด้วยโซเดียมคลอไรด์และสารดูดด้วยเอทิลอะซิเตต จำนวน 50 มิลลิลิตร รวมสารละลายในขันของเอทิลอะซิเตตและทำให้เข้มข้นโดยระเหยให้เหลือปริมาตร 1 มิลลิลิตร นอกจากนี้วิธีที่สองยังเหมาะสมกับการวิเคราะห์ด้วย GC-MS/MS ช่วยเพิ่มความไวและความจำเพาะ ซึ่งทั้งสองวิธีใช้อะคริลามิดเจือไอโซโทป ($^2\text{d}_3$ -acrylamide) เป็นอินเทอร์นอลสแตนดาร์ด จึงจำจัดการวิเคราะห์ปริมาณสำหรับ HPLC- MS/MS และ GC-MS/MS เท่ากับ 30 และ 5 ไมโครกรัมต่อคิโลกรัมตามลำดับ

Kit Granby และ Sisse Fagt [47] ตรวจวิเคราะห์ปริมาณสารอะคริลามิดในกาแฟ ละลายตัวอย่างกาแฟบดและการแฟฟลั่ว (ละลายกาแฟด้วยน้ำในสักส่วนหนึ่งกับการบด) นำกาแฟที่ละลายแล้ว จำนวน 40 มิลลิลิตร เติมอินเทอร์นอลสแตนดาร์ด ($^2\text{d}_3$ -acrylamide) นำไปหมุนให้วายที่ความเร็ว 3,500 รอบต่อนาที เป็นเวลา 10 นาที ทำให้บริสุทธิ์ด้วยการสารดูดแบบเฟสของแข็งชนิด Isolute Multimode 300 mg ด้วยเครื่อง automatic SPE วิเคราะห์ด้วยเครื่อง LC-MS/MS ESI โหมดประจุบวก ทำการทดสอบความถูกต้องของวิธีวิเคราะห์ ตัวอย่างกาแฟพร้อมดื่มเติมสารละลายน้ำตราชานอะคริลามิดที่ระดับความเข้มข้น 5 และ 10 ไมโครกรัมต่อลิตร พบเปอร์เซ็นต์คืนกลับเท่ากับร้อยละ 96 ± 14 และ 100 ± 8 ตามลำดับ และการทำซ้ำได้ที่วิเคราะห์ภายในห้องปฏิบัติการเดียวกันเท่ากับ ร้อยละ 14 และ 9 ตามลำดับ

Cavalli S. และคณะ [48] การตรวจวิเคราะห์อะคริลามิดในน้ำดื่ม โดย ion-exclusion chromatography-mass spectrometry โดยการนีดิตรงในปริมาณมาก คอลัมน์ microbore ICE-AS1 ในการแยกและตรวจวิเคราะห์ด้วยแมสสเปกโทมิเตอร์ในโหมด selected - ion monitoring ด้วยเครื่องวิเคราะห์แบบ single quadrupole (ทำให้เกิดไออ่อนด้วยวิธีสเปรย์ไฟฟ้า) ปริมาตรที่นีดสูงถึง 500 ไมโครลิตร ความเป็นเส้นตรง 0.5 -5 ไมโครกรัมต่อลิตร การวนซ้ำได้ที่ระดับความเข้มข้น 0.5 และ 1 ไมโครกรัมต่อลิตร มีค่าเบี่ยงเบนมาตรฐานสัมพัทธ์ เท่ากับร้อยละ 16 และ 12 ตามลำดับ จึงจำจัดการตรวจพบ 0.20 ส่วนในพันล้านส่วน (ppb) เมื่อฉีดที่ปริมาตร 500 ไมโครลิตร

B.Loye Eberhart II และคณะ [49] การหาปริมาณสารอะคริลามิดในผลิตภัณฑ์อาหารด้วยเครื่อง LC-MS ซึ่งเป็นวิธีที่ง่ายและไม่แพง วิธีนี้พัฒนาให้สามารถวิเคราะห์สารอะคริลามิดในผลิตภัณฑ์อาหารหลากหลายชนิด โดยการเติมสารอะคริลามิดเจือไอโซโทป (1-C^{13} acrylamide) เป็นอินเทอร์นอลสแตนดาร์ดในผลิตภัณฑ์อาหาร 6.00 กรัม เติมน้ำกลั่น 40 มิลลิลิตร ให้ความร้อน 65 องศาเซลเซียส เป็นเวลา 30 นาที จากนั้นเติมเอทิลีนไดคลอไรด์ (ethylene dichloride) จำนวน 10 มิลลิลิตร ทำให้เป็นเนื้อดีวยกันด้วยเครื่องผสมให้เป็นเนื้อดีวยกัน (homogenizer) และหมุนให้วายที่ $2,700 \times g$ เป็นเวลา 30 นาที จากนั้นนำส่วนหัวน้ำ 8 กรัม และสารดูดด้วยเอทิลอะซิเตต จำนวน

10, 5 และ 5 มิลลิลิตร รวมส่วนที่สกัดทั้งหมด เติมโซเดียมซัลเฟตเพื่อคุณภาพขึ้นและเพิ่มความเข้มข้นโดยระเหยให้เหลือปริมาณประมาณ 100 -200 ไมโครลิตร ตรวจวัดอะคริลาไมค์ด้วย ESI-LC-MS วิเคราะห์มวลแบบ single quadrupole คอลัมน์ที่ใช้แยก คือ C18 (YMC ODS, 5 ไมครอน ขนาด 2.0×150 มิลลิเมตร) เฟสเคลื่อนที่ประกอบด้วย น้ำกับสารละลาย 10 มิลลิโคลาร์ของแอมโมเนียมอะซิเตต ปรับ pH เป็น 4.6 ด้วยกรดฟอร์มิก ตรวจติดตามมวลต่อประจุเท่ากับ 72 (อะคริลาไมค์) และมวลต่อประจุเท่ากับ 73 (อินเทอร์นอลสแตนดาร์ด) สำหรับในอาหารที่มีองค์ประกอบที่ซับซ้อนเช่น กาแฟและโกโก้ น้ำเพิ่มขึ้นตอนการใช้ SPE (Sep-Pak Plus C18) ในการทำบริสุทธิ์เพื่อปรับปรุงการแยกของโครโนไฟโรแกรมและเพิ่มอายุการใช้งานของคอลัมน์ จัดจำแนกการวิเคราะห์ปริมาณเท่ากับ 10 ไมโครกรัมต่อคิโลกรัม ค่าสัมประสิทธิ์การตัดสินใจของกราฟมาตรฐานเท่ากับ 0.998 และ เปอร์เซ็นต์คืนกลับจากการเติมสารละลายน้ำตราชูนอะคริลาไมค์ในอาหารที่แตกต่างกัน 11 ชนิด ผลที่ได้นำมาใช้ ในการวิเคราะห์โดยมีค่าเบี่ยงเบนมาตรฐานสัมพัทธ์เท่ากับร้อยละ 5-8 การตรวจวัดด้วยเครื่อง LC-MS นี้เป็นทางเลือกหนึ่ง ซึ่งปัจจุบันใช้ LC-MS/MS และ GC-MS ซึ่งต้องการทำเตรียมสารอนุพันธ์ นอกจากนั้นวิธีนี้ยังเหมาะสมกับผลิตภัณฑ์อาหารที่มีองค์ประกอบซับซ้อนเช่น กาแฟ โกโก้ และอาหารที่มีเกลือสูง

Jingjing Jiao และคณะ [22] พัฒนาวิธีทางปริมาณอะคริลาไมค์ในนมผงเด็กและอาหารเด็กในโอดโดยใช้ ESI-LC MS/MS อาศัยเทคนิคการเจือจางไอโซโทป ขั้นตอนการเตรียมตัวอย่างเติมปีโตรเลียมอีเทอร์เพื่อกำจัดไขมัน และสกัดด้วยสารละลายโซเดียมคลอไรด์ ทำการสกัดแบบของเหลว-ของเหลวด้วยเอทิลอะซิเตตและทำให้บริสุทธิ์ด้วย SPE Oasis HLB 200 mg cartridge ทดสอบความถูกต้องของวิธีวิเคราะห์ ผลการทดสอบอยู่ในเกณฑ์ดี ได้แก่ ความทวนซ้ำได้ มีค่าเบี่ยงเบนมาตรฐานสัมพัทธ์ น้อยกว่าร้อยละ 5 และเปอร์เซ็นต์คืนกลับเท่ากับร้อยละ 86-97 การสำรวจพบระดับการปนเปื้อนสารอะคริลาไมค์ในนมผงสำหรับเด็กและอาหารเด็กในโอดเท่ากับ 3.01-9.06 ไมโครกรัมต่อคิโลกรัมและ 6.80-124.93 ไมโครกรัมต่อคิโลกรัม ตามลำดับ วิธีที่พัฒนาขึ้นเพื่อให้สามารถหาปริมาณอะคริลาไมค์ในอาหารเด็กซึ่งมีปริมาณการปนเปื้อนน้อยกว่า 10 ไมโครกรัมต่อกิโลกรัมได้

Yu Zhang และคณะ [23] ตรวจวิเคราะห์ทางปริมาณสารอะคริลาไมค์ในอาหารชั้นพืช สำหรับเด็กทางโอดโดยใช้ ESI-LC MS/MS อาศัยเทคนิคการเจือจางไอโซโทป วิธีนี้กำจัดไขมันด้วยปีโตรเลียมอีเทอร์ก่อนแล้วสกัดด้วยสารละลายโซเดียมคลอไรด์เข้มข้น 2 โคลาร์ ต่อจากนั้นสกัดแบบของเหลว-ของเหลวด้วยเอทิลอะซิเตตและทำให้บริสุทธิ์ใช้ SPE Oasis HLB cartridges คอลัมน์ที่ใช้ Atlantis dC18 ขนาดอุภาก 5 ไมครอน ขนาด 210 มิลลิเมตร $\times 1.5$ มิลลิเมตร โดยใช้ 10% ของเมทานอลต่อ 0.1% ของกรดฟอร์มิกในน้ำเป็นเฟสเคลื่อนที่ ทดสอบความถูกต้องของวิธีวิเคราะห์ให้ผลที่ดี ความทวนซ้ำได้พบว่าค่าเบี่ยงเบนมาตรฐานสัมพัทธ์ น้อยกว่าร้อยละ 6.5 และเปอร์เซ็นต์คืนกลับร้อยละ 87-96 การสำรวจพบการปนเปื้อนอะคริลาไมค์ในข้าวชั้นพืชสำหรับ

ทางกและผลิตภัณฑ์อาหารชัญพืชอื่นๆ เท่ากับ 3.3-37.1 และ 10.9-1568.9 ไมโครกรัมต่อกรัมตามลำดับ สำหรับในกรณีที่ตัวอย่างมีโปรตีนมากนั้น สามารถเพิ่มขั้นตอนการกำจัดโปรตีนในการขั้นตอนการเตรียมตัวได้

E.Bermudo และคณะ [24] ตรวจวิเคราะห์ปริมาณสารอะคริลามิดในอาหารโดยใช้ LC-MS/MS มีแหล่งผลิต ไอออนคือ วิธีการผลิต ไอออนทางเคมีที่ความดันบรรยายกาศ (Atmospheric pressure chemical ionization, APCI) และ ion-trap เป็นเครื่องวิเคราะห์มวล (mass analyzer) การวิเคราะห์ด้วยเทคนิคนี้ไม่ใช้วัตถุประสงค์ที่ต้องการศึกษาแต่เป็นทางเลือกหนึ่งแทนการใช้ ESI และ triple quadrupole เพื่อวิเคราะห์มวล งานวิจัยนี้ศึกษาการทำให้สารที่สกัดให้บริสุทธิ์ด้วยการต่อเชื่อมของการสกัดแบบเฟสสองแข็ง 2 ชนิด ที่มีตัวคูดซับชนิด highly cross-linked polystyrene-divinylbenzene polymeric sorbents คือ Strata-X-C และ ENV⁺ พบเปอร์เซ็นต์คืนกลับสูงร้อยละ 85 และการทำซ้ำได้ดี มีค่าการเบี่ยงเบนมาตรฐานสัมพัทธ์ร้อยละ 12 เมื่อใช้การสกัดแบบเฟสสองแข็ง 2 ชนิด การแยกด้วยโครโนมาโทกราฟีของเหลวนี้ใช้น้ำเป็นเฟสเคลื่อนที่ มีขีดจำกัดการตรวจพบสำหรับสารละลายมาตรฐาน เท่ากับ 250 พิโครกรัม และตัวอย่าง 45 นาโนกรัมต่อกรัม การทดสอบความเที่ยงของวิธีวิเคราะห์ โดยการแบบครั้งต่อครั้ง (run-to-run) และวันต่อวัน (day-to-day) พบว่าค่าการเบี่ยงเบนมาตรฐานสัมพัทธ์ร้อยละ 3.3 และ 8 ตามลำดับ

Hamide Z. Senyuva และ Vural Gokmen [17] พัฒนาวิธีให้ง่ายและรวดเร็วสำหรับหาปริมาณสารอะคริลามิดในมันฝรั่งและอาหารจำพวกชัญพืชโดยใช้ LC-MS อินเตอร์เฟส APCI ใหม่ประจุบวก ใช้ 0.01 มิลลิโนลาร์ ของกรดอะซิติก และเครื่องผสมสารสำหรับหลอดทดลอง (vertex mixer) ในการสกัดอะคริลามิดก่อนจะวิเคราะห์ด้วยเครื่อง LC-MS ทดสอบความถูกต้องของวิธีวิเคราะห์แสดงให้เห็นว่าวิธีนี้สามารถวิเคราะห์อาหารที่ผ่านการปรุงได้ในหลากหลายชนิดรวมทั้ง มันฝรั่งแผ่น มันฝรั่งทอด มันฝรั่งกรอบ ขนมปัง บิสกิตและคุกเก้ พบว่าเปอร์เซ็นต์คืนกลับเฉลี่ยที่ช่วงความเข้มข้นอะคริลามิด 100-1,000 นาโนกรัมต่อกรัม เท่ากับร้อยละ 99.7 และความทวนซ้ำได้ เท่ากับร้อยละ 1.8 การวิเคราะห์ LC-MS มีการระบุสิ่งปนเปื้อนหลักที่ได้จากการสกัดคือสารวาลีน (valine) ซึ่งมี yield characteristic $[M+H]^+$ และสารประกอบเฉพาะ มวลต่อประจุของไอออนผลิตภัณฑ์คือ 118 และ 72 ตามลำดับ ซึ่งสารวาลีนจะไปเพิ่มสัญญาณของ baseline รบกวนความแม่นและความเที่ยงในการหาปริมาณ และผลมีความไวต่อในการใช้ mode selected ion monitoring หลักเลี้ยงผลกระทบจากสารวาลีน โดยใช้การใช้ delay time สำหรับเครื่อง LC-MS หรือใช้ SPE แบบ strong cation-exchanger sorbent

E.K. Paleologos และ M.G. Kontominas [50] พัฒนาตรวจวิเคราะห์หาปริมาณอะคริลามิด และเมทาอะคริลามิด (methacrylamide) ด้วยโครโนมาโทกราฟีของเหลวสมรรถนะสูง ชนิดนอร์มอลเฟสและยูวี เป็นดีเทกเตอร์ วิธีวิเคราะห์อาศัยการแยกของสารที่สนใจวิเคราะห์ในคลัมมน์มีขั้วของ HPLC ที่ออกแบบสำหรับใช้แยกกรดอินทรีย์ และเป็นวิธีที่ใช้พิสูจน์เอกลักษณ์ของอะคริลามิด

และเมทาอะคริลามีดีไซพร้อมกัน โดยในรูป protonated forms และเป็นผลผลิตที่ได้จากไฮโดรไนโตรซิส คิอ อะคริลิก (acrylic acid) และเมทาอะคริลิก (methacrylic acid) เพื่อใช้ยืนยัน ตรวจวัดที่ความยาวคลื่น 200 นาโนเมตร วิธีวิเคราะห์ที่ง่ายซึ่งได้การแยกที่ชัดเจนของพีคเบ้าหมายจากพีคบกวน ขีดจำกัดการตรวจพบ 10 ไมโครกรัมต่อลิตรของสารที่สนใจ ใช้ 2 ชนิด ค่าเบี่ยงเบนมาตรฐาน สัมพัทธ์ของการวิเคราะห์ภายในวันเดียว (intra-day) และภายในวันเดียวกัน (inter-day) น้อยกว่า ร้อยละ 1.0 ใช้อัซิโทไนโตรที่ในการจะ ทำให้ขีดจำกัดตรวจพบและเวลาที่ถูกหน่วงไว้น้อยลง โดยไม่ส่งผลกระทบต่อการแยกของพีค วิธีวิเคราะห์นี้ประยุกต์ใช้ตรวจวิเคราะห์หาปริมาณสารอะคริลามีดและเมทาอะคริลามีดในอาหาร เปอร์เซ็นต์คืนกลับเมื่อเติมสารละลายมาตรฐานในตัวอย่างที่ไม่สารสนใจ (sample blank) อัตราหัว่าวร้อยละ 95 -103

Jose A. Rufian และ Francisco J. Morales [51] ตรวจวิเคราะห์หาปริมาณสารอะคริลามีดในมันฝรั่งแผ่นโดยใช้ LC-MS อาศัยเทคนิคเจือจาง ไอโซโทปที่เสถียร (stable isotope dilution) ผลิตภัณฑ์จากมันฝรั่งเป็นตัวแทนอาหารที่ปนเปื้อนสารอะคริลามีดที่มีบริโภคเป็นประจำ ปกติสารอะคริลามีดคือสารละลายโซเดียมคลอไรด์ เติมสารอะคริลามีดเจือไอโซโทป ($^{13}\text{C}_3$ -acrylamide) เป็นอินเทอร์นอลสแตนดาร์ดทำให้บริสุทธิ์ด้วยสารละลาย carrez และการสกัดแบบเฟสสองแย้ง ที่มีการประยุกต์มาใช้เมทานอลเป็นตัวชี้ ศึกษาจุดวิกฤตในการสกัดระหว่างสัดส่วนของน้ำหนักมันฝรั่งต่อสารละลายโซเดียมคลอไรด์ที่ใช้พบว่าสัดส่วนที่ดีคือ 0.125 กรัมต่อ 1 มิลลิลิตรของสารละลายโซเดียมคลอไรด์เพิ่มขึ้น 2 ไมลาร์ การนำน้ำมันมะกอกอบบริสุทธิ์มาใช้เพื่อช่วยป้องกันไม่ให้สารอะคริลามีดสูญหายระหว่างการทำให้เมทานอลแห้งนั้นทำให้มีเปอร์เซ็นต์คืนกลับสูง การตรวจสอบความถูกต้องของวิธีวิเคราะห์ ขีดจำกัดการตรวจพบ และขีดจำกัดวิเคราะห์ปริมาณ เท่ากับ 23.2 และ 91.8 ไมโครกรัมต่อกิโลกรัม ตามลำดับ ความเป็นเส้นตรง มีค่าสัมประสิทธิ์สหสัมพันธ์ (r) มากกว่า 0.999 ที่ความเข้มข้น 25-1,000 ไมโครกรัมต่อกิโลกรัม เปอร์เซ็นต์คืนกลับร้อยละ 98.8 วิธีนี้นำมาประยุกต์กับมันฝรั่งแผ่นที่จำหน่ายตามห้องตลาด ทดสอบความทวนซ้ำได้ เมื่อวิเคราะห์ภายในวันเดียวกันพบว่าค่าเบี่ยงเบนมาตรฐานสัมพัทธ์เท่ากับ ร้อยละ 3.9 การสำรวจพบว่าผลิตมันฝรั่งแผ่นในระดับอุตสาหกรรมและระดับห้องครัวนั้นมีปริมาณสารอะคริลามีดไม่แตกต่างกันอย่างมีนัยสำคัญ

Vural Gokmen และ Hamide Z. Senyuva [27] ตรวจวิเคราะห์ปริมาณสารอะคริลามีดในอาหารที่ผ่านกระบวนการให้ความร้อนและพัฒนาการเตรียมตัวอย่าง ใช้เมทานอลเป็นตัวสกัดสารอะคริลามีดและทำให้บริสุทธิ์โดยใช้สารละลาย carrez I และ II จากนั้นทำการระเหยเพื่อเปลี่ยนเป็นตัวทำละลายจากเมทานอลเป็นน้ำ ทำให้บริสุทธิ์ด้วย SPE Oasis HLB นำไปตรวจวิเคราะห์ด้วยเครื่อง LC-MS ใช้คอลัมน์ ODS-3 เฟสเคลื่อนที่ วิธีการจะแบบไอโซเครติก เฟสเคลื่อนที่ประกอบด้วย กรดอะซิติกเข้มข้น 0.01 มิลลิโลลาร์ของ 0.2 % กรดฟอร์มิกในน้ำ อัตราการไหล 0.6 มิลลิลิตรต่อนาที ที่อุณหภูมิ 25 องศาเซลเซียส เปอร์เซ็นต์คืนกลับของมันฝรั่ง

แผ่น บิสกิตและกาแฟเผอญี่ในช่วง ร้อยละ 92.8 -101.5 ค่าการเบี่ยงเบนมาตรฐานสัมพัทธ์ ร้อยละ 4.1 หรือน้อยกว่า จึงจำกัดการตรวจพบและจัดจำกัดการวิเคราะห์ปริมาณเท่ากับ 2 และ 6 นาโนกรัมต่อกรัม ได้จากอัตราส่วนของสัญญาณและสัญญาณรบกวน (signal to noise) 3 ต่อ 1 และ 9 ต่อ 1 ตามลำดับ

Innocenzo G. Casella และคณะ [52] ตรวจวิเคราะห์หาปริมาณอะคริลามายด์และกรดอะคริลิก โดยใช้โคลามาโทกราฟของเหลว มีวิธีการจะแบบ ไอ ไซเครติก และ pulsed electrochemical เป็นเดี๋ยวกัน จากรูปแสดงผลของไฟฟ้าเคมีของขั้ว polycrystalline platinum ในการเกิดปฏิกิริยา ออกซิเดชัน-รีดักชันของโมเลกุลของ อลิฟาติกห่วงโซ่สั้นแบบไม่อิ่มตัว (short-chain unsaturated aliphatic) เช่น อะคริลามายด์และอะคริลิกในสารละลายที่เป็นกรด สารที่สนใจวิเคราะห์แยกด้วย โคลามาโทกราฟของเหลวแบบรีเวอร์สเฟสและตรวจวัดด้วย pulsed amperometric แบบ two-step waveform สำหรับตรวจหาปริมาณสารละลายที่เป็นน้ำที่มีอะคริลามายด์และอะคริลิก มีจุดจำกัดการตรวจพบ 20 นาโนโมลาร์ (1.4 ไมโครกรัมต่อกรัม) และ 45 นาโนโมลาร์ (3.2 ไมโครกรัมต่อกรัม) ตามลำดับ เมื่อเปรียบเทียบ tree-step waveform แบบเดิมกับ แบบ two-step waveform ซึ่งแสดงสมรรถภาพของการวิเคราะห์ในเทอม จุดจำกัดการตรวจพบ ช่วงความเป็นเส้นตรง ความแม่นยำและการทำซ้ำได้ (reproducibility) สามารถใช้งานนานขึ้น วิธีวิเคราะห์รวมขั้นตอนการทำให้ตัวอย่างให้บริสุทธิ์ (clean-up) ด้วยสารละลาย carrez และการสกัดแบบเฟสของแข็ง แบบ strong cation exchanger ด้วยน้ำทำให้สามารถหาปริมาณอะคริลามายด์ที่ระดับความเข้มข้นต่ำในอาหาร เช่น กาแฟและมันฝรั่งทอด

Yu Zhang และคณะ [53] ตรวจวิเคราะห์หาปริมาณในอาหารโดยใช้แก๊สโคลามาโทกราฟ ดีเจกเตอร์ กีอ อิเลคตรอนแแคเพเจอร์ (GC-ECD) วิธีนี้จะกำจัดไขมันด้วยเซกเชน และใช้สารละลาย ไซเดียมคลอไรด์สกัดอะคริลามายด์จากตัวอย่าง สารละลายตัวอย่างที่สกัดได้ทำอนุพันธ์ด้วย โพแทสเซียมไบรมेट ($KBrO_3$) และ โพแทสเซียมไบร์ไมด์ (KBr) ทำการสกัดแบบของเหลว-ของเหลว โดยใช้อิเลคโทรซิเกต และทำสารละลายที่สกัดได้ตรวจวิเคราะห์หาปริมาณด้วย GC-ECD และ GC-MS เพื่อยืนยัน คอลัมน์ที่ใช้ในการแยก กีอ HP-INNOWax capillary column จัดจำกัด การตรวจพบของวิธีวิเคราะห์ประมาณ 0.1 ไมโครกรัมต่อกรัม จุดจำกัดการวิเคราะห์ปริมาณ 3 ไมโครกรัมต่อกรัม (GC-ECD) เปอร์เซ็นต์คืนกลับของอะคริลามายด์ในตัวอย่างที่เดิมสารละลายมาตรฐาน (spiked sample) ที่ความเข้มข้นระดับ 150, 500 และ 1,000 ไมโครกรัมต่อกรัม (แต่ละความเข้มข้นจำนวน 4 ชั้น) มีค่าอยู่ในระหว่าง ร้อยละ 87 - 97 และมีค่าเบี่ยงเบนมาตรฐานสัมพัทธ์ น้อยกว่าร้อยละ 4

Varal Gokmen และคณะ [54] พัฒนาวิธีตรวจวิเคราะห์มันฝรั่งแพ่นด้วยโคลามาโทกราฟของเหลวสมรรถภาพสูง ตรวจวัดด้วย ไอ ไซเครติก (LC-DAD) ให้เป็นวิธีที่ง่ายและเร็ว สามารถตรวจวิเคราะห์อาหารจำพวกมันฝรั่งที่ระดับความเข้มข้นต่ำๆ สกัดอะคริลามายด์ด้วย เมทานอล ทำให้บริสุทธิ์ด้วยสารละลาย carrez I และ carrez II ระหว่างเมทานอลออกและเปลี่ยนเป็น

น้ำเป็นตัวทำละลาย และสกัดด้วยไฟฟ์ของแข็ง Oasis HLB นำสารละลายตัวอย่างที่ได้ตรวจวิเคราะห์ทางปริมาณด้วย LC-DAD และยืนยันด้วย LC-MS การแยกของโครมาโทกราฟด้วยขันตรกิริยาของน้ำ (hydrophilic) และไม่ชอบน้ำ (hydrophobic) ของคอลัมน์ ซึ่งอะคริลามีนด้วยหน่วงไว้ได้ดีในคอลัมน์ ที่ส่วนน้ำ 100 % ค่าแฟกเตอร์ความจุ (k) เท่ากับ 3.67 เวลาที่ถูกหน่วงไว้ (RT) เท่ากับ 2.54 จึงจำกัดการตรวจพบ 4.0 ไมโครกรัมต่อกิโลกรัม (3 เท่าของสัญญาณต่อสัญญาณรบกวน ที่ความยาวคลื่น 226 นาโนเมตร) เปอร์เซ็นต์คืนกลับเมื่อเติมสารละลายน้ำตรฐานอะคริลามีนด้วยตัวอย่างมันฝรั่งแผ่นที่ระดับความเข้มข้น 250, 500 และ 1,000 ไมโครกรัมต่อกิโลกรัม (จำนวนระดับละ 4 ชั้น) อยู่ในช่วงร้อยละ 92.8 – 96.2 และมีค่าเบี่ยงเบนมาตรฐานสัมพัทธ์น้อยกว่าร้อยละ 5

บทที่ 3

การดำเนินงานวิจัย

3.1 สารเคมีและอุปกรณ์สำหรับงานวิจัย

3.1.1 สารมาตรฐานและวัสดุอ้างอิงมาตรฐาน

1. อะคริลามีนด์ (C_3H_5NO) ผลิตภัณฑ์ของ SIGMA ALDRICH ความบริสุทธิ์ร้อยละ 99.0
2. 2D_5 -อะคริลามีนด์ (C_3D_5NO) ผลิตภัณฑ์ของ SIGMA ALDRICH (ร้อยละของอะตอมดิวทีเรียม 98 อะตอม)
3. วัสดุอ้างอิงมาตรฐาน (Standard Reference Material, SRM) SRM2387 Peanut Butter ผลิตภัณฑ์ของ NIST ระบุค่า reference concentration value ของสารอะคริลามีนด์ เท่ากับ 87.0 ± 7.8 ไมโครกรัมต่อกิโลกรัม

3.1.2 สารเคมี

1. โป๊แต่สเซี่ยน เอகซะไซยาโนเฟอเรท (potassium hexacyanoferrate) analytical grade ผลิตภัณฑ์ของ FLUKA
2. ซิงค์ซัลเฟต (zinc sulphate) analytical grade ผลิตภัณฑ์ของ UNIVAR
3. เมทานอล (methanol) chromatography grade ผลิตภัณฑ์ของ MERCK
4. กรดฟอร์มิก (formic acid) analytical grade ผลิตภัณฑ์ของ MERCK
5. กรดอะซิติก (acetic acid) analytical grade ผลิตภัณฑ์ของ MERCK
6. แก๊สไนโตรเจน
7. น้ำปราศจากไอออน (deionized water)

3.1.3 เครื่องมือและอุปกรณ์

1. เครื่องบดตัวอย่าง
2. เครื่องหมุนเหวี่ยงความเร็ว (centrifuge) ผลิตภัณฑ์ของ HERMLE รุ่น Z400
3. หลอดพลาสติกสำหรับเครื่องหมุนเหวี่ยงความเร็วสูง (centrifuge tube) พลาสติกชนิด polypropylene copolymer ขนาด 50 มิลลิลิตร พร้อมฝาปิดพลาสติกชนิด polypropylene
4. เครื่องเขย่า (shaker) ผลิตภัณฑ์ของ YAMATO รุ่น SA300
5. autopipett ขนาด 5- 40, 40-200 และ 200-1000 ไมโครลิตร
6. เครื่องผสมสารสำหรับหลอดทดลอง (vortex mixture) VORTEX-2 GENIE

7. syringe filter ชนิดไนลอน (nylon) รูพรุนขนาด 0.45 ไมครอน เส้นผ่าศูนย์กลาง 13 มิลลิเมตร แบบ disposable
8. ขวดแก้ว derivatize ขนาด 4 มิลลิลิตร พร้อมฝาปิด
9. เฟสของแข็งสำหรับสกัด Oasis HLB 6 cc. (200 mg) และเฟสของแข็งสำหรับสกัด Oasis MCX 3 cc (60 mg) ผลิตภัณฑ์ของ Water
10. คอลัมน์ Luna Su C18 ขนาดอนุภาค 100 อังสตอม ขนาด 2.00 x 250 มิลลิเมตร ผลิตภัณฑ์ของ Phenomenex
11. คอลัมน์ Atlantis dC18 ขนาดอนุภาค 5 ไมครอน ขนาด 2.1 x 150 มิลลิเมตร ผลิตภัณฑ์ของ Water
12. เครื่องชั่งละเอียด 4 ตำแหน่ง Satorius model AC 211S
13. เครื่องโคมไฟกราฟของเหลวแบบสมรรถนะสูงของบริษัท Agilent รุ่น 1100 ประกอบด้วยปั๊มแบบ binary pump เครื่องฉีดตัวอย่างอัตโนมัติ (auto sample) และส่วนควบคุม อุณหภูมิกอลัมน์ เชื่อมต่อกับแทนเดิมแมสสเปกโตรมิเตอร์ (LC-MS/MS) รุ่น API 4000 ของบริษัท Applied Biosystem MDS SCIEX

3.2 ขั้นตอนการดำเนินงานวิจัย

- 3.2.1 พัฒนาวิธีวิเคราะห์สารอะคริลาไมค์ในอาหาร โดยใช้เครื่อง LC-ESI-MS/MS
 - 3.2.1.1 ศึกษาการแยกสิ่งรบกวน (interference) ในสารละลายตัวอย่างออกจากสารที่สนใจเมื่อตรวจวิเคราะห์ด้วย LC-ESI-MS/MS
 - 3.2.1.2 ศึกษาชนิดของตัวทำละลายและสภาพที่เหมาะสมสำหรับใช้สกัดสารอะคริลาไมค์ในอาหาร (โดยเฉพาะอาหารที่มีแป้งปริมาณมาก เช่น มันฝรั่ง)
- 3.2.2 ทดสอบความถูกต้องของวิธีวิเคราะห์ห้าปริมาณอะคริลาไมค์ในอาหารแมทริกต่างๆด้วยวิธีวิเคราะห์ที่พัฒนาขึ้น
- 3.2.3 วิเคราะห์ปริมาณการปนเปื้อนสารอะคริลาไมค์ในอาหาร

โดยการเก็บตัวอย่างอาหารที่สังสัยจะมีปนเปื้อนของสารอะคริลาไมค์โดยเฉพาะอาหารจำพวกครัวโน่ไชเดรตที่ผ่านกระบวนการให้ความร้อน และทำการตรวจวิเคราะห์ห้าปริมาณด้วยวิธีวิเคราะห์ที่พัฒนาขึ้น
- 3.2.4 สรุปรวมและประเมินผลการศึกษา

3.3 วิธีดำเนินการ

3.3.1 การเตรียมสารละลายน้ำมาตรฐาน

3.3.1.1 สารละลายน้ำมาตรฐานอะคริลามีด์เข้มข้น 500 มิลลิกรัมต่อลิตร (stock standard solution)

ชั้งสารมาตรฐานอะคริลามีด์ 0.0500 กรัม ลงในขวดปริมาตรขนาด 100 มิลลิลิตร ละลายน้ำและปรับปริมาตรด้วยน้ำปราศจากไออกอน เก็บในที่มีด อุณหภูมิ 4 องศาเซลเซียส ใช้ได้นาน 6 เดือน

3.3.1.2 สารละลายน้ำมาตรฐาน $^2\text{d}_5$ - อะคริลามีด์ 500 มิลลิกรัมต่อลิตร (internal standard solution)

ชั้งสารมาตรฐาน $^2\text{d}_5$ - อะคริลามีด์ 0.0500 กรัม ลงในขวดปริมาตรขนาด 100 มิลลิลิตร ละลายน้ำและปรับปริมาตรด้วยน้ำปราศจากไออกอน ($^2\text{d}_5$ -อะคริลามีด์ เป็น $^2\text{d}_5$ - อะคริลามีด์ อายุร่วมเรื่อยเมื่อละลายในน้ำ) เก็บในที่มีด อุณหภูมิ 4 องศาเซลเซียส ใช้ได้นาน 6 เดือน

3.3.1.3 สารละลายน้ำมาตรฐานอะคริลามีด์เข้มข้น 10 มิลลิกรัมต่อลิตร (working standard solution)

ปีเปตสารละลายน้ำมาตรฐานอะคริลามีด์ 500 มิลลิกรัมต่อลิตรจำนวน 100 ไมโครลิตร ลงในขวดปริมาตรขนาด 5 มิลลิลิตร ละลายน้ำและปรับปริมาตรด้วยน้ำปราศจากไออกอน (เตรียมใหม่ทุกครั้ง)

3.3.1.4 สารละลายน้ำมาตรฐานอะคริลามีด์เข้มข้น 1 และ 10 มิลลิกรัมต่อลิตร (spike standard solution)

ปีเปตสารละลายน้ำมาตรฐานอะคริลามีด์ 500 มิลลิกรัมต่อลิตรจำนวน 10 และ 100 ไมโครลิตร ลงในขวดปริมาตรขนาด 5 มิลลิลิตร จำนวน 2 ใบ ตามลำดับ ละลายน้ำและปรับปริมาตรด้วยน้ำปราศจากไออกอน (เตรียมใหม่ทุกครั้ง)

3.3.1.5 สารละลายน้ำมาตรฐาน $^2\text{d}_5$ - อะคริลามีด์ เข้มข้น 10 มิลลิกรัมต่อลิตร (working internal standard solution)

ปีเปตสารละลายน้ำมาตรฐาน $^2\text{d}_5$ - อะคริลามีด์ 500 มิลลิกรัมต่อลิตรจำนวน 100 ไมโครลิตร ลงในขวดปริมาตรขนาด 5 มิลลิลิตร ละลายน้ำและปรับปริมาตรด้วยน้ำปราศจากไออกอน (เตรียมใหม่ทุกครั้ง)

3.3.2 การเตรียมสารละลายน้ำมาตรฐานสำหรับสร้างกราฟมาตรฐาน (calibration standard solution)

สารละลายน้ำมาตรฐานอะคริลามีเม็ดความเข้มข้น 0, 2, 5, 10, 20, 40 และ 80 ไมโครกรัมต่อลิตร ที่มีสารละลายน้ำมาตรฐาน d_3 -อะคริลามีด์ เข้มข้น 40 ไมโครกรัมต่อลิตร เป็นอินเทอร์โนล-สแคนดิคาร์ด โดยปีเป็ตสารละลายน้ำมาตรฐานอะคริลามีด์เข้มข้น 10 มิลลิกรัมต่อลิตร (ข้อ 3.3.1.3) จำนวน 0, 5, 12.5, 25, 50, 100 และ 200 ไมโครลิตร ลงในขวดวัดปริมาตรขนาด 25 มิลลิลิตร จำนวน 7 ใบ ตามลำดับ และปีเป็ตสารละลายน้ำมาตรฐาน d_3 -อะคริลามีด์ เข้มข้น 10 มิลลิกรัมต่อลิตร (ข้อ 3.3.1.5) จำนวน 100 ไมโครลิตร ลงในขวดวัดปริมาตรทุกขวด ละลายและปรับปริมาตรด้วยน้ำประศาจากไออกอน

3.3.3 การเตรียมสารละลายน้ำ

3.3.3.1 สารละลายน้ำ carrez I

ชั้งโป๊ปแตสเซี่ยน เอกซ์ไซยาโนเฟอเรท 15 กรัม ละลายด้วยน้ำประศาจากไออกอน จำนวน 100 มิลลิลิตร

3.3.3.2 สารละลายน้ำ carrez II

ชั้งซิงค์ซัลเฟต 30 กรัม ละลายด้วยน้ำประศาจากไออกอน จำนวน 100 มิลลิลิตร

3.3.3.3 สารละลายน้ำ 50, 60, 70, 80 และ 90 % โดยปริมาตร

ตวงเมทานอล จำนวน 50, 60, 70, 80 และ 90 มิลลิลิตร ลงในน้ำประศาจากไออกอน จำนวน 50, 40, 30, 20 และ 10 มิลลิลิตร ตามลำดับ

3.3.3.4 สารละลายน้ำ 0.1 % โดยปริมาตร ของกรดอะซิติกในสารละลายน้ำ 70 % โดยปริมาตร

ปีเป็ตกรดอะซิติกจำนวน 1 มิลลิลิตร ในสารละลายน้ำ 70 % โดยปริมาตร และปรับปริมาตรเป็น 1000 มิลลิลิตร

3.3.3.5 สารละลายน้ำ 0.1 % โดยปริมาตร ของกรดฟอร์มิกในสารละลายน้ำ 70 % โดยปริมาตร

ปีเป็ตกรดฟอร์มิกจำนวน 1 มิลลิลิตร ในสารละลายน้ำ 70 % โดยปริมาตร และปรับปริมาตรเป็น 1000 มิลลิลิตร

3.3.3.6 สารละลายน้ำ 0.1 % โดยปริมาตร ของกรดอะซิติก (เฟสเคลื่อนที่)

ปีเป็ตกรดอะซิติกจำนวน 1 มิลลิลิตร ในน้ำประศาจากไออกอน ปรับปริมาตรเป็น 1000 มิลลิลิตรด้วยน้ำประศาจากไออกอน กรองภายในไดร์รูบบิ้งสุญญากาศผ่านกระดาษกรองชนิดเซลลูโลส อะเซตेट (cellulose acetate) ที่มีขนาดรูพรุน 0.45 ไมครอน

3.3.4 ศึกษาการแยกสิ่งรบกวน (interference) ในสารละลายน้ำตัวอย่างออกจากสารที่สนใจเมื่อตรวจวิเคราะห์ด้วย LC-ESI-MS/MS

3.3.4.1 กำจัดสิ่งรบกวนโดยการทำให้สารละลายน้ำตัวอย่างบริสุทธิ์ด้วยการสกัดแบบเฟลของแข็ง

ตัวอย่างที่ใช้ศึกษา คือ SRM2387 peanut butter ใช้น้ำเป็นตัวทำละลายในการสกัดสารอะคริลาไมด์จากตัวอย่างและทำให้ตัวอย่างบริสุทธิ์ด้วยการสกัดแบบเฟลของแข็ง 2 ชนิด คือ Oasis HLB และ Oasis MCX ตรวจวัดด้วย LC-ESI-MS/MS เปรียบเทียบโคมาราโทแกรมก่อนและหลังการทำให้ตัวอย่างบริสุทธิ์ด้วยเฟลของแข็ง เมื่อแยกด้วยคอลัมน์ Atlantis dC18 ขนาดอนุภาค 5 ไมครอน ขนาด 2.1×150 มิลลิเมตร วิธีการจะแบบไอโซเกรติก เฟลเคลื่อนที่ประกอบด้วย 0.1 % โดยปริมาตรของกรดอะซิติกในน้ำตัวอย่าง 97 ต่อ 3 อัตราการไหล 0.3 มิลลิลิตรต่อนาที

ขั้นตอนการศึกษา

3.3.4.1.1 ชั้งตัวอย่างประมาณ 1 กรัม เติม $^2\text{d}_3$ -อะคริลาไมด์จำนวน 400 นาโนกรัม ตัวทำละลายที่ใช้สกัดตัวอย่าง คือ น้ำ ปริมาตร 10 มิลลิลิตร เติมสารละลายน้ำ carrez I และ carrez II อย่างละ 100 ไมโครลิตร เวลาที่ใช้เขย่าเพื่อสกัด 20 นาที ปั่นแยกด้วยเครื่องหมุนแหวี่งความเร็วที่ความเร็ว 3,500 รอบต่อนาที นำสารละลายน้ำตัวอย่างส่วนใสที่สกัดได้ กรองผ่าน syring filter ชนิดไนลอน (nylon) ขนาด 0.45 ไมครอน ลงในขวดสีชา ขนาด 2 มิลลิลิตร ตรวจวัดด้วย LC-ESI-MS/MS

3.3.4.1.2 การทำให้ตัวอย่างบริสุทธิ์ด้วยเฟลของแข็ง ต้องปรับสภาพเฟลของแข็งก่อนใช้งาน ด้วยเมทานอล 2 มิลลิลิตร และ น้ำ 2 มิลลิลิตร เมื่อปรับสภาพเฟลของแข็งเรียบร้อยแล้วนำสารละลายน้ำตัวอย่างส่วนใส จากข้อ 3.3.4.1.1 จำนวน 2 มิลลิลิตร ผ่านเฟลของแข็ง Oasis HLB เมื่อสารละลายน้ำตัวอย่างผ่านเฟลของแข็งหมดแล้ว จะด้วยน้ำจำนวน 2 มิลลิลิตร เก็บส่วนของสารละลายน้ำที่จะได้ไว้และนำมาผ่านเฟลของแข็ง Oasis MCX โดยต้องปรับสภาพเฟลของแข็งก่อนใช้งาน ด้วย เมทานอล 2 มิลลิลิตร และ น้ำ 2 มิลลิลิตร เก็บสารละลายน้ำที่ผ่านเฟลของแข็งโดยจะทิ้งส่วนของสารละลายน้ำ 10 หยดแรก สารละลายน้ำที่เก็บได้ กรองผ่าน syring filter ชนิดไนลอน ขนาด 0.45 ไมครอน ลงในขวดสีชา ขนาด 2 มิลลิลิตร ตรวจวัดด้วย LC-ESI-MS/MS

3.3.4.2 การแยกโคมาราโทกราฟของสารที่สนใจออกจากสิ่งรบกวน

ตัวอย่างที่ใช้ศึกษา คือ SRM2387 peanut butter ใช้น้ำเป็นตัวทำละลายในการสกัดสารอะคริลาไมด์จากตัวอย่าง เปรียบเทียบการแยกโคอมาราโทกราฟของสารที่สนใจออกจากสิ่งรบกวนเมื่อใช้คอลัมน์ 2 ชนิด คือ คอลัมน์ Atlantis dC18 ขนาดอนุภาค 5 ไมครอน ขนาด 2.1×150 มิลลิเมตร และคอลัมน์ Luna Su C18 ขนาดอนุภาค 100 อังสตอม ขนาด 2.00×250 มิลลิเมตร แทนการทำให้สารละลายน้ำตัวอย่างบริสุทธิ์ด้วยการสกัดแบบเฟลของแข็ง

ขั้นตอนการศึกษา

ทำการเตรียมตัวอย่างเหมือนข้อ 3.3.4.1.1 ตรวจวัดด้วย LC-ESI-MS/MS ขั้นตอนการแยกใช้วิธีแบบไอโซครติก เฟสเคลื่อนที่ประกอบด้วย 0.1 % โดยปริมาตรของกรดอะซิติกในน้ำต่อมethanol ในอัตราส่วน 97 ต่อ 3 อัตราการไหล 0.3 มิลลิลิตรต่อนาที เปรียบเทียบการแยกของโคมาราโฟกราฟของคอลัมน์ 2 ชนิด ดังที่กล่าวข้างต้น

3.3.5 ศึกษาตัวทำละลายและสภาพที่เหมาะสมสำหรับใช้สกัดสารอะคริลามีดในอาหาร (โดยเฉพาะอาหารที่มีแป้งปริมาณมาก)

3.3.5.1 ศึกษาอัตราส่วนของตัวทำละลายเมทานอลกับน้ำที่เหมาะสมที่ใช้ในการสกัดตัวอย่าง

ศึกษาตัวทำละลายผสมเมทานอลในน้ำที่อัตราส่วนต่างๆ คือ 50, 60, 70, 80, 90 และ 100 % โดยปริมาตร เพื่อใช้เป็นตัวทำละลายในการสกัด ทำการศึกษาในตัวอย่าง 2 ชนิด คือ SRM2387 peanut butter และมันฝรั่งแผ่นทอดกรอบชนิดที่ 1 โดยกำหนดให้ตัวแปรอื่นๆ คงที่ คือ น้ำหนักตัวอย่าง 1 กรัม ปริมาตรตัวทำละลาย 10 มิลลิลิตร เวลาที่ใช้เบี้ยเพื่อสกัด 20 นาที ที่อุณหภูมิห้อง (ทำให้สารละลายตัวอย่างบริสุทธิ์ด้วยสารละลาย carrez I และ carrez II) พิจารณาผลการสกัดและเลือกตัวทำละลายผสมเมทานอลกับน้ำที่อัตราส่วนเหมาะสมในการสกัด

3.3.5.2 ศึกษาน้ำหนักของตัวอย่างที่เหมาะสมในการสกัด

ทำการแปรน้ำหนักตัวอย่าง 0.5, 1.0, 2.0, 3.0 และ 4.0 กรัม สกัดด้วยตัวทำละลายผสมเมทานอลกับน้ำที่อัตราส่วนที่เหมาะสม (จากข้อ 3.3.5.1) ทำการศึกษาในตัวอย่างมันฝรั่ง แผ่นทอดกรอบชนิดที่ 1 โดยกำหนดให้ตัวแปรอื่นๆ คงที่คือ ตัวทำละลาย ปริมาตรตัวทำละลาย 10 มิลลิลิตร เวลาที่ใช้เบี้ยเพื่อสกัด 20 นาที ที่อุณหภูมิห้อง (ทำให้สารละลายตัวอย่างบริสุทธิ์ด้วยสารละลาย carrez I และ carrez II) นำขั้นของตัวทำละลายที่สกัดครั้งแรกออก และทำการสกัดซ้ำครั้ง (สกัดครั้งที่ 2) เพื่อคุณภาพอะคริลามีดคงเหลือหลังจากการสกัดครั้งแรก พิจารณาผลการสกัดและเลือกช่วงน้ำหนักที่เหมาะสมในการสกัด

3.3.5.3 ศึกษาสภาพอื่นๆ

3.3.5.3.1 ทดลองเติมกรดลงในตัวทำละลายผสมเมทานอลกับน้ำที่อัตราส่วนที่เหมาะสม (จากข้อ 3.3.5.1) คือ 0.1 % โดยปริมาตรของกรดอะซิติกในตัวทำละลายที่เหมาะสม และ 0.1 % โดยปริมาตรของกรดฟอร์มิกในตัวทำละลายที่เหมาะสม (จากข้อ 3.3.3.4 และ 3.3.3.5) เป็นตัวทำละลายที่ใช้ในการสกัด กำหนดให้ตัวแปรอื่นๆ คงที่คือ น้ำหนักตัวอย่าง 1 กรัม ปริมาตรตัวทำละลาย 10 มิลลิลิตร เวลาที่ใช้เบี้ยเพื่อสกัด 20 นาที ที่อุณหภูมิห้อง (ทำให้สารละลายตัวอย่างบริสุทธิ์ด้วยสารละลาย carrez I และ carrez II) และทำการสกัดซ้ำอีกครั้ง ทำการศึกษาในตัวอย่างมันฝรั่ง แผ่นทอดกรอบชนิดที่ 2

3.3.5.3.2 เพิ่มปริมาตรของตัวทำละลายที่สักด้ โดยเพิ่มปริมาตรตัวทำละลาย ผสมเมทานอลกับน้ำที่อัตราส่วนที่เหมาะสม (จากข้อ 3.3.5.1) จากเดิม 10 มิลลิลิตร เป็น 15 มิลลิลิตร โดยกำหนดให้ตัวแปรอื่นๆ คงที่คือ ตัวทำละลาย น้ำหนักตัวอย่าง 1 กรัม เวลาที่ใช้เวลาเพื่อสักด้ 20 นาที ที่อุณหภูมิห้อง (ทำให้สารละลายตัวอย่างบริสุทธิ์ด้วยสารละลาย carrez I และ carrez II) นำชั้นของตัวทำละลายที่สักด้รังเรกออก และทำการสักด้ซ้ำอีกครั้ง ทำการศึกษาในตัวอย่างมันฝรั่งแผ่นทดลองรอบชนิดที่ 2

3.3.5.3.3 เพิ่มเวลาในการสักด้ โดยเพิ่มเวลาในการเบี่ยงจากเดิม 20 นาที เป็น 30 นาที กำหนดให้ตัวแปรอื่นๆ คงที่คือ ชนิดของตัวทำละลายที่เหมาะสม (จากข้อ 3.3.5.1) น้ำหนักตัวอย่าง 1 กรัม ปริมาตรตัวทำละลาย 10 มิลลิลิตร ที่อุณหภูมิห้อง (ทำให้สารละลายตัวอย่างบริสุทธิ์ด้วยสารละลาย carrez I และ carrez II) นำชั้นของตัวทำละลายที่สักด้รังเรกออก และทำการสักด้ซ้ำอีกครั้ง ทำการศึกษาในตัวอย่างมันฝรั่งแผ่นทดลองรอบชนิดที่ 2

3.3.6 ทดสอบความถูกต้องของวิธีวิเคราะห์

เมื่อได้ตัวทำละลายและสภาวะที่เหมาะสมในการสักด้สารอะคริลามีด์ในอาหารแล้ว ทำการทดสอบความถูกต้องของวิธีวิเคราะห์ในแมทริกซ์ต่างๆ โดยเตรียมตัวอย่างอาหารที่ไม่มีสารที่สนใจ (sample blank) คือ ข้าวต้มสุก ข้าวโพดต้มสุก ถั่วต้มสุก ขนมปังนุ่ม มันฝรั่งต้มสุก กล้วยและเมล็ดกาแฟแห้ง บดตัวอย่างให้เป็นเนื้อเดียวกัน เก็บในภาชนะปิดสนิทป้องกันแสงที่อุณหภูมิ 4 องศาเซลเซียส ซึ่งตัวอย่างอาหารที่เตรียมนี้จะใช้เป็นตัวแทนของอาหารประเภทต่างๆ เมื่อเตรียม sample blank เรียบร้อยแล้วเริ่มทำการทดสอบความถูกต้องของวิธีวิเคราะห์ดังนี้

3.3.6.1 ความเป็นเส้นตรง (linearity)

การทดสอบโดยการนำสารละลายน้ำ 7 ระดับความเข้มข้น ที่ความเข้มข้น 0, 2, 5, 10, 20, 40 และ 80 ไมโครกรัมต่องrams ที่ต่อไปนี้ LC-ESI-MS/MS โดยวิเคราะห์ระดับความเข้มข้นละ 5 ชั้น สภาวะที่ใช้แยกคือ คอลัมน์ Luna Su C18 ขนาดอนุภาค 100 อังสตอม ขนาด 2.00×250 มิลลิเมตร วิธีการจะแบบไฮโลเครติก เฟสเคลื่อนที่ประกอบด้วย 0.1 % โดยปริมาตรของกรดอะซิติกในน้ำต่อเมทานอล ในอัตราส่วน 97 ต่อ 3 อัตราการไหล 0.3 มิลลิลิตรต่อนาที นำผลการทดสอบที่ได้มาสร้างกราฟความสัมพันธ์ระหว่างอัตราส่วนของพิเศษที่ได้พิเศษสารละลายน้ำ (อะคริลามีด์ m/z 72/55) ต่ออินเทอร์นอลสแตนดาร์ด (${}^2\text{d}_3$ -อะคริลามีด์ m/z 75/58) และอัตราส่วนของความเข้มข้นสารละลายน้ำ 7 ต่ออินเทอร์นอลสแตนดาร์ด นำมาคำนวณหาสมการเส้นลดคงอย (regression line) โดยใช้วิธีกำลังสองน้อยที่สุด (the method of least squares) หาก่าสัมประสิทธิ์สหสัมพันธ์ (correlation coefficient, r) หรือสัมประสิทธิ์การตัดสินใจ (coefficient of determination, R²) ต้องไม่ต่ำกว่า 0.995 [55] และยืนยันความสัมพันธ์เชิงเส้นด้วย residual plots (ภาคผนวก ก.)

3.3.6.2 ขีดจำกัดการตรวจพบ (limit of detection, LOD) [56]

วิเคราะห์ตัวอย่างแต่ละแม่ทริกซ์ที่ไม่มีสารที่สนใจตามขั้นตอนวิธีวิเคราะห์ (ข้อ 3.4) จำนวน 7-10 ชิ้น หาค่าเฉลี่ย (mean) และค่าเบี่ยงเบนมาตรฐาน (SD) ของความเข้มข้นในตัวอย่าง โดยที่ $LOD = \text{ค่าเฉลี่ยของความเข้มข้นในตัวอย่าง} + 3SD$ และค่าโดยประมาณของ LOQ (estimated LOQ) = ค่าเฉลี่ยของความเข้มข้นในตัวอย่าง + 10SD

การคำนวณ

$$\text{ค่าเฉลี่ย } (\bar{x}) = \frac{\sum x_i}{n} \quad (3.1)$$

เมื่อ x_i คือ ค่าของข้อมูลแต่ละค่า
 n คือ จำนวนข้อมูลทั้งหมด

$$\text{ค่าเบี่ยงเบนมาตรฐาน } (SD) = \sqrt{\frac{\sum (x_i - \bar{x})^2}{n-1}} \quad (3.2)$$

เมื่อ x_i คือ ค่าของข้อมูลแต่ละค่า
 \bar{x} คือ ค่าเฉลี่ยของข้อมูลทั้งหมด
 n คือ จำนวนข้อมูลทั้งหมด

$$LOD \text{ (limit of detection)} = \bar{x} + 3SD$$

$$\text{estimated LOQ (limit of quantitation)} = \bar{x} + 10SD$$

3.3.6.3 ขีดจำกัดการวิเคราะห์ปริมาณ (limit of quantitation, LOQ) [56]

วิเคราะห์ตัวอย่างแต่ละแม่ทริกซ์ที่มีการเติมสารละลายมาตรฐาน (spiked sample) ที่มีความเข้มข้นใกล้เคียงกับค่า LOQ โดยประมาณ (estimated LOQ) ตามขั้นตอนวิธีวิเคราะห์ (ข้อ 3.4) จำนวน 7-10 ชิ้น คำนวณหาค่าเปลอร์เซ็นต์คืนกลับ (%recovery) และค่าเบี่ยงเบนมาตรฐานสัมพัทธ์ (%RSD) ค่าที่ได้ควรอยู่ในเกณฑ์ตามที่กำหนด (ภาคผนวก น.) และถ้าระดับความเข้มข้นของสารละลายมาตรฐานที่ได้จากการประมาณค่า LOQ นั้นต่ำหรือสูงเกินไป สามารถเพิ่มหรือลดได้ตามความเหมาะสม ทั้งนี้ต้องพิจารณาว่าค่าเปลอร์เซ็นต์คืนกลับและค่าเบี่ยงเบนมาตรฐานสัมพัทธ์นั้นอยู่ในเกณฑ์ที่ยอมรับหรือไม่

การคำนวณ

$$\text{Recovery}(\%) = \frac{(C_1 - C_2) \times 100}{C_3} \quad (3.3)$$

เมื่อ

C_1 คือ ความเข้มข้นของตัวอย่างที่เติมสารละลายมาตรฐาน (spiked sample
หรือ fortified sample)

C_2 คือ ความเข้มข้นของตัวอย่าง (unspiked sample หรือ unfortified sample)

C_3 คือ ความเข้มข้นของสารละลายมาตรฐานที่เติม

$$RSD(\%) = \frac{SD \times 100}{\bar{x}} \quad (3.4)$$

เมื่อ SD คือ ค่าเบี่ยงเบนมาตรฐาน
 \bar{x} คือ ค่าเฉลี่ย

3.3.6.4 ความเที่ยง (precision) และความแม่น (accuracy)

วิเคราะห์ตัวอย่างแต่ละแบบทวิภาคช์ที่มีการเติมสารละลายมาตรฐาน 3 ระดับ ความเข้มข้น คือ ที่ระดับ LOQ, 400 และ 800 ไมโครกรัมต่อกรัม วิเคราะห์ตามขั้นตอน (ข้อ 3.4) จำนวน 7-10 ชั้้า ความแม่นพิจารณาจากค่าปอร์เซ็นต์คืนกลับและความเที่ยงพิจารณาจากค่าเบี่ยงเบนมาตรฐานสัมพัทธ์ ค่าที่ได้ต้องอยู่ในเกณฑ์ยอมรับ (ภาคผนวก ฉ.)

วิเคราะห์วัสดุอ้างอิงมาตรฐาน (SRM) จำนวน 7-10 ชั้้า ความแม่นพิจารณาจากค่าเฉลี่ยที่ได้ต้องอยู่ในช่วงใบรับรองระบุและประเมินค่าถูกต้อง (trueness) ของวิธีวิเคราะห์กับค่าจริงหรือค่าอ้างอิง (ภาคผนวก ฉ.) และศึกษาความเที่ยงของวิธีวิเคราะห์ 2 แบบ คือ การทวนซ้ำได้ (repeatability) เมื่อทำการวิเคราะห์ภายในวันเดียว (intra-day) และ การทำซ้ำได้ (reproducibility) เมื่อทำการวิเคราะห์ระหว่างวัน (inter-day) พิจารณาความเที่ยงของการวิเคราะห์ทั้ง 2 แบบจากค่าเบี่ยงเบนมาตรฐานสัมพัทธ์ของการวิเคราะห์ ค่าที่ได้ต้องอยู่ในเกณฑ์ยอมรับ (ภาคผนวก ฉ.)

3.3.7 วิเคราะห์ปริมาณการปนเปื้อนสารอะคริลามิดในอาหาร

เมื่อทดสอบความถูกต้องของวิธีวิเคราะห์ที่พัฒนาขึ้นเรียบร้อยแล้ว จากนั้นเริ่มทำการเก็บตัวอย่างอาหารที่สังสัยจะมีการปนเปื้อนสารอะคริลามิด โดยเฉพาะอาหารจำพวก карт์โนไบไซเดอร์ที่ผ่านกระบวนการให้ความร้อน เช่น ทodor อบ ปิ้งหรือย่าง เช่น ขนมขบเคี้ยวหรืออบกรอบบรรจุซองที่วางขายทั่วไปตามร้านมินิมาร์ท หรือร้านขายของชำ อาหารอื่นๆที่ขายตามแผง

โดย ทำการตรวจวิเคราะห์ด้วย LC-ESI-MS/MS เตรียมตัวอย่างและตรวจวิเคราะห์หาปริมาณอะคริลามีดตามขั้นตอนข้อ 3.4

3.4 การวิเคราะห์ปริมาณสารอะคริลามีดในตัวอย่างอาหาร

3.4.1 ขั้นตอนการเตรียมตัวอย่าง

3.4.1.1 บดตัวอย่างให้เป็นเนื้อเดียวกันด้วยเครื่องบดตัวอย่าง

3.4.1.2 ชั่งตัวอย่าง 1 กรัม ด้วยเครื่องชั่งละเอียด 4 ตำแหน่งลงในหลอดพลาสติกสำหรับเครื่องหมุนเพียงความเร็ว บันทึกนำหนักที่ถูกต้อง

3.4.1.3 ปีเปตสารละลายน้ำ^{2d₃}-อะคริลามีด (อินเทอร์นอลสแตนดาร์ด) เพิ่มขึ้น 10 มิลลิกรัมต่อลิตร จำนวน 40 ไมโครลิตรลงในตัวอย่าง

3.4.1.4 ปีเปตสารละลายน้ำ 70 % โดยปริมาตร จำนวน 10 มิลลิตรเพื่อสกัดตัวอย่าง ปั่นด้วยเครื่องผสมสารสำหรับหลอดทดลอง ประมาณ 1 นาที

3.4.1.5 เติมสารละลายน้ำ carrez I และ carrez II อย่างละ 100 ไมโครลิตร

3.4.1.6 ปั่นด้วยเครื่องผสมสารสำหรับหลอดทดลอง ประมาณ 1 นาที จากนั้นเขย่าด้วยเครื่องเขย่าเป็นเวลา 30 นาที

3.4.1.7 นำมาปั่นแยกด้วยเครื่องหมุนเพียงความเร็วสูงที่ความเร็ว 3,500 รอบต่อนาที เป็นเวลา 30 นาที

3.4.1.8 ปีเปตสารละลายน้ำ 0.7 มิลลิตร ในขวด derivatize เป้าให้แห้งด้วยแก๊สไนโตรเจน (หรือเป้าให้ปริมาตรสารละลายน้ำ 20 ไมโครลิตร) ทันทีที่แห้งเต็มน้ำ จำนวน 0.7 มิลลิลิตร ปิดฝาและปั่นด้วยเครื่องผสมสารสำหรับหลอดทดลอง ประมาณ 1 นาที กรองสารละลายน้ำที่ได้ผ่าน syring filter ชนิดไนลอน (nylon) ขนาด 0.45 ไมครอน ลงในขวดสีขาวขนาด 2 มิลลิลิตร และตรวจวิเคราะห์ด้วย LC-ESI-MS/MS ปริมาตรที่นีด 20 ไมโครลิตร

3.4.1.9 ในกรณีที่สารละลายน้ำ ไม่สามารถแยกพิเศษของสิ่งรบกวนออกจากพิคของสารที่สนใจ ให้กำจัดสิ่งรบกวนโดยการสกัดแบบเฟสของแข็ง Oasis MCX 3 cc (60 mg) โดยต้องปรับสภาพเฟสของแข็งก่อนใช้งานด้วย เมทานอล 2 มิลลิลิตรและน้ำ 2 มิลลิลิตร จากนั้นปีเปตสารละลายน้ำ จำนวน 2 มิลลิลิตรผ่าน Oasis MCX ทิ้งสารละลายน้ำที่ผ่านเฟสของแข็ง แล้วปฏิบัติต่อตามข้อ 3.4.1.8

3.4.2 ສກາວະທີ່ເໜີມາສົມຂອງໂຄຣມໂຖກຮາຟຂອງເຫດວຽກແນວເດີມແມສສເປັກໂທຣມິເຕອີ່ (LC-MS/MS) ສໍາຫັບວິເຄຣະໜ້າສາຮອະຄຣິລາໄມ້ດໍາ

ຄອລິມນີ້ Luna Su C18 ຂາດອນຸກາກ 100 ອັ້ງສຕອມ ຂາດ 2.00×250 ມິლິມິໂຕຣ ວິທີການ
ຈະແບບໄອໂຫຼເຄຣຕິກ ເຟສເກລື່ອນທີ່ປະກອບດ້ວຍ 0.1 % ໂດຍປະມາດຮອງກຣຄະໜີຕິກຕ່ອມການລົບ
ໃນອັດຕະກ່າວນ 97 ຕ່ອ 3 ດ້ວຍອັດຕະການໄຫລ 0.3 ມິລິລິຕິຣຕອນນາທີ່ ອຸນໜູນີຂອງຄອລິມນີ້ 30 ອັງສຕາ-
ເຊລເຊີຍສ ທຳການຕຽບຕິດການເປີ່ຍນແປ່ງໄອອອນຂອງແນວເດີມແມສສເປັກໂທຣມິເຕອີ່ ແນບ ການຕຽບ
ຕິດຕາມຫລາຍປົງກີກີຍາ (multiple reaction monitoring, MRM) ການທຽບສະໝັກມາລຸກຕ່ອປະຈຸຂອງສາຮ
ອະຄຣິລາໄມ້ດໍາ 72/55, 72/44 ແລະ 72/72 ຜຶ່ງໄດ້ຈາກໄອອອນແມ່ (precursor ion) ຄື່ອ m/z 72 ແຕກຍ່ອຍ
ໄອອອນເປັນໄອອອນພລິຕັກັນທີ່ (product ion) ຄື່ອ m/z 55, 44 ແລະ 72 ແລະ ການທຽບສະໝັກມາລຸກຕ່ອ
ປະຈຸຂອງ ${}^2\text{d}_3$ -ອະຄຣິລາໄມ້ດໍາ m/z 75/58 ຜຶ່ງໄດ້ຈາກໄອອອນແມ່ ຄື່ອ m/z 75 ແຕກຍ່ອຍໄອອອນເປັນ
ໄອອອນພລິຕັກັນທີ່ ຄື່ອ m/z 58 ການຄໍານວນຫາປະມາດສາຮອະຄຣິລາໄມ້ດໍາໃຫ້ພື້ນທີ່ໄດ້ພຶກ (peak area)
ການທຽບສະໝັກ m/z 72/55 (ອະຄຣິລາໄມ້ດໍາ) ແລະ m/z 75/58 (ອິນເທອຣິນອລສແຕນຄາຣິກ ${}^2\text{d}_3$ -ອະຄຣິລາໄມ້ດໍາ)

ເຄື່ອງແນວເດີມແມສສເປັກໂທຣມິເຕອີ່ຂອງ Applied Biosystem MDS SCIEX ຮູນ API 4000
ແໜ່ລ່ງພລິຕິໄອອອນ ຄື່ອ Turbo spray (ESI) ວິເຄຣະໜ້າມາລຸກດ້ວຍ triple quadrupole ແລະ ຜອບົວິວ
(software version) : analyst 1.4.2

ຕາຮາງທີ 3.1 ສກາວະທີ່ເໜີມາສົມຂອງແໜ່ລ່ງພລິຕິໄອອອນສໍາຫັບວິເຄຣະໜ້າສາຮອະຄຣິລາໄມ້ດໍາ ໃນໂທນິດ
ປະຈຸບັກ (positive mode)

ພາຣາມີເຕອີ່	ຄໍາກຳຫັດ
temperature	400
Collision Gas (CAD)	6
Curtain Gas (CUR)	11
Ion Source Gas 1 (GS ₁)	60
Ion Source Gas 2 (GS ₂)	55
Ion Spray Voltage (IS)	5500

ตารางที่ 3.2 แสดงสภาวะที่เหมาะสมสำหรับการตรวจติดตามหลายปฏิกิริยา (multiple reaction monitoring, MRM)

	Q1 mass (amu)	Q3 mass (amu)	Dwell Time	DP* (mSec)	EP* (volts)	CE* (volts)	CXP* (volts)
อะคริลามีด์	71.800	44.000	100	40	10	21	6
	71.800	55.000	100	40	10	16	8
	71.800	71.900	100	40	10	6	12
² d ₃ - อะคริลามีด์	75.000	58.100	100	40	10	8	8

* DP : Declustering Potential , EP : Entrance Potential, CE : Collision Energy, CXP : Collision Cell Exit Potential

3.4.3 การควบคุมคุณภาพและรายงานผล

การควบคุมคุณภาพของการตรวจวิเคราะห์

- ทำแบล็งค์ของวิธีวิเคราะห์ (blank method) ทุก 5 % ของแต่ละชุดการทดลอง (batch)
- ทำซ้ำ (duplicate) ทุก 5 % ของแต่ละชุดการทดลอง
- เปอร์เซ็นต์คืนกลับ (เติมสารละลายมาตรฐานอะคริลามีด์ในตัวอย่าง) ทุก 5 % ของแต่ละชุดการทดลอง

การรายงานผลวิเคราะห์

- กรณีค่าที่ได้ดีกว่า LOD รายงาน “ไม่พบ”
- กรณีค่าที่ได้อยู่ระหว่าง LOD และ LOQ รายงาน “น้อยกว่า LOQ”
- กรณีค่าที่ได้มากกว่าหรือเท่ากับ LOQ รายงาน “ค่าตามจริง”

บทที่ 4

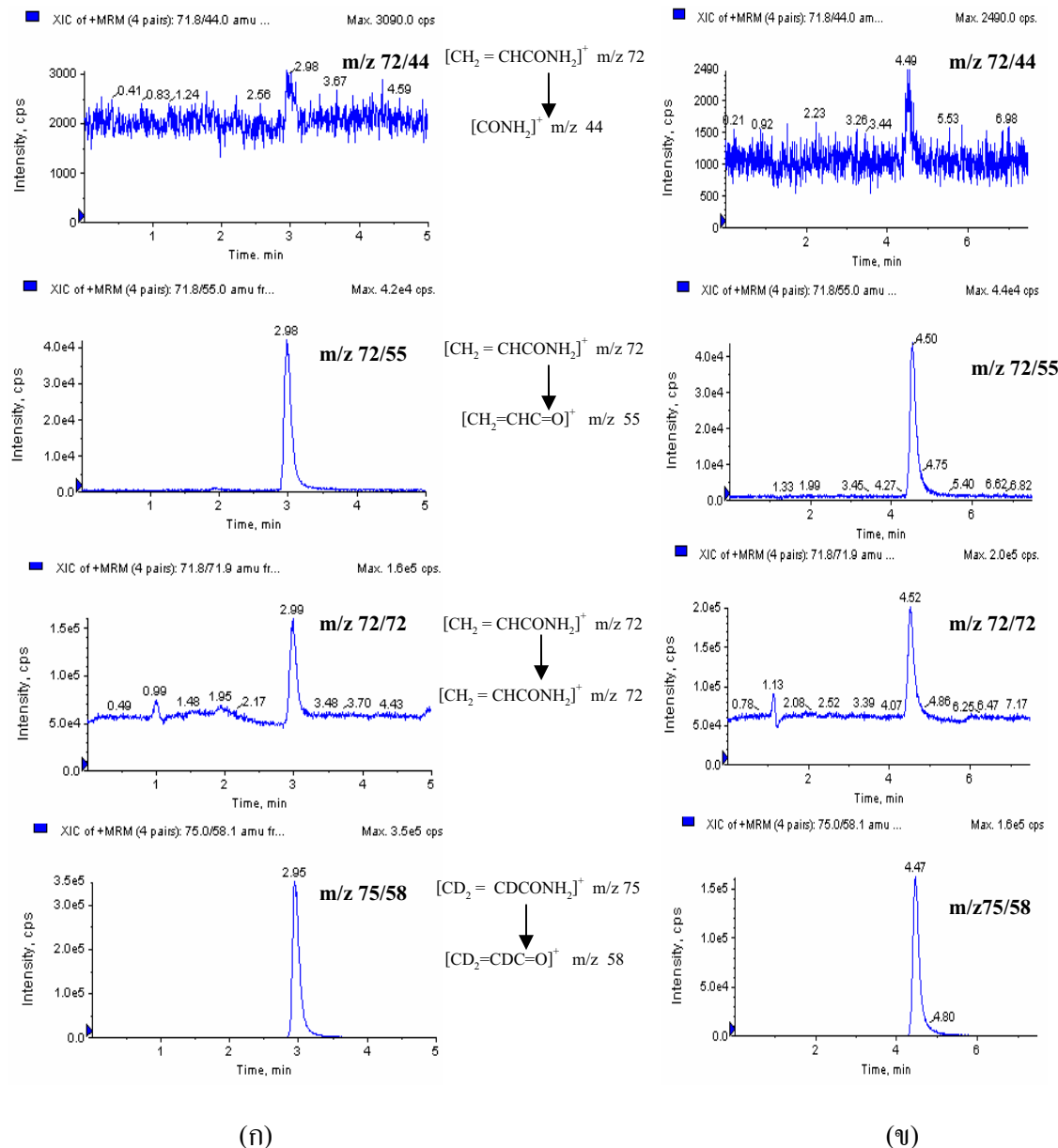
ผลการทดลองและอภิปรายผล

4.1 พัฒนาวิธีวิเคราะห์หาปริมาณสารอะคริลามิดในอาหารด้วยเครื่อง LC-ESI-MS/MS โดยใช้เทคนิคการเจือจางไอโซโทป

การวิเคราะห์สารอะคริลามิดในอาหารที่มีแม่ทริกซ์ค่อนข้างซับซ้อนนั้นทำได้ยากเนื่องจากสารนี้มีโมเลกุลขนาดเล็กจึงต้องใช้วิธีวิเคราะห์ที่มีความจำเพาะสูง การเลือกใช้เทคนิคโกรมาโทกราฟของเหลว เนื่องจากอะคริลามิดมีคุณสมบัติละลายน้ำได้ดี (hydrophilic properties) สามารถทำได้ง่ายโดยไม่ต้องทำปฏิกิริยาเป็นสารอนุพันธ์ หลังจากแยกสารอะคริลามิดด้วยเทคนิคโกรมาโทกราฟของเหลวแล้ว ดีแทกเตอร์ที่นิยมใช้คือ แทนเดียมแมสสเปกโกรมิเตอร์ (MS/MS) ซึ่งมีความจำเพาะสูง สามารถตรวจวิเคราะห์โครงสร้างเฉพาะตัวของไอออน (characteristic ions) ของอะคริลามิดได้ นอกจากนั้นวิธีวิเคราะห์ได้มีการเดินสารที่สนิทใจที่เจือไอโซโทปในตัวอย่างเพื่อเป็นอินเทอร์นอลสแตนดาร์ด (internal labeled standard) เรียกว่า “เทคนิคการเจือจางไอโซโทป” ซึ่งนิยมใช้เพื่อช่วยในการตรวจวิเคราะห์ที่ต้องการความถูกต้อง โดยจะช่วยทำให้ข้อมูลที่ได้มีความถูกต้องมากขึ้น เพราะช่วยปรับแก้ผลการตรวจวิเคราะห์ที่ผิดพลาดจากการเปลี่ยนแปลงต่างๆ ที่อาจเกิดขึ้นในขั้นตอนการปฏิบัติงาน เช่น ขั้นตอนสกัด ขั้นตอนตรวจวัดด้วยเครื่องมือ

การตรวจวิเคราะห์หาปริมาณอะคริลามิดของงานวิจัยนี้เลือกใช้ LC-MS/MS อินเตอร์เฟสเป็นแบบ ESI และเครื่องวิเคราะห์มวล ชนิด triple quadrupole ในโหมดประจุบวก ตรวจติดตามการทราบสิชันของไอออนจากไอออนแม่ (precursor ion) เป็นไอออนผลิตภัณฑ์ (product ion) แบบตรวจติดตามหลายปัจจิตริยา (MRM) คือ m/z 72/44 , 72/55 , 72/72 และ 75/58 โดยที่ MS ตัวแรก (Q1) เลือกไอออนแม่ของสารอะคริลามิด คือ $[CH_2=CHCONH_2]^+$ m/z 72 และ 2d_3 -อะคริลามิด (อินเทอร์นอลสแตนดาร์ด) คือ $[CD_2 = CDCONH_2]^+$ m/z 75 จากนั้นไอออนแม่ที่ถูกคัดเลือกที่ Q1 ผ่านไปยัง MS ช่วงที่ 2 (Q2) ไอออนแม่ที่ได้เกิดการชนด้วยแก๊ส (CID) เกิดเป็นไอออนผลิตภัณฑ์ ขึ้นและถูกคัดเลือกมาที่ MS ส่วนที่ 3 (Q3) การแยกย่อยไอออนหลักของอะคริลามิด คือ acryloyl cation $[CH_2=CHC=O]^+$ m/z 55 ซึ่งเกิดจากสูญเสียแอมโมเนีย และ $[CONH_2]^+$ m/z 44 เกิดจากสูญเสีย ethene ส่วน 2d_3 -อะคริลามิด คือ $[D_3H_3O]^+$ m/z 58 ดังแสดงในรูปที่ 4.1 โกรมาโทแกรมที่ได้จากการตรวจติดตามการทราบสิชันของไอออนแบบติดตามหลายปัจจิตริยา (MRM) ของสารอะคริลามิดที่มี 2d_3 -อะคริลามิด เป็นอินเทอร์นอลสแตนดาร์ด วิธีการแบบไอโซคร็อก เฟสเคลื่อนที่ประกอบด้วย 0.1 % โคयปริมาตรของกรดอะซิติกในน้ำต่อเมทานอล ในอัตราส่วน 97 ต่อ 3 อัตราการไหล 0.3 มิลลิลิตรต่อนาที เมื่อใช้คอลัมน์ในการแยก 2 ชนิด คือ Atlantis dC18 อนุภาค 5 ไมครอน ขนาด 2.1×150 มิลลิเมตร (รูปที่ 4.1 ก) และคอลัมน์

Luna Su C18 ขนาดอนุภาคนาโนเมตร ขนาด 2.00×250 มิลลิเมตร(รูปที่ 4.1 ช) สำหรับการคำนวณหาปริมาณอะคริลามิด เลือกการทราบสิ้นของไอออน m/z 72/55 (อะคริลามิด) และ m/z 75/58 (อะเมอร์นอลสแตนดาร์ด) เนื่องจากมี intensity สูง สำหรับการทราบสิ้นอื่นๆ นั้นใช้สำหรับการยืนยันสารอะคริลามิดในบางกรณี



รูปที่ 4.1 MRM โพรมาโทแกรมของสารละลายน้ำอะคริลามิดเข้มข้น $10 \mu\text{g}/\text{l}$ (m/z 72/44, 72/55 และ 72/72) ที่มี $^2\text{D}_3$ -อะคริลามิดเข้มข้น $40 \mu\text{g}/\text{l}$ (m/z 75/58) (ก) คอลัมน์ Atlantis dC18 $5 \mu\text{m } 2.1 \times 150 \text{ mm}$. (ล) คอลัมน์ Luna Su C18 $100^\circ\text{A } 2.00 \times 250 \text{ mm}$.

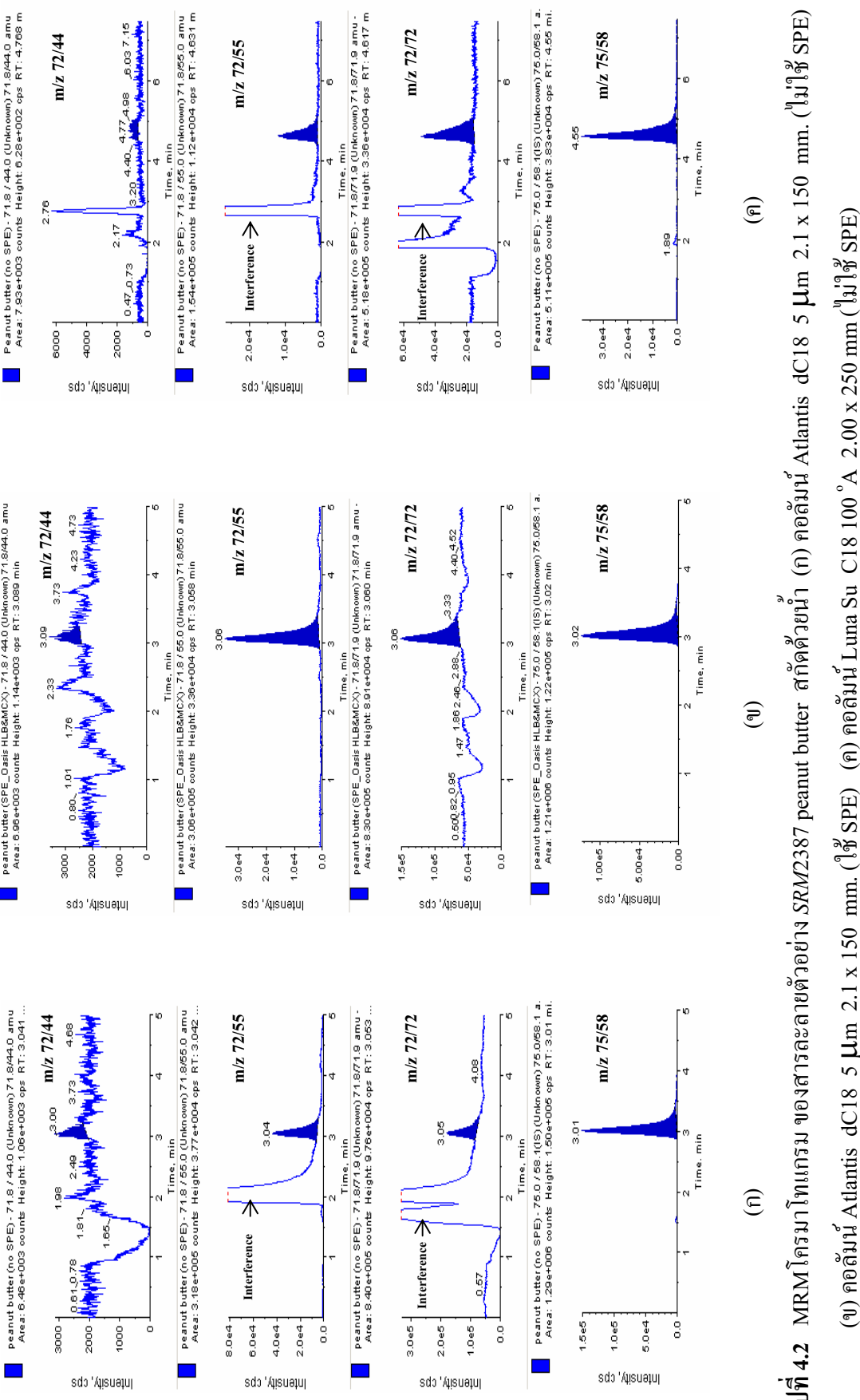
4.1.1 ผลการศึกษาการแยกสิ่งรบกวน (interference) ในสารละลายน้ำอย่างออกจากสารที่สนใจเมื่อตรวจวิเคราะห์ด้วย LC-ESI-MS/MS

เมื่อถักสารอะคริลามีด์ในตัวอย่างด้วยน้ำ และทำให้สารละลายน้ำอย่างที่สักดได้บริสุทธิ์ด้วยสารละลาย carrez I และ carrez II และตรวจวิเคราะห์ LC-ESI-MS/MS เมื่อแยกด้วยカラม์ Atlantis dC18 อนุภาค 5 ไมครอน ขนาด 2.1×150 มิลลิเมตร วิธีการจะแบบไอโอดิเอติก เฟสเคลื่อนที่ประกอบด้วย 0.1% โดยปริมาตรของกรดอะซิติกในน้ำต่อเมทานอล ในอัตราส่วน 97 ต่อ 3 อัตราการไหล 0.3 มิลลิลิตรต่อนาที อะคริลามีดจะถูกชะออกมาที่เวลาประมาณ 3.0 นาที และสิ่งรบกวนเป็นพีคที่มีขนาดใหญ่จะถูกชะออกมาก่อนอะคริลามีดเล็กน้อย จึงทำให้ baseline สูงขึ้นและรบกวนสัญญาณของพีคอะคริลามีด (รูปที่ 4.2 ก m/z 72/55) ซึ่งสิ่งรบกวนหรือตัวช่วยร่วม (co-elution) นี้มาจากการสักด เป็นผลให้สัญญาณที่ได้ผิดพลาด (false signals) ผลการตรวจวิเคราะห์ที่ได้ไม่ถูกต้อง

งานวิจัยของ Senyuva H.Z. และ Gokmen V. [17] มีการพิสูจน์เอกลักษณ์ของสิ่งปนเปื้อนหลักและระบุว่าสารนี้ คือ สารวาลีนซึ่งเป็นกรดอะมิโนชนิดหนึ่งและทดลองกำจัดสิ่งรบกวน 2 วิธี คือ วิธีแรกโดยการตั้ง delay time ที่เครื่องมือ โดยจะปล่อยสารละลายที่จะได้ในช่วงแรกทึ่งนิ่งไว้เวลาที่สารอะคริลามีดจะถูกชะออกมาจึงเปลี่ยนกลับมาเริ่มทำงาน ซึ่งจะป้องกันการปนเปื้อนในแมสสเปกโตรมิเตอร์ วิธีที่ 2 คือ การทำให้บริสุทธิ์โดยการสักดแบบเฟสของแข็งชนิด Oasis MCX งานวิจัยของ Michael S. Young และคณะ [44] วิเคราะห์สารอะคริลามีดในผลิตภัณฑ์ที่ผลิตจากมันฝรั่ง ตัวทำละลายที่ใช้สักดคือสารละลายโซเดียมคลอไรด์ และทำสารละลายน้ำอย่างให้บริสุทธิ์โดยใช้การสักดแบบเฟสของแข็ง 2 ชนิด คือ Oasis HLB และ Oasis MCX นอกจากนี้ยังมีการใช้การสักดแบบเฟสของแข็งที่มีสมบัติทางเคมีแตกต่างกัน อีกหลายชนิด เช่น graphitized carbon, ion-exchanger, mixed material [16] สำหรับงานวิจัยนี้ตอนแรกผู้วิจัยได้ทดลองเลือกใช้ Oasis HLB และ Oasis MCX ในการทำให้ตัวอย่างบริสุทธิ์ แยกด้วยカラม์ Atlantis dC18 อนุภาค 5 ไมครอน ขนาด 2.1×150 มิลลิเมตร เมื่อพิจารณาที่ m/z 72/55 พบร่วมพีคของสิ่งรบกวนที่ถูกชะที่เวลาประมาณ 2.0 นาทีนั้นจะถูกกำจัดออกໄไป (รูปที่ 4.2 ข) ซึ่งเฟสของแข็งชนิด Oasis HLB ประกอบด้วยส่วนมีช้า (polar) และไม่มีช้า (nonpolar) คือ poly(divenylbenzene-co-N-vinylpyrrolidine) สามารถดูดซับหัวสารมีช้าและไม่มีช้าพร้อมๆกันโดยส่วนที่ชอบน้ำจะหน่วงอยู่กับ N-vinylpyrrolidone และส่วนที่ไม่ชอบน้ำจะหน่วงอยู่กับ m-divenylbenzene สารอะคริลามีดจะถูกหน่วงไว้ในตัวดูดซับของเฟสของแข็ง Oasis HLB และสามารถชะออกมาด้วยน้ำ ส่วนเฟสของแข็งชนิด Oasis MCX เป็นประเภท mixed mode ion-exchange ประกอบด้วยกลุ่ม sulfonic acid ($-SO_3H$) อยู่บนผิวน้ำของดูดซับ poly(divenylbenzene-co-N-vinylpyrrolidine) ซึ่งเป็นวัสดุชนิดเดียวกันกับ Oasis HLB สามารถแยกเปลี่ยนไอออนบางได้ดี (strong cation exchange) เป็นที่ทราบกันดีว่ากรดอะมิโนเป็นไดทั้งประจุบวกและลบเพราเมี่

คุณสมบัติเป็น amphoteric ดังนั้นกรดอะมิโนวายีนที่เป็นสารรับกวนหลักนี้จะถูกหน่วงไว้ในเฟสของแข็ง จึงทำให้สารรับกวนลดลงเมื่อใช้เฟสของแข็งชนิด Oasis MCX

สำหรับงานประจำของห้องปฏิบัติการนั้นการใช้การสกัดแบบเฟสของแข็งจะทำให้มีค่าใช้จ่ายค่อนข้างสูง เป้าหมายหลักของการปรับปรุงโครมาโทแกรมก็คือต้องการแยกพีคสิ่งรบกวนออกจากสารที่สนใจ ซึ่งสามารถปฏิบัติได้ง่ายโดยอาศัยเทคนิคการแยกด้วยวิธีทางโครมาโทกราฟของเหลว การเพิ่มความยาวของคอลัมน์ที่ใช้ในการแยกเพื่อยืดเวลาให้สารอะคริลามีเดลูกหน่วงไว้ในคอลัมน์นานขึ้น ซึ่งคอลัมน์ที่ใช้ศึกษาคือ คอลัมน์ Luna Su C18 ขนาดอนุภาค 100 อังสตอม ขนาด 2.00×250 มิลลิเมตร และคอลัมน์เดิมที่ใช้คือ คอลัมน์ Atlantis dC18 ขนาดอนุภาค 5 ไมครอน ขนาด 2.1×150 มิลลิเมตร โดยใช้สภาวะการแยกแบบเดิม โครมาโทแกรมที่ได้ดังรูปที่ 4.2 (ค และ ก) เมื่อเปรียบเทียบโครมาโทแกรมที่ได้จากการแยกด้วย 2 คอลัมน์ พบร้าคอลัมน์ Luna Su C18 ขนาดอนุภาค 100 อังสตอม ขนาด 2.00×250 มิลลิเมตร สามารถแยกพีคของอะคริลามีเดลูกของสิ่งรบกวนได้อย่างชัดเจน โดยไม่ต้องใช้การสกัดแบบเฟสของแข็ง ดังนั้นในงานวิจัยนี้จึงเลือก คอลัมน์ Luna Su C18 ขนาดอนุภาค 100 อังสตอม ขนาด 2.00×250 มิลลิเมตร ในการแยกอะคริลามีเดลูกของสิ่งรบกวน วิธีการจะแบบไอโอโซเครติก เฟสเคลื่อนที่ ประกอบด้วย 0.1 % โดยปริมาตรของกรดอะซิติกในน้ำต่อเมทานอล ในอัตราส่วน 97 ต่อ 3 อัตราการไหล 0.3 มิลลิลิตรต่อนาที พบร้าสารอะคริลามีเดลูกจะที่เวลา 4.5 ± 0.2 นาที อัตราส่วนความไม่สมมาตรของพีค (tailing factor) ประมาณ 1.3 ส่วนพีคของกวนจะถูกจะที่เวลาประมาณ 2.7 นาที ซึ่งสามารถแยกจากพีคของอะคริลามีเดลูก



รูปที่ 4.2 MRM โปรแกรมให้ผลกราฟของตัวอย่าง SRM2387 peanut butter สำหรับ柱 Atlantis dC18 5 μm 2.1 x 150 mm. (ก) กรณีใช้ Atlantis dC18 5 μm 2.1 x 150 mm. (ก) กรณีใช้ Luna Su C18 100 °A 2.00 x 250 mm (ก) SPE)

4.1.2 ผลการศึกษาตัวทำละลายและสภาวะที่เหมาะสมสำหรับการสกัดสารอะคริลามีดีในอาหารเมื่อตรวจวิเคราะห์ด้วยเครื่อง LC-ESI-MS/MS

สารอะคริลามีดีคละลายน้ำได้ดีและคละลายในตัวทำละลายอินทรีย์ได้น้อย ดังนั้นการวิเคราะห์อะคริลามีดีในอาหารจึงนิยมใช้สกัดด้วยน้ำ แต่ข้อเสียก็คือ สารสกัดร่วมอื่นๆที่ไม่ต้องการ (co-extractive) จะออกมากด้วย เช่น เกลือ โปรตีน คาร์โนไไซเดต ทำให้มีผลต่อการตรวจวัดและระบบการแยกເสื่อมจึงจำเป็นต้องทำให้ตัวอย่างบริสุทธิ์ก่อนตรวจวัด บางท้องปฏิบัติการมีขั้นตอนการกำจัดไขมัน (defatting step) จากอาหารก่อนที่จะเริ่มขั้นตอนการสกัด ซึ่งตัวทำละลายที่ใช้ เช่น เอกเซน ทูโลอีน เอทิลอะซิเตต หรือ ไซโคลเอกเซน ข้อดีของการกำจัดไขมันก็คือจะช่วยลดอายุการใช้งานของคลัมมน์และป้องกันการอุดตันของเฟสของแข็ง (SPE) ไม่ได้มีผลทำประสิทชิพในการสกัดดีเท่านั้น [56] ตัวทำละลายชนิดอื่นๆที่ใช้สกัด เช่น สารละลายโซเดียมคลอไรด์ [22, 23, 44, 51] สารละลายกรดฟอร์มิก [29] สารละลายกรดอะซิติก [17] เมทานอล [27] และสารละลายผสมของน้ำและไฮคลอโรมีเทน [31]

การสกัดด้วยน้ำทำให้มีตัวช่วยร่วม ดังนั้นการวิเคราะห์อะคริลามีดีส่วนใหญ่จะกำจัดโปรตีนด้วยสารละลาย carrez I และ carrez II และการสกัดแบบเฟสสองแข็ง ก่อนตรวจวัดด้วย LC-MS และข้อเสียก็คือตัวหนึ่งที่พบคือ การใช้น้ำสกัดอาหารประเภทที่มีปริมาณแป้งมาก เช่น มันฝรั่ง พบว่าสารละลายตัวอย่างที่ได้มีลักษณะหนืดเนื่องจากน้ำจะละลายแป้งออกมากด้วย ซึ่งจะทำการแยกหรือกรองด้วยเมมเบรนก่อนตรวจวิเคราะห์นั้นก่อนข้างมาก จากคุณสมบัติของเมทานอล ไม่สามารถสกัดโพลีแซคคาไรด์ (polysaccharides) เช่น แป้งและเพคตินที่มักมีในอาหารจำพวกพืช จึงทำให้สารละลายตัวอย่างที่สกัดได้นั้นจะไม่สามารถกว่าการใช้น้ำสกัด แต่เมทานอลละลายอะคริลามีดี ต่ำ (1,150 กรัมต่อลิตร) เมื่อเทียบกับน้ำ (2,155 กรัมต่อลิตร) ดังนั้นการใช้ละลายผสมของเมทานอล และน้ำช่วยลดปัญหาในการสกัดอาหารที่มีปริมาณแป้งมากและมีประสิทชิพการสกัด ดีกว่าจะใช้เมทานอลอย่างเดียวในการสกัด

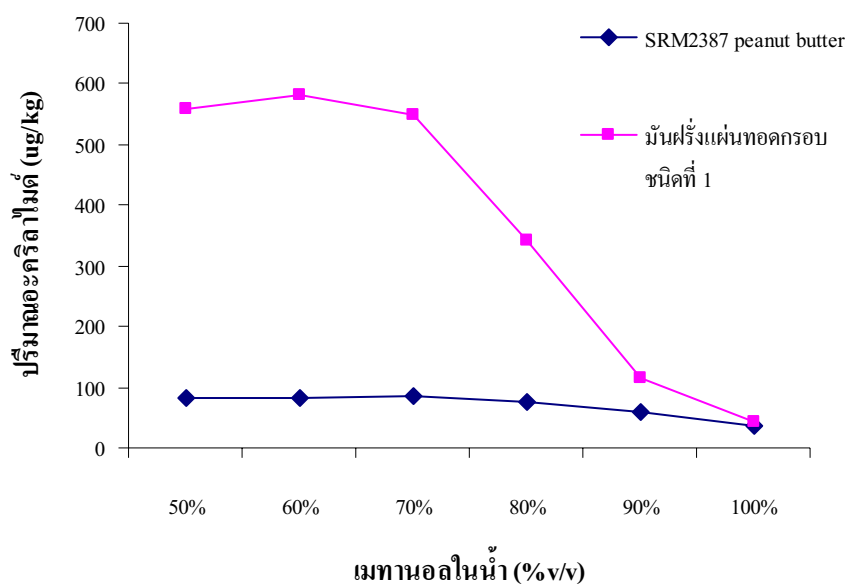
4.1.2.1 ผลการศึกษาอัตราส่วนของเมทานอลต่อน้ำในอัตราส่วนต่างๆในการสกัดตัวอย่าง 2 ชนิด คือ SRM2387 peanut butter ซึ่งระบุปริมาณอะคริลามีดี 87.0 ± 7.8 ในโครกรัมต่อกิโลกรัม และมันฝรั่งแผ่นทอดกรอบ ชนิดที่ 1 สกัดด้วยสารละลายผสมเมทานอลในน้ำ 50, 60, 70, 80, 90 และ 100 % โดยปริมาตร น้ำหนักตัวอย่าง 1 กรัม ปริมาตรตัวทำละลาย 10 มิลลิลิตร เวลา เขย่า 20 นาที จำนวน 2 ชี้ ผลการศึกษาดังตารางที่ 4.1 เมื่อสกัดด้วยสารละลายผสมเมทานอลในน้ำ 50 -70 % โดยปริมาตร พบว่าปริมาณสารอะคริลามีดีใน SRM2387 peanut butter มีค่าเฉลี่ยตั้งแต่ 81.2 -86.4 ในโครกรัมต่อกิโลกรัม ซึ่งจะมีค่าของอะคริลามีดีอยู่ในช่วงที่ระบุในใบรับรอง (79.2 - 94.8 ในโครกรัมต่อกิโลกรัม) สำหรับตัวอย่างมันฝรั่งแผ่นทอดกรอบ ชนิดที่ 1 เมื่อสกัดด้วยสารละลายผสมเมทานอลในน้ำ 50 -70 % โดยปริมาตร พบว่าปริมาณอะคริลามีดีที่สกัดได้นั้นมีค่าไม่แตกต่างกัน จากกราฟแสดงความสัมพันธ์ระหว่างสารละลายผสมของเมทานอลกับน้ำ

ที่อัตราส่วนต่างๆที่ใช้ในการสกัดกับปริมาณอะคริลามีดีที่สกัดได้ (รูป 4.3) พบว่าประสิทธิภาพการสกัดของห้องสองตัวอย่างที่ศึกษานี้เป็นไปในแนวทางเดียวกัน คือ เมื่อสกัดด้วยสารละลายผสมเมทานอลในน้ำ 50 -70 % โดยปริมาตร ผลที่ได้ไม่แตกต่างกันแต่ปริมาณอะคริลามีดีที่สกัดได้จะเริ่มลดลงเรื่อยๆเมื่อปริมาณเมทานอลเพิ่มขึ้น

ตารางที่ 4.1 แสดงผลสกัดของตัวอย่างด้วยสารละลายผสมของเมทานอลในน้ำที่อัตราส่วนต่างๆ ในตัวอย่าง SRM2387 peanut butter และมันฝรั่งแผ่นทอดกรอบชนิดที่ 1

เมทานอลในน้ำ (% v/v)	ปริมาณสารอะคริลามีดีเฉลี่ย (ในโครงการน้ำที่อัตราส่วนต่างๆ)	
	SRM2387 peanut butter	มันฝรั่งแผ่นทอดกรอบ ชนิดที่ 1
(79.2 - 94.8 $\mu\text{g/kg}$)		
50 %	81.2	560
60 %	82.2	582
70 %	86.4	550
80 %	75.9	343
90%	58.2	114
100 %	35.1	43.3

หมายเหตุ นำหนัก ตัวอย่าง 1 กรัม ปริมาตรตัวทำละลาย 10 มิลลิลิตร และจำนวน 2 ช้อน



รูปที่ 4.3 กราฟแสดงความสัมพันธ์ระหว่างปริมาณสารอะคริลามีดีที่ได้จากการสกัดด้วยสารละลายผสมเมทานอลในน้ำที่อัตราส่วนต่างๆ ในตัวอย่าง SRM2387 peanut butter และมันฝรั่งแผ่นทอดกรอบชนิดที่ 1

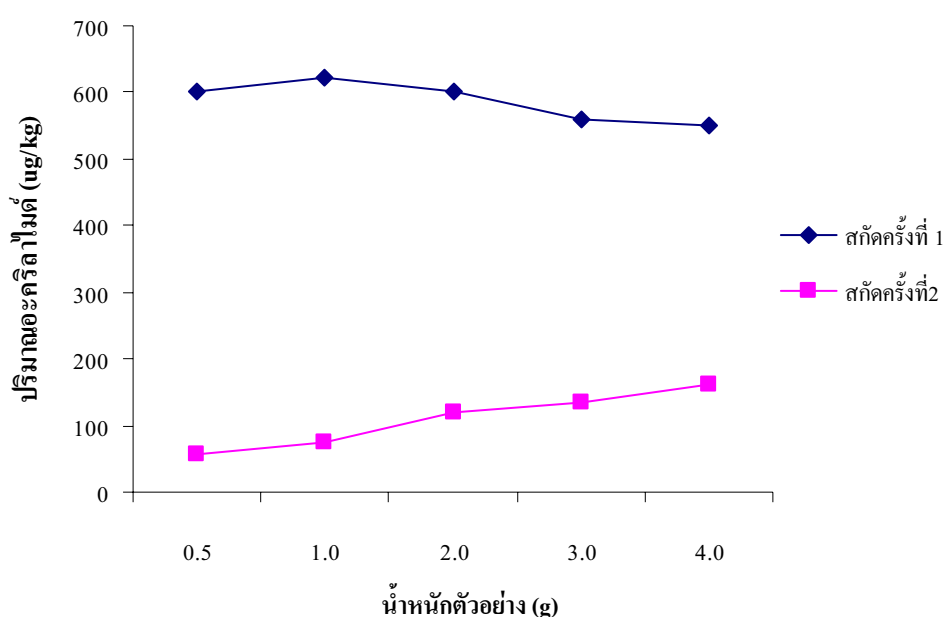
ผลจากการศึกษาในวิจัยนี้เลือกสารละลายผสมเมทานอลในน้ำ 70 % โดยปริมาตร เป็นตัวทำละลายที่เหมาะสมในการสกัด เนื่องจากต้องการให้มีส่วนผสมของน้ำน้อยที่สุดแต่ยังคงประสิทธิภาพในการสกัดที่ดีไว้ เป็นการรวมข้อดีในการสกัดของเมทานอลกับน้ำ การที่มีส่วนผสมของเมทานอลในปริมาณมากนั้นสามารถทำให้แห้งได้ง่ายด้วยแก๊สไนโตรเจนเมื่อทำการเปลี่ยนเฟส เป็นน้ำ โดยปกติเมื่อใช้น้ำเป็นตัวทำละลายในการสกัดตัวอย่างสารละลายตัวอย่างที่ได้หลังจากปั่นแยกด้วยเครื่องหมุนเหวี่ยงความเร็วแล้วจะมีทั้งหมด 3 ชั้น คือ ชั้นของแข็งของชิ้นส่วนอาหารที่รวมตัวอยู่ด้านล่าง ชั้นต่อมานี้เป็นส่วนสารละลายตัวอย่างที่ใส และชั้นบนเป็นชั้นไขมัน เมื่อต้องการนำสารละลายส่วนໃສมาใช้ในขั้นตอนต่อไปต้องระวังชั้นของไขมันที่อาจจะติดมาด้วย แต่เมื่อใช้สารละลายผสมเมทานอลในน้ำในการสกัดคือ ชั้นไขมันในสารละลายตัวอย่างที่ได้จากการสกัดจะอยู่ด้านล่างทั้งนี้เนื่องจากความหนาแน่นของสารละลายผสมเมทานอลในน้ำน้อยกว่าไขมัน ทำให้สามารถนำสารละลายส่วนໃສออกมาได้ง่ายขึ้น เมื่อเลือกตัวทำละลายที่เหมาะสมแล้ว จึงทำการศึกษาช่วงน้ำหนักตัวอย่างที่เหมาะสมในการสกัดต่อไป

4.1.2.2 ผลการศึกษาน้ำหนักตัวอย่างที่เหมาะสม ช่วงตัวอย่างที่ใช้ศึกษา คือ มันฝรั่งแผ่นทอดกรอบ ชนิดที่ 1 ช่วงน้ำหนักที่ศึกษา คือ 0.5, 1.0 , 2.0 , 3.0 และ 4.0 กรัม สกัดด้วยสารละลายผสมเมทานอลในน้ำ 70 % โดยปริมาตร ปริมาตรตัวทำละลายที่ใช้สกัดจำนวน 10 มิลลิลิตร เวลาเบย่า 20 นาที จำนวน 2 ช้อน หลังจากสกัดครั้งแรกแล้วจะทำการสกัดซ้ำอีกครั้งเพื่อดูปริมาณอะคริลามีดที่เหลือจากการสกัดครั้งแรก รวมปริมาณอะคริลามีดของการสกัดครั้งที่ 1 และ 2 เป็นปริมาณที่สกัดได้ทั้งหมด ดังตารางที่ 4.2 เปอร์เซ็นต์การสกัดครั้งที่ 1 เมื่อคิดเทียบกับปริมาณที่สกัดได้ทั้งหมดมีค่าตั้งแต่ร้อยละ 77.2-91.2 จากกราฟแสดงความสัมพันธ์ระหว่างปริมาณสารอะคริลามีดของการสกัดครั้งที่ 1 และครั้งที่ 2 ในตัวอย่างมันฝรั่งแผ่นทอดกรอบชนิดที่ 1 ที่น้ำหนักต่างๆ (รูปที่ 4.4) พบร่วมกันว่าปริมาณอะคริลามีดที่สกัดได้ครั้งที่ 1 ที่น้ำหนักตัวอย่างตั้งแต่ 2.0 กรัมขึ้นไป จะเริ่มนับปริมาณอะคริลามีดที่สกัดได้ลดลงเรื่อยๆ ส่วนปริมาณอะคริลามีดที่สกัดได้ครั้งที่ 2 ก็จะเพิ่มขึ้นเรื่อยๆ แสดงว่ามีปริมาณอะคริลามีดที่เหลือในตัวอย่างหลังจากการสกัดครั้งที่ 1 มากขึ้นเรื่อยๆ ดังนั้นงานวิจัยนี้เลือกน้ำหนักที่ประมาณ 0.5 - 1 กรัม เป็นช่วงน้ำหนักที่เหมาะสมในการสกัด

**ตารางที่ 4.2 แสดงผลของน้ำหนักตัวอย่างที่มีต่อเปอร์เซ็นต์การสกัดในตัวอย่าง
มันฝรั่งแผ่นทดสอบชนิดที่ 1**

น้ำหนักตัวอย่าง (กรัม)	ปริมาณสารอะคริลาไมด์เฉลี่ย (ไมโครกรัมต่อกิโลกรัม)			เปอร์เซ็นต์การสกัด ครั้งที่ 1 เทียบกับ ปริมาณสารอะคริลาไมด์ ที่สกัดได้ทั้งหมด (%)
	สกัดครั้งที่ 1	สกัดครั้งที่ 2	รวมทั้งหมด	
0.5	600	58.0	658	91.2
1.0	622	75.7	698	89.1
2.0	600	119	719	83.4
3.0	560	136	696	80.5
4.0	549	162	711	77.2

หมายเหตุ สกัดด้วยสารละลายผสมเมทานอลในน้ำ 70% โดยปริมาตร ปริมาตร 10 มิลลิลิตร เวลาเขย่า 20 นาที จำนวน 2 ครั้ง



รูปที่ 4.4 กราฟแสดงความสัมพันธ์ระหว่างปริมาณสารอะคริลาไมด์ของ การสกัดครั้งที่ 1 และครั้งที่ 2 ในตัวอย่างมันฝรั่งแผ่นทดสอบชนิดที่ 1 ที่น้ำหนักต่างๆ

4.1.2.3 ผลการศึกษาสภาวะอื่นๆในการสกัดเพื่อเพิ่มเปอร์เซ็นต์การสกัดครั้งที่ 1 ทดลองเดิมกรดอะซิติกและกรดฟอร์มิกในสารละลายผสมเมทานอลในน้ำ 70 % โดยปริมาตร ใช้เป็นตัวทำละลายในการสกัด และใช้ตัวทำละลายเดิมในการสกัด คือ สารละลายผสมเมทานอลในน้ำ 70 % โดยปริมาตร แต่ทดลองเพิ่มปริมาตรของตัวทำละลายที่ใช้สกัดและเพิ่มเวลาในการสกัด จากตารางที่ 4.3 พบว่าเปอร์เซ็นต์การสกัดครั้งที่ 1 ที่สภาวะต่างๆกันพบว่ามีค่าตั้งแต่ร้อยละ 85.6 - 91.2 เมื่อเพิ่มปริมาตรตัวทำละลายและเวลาการเบย่าพร้อมกันนั้นพบว่ามีเปอร์เซ็นต์การสกัดครั้งที่ 1 สูงสุดประมาณร้อยละ 91 เมื่อเทียบกับสภาวะอื่นๆแล้วจะแตกต่างกันเพียงเล็กน้อยซึ่งแตกต่างสูงสุดประมาณร้อยละ 6 การเติมกรดนี้ไม่ได้ช่วยเพิ่มเปอร์เซ็นต์การสกัดอย่างเห็นได้ชัด เนื่องจากรายงานการทดลองสกัดอะคริลามิดที่ในตัวอย่างด้วยตัวทำละลาย 4 ชนิด คือ น้ำ 0.1% ของกรดฟอร์มิกในน้ำ 0.5% ของกรดฟอร์มิกในเมทานอล และ 5 มิลลิโลมาลรของกรดເຊປຕິໂຄງອໂຣບິວ-ທາໂນອົກในน้ำ (heptafluorobutanoic acid in water) พบว่าให้ผลไม่แตกต่างกัน [25] งานวิจัยของ S. Eriksson และ P. Karlsson [58] สกัดสารอะคริลามิดที่ pH แตกต่างกัน ตั้งแต่ 2 - 7.5 ให้ผลการสกัดไม่แตกต่างกับการใช้น้ำสกัด ส่วนการเพิ่มปริมาตรตัวทำละลายนั้นจะมีผลต่อความไวของปั๊ดจำกัดการตรวจพบ (LOD) ทำให้มีค่าสูงขึ้น เพราะสารละลายตัวอย่างที่สกัดได้จะถูกเจือจาง การเพิ่มเวลาการเบย่าถึงแม้จะไม่เห็นผลชัดเจนแต่ในการวิเคราะห์ตัวอย่างหลักหลายชนิดนั้นการเพิ่มเวลาเบย่าของสกัดจาก 20 นาทีเป็น 30 นาทีจะทำให้มั่นใจในผลการสกัดยิ่งขึ้น

ตารางที่ 4.3 แสดงเปอร์เซ็นต์การสกัดสารอะคริลามิดที่ในตัวอย่าง มันฝรั่งแผ่นทอดกรอบชนิดที่ 2 ในสภาวะต่างๆ

ชนิดตัวทำละลาย	ปริมาตรที่ใช้สกัด (ml)	เวลาเบย่า (นาที)	ปริมาณอะคริลามิดเฉลี่ย (ไมโครกรัมต่อกรัม)			เปอร์เซ็นต์การสกัด ครั้งที่ 1 เทียบกับ ปริมาณอะคริลามิด ที่สกัดได้ทั้งหมด (%)
			สกัดครั้งที่ 1	สกัดครั้งที่ 2	รวมทั้งหมด	
70%เมทานอลในน้ำ	10	20	464	77.5	542	85.6
0.1 % กรดฟอร์มิกใน 70%เมทานอลในน้ำ	10	20	517	71.3	588	87.9
0.1 % กรดอะซิติกใน 70%เมทานอลในน้ำ	10	20	512	73.4	585	87.5
70%เมทานอลในน้ำ	15	20	549	65.3	614	89.4
70%เมทานอลในน้ำ	10	30	561	60.8	622	90.2
70%เมทานอลในน้ำ*	15	30	542	51.8	594	91.2

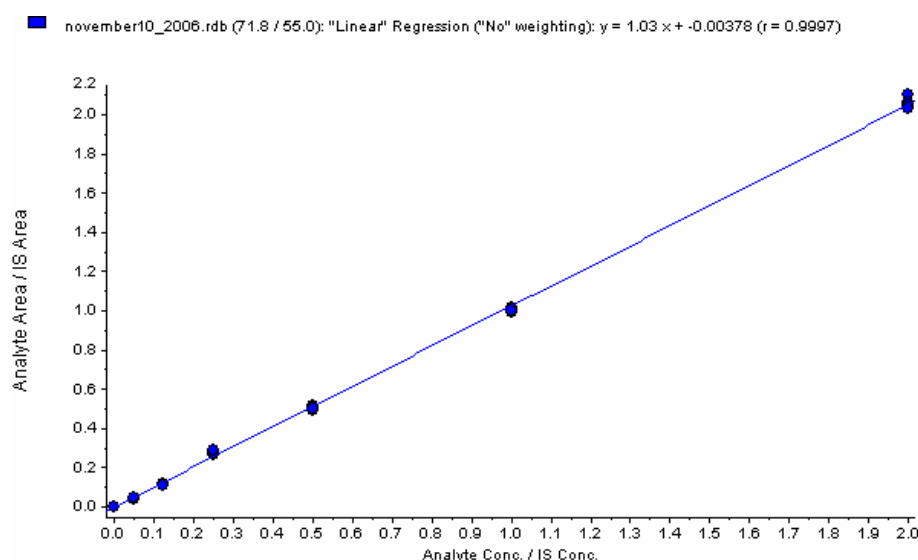
หมายเหตุ นำหนักตัวอย่าง 1 กรัม และจำนวน 3 ชิ้น (*จำนวน 6 ชิ้น)

ดังนั้นงานวิจัยนี้เลือกสภาวะที่เหมาะสมสำหรับการสกัดอะคริลามิดในอาหาร คือ น้ำหนักตัวอย่างประมาณ 0.5 - 1 กรัม สารละลายผสมเมทานอลในน้ำ 70 % โดยปริมาตร เป็นตัวทำละลายที่ใช้สกัด ปริมาตรที่ใช้จำนวน 10 มิลลิลิตรและเวลาในการเบย่า 30 นาที

4.2 ผลการทดสอบความถูกต้องของวิธีวิเคราะห์ (Validation method)

4.2.1 ความเป็นเส้นตรง (Linearity)

นำสารละลายน้ำตรฐานอะคริลาไมด์ความเข้มข้น 0, 2, 5, 10, 20, 40 และ 80 ไมโครกรัมต่อลิตร ที่มีสารละลายน้ำตรฐาน ${}^2\text{d}_3$ -อะคริลาไมด์ เข้มข้น 40 ไมโครกรัมต่อลิตรเป็นอินเทอร์นอลสแตนดาร์ด ตรวจวิเคราะห์ด้วย LC-ESI-MS/MS ความเข้มข้นละ 5 ชั้น สร้างกราฟความสัมพันธ์ระหว่างอัตราส่วนของพื้นที่ไทดีฟีกสารละลายน้ำตรฐานอะคริลาไมด์ต่ออินเทอร์นอลสแตนดาร์ด (แกน y) และอัตราส่วนของความเข้มข้นสารละลายน้ำตรฐานอะคริลาไมด์ต่ออินเทอร์นอลสแตนดาร์ด (แกน x) ซึ่งการคำนวณนี้ได้จากเครื่องมือ ซอฟแวร์ Analyst 1.4.2 ได้กราฟมาตรฐาน (รูปที่ 4.5) สมการที่ได้จาก $y = 1.03x - 0.00378$ ความชันเท่ากับ 1.03 จุดตัดแกน y เท่ากับ -0.00378 ค่าสัมประสิทธิ์สัมพันธ์ (r) เท่ากับ 0.9997 ซึ่งเข้าใกล้ 1 และอยู่ในเกณฑ์การยอมรับ (มากกว่า 0.995) แสดงว่ากราฟมาตรฐานมีความเป็นเส้นตรง และทำ residual plot เพื่อยืนยันความสัมพันธ์เชิงเส้น ซึ่ง residual plot พบระยะตัวของ y-residual อยู่รอบค่า 0 (ภาคผนวก ก.) ทุกครั้งที่ทำการวิเคราะห์จะเตรียมสารละลายน้ำตรฐานและสร้างกราฟมาตรฐานใหม่ทุกครั้งพบว่ามีค่าสัมประสิทธิ์สัมพันธ์มากกว่า 0.999



รูปที่ 4.5 กราฟมาตรฐานสารละลายน้ำตรฐานอะคริลาไมด์ (m/z 72/55) ความเข้มข้น 0-80 $\mu\text{g/l}$ ที่มี ${}^2\text{d}_3$ -อะคริลาไมด์ (m/z 75/58) เข้มข้น 40 $\mu\text{g/l}$ เป็นอินเทอร์นอลสแตนดาร์ด

4.2.2 ปีดจำกัดการตรวจพบ (Limit of detection, LOD) และ ปีดจำกัดการวิเคราะห์ปริมาณ (Limit of quantitation, LOQ)

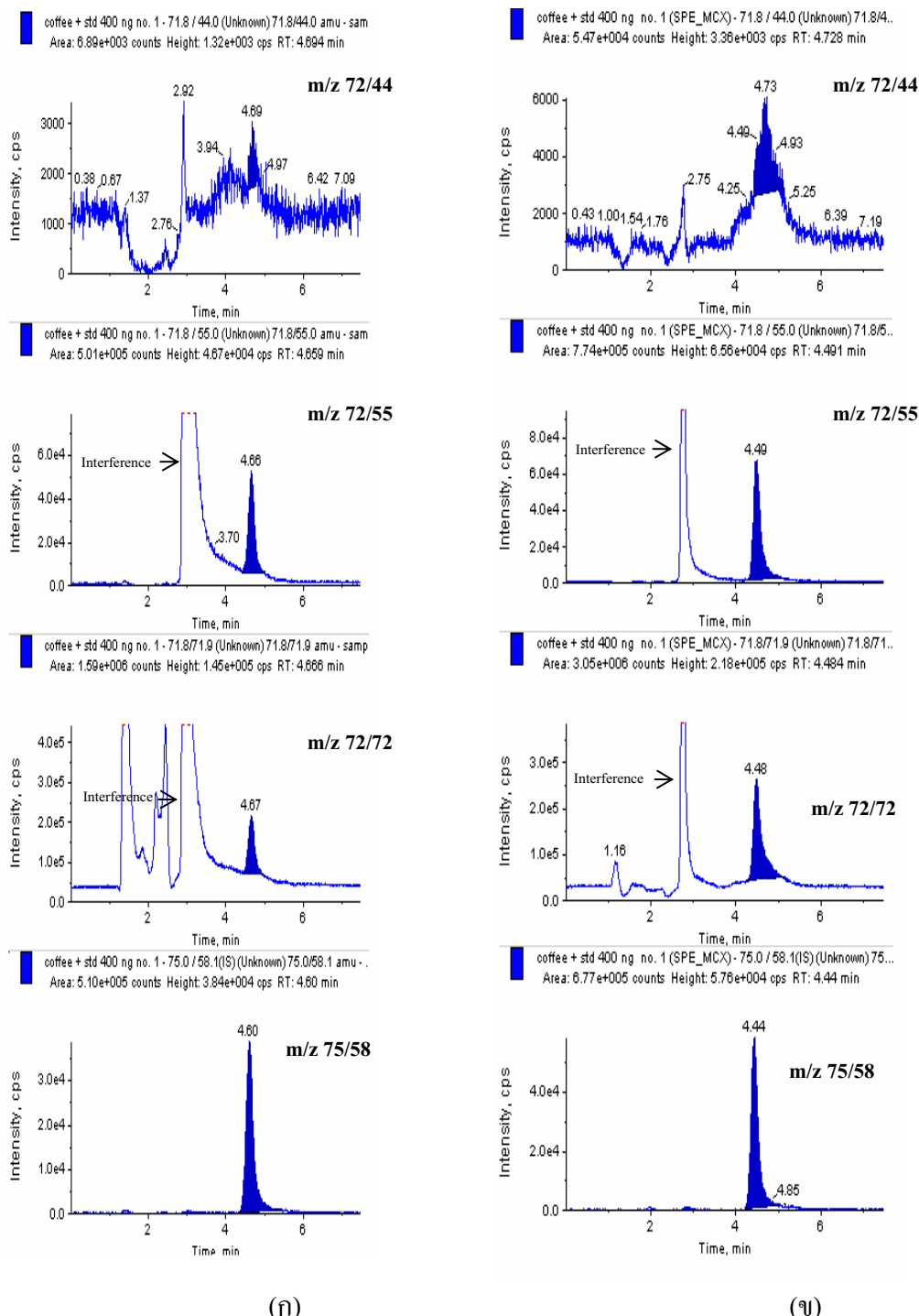
ตารางที่ 4.4 แสดงค่าปีดจำกัดการตรวจพบ (LOD) และปีดจำกัดการวิเคราะห์ปริมาณ (LOQ) ของวิธีตรวจวิเคราะห์อะคริลาไมด์ในอาหารด้วย LC-ESI-MS/MS ที่ได้พัฒนาขึ้นจากการตรวจวิเคราะห์สารอะคริลาไมด์ใน sample blank ซึ่งเป็นตัวแทนของแมทริกซ์ต่างๆ ในอาหาร ได้แก่ ข้าว ข้าวโพด มันฝรั่ง ถั่ว กล้วย ขนมปังและกาแฟ โดยวิธีการเตรียมตัวอย่างปฏิบัติตามข้อ 3.4 สำหรับตัวอย่างกาแฟนั้นต้องเพิ่มขึ้นตอนด้วยการสกัดแบบเฟสของแข็ง ชนิด Oasis MCX ใน การเตรียมตัวอย่าง เนื่องจากมีตัวช่วยร่วมที่รบกวนสัญญาณของอะคริลาไมด์ที่ไม่สามารถแยกได้ จึงต้องกำจัดออกด้วยการสกัดแบบเฟสของแข็ง แต่ละแมทริกซ์นั้นทำการวิเคราะห์ 7-10 ชั่วโมง ค่าเฉลี่ยและค่าเบี่ยงเบนมาตรฐานของแต่ละแมทริกซ์ ค่าปีดจำกัดการตรวจพบเท่ากับค่าเฉลี่ย \pm 3 เท่าของค่าเบี่ยงเบนมาตรฐาน (ของแต่ละเมทริกซ์) ค่าปีดจำกัดการตรวจพบของทุกแมทริกซ์ที่กล่าวมาข้างต้นอยู่ในช่วง 1.27 -13.6 ไมโครกรัมต่อกิโลกรัม ส่วนปีดจำกัดการวิเคราะห์ปริมาณได้จากการวิเคราะห์ sample blank ที่เติมสารละลายมาตรฐานอะคริลาไมด์ที่ความเข้มข้นระดับต่ำสุดที่มีความแม่นและความเที่ยงในเกณฑ์ที่ยอมรับได้ ซึ่งทุกแมทริกซ์ที่กล่าวข้างต้นมีค่าปีดจำกัดวิเคราะห์ปริมาณที่ระดับความเข้มข้น 20 ไมโครกรัมต่อกิโลกรัม ยกเว้นถ้าที่มีปีดจำกัดการวิเคราะห์ปริมาณที่ระดับความเข้มข้น 30 ไมโครกรัมต่อกิโลกรัม ซึ่งมีปอร์เช็นต์คืนกลับเฉลี่ยร้อยละ 85.0- 101.3 และค่าเบี่ยงเบนมาตรฐานสัมพัทธ์ร้อยละ 5.2 -10.9 (ตารางที่ 4.5) ซึ่งอยู่ในเกณฑ์ยอมรับ (ภาคผนวก น.)

ตารางที่ 4.4 แสดงปีดจำกัดการตรวจพบ (LOD) และปีดจำกัดการวิเคราะห์ปริมาณ (LOQ)

ของการวิเคราะห์อะคริลาไมด์ในอาหาร (แมทริกซ์ต่างๆ)

ชนิดแมทริกซ์	อะคริลาไมด์ (ไมโครกรัมต่อกิโลกรัม)	
	LOD	LOQ
ข้าว	7.76	20.0
ข้าวโพด	7.61	20.0
มันฝรั่ง	6.58	20.0
ถั่ว	13.6	30.0
ผลไม้	1.27	20.0
ขนมปัง	5.81	20.0
กาแฟ*	6.96	20.0

* เพิ่มการทำการละลายตัวอย่างให้บริสุทธิ์โดยการสกัดด้วยเฟสของแข็ง Oasis MCX ในขั้นตอนการเตรียมตัวอย่าง



รูปที่ 4.6 MRM โกรมาโทแกรมของสารละลายน้ำอย่างเมล็ดกาแฟ ที่เติมสารละลายน้ำตระหง่าน
อะคริลามีนด์ 400 $\mu\text{g}/\text{kg}$ (η) ในรูปที่ SPE ในขั้นตอนการเตรียมตัวอย่าง (γ) ทำตัวอย่างให้
บริสุทธิ์ด้วย SPE Oasis MCX

การทำให้สารละลายตัวอย่างบริสุทธิ์ด้วยสกัดแบบเฟสของแข็ง ชนิด Oasis MCX เพียงชนิดเดียวที่เพียงพอในการกำจัดสิ่งรบกวน ตัวอย่างเช่นการตรวจวิเคราะห์ค่าแฟซิ่งมีแมทริกซ์ที่ซับซ้อน เมื่อตรวจวิเคราะห์สารละลายตัวอย่างที่สกัดได้ด้วย LC-ESI MS/MS พบว่าพิรบกวนจะทำให้ baseline สูงขึ้น และรบกวนพิคของอะคริลามายด์ (รูปที่ 4.5 ก m/z 72/55) และเมื่อเพิ่มขั้นตอนการสกัดแบบเฟสของแข็ง พบร่วมกับพิคของพิรบกวนลดลง (รูปที่ 4.5 ข m/z 72/55) นอกจากนี้ยังทดลองศึกษาการใช้เฟสของแข็ง Oasis MCX กับตัวอย่าง SRM2387 peanut butter (ตารางที่ 4.6) พบริมาณอะคริลามายด์เคลียร์ 93.1 ไมโครกรัมต่อกรัม (ค่าเบี่ยงเบนมาตรฐาน 2.2 ไมโครกรัมต่อกรัม) ซึ่งอยู่ในเกณฑ์ที่ระบุในใบรับรอง (79.2-94.8 ไมโครกรัมต่อกรัม) ส่วนเฟสของแข็งชนิด Oasis HLB นั้นมีปริมาณอยู่ที่คือช่วยกำจัดไขมันและชีดอาญาการใช้งานของคลอเลฟานานขึ้น ไม่ได้ช่วยปรับปรุงประสิทธิภาพในการแยก ในขั้นตอนการทดลองเมื่อสกัดตัวอย่างด้วยสารละลายผสมของเมทานอลในน้ำ สารละลายตัวอย่างที่ได้จะใสและไขมันจะอยู่ข้างล่างเนื่องจากมีความหนาแน่นมากกว่าสารละลายผสมของเมทานอลในน้ำ ทำให้สามารถหลีกเลี่ยงการปนเปื้อนของไขมันในสารละลายตัวอย่างได้ส่วนหนึ่ง จึงไม่จำเป็นต้องใช้เฟสของแข็งชนิด Oasis HLB

4.2.3 ความเที่ยง (Precision) และ ความแม่น (Accuracy)

การวิเคราะห์ตัวอย่างที่เติมสารละลายมาตรฐานอะคริลามายด์ที่ระดับความเข้มข้น LOQ (20 และ 30), 400 และ 800 ไมโครกรัมต่อกรัม ในแมทริกซ์ที่แตกต่างกัน 7 ชนิด คือ ข้าวโพด มันฝรั่ง ถั่ว ผลไม้ ขนมปัง และกาแฟ โดยวิธีการเตรียมตัวอย่างตามขั้นตอนการวิเคราะห์ข้อ 3.4 ผลดังตารางที่ 4.5 พบร่วมกับร้อยละ 85.0 -106.1 และค่าเบี่ยงเบนมาตรฐานสัมพัทธ์ร้อยละ 1.9-10.9 ซึ่งอยู่ในเกณฑ์ยอมรับ (ภาคผนวก ณ.)

จากการทดลองวิเคราะห์ซ้ำภายในวันเดียวกัน (intra-day) และระหว่างวัน (inter-day) ของตัวอย่าง SRM 2387 peanut butter ผลดังตารางที่ 4.6 ค่าเบี่ยงเบนมาตรฐานสัมพัทธ์ต่ำกว่าร้อยละ 10 ซึ่งอยู่ในเกณฑ์ยอมรับ (ภาคผนวก ณ.) แสดงให้เห็นว่าวิธีวิเคราะห์ที่พัฒนาขึ้มนี้มีความทนซ้ำได้ (repeatability) และ การทำซ้ำได้ (reproducibility) ดี ดังนั้นวิธีวิเคราะห์นี้มีความเที่ยงในการตรวจวิเคราะห์ นอกจากนี้การประเมินความถูกต้อง (trueness) ของตัวอย่าง SRM2387 peanut butter (ภาคผนวก ฉ.) เมื่อวิเคราะห์ 7 ซ้ำภายในวันเดียวกันนี้ พบร่วมกับร้อยละ 95 % และช่วงของความเชื่อมั่น (confidence interval, CI) ของปริมาณอะคริลามายด์เคลียร์ เท่ากับ 83.7 ± 3.6 ไมโครกรัมต่อกรัม (ที่ระดับความเชื่อมั่น 95 %) ซึ่งอยู่ในช่วงที่ใบรับรองระบุ คือ 79.2 - 94.8 ไมโครกรัมต่อกรัม ดังนั้นวิธีวิเคราะห์ที่พัฒนาขึ้มนี้มีความแม่น

ตารางที่ 4.5 แสดงเปอร์เซ็นต์คืนกลับเฉลี่ยและค่าเบี่ยงเบนมาตรฐานสัมพัทธ์ที่ความเข้มข้นต่างๆ ของแต่ละแมทริกซ์

ชนิดตัวอย่าง	ปริมาณอะคริลาไมด์ที่เพิ่ม ^($\mu\text{g/kg}$)	ปริมาณอะคริลาไมด์ที่ตรวจพบเฉลี่ย $\pm \text{SD}$	RSD_{r} (%)	เปอร์เซ็นต์คืนกลับ	จำนวนช้ำ ⁽ⁿ⁾
				เฉลี่ย (%)	
ข้าว	0	2.93 ± 1.61			10
	20*	19.5 ± 2.0	10.3	98.2	8
	400	378 ± 14	3.7	96.6	10
	800	761 ± 20	2.6	97.7	10
ข้าวโพด	0	1.97 ± 1.88			10
	20*	20.9 ± 1.8	8.6	97.6	7
	400	376 ± 11	2.9	95.8	10
	800	740 ± 33	4.5	97.2	10
มันฝรั่ง	0	1.63 ± 1.65			9
	20*	18.3 ± 2.0	10.9	86.4	7
	400	368 ± 20	5.4	95.7	10
	800	748 ± 15	2.0	96.8	10
ถั่ว	0	5.85 ± 2.59			10
	30*	36.6 ± 1.9	5.2	101.3	8
	400	382 ± 33	8.6	98.5	10
	800	790 ± 39	4.9	102.9	10
ผลไม้ (กล้วย)	0	0.16 ± 0.37			10
	20*	17.1 ± 1.4	8.2	87.7	10
	400	389 ± 17	4.5	102.4	10
	800	780 ± 30	3.8	101.9	10
ขนมปัง	0	2.30 ± 1.17			10
	20*	17.2 ± 1.4	8.1	86.9	9
	400	393 ± 13	3.3	101.6	10
	800	799 ± 32	4.0	103.6	10
เม็ดกาแฟ**	0	1.71 ± 1.75			7
	20*	18.6 ± 1.9	10.2	85.0	7
	400	416 ± 10	2.4	104.4	7
	800	845 ± 16	1.9	106.1	7

* จุดจำกัดการวิเคราะห์ปริมาณ (limit of quantitation, LOQ)

** เพิ่มการทำสารละลายตัวอย่างให้บริสุทธิ์โดยการสกัดแบบเฟสสองแข็ง Oasis MCX ในขั้นตอนการเตรียมตัวอย่าง

ตารางที่ 4.6 แสดงความทวนซ้ำได้ (repeatability) โดยวิเคราะห์ภายในวันเดียว (intra-day) และ การทำซ้ำได้ (reproducibility) โดยวิเคราะห์ระหว่างวัน (inter-day) ในตัวอย่าง
SRM 2387 peanut butter

จำนวนซ้ำ (n)	ปริมาณอะคริลาไมด์ ($\mu\text{g}/\text{kg}$) SRM2387 peanut butter	ค่าเฉลี่ย \pm SD	Repeatability
		($\mu\text{g}/\text{kg}$)	RSD _r (%)
วันที่ 1	7 91.4, 79.5, 81.6, 83.7, 82.3, 85.9, 81.5	83.7 ± 3.9	4.7
วันที่ 2	3 88.2, 94.1, 90.7	91.0 ± 3.0	3.3
วันที่ 3	3 90.7, 92.0, 93.1	91.9 ± 1.2	1.3
วันที่ 4*	3 94.3, 90.6, 94.4	93.1 ± 2.2	2.4
ค่าเฉลี่ยทั้งหมด \pm SD ($\mu\text{g}/\text{kg}$)		88.4 ± 5.2	
Reproducibility RSD _R (%)		5.9	

* เพิ่มการทำสารละลายตัวอย่างให้บริสุทธิ์โดยการสกัดด้วยไฟฟ่องแข็ง Oasis MCX ในขั้นตอนการเตรียมตัวอย่าง

จากการทดลองศึกษาการสูญเสียอะคริลาไมด์เมื่อเป่าให้แห้งด้วยแก๊สไนโตรเจน โดยใช้สารละลายผสมเมทานอลในน้ำ 70 % โดยปริมาตร ที่เติมสารละลายมาตรฐานอะคริลาไมด์ให้มีความเข้มข้น 40 $\mu\text{g}/\text{ml}$ ไมโครกรัมต่อลิตร ที่มี $^2\text{d}_3$ -อะคริลาไมด์เป็นอินเทอร์นอลสแตนดาร์ดและไม่มีอินเทอร์นอลสแตนดาร์ด (ภาคผนวก ณ.) พนว่าเมื่อไม่มีอินเทอร์นอลสแตนดาร์ดนั้นมีเปอร์เซ็นต์คืนกลับได้เพียงร้อยละ 73.1 แต่เมื่อมีการใช้ $^2\text{d}_3$ -อะคริลาไมด์เป็นอินเทอร์นอลสแตนดาร์ดพบว่า เปอร์เซ็นต์คืนกลับได้สูงร้อยละ 100 ดังนั้นการใช้สารสนิทที่เจือไอโซโทปเป็นอินเทอร์นอลสแตนดาร์ดในการตรวจวิเคราะห์นั้นช่วยแก้ไขความผิดพลาดของระบบ (systematic error) ทำให้ผลวิเคราะห์ที่ได้มีความถูกต้องมากขึ้น

4.3 ผลการตรวจวิเคราะห์ปริมาณการปนเปื้อนสารอะคริลาไมด์ในอาหาร

ปริมาณการปนเปื้อนสารอะคริลาไมด์ในอาหารของประเทศไทยนั้นยังไม่มีการรายงานมาก่อน ดังนี้ในงานวิจัยนี้จึงได้ตรวจวิเคราะห์อาหารประเภทต่างๆที่ส่งสัญชาติการปนเปื้อนสารอะคริลาไมด์ซึ่งส่วนใหญ่จะเป็นอาหารประเภทcarbohydrate ไบโไฮเดรตที่ผ่านกระบวนการให้ความร้อน จำนวนตัวอย่างที่ตรวจวิเคราะห์ทั้งหมด 161 ตัวอย่าง ซึ่งแบ่งตามชนิดของผลิตภัณฑ์อาหาร 8 ประเภท ดังตารางที่ 4.7 ปริมาณการปนเปื้อนสารอะคริลาไมด์ในอาหารที่ตรวจวิเคราะห์ด้วยวิธีที่พัฒนาขึ้นน้อย ในช่วง ไม่พบ จนถึง 3,466 ไมโครกรัมต่อกิโลกรัม

ข้อมูลเกี่ยวหรือองกรอบบรรจุของ จำนวน 57 ตัวอย่าง มีการปนเปื้อนอะคริลาไมด์ระหว่าง ไม่พบ จนถึง 3,466 ไมโครกรัมต่อกิโลกรัม แบ่งออกเป็น 5 ประเภทตามวัตถุคุณสำคัญที่ใช้ผลิต คือ ประเภทข้าวและแป้งที่ทำจากข้าวต่างๆ เช่นข้าวขาว ข้าวสาลี ประเภทข้าวโพดและแป้ง

ข้าวโพด ประเภทมันฝรั่งและแป้งมันฝรั่ง ประเภทมันชนิดอื่นๆ เช่น มันเทศ เพือก และประเภทถั่ว และเมล็ดพืช เช่น ถั่วถั่ว ถั่วปากอ้า เมล็ดมะม่วงหิมพานต์ เมล็ดทานตะวัน เมล็ดฟิกทอง พบว่า วัตถุคุณภาพประเภทมันฝรั่ง แป้งมันฝรั่ง พบรการปนเปื้อนอะคริลาไมค์สูงสุด 3,466 ไมโครกรัมต่อ กิโลกรัมและค่ามัธยฐาน (median) เท่ากับ 1,336 ไมโครกรัมต่อ กิโลกรัม ซึ่งสอดคล้องกับงานวิจัย อื่นๆ ที่เคยรายงาน [2, 24, 44] ส่วนขนมขบเคี้ยวหรืออบกรอบบรรจุของที่ทำจากวัตถุคุณภาพอื่นๆ ได้แก่ ประเภทข้าวและแป้งที่ทำจากข้าวต่างๆ ประเภทข้าวโพด แป้งข้าวโพด ประเภทมันชนิดอื่นๆ และ ประเภทถั่วและเมล็ดพืช นั้นพบรการปนเปื้อนสูงสุด 761, 488, 363 และ 141 ไมโครกรัมต่อ กิโลกรัม ตามลำดับและ มีค่ามัธยฐาน 67.1, 57.2, 82.0 และ 43.0 ไมโครกรัมต่อ กิโลกรัม ตามลำดับ

ขนมหรือของว่างไทย เช่น ขนมดอกจาก นางเลดี้ โรตีกรอบ ขนมครองเครง ปาท่องโก๋ ทองม้วน ขนมก้านบัว ข้าวตัง ขนมรังผึ้ง ขนมผิง ข้าวແຕ່ນ มันรังนก ไก่นกกระทา ถั่วตัด ถั่วทอด แบบแผ่นแป้ง เป็นต้น จำนวน 48 ตัวอย่าง พบรการปนเปื้อนอะคริลาไมค์ระหว่าง น้อยกว่า 20.0 - 496 ไมโครกรัมต่อ กิโลกรัม โดยจะแบ่งประเภทย่อยๆ ตามวัตถุคุณภาพที่ผลิตได้แก่ ผลิตภัณฑ์จากข้าว และแป้งที่ทำจากข้าว ผลิตภัณฑ์จากมันเพือก และผลิตภัณฑ์จากถั่ว พบรการปนเปื้อนสูงสุด 347, 496 และ 56.0 ไมโครกรัมต่อ กิโลกรัม ตามลำดับ และค่ามัธยฐาน 42.5, 63.4 และ 34.2 ไมโครกรัมต่อ กิโลกรัม ตามลำดับ

ขนมปังกรอบ บิสกิต แครกเกอร์ คุกคิ้วและเวเฟอร์ จำนวน 24 ตัวอย่าง พบรการปนเปื้อน อะคริลาไมค์ระหว่าง ไม่พน- 486 ไมโครกรัมต่อ กิโลกรัมและค่ามัธยฐาน 50.4 ไมโครกรัมต่อ กิโลกรัม

เฟรนฟรายด์ จำนวน 2 ตัวอย่าง พบรการปนเปื้อนอะคริลาไมค์ระหว่าง 220- 482 ไมโครกรัมต่อ กิโลกรัมและค่ามัธยฐาน 351 ไมโครกรัมต่อ กิโลกรัม

ธัญพืชอาหารเช้า จำนวน 3 ตัวอย่าง พบรการปนเปื้อนอะคริลาไมค์ระหว่าง 28.6-154 ไมโครกรัมต่อ กิโลกรัมและค่ามัธยฐาน 44.6 ไมโครกรัมต่อ กิโลกรัม

บะหมี่กึ่งสำเร็จรูป (ไม่รวมเครื่องปรุงรส) จำนวน 6 ตัวอย่าง พบรการปนเปื้อนอะคริลาไมค์ ระหว่าง 103- 203 ไมโครกรัมต่อ กิโลกรัมและค่ามัธยฐาน 152 ไมโครกรัมต่อ กิโลกรัม ซึ่งบะหมี่- กึ่งสำเร็จรูปทำจากแป้งข้าวสาลี

ผักและผลไม้ที่ผ่านกระบวนการให้ความร้อน เช่น กล้วยกวน กล้วยตาด กล้วยแขก กล้วยฉบับ กล้วยฉบับ ทุเรียนกวน ลูกพุน ฟักทองแผ่นบางทอดกรอบ สับปะรดกวน มะยมเชื่อม เป็นต้น จำนวน 18 ตัวอย่าง พบรการปนเปื้อนอะคริลาไมค์ระหว่าง ไม่พน - 628 ไมโครกรัมต่อ กิโลกรัมและ ค่ามัธยฐาน น้อยกว่า 20.0 ไมโครกรัมต่อ กิโลกรัม ซึ่งตัวอย่างที่พบรการปนเปื้อนสูงสุดคือ ฟักทอง แผ่นบางทอดกรอบ จากลักษณะที่เป็นแผ่นบางทำให้มีพื้นที่ผิวมากการทดสอบในน้ำมันน้ำจะสูญเสีย จากพื้นที่ผิวและทำให้เกิดอะคริลาไมค์ในสภาวะนี้ ซึ่งการเกิดอะคริลาไมค์นั้นจะเกิดบริเวณผิวหน้า

และบริเวณใกล้เคียงเป็นหลัก เมื่อเปรียบเทียบผิวน้ำของผลิตภัณฑ์กับน้ำหนักแล้ว ถ้าผิวน้ำมากกว่าน้ำหนักของผลิตภัณฑ์มากๆ ทำให้มีโอกาสพบร่องรอยไม่ตื้นด้วย

กาแฟสำเร็จรูป จำนวน 3 ตัวอย่าง พบร่องรอยของคริลามีค่าตั้งแต่ 37.2- 409 ไมโครกรัมต่อกิโลกรัม และค่ามัธยฐาน 404 ไมโครกรัมต่อกิโลกรัม อะคริลามีดีในกาแฟนั้นเกิดขึ้นในกระบวนการคั่วและจะลดลงตามระดับการเก็บเมล็ดบารุงในภาชนะปีก [59]

ตารางที่ 4.7 ผลการตรวจวิเคราะห์ปริมาณการปนเปื้อนสารอะคริลามีดีในอาหาร

ชนิดของผลิตภัณฑ์อาหาร	จำนวน ตัวอย่าง	ปริมาณอะคริลามีดี (ไมโครกรัมต่อกิโลกรัม)	
		ต่ำสุด - สูงสุด	ค่ามัธยฐาน
1. ขนมขบเคี้ยวหรืออบกรอบบรรจุซอง			
- ประเภทข้าวและแป้งที่ทำจากข้าวต่างๆ	14	ไม่พบ-761	67.1
- ประเภทข้าวโพด แป้งข้าวโพด	17	ไม่พบ-488	57.2
- ประเภทมันฝรั่ง แป้งมันฝรั่ง	9	528-3,466	1,336
- ประเภทมันชนิดอื่น เช่น มันเทศ เพื่อกับแป้งมันสำปะหลัง	4	60.9 -363	82.0
- ประเภทถั่วและเมล็ดพืช	13	ไม่พบ -141	43.0
2. ขนมหรือของว่างไทย			
- ผลิตภัณฑ์จากข้าวและแป้งที่ทำจากข้าวต่างๆ	32	น้อยกว่า 20.0 -347	42.5
- ผลิตภัณฑ์จากมัน เพื่อกับ	8	24.8-496	63.4
- ผลิตภัณฑ์จากถั่ว	8	น้อยกว่า 30.0 -56.0	34.2
3. ขนมปังกรอบ บิสกิต แครกเกอร์ คุกเก้ เวเฟอร์	24	ไม่พบ -486	50.4
4. เฟรนฟรายด์	2	220-482	351
5. ช็อปปิ้งอาหารเช้า	3	28.6-154	44.6
6. บะหมี่กึ่งสำเร็จรูป	6	103-203	152
7. ผักและผลไม้ที่ผ่านกระบวนการให้ความร้อน (ทอด กวน อบ ตากแห้ง)	18	ไม่พบ-628	น้อยกว่า 20.0
8. กาแฟสำเร็จรูป	3	37.2 – 409	404

บทที่ 5

สรุปผลการวิจัยและข้อเสนอแนะ

5.1 สรุปผลการวิจัย

การพัฒนาวิธีวิเคราะห์หาปริมาณอะคริลามิค์ในอาหาร โดยใช้วิธีเจือจาง ไอโซโทปและตรวจวัดด้วย LC-ESI-MS/MS นี้มีความแม่นและเที่ยงในการตรวจวิเคราะห์ การใช้สารที่สนับไปเจือ ไอโซโทป (${}^2\text{d}_3$ -อะคริลามิค์) เป็นอินเทอร์นอลสแตนดาร์ด ทำให้ช่วยแก้ไขความผิดพลาดของระบบ (systematic error) ที่อาจเกิดในขั้นตอนการสกัดหรือการตรวจวัดด้วยเครื่องมือ ทำให้ผลวิเคราะห์ถูกต้องมากขึ้น ซึ่งวิธีวิเคราะห์ที่พัฒนาขึ้นนี้มีขั้นตอนการเตรียมตัวอย่างที่สามารถทำได้ง่ายและรวดเร็ว ปลอดภัยจากสารเคมีที่เป็นอันตราย เพราะไม่ต้องเตรียมสารอนุพันธ์ สามารถตรวจวิเคราะห์ได้วันละประมาณ 30 ตัวอย่างหรืออาจมากกว่านั้น ถ้ามีเครื่องเบเย่าและเครื่องหมุนเหวี่ยงความเร็วสูงที่สามารถทำงานได้ครั้งละหลายๆตัวอย่าง และสามารถวิเคราะห์อาหารได้หลากหลายชนิด

การตรวจวิเคราะห์อะคริลามิค์ด้วย LC-ESI-MS/MS เครื่องวิเคราะห์มีลักษณะ triple quadrupole ในโหมดประจุบวกโดยตรวจติดตามการทราบสิชันของไอออนแบบตรวจติดตามหลายปฏิกิริยา (MRM) คือ m/z 72/44, 72/55, 72/72 และ 75/58 การคำนวณหาปริมาณอะคริลามิค์เลือกใช้การทราบสิชันของไอออน m/z 72/55 ของอะคริลามิค์และ m/z 75/58 ของ ${}^2\text{d}_3$ -อะคริลามิค์ (อินเทอร์นอลสแตนดาร์ด) ส่วนการทราบสิชันของไอออนแบบอื่นนั้นใช้สำหรับเพื่อยืนยันในบางกรณี

สภาวะที่เหมาะสมในการสกัดอะคริลามิค์ในตัวอย่างอาหาร คือ สารละลายผสม เมทานอลในน้ำ 70 % โดยปริมาตร เป็นตัวทำละลายในการสกัด สามารถสกัดอาหารหลากหลายชนิดโดยเฉพาะอาหารที่มีปริมาณแป้งสูง ปริมาตรตัวทำละลายที่ใช้ 10 มิลลิลิตร น้ำหนักตัวอย่าง 0.5-1 กรัม เวลาเบย่า 30 นาที สารละลายตัวอย่างที่สกัดได้ทำให้บริสุทธิ์ด้วยสารละลาย carrez I และ carrez II

สารละลายตัวอย่างที่สกัดได้สามารถแยกสิ่งรบกวนออกจากสารที่สนใจโดยใช้คอลัมน์ Luna Su C18 ขนาดอนุภาค 100 อังสโตม ขนาด 2.00 x 250 มิลลิเมตร แทนการสกัดแบบเฟสแข็งที่มีราคาสูง มีเฉพาะบางตัวอย่างเท่านั้นที่ไม่สามารถแยกพีกรบกวนได้ เช่น กาแฟ หรือมันฝรั่งบางตัวอย่าง จำเป็นต้องใช้การสกัดแบบเฟสแข็งช่วยในการกำจัดสิ่งรบกวนนี้ ซึ่งสกัดแบบเฟสของแข็ง ชนิด Oasis MCX แบบ mixed-mode ion exchange สามารถแยกเปลี่ยนไอออนบวกได้ดี กรดอะมิโน acids ที่เป็นสารรบกวนหลักจะถูกหน่วงไว้ในเฟสของแข็งชนิดนี้ กระบวนการ

แยก กือ เฟสเคลื่อนที่ประกอบด้วย 0.1 % โดยปริมาตรของกรดอะซิติกในน้ำต่อเมทานอล ในอัตราส่วน 97 ต่อ 3 วิธีการจะแบบไออกไซเครติก อัตราการไอล 0.3 มิลลิลิตรต่อน้ำที่

การทดสอบความถูกต้องของวิธีวิเคราะห์พัฒนาขึ้นนี้ในอาหารที่มีแม่ทริกซ์แตกต่างกันได้แก่ ข้าว ข้าวโพด มันฝรั่ง ถั่ว ขนมปัง ผลไม้ (กล้วย) กาแฟ เมื่อเติมสารละลายน้ำตรฐานอะคริลามีค่าความเข้มข้น 20 -800 ไมโครกรัมต่อกิโลกรัม มีปอร์เซ็นต์คืนกลับเฉลี่ยอยู่ระหว่างร้อยละ 85.0-106.1 และค่าเบี่ยงเบนมาตรฐานสัมพัทธ์ต่ำกว่าร้อยละ 11 การวิเคราะห์ตัวอย่าง SRM 2387 peanut butter พบว่าการวนซ้ำได้ (repeatability) จากการวิเคราะห์ภายในวันเดียว (intra-day) และการทำซ้ำได้ (reproducibility) จากการวิเคราะห์ระหว่างวัน (inter-day) มีค่าเบี่ยงเบนมาตรฐานสัมพัทธ์ต่ำกว่าร้อยละ 10 และประเมิน trueness พบว่าไม่แตกต่างจากค่าอ้างอิงอย่างมีนัยสำคัญ ที่ระดับความเชื่อมั่น 95 % และช่วงของความเชื่อมั่น (confidence interval, CI) ของปริมาณอะคริลามีค่าเฉลี่ย เท่ากับ 83.7 ± 3.6 ไมโครกรัมต่อกิโลกรัม (ที่ระดับความเชื่อมั่น 95 %) ซึ่งอยู่ในช่วงที่ระบุในรับรอง 79.2 – 94.8 ไมโครกรัมต่อกิโลกรัม ดังนั้นวิธีวิเคราะห์นี้มีความเที่ยงและความแม่นหมายสำหรับวิเคราะห์หาปริมาณอะคริลามีค่าในอาหาร ค่าปีดจำกัดการตรวจพบของทุกแม่ทริกซ์ มีค่าเท่ากับ 14 ไมโครกรัมต่อกิโลกรัม และค่าปีดจำกัดการวิเคราะห์ปริมาณของทุกแม่ทริกซ์ มีค่าเท่ากับ 20.0 ไมโครกรัมต่อกิโลกรัม ยกเว้นถ้ามีค่าเท่ากับ 30.0 ไมโครกรัมต่อกิโลกรัม ความเป็นเส้นตรงมีค่าสัมประสิทธิ์สหสัมพันธ์ มากกว่า 0.999 (ที่ระดับความเข้มข้น 2-80 ไมโครกรัมต่อลิตร)

เก็บตัวอย่างอาหารประเภทต่างๆที่ส่งสัญญาการปนเปื้อนสารอะคริลามีค่าส่วนใหญ่จะเป็นอาหารประเภทcarboไฮเดรตที่ผ่านกระบวนการให้ความร้อนและการตรวจสอบวิเคราะห์ด้วยวิธีวิเคราะห์ที่พัฒนาขึ้น จำนวนตัวอย่างที่ตรวจวิเคราะห์ทั้งหมด 161 ตัวอย่าง ปริมาณการปนเปื้อนสารอะคริลามีค่าในอาหารที่สำรวจนั้นอยู่ในช่วง ไม่พน (น้อยกว่าปีดจำกัดการตรวจพบ) จนถึง 3,466 ไมโครกรัมต่อกิโลกรัม พบว่าขนมขบเคี้ยวหรืออบกรอบบรรจุของที่ผลิตจากมันฝรั่งและแป้งมันฝรั่งมีการปนเปื้อนสารอะคริลามีค่าสูงสุด มีค่ามัธยฐาน เท่ากับ 1,336 ไมโครกรัมต่อกิโลกรัม ส่วนผลิตภัณฑ์อาหารผ่านกระบวนการให้ความร้อนที่ผลิตจากวัตถุดินอินอกจากมันฝรั่งและกาแฟ ได้แก่ ข้าว แป้งสาลี ข้าวโพด แป้งข้าวโพด แป้งมันสำปะหลัง เพือก มันเทศ ถั่ว ผักและผลไม้ พบว่ามีค่ามัธยฐาน อยู่ระหว่าง น้อยกว่า 20 – 82.0 ไมโครกรัมต่อกิโลกรัม จะเห็นได้ว่าอาหารเหล่านี้มีการปนเปื้อนสารอะคริลามีค่าน้อยกว่าผลิตภัณฑ์ที่ผลิตจากมันฝรั่งประมาณ 16 เท่า ทั้งนี้อาจเนื่องมาจากการปนเปื้อนของสารอะคริลามีค่าที่ต่ำกว่า 16 เท่า โดยเฉพาะข้าว (rice) พบปริมาณแօสภาพร้านปะมาณ 15 -25 มิลลิกรัมต่อกิโลกรัม ส่วนข้าวสาลี (wheat) พบปริมาณแօสภาพร้านปะมาณ 75-2,200 มิลลิกรัมต่อกิโลกรัม [59] และจากการสำรวจก็พบว่าผลิตภัณฑ์อาหารที่ผลิตจากข้าว นอกจากวัตถุดินที่ใช้ผลิตแล้วยังสังเกตการปนเปื้อนสารอะคริลามีค่าในอาหารได้จากลักษณะภายนอก

เช่น อาหารประเกทแบ่งที่ลักษณะแผ่นบาง (พื้นที่ผิวมาก) เมื่อผ่านกระบวนการให้ความร้อนแล้วมีสีนำatalเข้มส่วนใหญ่จะมีการปนเปื้อนของอะคริลามีด์ในปริมาณสูง ดังนั้นในกระบวนการให้ความร้อนไม่ควรใช้อุณหภูมิสูงหรือเวลานานเกินไป อาจทำให้ปริมาณการเกิดอะคริลามีดลดลงได้

การตรวจวิเคราะห์การปนเปื้อนอะคริลามีดในอาหารของงานวิจัยนี้ ข้อมูลที่ได้สามารถใช้เป็นแนวทางคุ้มครองผู้บริโภคให้ปลอดภัย และสามารถนำไปใช้ประกอบการประเมินการได้สัมผัสอะคริลามีดจากการบริโภคอาหารประจำวันและการประเมินความเสี่ยงการบริโภคอาหารที่ปนเปื้อนสารนี้ของคนไทยได้

5.2 ข้อเสนอแนะ

การสกัดสารอะคริลามีดในอาหารด้วยสารละลายผสมของเมทานอลและน้ำ นั้นเป็นทางเลือกหนึ่งของตัวทำละลายที่ใช้สกัด ควรศึกษาตัวทำละลายที่เป็นสารละลายผสมระหว่างตัวทำละลายอินทรีย์ (organic solvent) กับน้ำที่ใช้สกัด เช่นการใช้ตัวทำละลายอินทรีย์ ชนิดอื่นๆ หรืออัตราส่วนที่เหมาะสมสมของสารละลายผสม ถึงแม้ว่าอะคริลามีดจะละลายในตัวทำละลายอินทรีย์ได้ต่ำ แต่จะส่วนผสมของน้ำที่ทำให้ประสิทธิภาพการสกัดเพิ่มขึ้น ข้อดีของการมีตัวทำละลายอินทรีย์ในสารละลายที่ใช้ในการสกัด คือ สารละลายตัวอย่างที่สกัดได้สามารถเรheyได้ง่าย ทำให้สามารถเพิ่มความเข้มข้นสารละลายตัวอย่างที่สกัดได้ซึ่งทำให้ เพิ่มความไว (sensitivity) ของวิเคราะห์ และวิเคราะห์อาหารที่มีการปนเปื้อนอะคริลามีดในระดับต่ำๆ ได้

ເອກສາຮອ້າງອີງ

- [1] Swedish National Food Administration. Press release from Livsmedelsverket, National Food Administration. “**Acrylamide is formed during the preparation of food and occurs in many foodstuffs.**” [Online]. Available: http://www.slv.se/templates/SLV_Page.aspx?id=6182. 2002.
- [2] Twaddle N.C., McDaniel L.P., Gamboa da Costa G., Churchwell M.I., Beland F.A. and Doerge D.R. “Determination of acrylamide and glycidamide serum toxicokinetics in B6C3F₁ mice using LC-ES/MS/MS.” **Cancer Letters.** Vol.207, 2004, pp. 9-17.
- [3] ອນຮາ ວົງຄູ່ພູທະພິທັກນໍ. “ອະຄຣິລາໄມດີໃນອາຫາຣ: ສອງປີ້ຫລັງກິນພບ.” ວ ກຣມວິທຍ ພ. 47(2), 2548. ໜ້າ 139-150.
- [4] Castle L., Campos, M.J. and Gilbert J. “Determination of acrylamide monomer in hydroponically grown tomato fruits by capillary gas chromatography-mass spectrometry.” **J. Sci. Food Agric.** Vol.54, 1991, pp. 549-555.
- [5] Castle L. “Determination of acrylamide monomer in mushroom grown on polyacrylamide gel.” **J. Sci. Food Agric.** Vol.41, 1993, pp. 1261-1263.
- [6] World Health Organization, International Agency for Research on Cancer. “**IARC Monographs on the Evaluation of Carcinogenic Risks to Humans.**” [Online]. Available: <http://monographs.iarc.fr/ENG/Monographs/vol60/volume60.pdf>. 1997.
- [7] Joint FAO/WHO Food Standards Programme Codex Committee On Food Additive and Contaminants. “**Discussion paper on Acrylamide.**” [Online]. Available: ftp://ftp.fao.org/codex/ccfac38/fa38_35e.pdf. 24-28 April 2006.
- [8] Mottram D.S., Wedzicha B.J. and Dodson A.T. “Acrylamide is formed in the Maillard reaction.” **Nature.** Vol.419, 2002 , pp. 448-449.
- [9] Stadler R.H., Blank I., Varga N., Robert F., Hau J., Guy P.A., Robert M.C. and Riediker S. “Acrylamide form Maillard reaction products.” **Nature.** Vol.419, 2002 , pp. 449-450.
- [10] Yasuhara A., Tanaka Y., Hengel M. and Shibamoto T. and Riediker S. “Gas chromatographic investigation of acrylamide formation in browning model systems.” **J. Agric. Food Chem.** Vol. 51, 2003, pp. 3999-4003.

- [11] Rufian-Henares J. A. and Morales F. J. “Determination of acrylamide in potato chip by a reversed-phase LC-MS method based on stable isotope dilution assay.” **Food Chemistry.** Vol. 97, 2006, pp. 555-562.
- [12] Tareke E., Rydberg P., Karlsson P., Eriksson S. and Tornqvist M. “Analysis of acrylamide, a carcinogen formed in heated foodstuffs.” **J. Agric. Food Chem.** Vol. 50, 2002. pp. 4998-5006.
- [13] Ono. H., Chuda Y., Ohnishi-Kameyama M., Yada H., Ishizaka M., Kobayashi H. and Yoshida M. “Analysis of acrylamide by LC-MS/MS and GC-MS in Processed Japanese foods.” **Food Addit. Contam.** Vol.20, 2003. pp. 215-220.
- [14] Jezussek M. and Schieberle P. “A new LC/MS method for the quantitation of acrylamide based on a stable isotope dilution assay and derivatization with 2- mercaptobenzoic acid. Comparison with two GC/MS methods.” **J. Agric. Food Chem.** Vol. 51 (27), 2003. pp. 7866-7871.
- [15] Biedermann M., Biedermann-Brem S., Noti A. and Grob K. “Two GC-MS Method for the Analysis of Acrylamide in Foodstuff.” **Mitteilungen aus Lebensmitteluntersuchung und Hygiene.** Vol. 93, 2002. pp. 638-652.
- [16] Castle L. and Eriksson S. “Analytical Method Used to Measure Acrylamide Concentrations in Foods.” **Journal of AOAC International.** Vol. 88, No.1, 2005. pp. 274-284.
- [17] Senyuva H. Z. and Gokmen V. “Interference – free determination of acrylamide in potato and cereal-based foods by a laboratory validated liquid chromatography – mass spectrometry method.” **Food Chemistry.** Vol. 97, 2006. pp. 539-545.
- [18] Rosen J. and Hellenas K.E. “Analysis of acrylamide in cooked foods by liquid chromatography tandem mass spectrometry.” **Analyst.** Vol. 127, 2002. pp. 880-882.
- [19] Riediker S. and Stadler R. H. “Analysis of acrylamide in food by isotope-dilution liquid chromatography coupled with electrospray ionization tandem mass spectrometry.” **J. Chromatogr. A.** Vol.1020, 2003. pp. 121-130.
- [20] Andzejewski D., Roach J. A. G., Gay M. L. and Musser S. M. “Analysis of Coffee for the Presence of Acrylamide by LC-MS/MS.” **J. Agric. Food Chem.** Vol. 52, 2004. pp. 1996-2002.
- [21] Granby K. and Fagt S. “Analysis of acrylamide in coffee and dietary exposure to acrylamide from coffee.” **Analytica Chimica Acta.** Vol. 520, 2004. pp. 177-182.

- [22] Jiao J., Zhang Y., Ren Y., Wu X. and Zhang Y. “Development of quantitative method for determination of acrylamide in infant powdered milk and baby foods in jars using isotope dilution liquid chromatography/electrospray ionization tandem mass spectrometry.” **J. Chromatogr. A.** Vol.1099, 2005. pp. 198-202.
- [23] Zhang Y., Jiao J., Ren Y., Wu X. and Zhang Y. “Determination of acrylamide in infant cereal – based foods by isotope dilution liquid chromatography coupled with electrospray ionization tandem mass spectrometry.” **Analytica Chimica Acta.** Vol.551, 2005. pp. 150-158.
- [24] Bermudo E., Moyano E., Puignou L. and Galceran M.T. “Determination of acrylamide in foodstuffs by liquid chromatography ion-trap tandem mass – spectrometry using an improved clean – up procedure.” **Analytica Chimica Acta.** Vol. 559, 2006. pp. 207-214.
- [25] Nielsen N. J., Granby K., Hedegaard R. V. and Skibsted L. H. “A liquid chromatography – tandem mass spectrometry method for simultaneous analysis of acrylamide and the precursors, asparagines and reducing sugars in bread.” **Analytica Chimica Acta.** Vol. 557, 2006. pp. 211-220.
- [26] Joint FAO/WHO Food Standards Programme Codex Committee on Food Additive and Contaminants. “Discussion Paper on Acrylamide.” **Codex alimentarius commission.** Hague, Netherlands, 24-28 April, 2006.
- [27] Gokmen V. and Senyuva H. Z. “A generic method for the determination of acrylamide in thermally processed foods.” **J. Chromatogr. A.** Vol. 1120, 2006. pp. 194-198.
- [28] Swedis Scientific Expert Committee “**Acrylamide in Food-Mechanisms of formation and influencing factors during heating of foods.**” [Online]. Available: <http://www.li.se/dokument/news/nyheter/Acrylamid%20Expertrappport%20Final.pdf>. 2002.
- [29] Calbiani F., Careri M., Elviri L., Mangia A. and Zagnoni I. “Development and Single-Laboratory Validation of a Reversed-Phase Liquid Chromatography-Electrospray-Tandem Mass Spectrometry Method for Identification and Determination of Acrylamide in Foods.” **Journal of AOAC International.** Vol. 87(1), 2004. pp. 107-115.
- [30] Svensson K., Abramsson L., Becker W., Glynn A., Hellens K.-E., Lind Y. and Rosen J. “Dietary intake of acrylamide in Sweden.” **Food and Chemical Toxicology.** Vol.41, 2003. pp. 1581-1586.

- [31] Becalski A., Lau B. P.-Y., Lewis D. and Seaman S.W. "Acrylamide in Foods : Occurrence, Sources, and Modeling." **J. Agric. Food Chem.** Vol.51 (3), 2003. pp. 802-808.
- [32] Zyzak D. V., Sanders R.A., Stojanovic M., Tallmadge D.H., Eberhart B. L., Ewald D.K., Gruber D. C., Morsch T.R., Strothers M.A., Rizzi G. P. and Villagran M.D. "Acrylamide Formation Mechanism in Heated Foods." **J. Agric. Food Chem.** Vol.51, 2003. pp. 4782-4787.
- [33] Amrein T. M., Swiss Federal Institute of Technology Zurich. "**Systematic Studies on Process Optimization to Minimize Acrylamide Contents in Food.**" [Online]. Available: <http://e-collection.ethbib.ethz.ch/ecol-pool/diss/fulltext/eth16311.pdf>. 2005.
- [34] Yaylayan V.A., Wnorowski A. and Locas C. P. "Why Asparagine Needs Carbohydrates to Generate Acrylamide." **J. Agric. Food Chem.** Vol.51, 2003. pp. 1753-1757.
- [35] Report of a Joint FAO/WHO Consultation. "**Health Implications of Acrylamide in Food.**" [Online]. Available: http://www.who.int/foodsafety/publications/chem/en/acrylamide_full.pdf. 25-27 June 2000.
- [36] Bob Ardrey. **Liquid Chromatography – Mass Spectrometry : An Introduction.** Chichester : John Wiley & Sons Ltd. 2003.
- [37] Applied Biosystems/MDS SCIEX. **API 4000 LC/MS/MS Hardware Manual.** Ontario Canada : 2002.
- [38] ศักดิ์สิทธิ์ จันทร์ไทย. หลักการเบื้องต้นและการประยุกต์ใช้เทคนิคคุณวินิจฉัยในเคมีวิเคราะห์. ภาควิชาเคมี คณะวิทยาศาสตร์ มหาวิทยาลัยขอนแก่น. 2543.
- [39] "Isotope Dilution in Chemical Analysis." [Online]. Available : http://www.wcaslab.com/tech/isotope_dilution.htm.
- [40] "Isotope Dilution Techniques." [Online]. Available: <http://www.answers.com/topic/isotope-dilution-techniques>.
- [41] Macwilliams C.D., Kaufman C.D. and Waling F.B. "Polarographic and Spectrophotometric Determination of Acrylamide in Acrylamide Polymers and Copolymer" **Anal. Chem.** Vol. 37, No. 12, 1965. pp.1546 -1552.
- [42] Betso R.S. and McLean D.J. "Determination of acrylamide monomer by differntail pulse polarography" **Anal. Chem.** Vol. 48, No. 4, 1976. pp. 766-770.

- [43] Andzejewski D., Roach J. A. G., Gay M. L. and Musser S. M. "Analysis of Coffee for the Presence of Acrylamide by LC-MS/MS." **J. Agric. Food Chem.** Vol. 52, 2004. pp. 1996-2002.
- [44] Young M. S., Jenkins K. M. and Mallet C. R. 2004. "Solid-Phase Extraction and Cleanup Procedures for Determination of Acrylamide in Fried Potato Products by Liquid Chromatography/Mass Spectrometry." **Journal of AOAC International.** Vol. 87(4), 2004. pp. 961-964.
- [45] Pittet A., Perisset A. and Oberson J.-M. "Trace level determination of acrylamide in cereal – based foods by gas chromatography-mass spectrometry." **J. Chromatogr. A.** Vol.1035, 2004. pp. 123-130.
- [46] Hoenicke K., Gatermann R., Harder W. and Hartig L. "Analysis of acrylamide in different foodstuffs using liquid chromatography-tandem mass spectrometry." **Analytica Chimica Acta.** Vol.520, 2004. pp. 207-215.
- [47] Granby K. and Fagt S. "Analysis of acrylamide in coffee and dietary exposure to acrylamide from coffee." **Analytica Chimica Acta.** Vol.520, 2004. pp. 177-182.
- [48] Cavalli S., Polesello S. and Saccani G. "Determination of acrylamide in drinking water by large-volume direct injection and ion-exclusion chromatography – mass spectrometry " **J. Chromatogr. A.** Vol. 1039, 2004. pp. 155-159.
- [49] Eberhart B. L., Ewald D. K., Sanders R. A., Tallmadge D. H. and Zyzak D. V. "Quantitation of Acrylamide in Food Products by Liquid Chromatography/Mass Spectrometry." **Journal of AOAC International.** Vol.88(4), 2005. pp. 1205-1211.
- [50] Paleologos K.E. and Kontominas G.M. "Determination of acrylamide and methacrylamide by normal phase high performance liquid chromatography and UV detection." **J. Chromatogr. A.** Vol. 1077, 2005. pp. 128-135.
- [51] Rufian-Henares J. A. and Morales F. J. "Determination of acrylamide in potato chips by a reversed – phase LC – MS method based on a stable isotope dilution assay." **Food Chemistry.** Vol.97, 2006. pp. 555-562.
- [52] Casella G. I., Pierri M. and Contursi M. "Determination of acrylamide and acrylic acid by isocratic liquid chromatography with pulse electrochemical detection." **J. Chromatogr. A.** Vol. 1107, 2006. pp. 198-203.

- [53] Zhang Y., Dong Y., Ren Y. and Zhang Y. “Rapid determination of acrylamide contaminant in conventional fried foods by gas chromatography with electron capture detector.” **J. Chromatogr. A.** Vol. 1116, 2006. pp. 209-216.
- [54] Gokmen V., Senyuva H. Z., Acar J. and Sarioglu K. “Determination of acrylamide in potato chips and crisp by high-performance liquid chromatography” **J. Chromatogr. A.** Vol. 1088, 2005. pp. 193-199.
- [55] U.S. Department of Health and Human Services Food and Drug Administration Center for Veterinary Medicine. “**Validation of Analytical Procedures for Type C Medicated Feeds**” [Online]. Available: <http://www.fda.gov/OHRMS/DOCKETS/98fr/04d-0146-gdl0001.pdf>. November 7, 2005
- [56] ทิพวรรณ นิ่งน้อย. แนวปฏิบัติการทดสอบความถูกต้องของวิธีวิเคราะห์ทางเคมีโดยห้องปฏิบัติการเดียว. นนทบุรี. กรมวิทยาศาสตร์การแพทย์ กระทรวงสาธารณสุข. 2549
- [57] Petersson V.E., Rosen J, Turner C., Danielsson R. and Hellenas –E. K. “Critical factor and pitfalls affecting the extraction of acrylamide from foods: An optimization study.” **Analytica Chimica Acta.** Vol.557, 2006. pp.287-295.
- [58] Eriksson S. and Karlsson P. “Alternative extraction techniques for analysis of acrylamide in food : Influence of pH and digestion enzymes” **LWT.** Vol.39, 2006. pp.392-398.
- [59] Joint FAO/WHO Food Standards Programme Codex Committee on Food Additive and Contaminants. “Proposed Draft Code of Practice for The Reduction of Acrylamide in Food.” **Codex alimentarius commission.** Beijing, China, 16-20 April, 2007.

ภาคผนวก

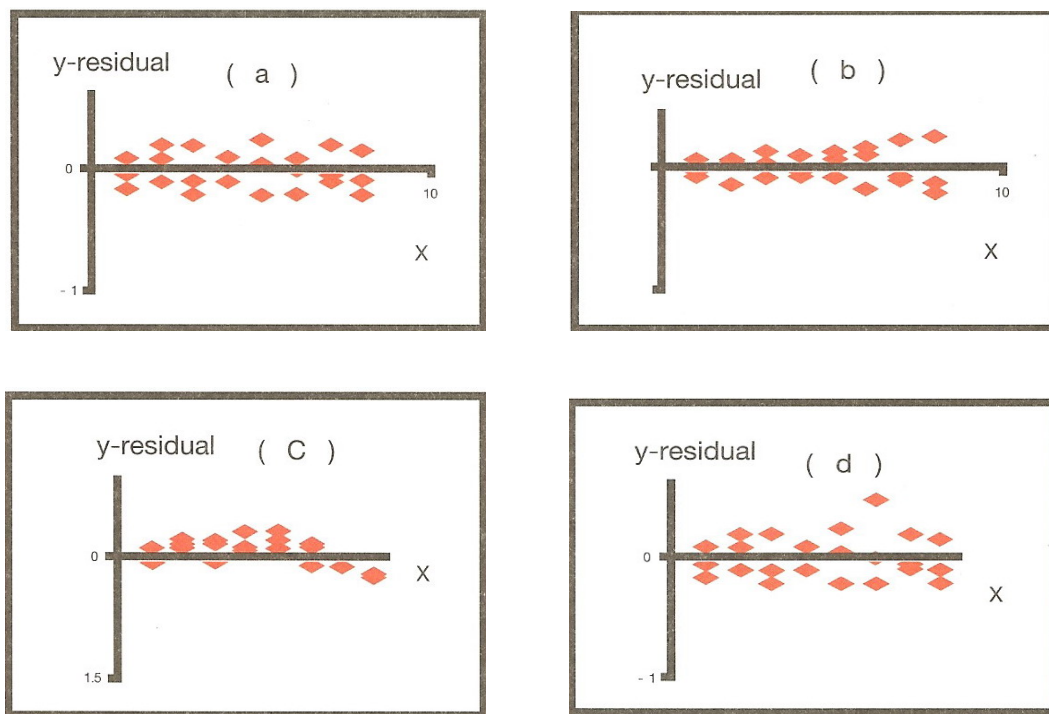
ภาคผนวก ก.

การยืนยันความสัมพันธ์เชิงเส้นด้วย residual plots

Residual plots คือการผลอตระหว่างค่า y-residual บนแกน y และค่า x บนแกน x เพื่อยืนยันความเป็นเส้นตรงของเส้นกราฟที่สร้างขึ้นจาก y และ x และเพื่อคุ้ว่านมีค่าสุ่ดต่างหรือไม่ ถ้าเส้นกราฟมีความเป็นเส้นตรง ความนิ่วกระยะของ y-residuals รอบๆค่าสูงย์ เพราะถึงแม่ว่าค่า y ที่อ่านได้แต่ละค่าจะไม่ขึ้นกับค่า y อื่นๆ แต่ y-residual จะขึ้นชี้่งกันและกัน เพราะผลรวมจะเป็นศูนย์เสมอ [56]

รูปแบบต่างๆของ residual plots (รูปที่ ก.1)

- แสดงความสัมพันธ์ของ x และ y อย่างเป็นเส้นตรง
- แสดงความสัมพันธ์ของ x และ y อย่างเป็นเส้นตรง แต่ค่าแปรปรวนของ y ที่ x มีค่าสูงๆ มีความแตกต่างอย่างมีนัยสำคัญจากค่าแปรปรวนของ y ที่ x ต่ำๆ กรณีนี้การผลอตกราฟมาตรฐานต้องผลอตแบบ weighted regression line
- แสดงความสัมพันธ์ของ x และ y ที่ไม่ใช่แบบเส้นตรง
- แสดงความสัมพันธ์ของ x และ y อย่างเป็นเส้นตรง โดยมีค่าสุ่ดต่าง



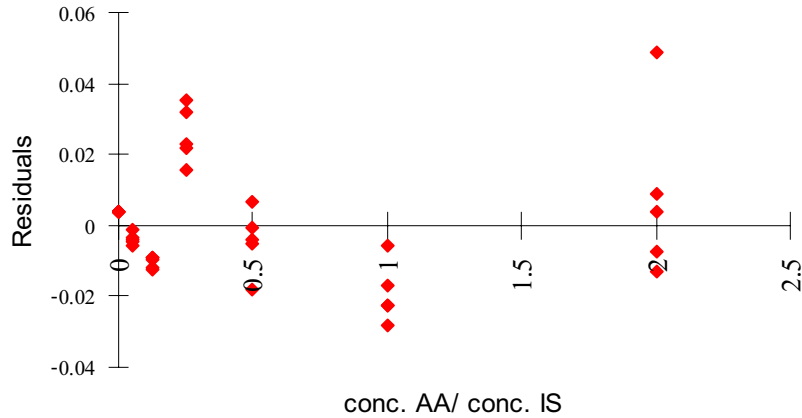
รูปที่ ก.1 แสดง Residual plots รูปแบบต่างๆ [56]

จากการทดสอบความเป็นเส้นตรงของกราฟมาตรฐานโดยการนำสารละลายน้ำตราชาน 7 ระดับความเข้มข้น ที่ความเข้มข้น 0 - 80 ไมโครกรัมต่อลิตร (ข้อ 3.3.2) ทำการวิเคราะห์ด้วย LC-ESI-MS/MS โดยวิเคราะห์ระดับความเข้มข้นละ 5 ชั้น นำผลการทดสอบที่ได้คำนวณอัตราส่วนของพื้นที่ใต้พีกสารละลายน้ำตราชาน (อะคริลาไมด์ m/z 72/55) ต่ออินเทอร์นอลสแตนดาร์ด ($^2\text{d}_3$ -อะคริลาไมด์ m/z 75/58) และอัตราส่วนของความเข้มข้นสารละลายน้ำตราชานต่ออินเทอร์นอลสแตนดาร์ด (ตารางที่ ก.1) และสร้างกราฟมาตรฐานจากความสัมพันธ์ระหว่าง y และ x

ตารางที่ ก.1 แสดงพื้นที่ใต้พีกและ residuals ของอะคริลาไมด์ที่ระดับความเข้มข้นต่างๆ ที่มี $^2\text{d}_3$ -อะคริลาไมด์เป็นอินเทอร์นอลสแตนดาร์ด (ระดับความเข้มข้นละ 5 ชั้น)

ความเข้มข้น ของAA ($\mu\text{g/l}$)	ความเข้มข้นของ $^2\text{d}_3\text{-AA (IS)}$ ($\mu\text{g/l}$)	อัตราส่วนของ ความเข้มข้น (แกน x)	พื้นที่ใต้พีก ของAA (m/z 72/55)	พื้นที่ใต้พีกของ $^2\text{d}_3\text{-AA (IS)}$ (m/z 75/58)	อัตราส่วนของ พื้นที่ใต้พีก (แกน y)	Residuals
0	40	0.00	0	2180000	0.000	0.003842539
0	40	0.00	0	2100000	0.000	0.003842539
0	40	0.00	0	2030000	0.000	0.003842539
0	40	0.00	0	2020000	0.000	0.003842539
0	40	0.00	0	2070000	0.000	0.003842539
2	40	0.05	86300	2060000	0.042	-0.005593904
2	40	0.05	88800	2040000	0.044	-0.003957696
2	40	0.05	86900	2020000	0.043	-0.004467306
2	40	0.05	91600	1970000	0.046	-0.000989646
2	40	0.05	85600	1940000	0.044	-0.003363397
5	40	0.12	226000	1970000	0.115	-0.009760766
5	40	0.12	228000	1980000	0.115	-0.009330063
5	40	0.12	224000	1940000	0.115	-0.009017661
5	40	0.12	220000	1950000	0.113	-0.011661066
5	40	0.12	221000	1970000	0.112	-0.012298837
10	40	0.25	542000	2020000	0.268	0.015511136
10	40	0.25	558000	1960000	0.285	0.031888182
10	40	0.25	552000	2010000	0.275	0.02182117
10	40	0.25	538000	1950000	0.276	0.02309174
10	40	0.25	550000	1910000	0.288	0.035152419
20	40	0.50	909000	1850000	0.491	-0.018102579
20	40	0.50	910000	1800000	0.506	-0.003898375
20	40	0.50	924000	1790000	0.516	0.006747187
20	40	0.50	906000	1780000	0.509	-0.000465167
20	40	0.50	893000	1770000	0.504	-0.004934157
40	40	1.00	1820000	1790000	1.017	-0.005990624
40	40	1.00	1760000	1770000	0.994	-0.028400118
40	40	1.00	1810000	1810000	1.000	-0.0227504
40	40	1.00	1800000	1790000	1.006	-0.017163808
40	40	1.00	1780000	1780000	1.000	-0.0227504
80	40	2.00	3630000	1730000	2.098	0.048922556
80	40	2.00	3520000	1710000	2.058	0.009136193
80	40	2.00	3490000	1700000	2.053	0.003597837
80	40	2.00	3410000	1670000	2.042	-0.007427172
80	40	2.00	3340000	1640000	2.037	-0.012757974

เมื่อได้กราฟมาตรฐานแล้วเพื่อยืนยันความเป็นเส้นตรงทำการพลอตค่า y-residual กับอัตราส่วนของความเข้มข้นของสารละลายนามาตรฐานอะคริลาไมค์ต่ออินเทอร์นอลสแตนดาร์ด (รูปที่ ก.2) พบว่า y-residual กระจายรอบๆ ค่าศูนย์แสดงว่าความสัมพันธ์ของ x และ y เป็นเส้นตรง



รูปที่ ก.2 แสดงการพลอตระหว่าง y-residual กับอัตราส่วนของความเข้มข้นของสารละลายนามาตรฐานอะคริลาไมค์ต่ออินเทอร์นอลสแตนดาร์ด ($^2\text{d}_3$ -อะคริลาไมค์)

ภาคผนวก ๔. การคำนวณปริมาณอะคริลามีด์

กราฟมาตรฐานสร้างจากการพlot ความสัมพันธ์ระหว่างอัตราส่วนของพื้นที่ได้พีคสารละลายน้ำอะคริลามีด์ (m/z 72/55) ต่ออินเทอร์นอลสแตนดาร์ด 2d_3 - อะคริลามีด์ (m/z 75/58) และอัตราส่วนของความเข้มข้นสารละลายน้ำอะคริลามีด์ต่ออินเทอร์นอลสแตนดาร์ด 2d_3 - อะคริลามีด์ นำมาคำนวณหาสมการเส้นถัดโดย (regression line) โดยใช้วิธีกำลังสองน้อยที่สุด (the method of least squares) ได้สมการดังนี้

$$R_r = slope * R_c + intercept \quad (\text{๔.๑})$$

เมื่อ R_r คือ อัตราส่วนของพื้นที่ได้พีคของสารละลายน้ำอะคริลามีด์ต่ออินเทอร์นอลสแตนดาร์ด 2d_3 - อะคริลามีด์ (แกน y)
 R_c คือ อัตราส่วนของความเข้มข้นสารละลายน้ำอะคริลามีด์ต่ออินเทอร์นอลสแตนดาร์ด 2d_3 - อะคริลามีด์ (แกน x)
slope คือ ความชันของเส้นตรง
intercept คือ จุดตัดแกน y

ตัวอย่างที่ ๑ การคำนวณปริมาณสารอะคริลามีด์ในตัวอย่าง

ผลการตรวจวิเคราะห์ตัวอย่างอาหาร ทำการอินทิเกรตได้พื้นที่ได้พีคดังนี้
พื้นที่ได้พีคของสารอะคริลามีด์ (m/z 72/55) = 77700
พื้นที่ได้พีคของ 2d_3 - อะคริลามีด์ (m/z 75/58) = 1140000

$$\text{คำนวณหา } R_r = 77700/1140000 = 0.0682$$

สมการเส้นตรงที่ได้จากการฟิตฐาน

$$R_r = 1.03 * R_c - 0.00378$$

คำนวณหา R_c

$$R_c = (0.0682 + 0.00378)/1.03 = 0.0699$$

จากขั้นตอนการวิเคราะห์เติม ${}^2\text{d}_3$ - อะคริลาไมด์ในตัวอย่าง = 381 ไมโครกรัมต่อกิโลกรัม (ppb)
 ดังนั้น ปริมาณสารอะคริลาไมด์ในตัวอย่าง = $0.0699 \times 381 = 26.6$ ไมโครกรัมต่อกิโลกรัม (ppb)
 หรือ 0.0266 มิลลิกรัมต่อกิโลกรัม (ppm)

ตัวอย่างที่ 2 การคำนวณวิเคราะห์ปริมาณอะคริลาไมด์ใน 1 ชุดการทดลอง

สมการของกราฟมาตรฐาน $R_r = 1.04 R_c + -0.0104$ ($r = 0.9997$)

Slope = 1.04

Intercept = -0.0104

Sample	Wt (g)	IS (ng)	IS (ng/g)	Peak area m/z 72/55	Peak area m/z 75/58	Rr	Rc	Rc sample- Rc blank	AA (ng/g)	AA เฉลี่ย (ng/g)	%Rec
Blank (no SPE)		400		8930	1700000	0.0053	0.0151				
B 01 (no SPE)	1.0889	400	367	991000	718000	1.3802	1.3371	1.3249	486		
B 02 (no SPE)	1.0469	400	382	840000	762000	1.1024	1.0700	1.0549	403		
B 03 (no SPE)	1.0201	400	392	36100	881000	0.0410	0.0494	0.0343	13.4		
B 03 (no SPE) dup	1.0171	400	393	39400	865000	0.0455	0.0538	0.0387	15.2	14.3	
B 04 (no SPE)	1.0459	400	382	51600	767000	0.0673	0.0747	0.0596	22.8		
B 05 (no SPE)	1.0747	400	372	621000	830000	0.7482	0.7294	0.7139	266		
B 06 (no SPE)	1.0429	400	384	328000	699000	0.4692	0.4612	0.4459	171		
B 06 + std 100 ng (no SPE)	1.0168	400	393	528000	724000	0.7293	0.7112	0.6959	274		104.7

$$\text{คำนวณเปอร์เซ็นต์คืนกลับ} = \frac{(274 - 171)}{100 / 1.0168} * 100 = 104.7 \%$$

ภาคผนวก ค.

คำนวณขีดจำกัดการตรวจพบและขีดจำกัดการวิเคราะห์ปริมาณ

ค.1 แม่ทริกซ์ข้าว

ค.1.1 ขีดจำกัดการตรวจพบ (LOD) ของแม่ทริกซ์ข้าว

วิเคราะห์ปริมาณอะคริลามิโนด์ใน sample blank ของข้าว คำนวณปริมาณอะคริลามิโนด์ที่ตรวจพบ ค่าเฉลี่ย (mean) และ ค่าเบี่ยงเบนมาตรฐาน (SD)

$$\text{สมการของกราฟมาตรฐาน } R_t = 1.11 R_c + -0.0135 \quad (r = 0.9999)$$

$$\text{Slope} = 1.11$$

$$\text{Intercept} = -0.0135$$

Sample	Wt (g)	IS (ng)	IS (ng/g)	Peak area m/z 72/55	Peak area m/z 75/58	Rr	Rc	Rc เฉลี่ย sample – Rc blank	Rc sample – Rc blank	AA (ng/g)
Blank_1 (no SPE)		400		24100	1880000	0.0128	0.0237	0.0236		
Blank_2 (no SPE)		400		22200	1980000	0.0112	0.0223			
Blank_3 (no SPE)		400		25000	1770000	0.0141	0.0249			
rice no. 1 (no SPE)	1.1161	400	358	30900	1390000	0.0222	0.0322		0.0086	3.08
rice no. 2 (no SPE)	1.0600	400	377	32900	1430000	0.0230	0.0329		0.0093	3.51
rice no. 3 (no SPE)	1.0604	400	377	47600	1590000	0.0299	0.0391		0.0155	5.84
rice no. 4 (no SPE)	1.0579	400	378	28900	1470000	0.0197	0.0299		0.0063	2.38
rice no. 5 (no SPE)	1.1108	400	360	26200	1270000	0.0206	0.0307		0.0071	2.56
rice no. 6 (no SPE)	1.0265	400	390	20500	1410000	0.0145	0.0253		0.0017	0.66
rice no. 7 (no SPE)	1.0368	400	386	36900	1530000	0.0241	0.0339		0.0103	3.98
rice no. 8 (no SPE)	1.0938	400	366	25800	1560000	0.0165	0.0271		0.0035	1.28
rice no. 9 (no SPE)	1.0314	400	388	24600	1460000	0.0168	0.0273		0.0037	1.44
rice no.10 (no SPE)	1.0023	400	399	35600	1400000	0.0254	0.0351		0.0115	4.59
										mean 2.93
										SD 1.61
										3SD 4.83
										10SD 16.1

สรุป

$$\text{LOD} = \text{mean} + 3\text{SD}$$

$$= 2.93 + 4.83 = 7.76 \text{ นาโนกรัมต่อกิโลกรัม หรือ } \text{ไมโครกรัมต่อกิโลกรัม (ppb)}$$

$$\text{estimated LOQ} = \text{mean} + 10\text{SD}$$

$$= 2.93 + 16.1 = 19.0 \text{ นาโนกรัมต่อกิโลกรัม หรือ } \text{ไมโครกรัมต่อกิโลกรัม (ppb)}$$

ก.1.2 ขีดจำกัดการวิเคราะห์ปริมาณ (LOQ) ของแม่ทริกซ์ข้าว

วิเคราะห์ปริมาณอะคริลาไมค์ในตัวอย่างที่เติมสารละลายน้ำตรฐานอะคริลาไมค์จำนวน 20 นาโนกรัม ในตัวอย่างข้าว 1 กรัม คำนวณปริมาณอะคริลาไมค์ที่ตรวจพบ เปอร์เซ็นต์คืนกลับ (%recovery) และค่าเบี่ยงเบนมาตรฐานสัมพัทธ์ (%RSD)

$$\text{สมการของกราฟมาตรฐาน } R_r = 1.03 R_c + -0.00378 \quad (r = 0.9997)$$

$$\text{Slope} = 1.03$$

$$\text{Intercept} = -0.00378$$

Sample	Wt (g)	IS (ng)	IS (ng/g)	Peak area m/z 72/55	Peak area m/z 75/58	Rr	Rc	Rc เฉลี่ย sample – Rc blank	Rc sample – Rc blank	AA (ng/g)	%Rec
Blank_1 (no SPE)		400		14300	1300000	0.0110	0.0143	0.0144			
Blank_2 (no SPE)		400		14900	1380000	0.0108	0.0142				
Blank_3 (no SPE)		400		20600	1690000	0.0122	0.0155				
Blank_4 (no SPE)		400		17400	1690000	0.0103	0.0137				
rice no.1	1.0176	400	393	14700	1070000	0.0137	0.0170		0.0026	1.02	
rice no.2	1.0504	400	381	12000	1290000	0.0093	0.0127		0.0000	0.00	
rice no. 3	1.0546	400	379	14100	1200000	0.0118	0.0151		0.0007	0.27	
								mean	0.43		
rice +std 20 ng no. 1 (no SPE)	1.0473	400	382	77700	1140000	0.0682	0.0698		0.0554	21.2	108.8
rice +std 20 ng no. 2 (no SPE)	1.0525	400	380	84800	1260000	0.0673	0.0690		0.0546	20.7	106.7
rice +std 20 ng no. 3 (no SPE)	1.0285	400	389	69800	1030000	0.0678	0.0695		0.0551	21.4	107.8
rice +std 20 ng no. 4 (no SPE)	1.0145	400	394	61900	1060000	0.0584	0.0604		0.0460	18.1	89.6
rice +std 20 ng no. 5 (no SPE)	1.0042	400	398	69000	1020000	0.0676	0.0693		0.0549	21.9	107.8
rice +std 20 ng no. 6 (no SPE)	1.0280	400	389	65400	1090000	0.0600	0.0619		0.0475	18.5	92.9
rice +std 20 ng no. 7 (no SPE)	1.0419	400	384	61900	1100000	0.0563	0.0583		0.0439	16.9	85.8
rice +std 20 ng no. 8 (no SPE)	1.0195	400	392	65100	1150000	0.0566	0.0586		0.0442	17.3	86.0
								mean	19.5	98.2	
								SD	2.0	10.5	
								%RSD	10.3	10.7	

สรุป เปอร์เซ็นต์คืนกลับและค่าเบี่ยงเบนมาตรฐานสัมพัทธ์อยู่ในเกณฑ์ยอมรับ (ภาคผนวก ฉบ.)

ดังนี้ LOQ อยู่ที่ระดับ 20.0 นาโนกรัมต่อกรัมหรือไมโครกรัมต่อกรัม (ppb)

ค.2 แม่ทริกซ์ข้าวโพด

ค.2.1 ขีดจำกัดการตรวจพบ (LOD) ของแม่ทริกซ์ข้าวโพด

วิเคราะห์ปริมาณอะคริลาไมด์ใน sample blank ของข้าวโพด คำนวณปริมาณอะคริลาไมด์ที่ตรวจพบ ค่าเฉลี่ย (mean) และ ค่าเบี่ยงเบนมาตรฐาน (SD)

$$\text{สมการของกราฟมาตรฐาน } R_f = 1.16 R_c + -0.0185 \quad (r = 0.9998)$$

$$\text{Slope} = 1.16$$

$$\text{Intercept} = -0.0185$$

Sample	Wt (g)	IS (ng)	IS (ng/g)	Peak area m/z 72/55	Peak area m/z 75/58	Rr	Rc	Rc เฉลี่ย	Rc sample – Rc blank	AA (ng/g)
Blank_1 (no SPE)		400		13200	811000	0.0163	0.0300	0.0249		
Blank_2 (no SPE)		400		7470	875000	0.0085	0.0233			
Blank_3 (no SPE)		400		6080	897000	0.0068	0.0218			
Blank_4 (no SPE)		400		9530	958000	0.0099	0.0245			
corn no. 1 (no SPE)	1.0856	400	368	16300	629000	0.0259	0.0383		0.0134	4.93
corn no. 2 (no SPE)	1.0372	400	386	10800	672000	0.0161	0.0298		0.0049	1.89
corn no. 3 (no SPE)	1.0862	400	368	7350	624000	0.0118	0.0261		0.0012	0.44
corn no. 4 (no SPE)	1.0086	400	397	10800	616000	0.0175	0.0311		0.0062	2.46
corn no. 5 (no SPE)	1.0103	400	396	13700	634000	0.0216	0.0346		0.0097	3.84
corn no. 6 (no SPE)	1.0048	400	398	3870	631000	0.0061	0.0212		0.0000	0.00
corn no. 7 (no SPE)	1.0298	400	388	8940	562000	0.0159	0.0297		0.0048	1.86
corn no. 8 (no SPE)	1.0490	400	381	5790	570000	0.0102	0.0247		0.0000	0.00
corn no. 9 (no SPE)	1.0849	400	369	5860	575000	0.0102	0.0247		0.0000	0.00
corn no. 10 (no SPE)	1.0521	400	380	13600	579000	0.0235	0.0362		0.0113	4.29
								mean	1.97	
								SD	1.88	
								3SD	5.64	
								10SD	18.8	

สรุป

$$\text{LOD} = \text{mean} + 3\text{SD}$$

$$= 1.97 + 5.64 = 7.61 \text{ นาโนกรัมต่อกรัม หรือ } \text{ไมโครกรัมต่อ mikroกรัม (ppb)}$$

$$\text{estimate LOQ} = \text{mean} + 10\text{SD}$$

$$= 1.97 + 18.8 = 20.8 \text{ นาโนกรัมต่อกรัม หรือ } \text{ไมโครกรัมต่อ mikroกรัม (ppb)}$$

ค.2.2 ขีดจำกัดการวิเคราะห์ปริมาณ (LOQ) ของแมทริกซ์ข้าวโพด

วิเคราะห์ปริมาณอะคริลาไมค์ในตัวอย่างที่เติมสารละลายน้ำตรฐานอะคริลาไมค์จำนวน 20 นาโนกรัม ในตัวอย่างข้าวโพด 1 กรัม คำนวณปริมาณอะคริลาไมค์ที่ตรวจพบ เปอร์เซ็นต์คืนกลับ (%recovery) และค่าเบี่ยงเบนมาตรฐานสัมพัทธ์ (%RSD)

$$\text{สมการของกราฟนำตรฐาน } R_f = 1.16R_c + - 0.0185 \quad (r = 0.9998)$$

$$\text{Slope} = 1.16$$

$$\text{Intercept} = -0.0185$$

Sample	Wt (g)	IS (ng)	IS (ng/g)	Peak area m/z 72/55	Peak area m/z 75/58	Rr	Rc	Rc เฉลี่ย sample – Rc blank	Rc sample – Rc blank	AA (ng/g)	%Rec
Blank_1 (no SPE)	400			13200	811000	0.0163	0.0300	0.0249			
Blank_2 (no SPE)	400			7470	875000	0.0085	0.0233				
Blank_3 (no SPE)	400			6080	897000	0.0068	0.0218				
Blank_4 (no SPE)	400			9530	958000	0.0099	0.0245				
corn no.1-10 (from LOD)								mean	1.97		
corn +std 20 ng no. 1 (no SPE)	1.0485	400	382	46100	593000	0.0777	0.0830		0.0581	22.2	106.1
corn +std 20 ng no. 2 (no SPE)	1.0422	400	384	39900	598000	0.0667	0.0735		0.0486	18.7	87.2
corn +std 20 ng no. 3 (no SPE)	1.0563	400	379	46700	595000	0.0785	0.0836		0.0587	22.2	106.8
corn +std 20 ng no. 4 (no SPE)	1.0372	400	386	41800	628000	0.0666	0.0733		0.0484	18.7	86.8
corn +std 20 ng no. 5 (no SPE)	1.0154	400	394	44700	643000	0.0695	0.0759		0.0510	20.1	92.0
corn +std 20 ng no. 6 (no SPE)	1.0101	400	396	43900	610000	0.0720	0.0780		0.0531	21.0	96.1
corn +std 20 ng no. 7 (no SPE)	1.0210	400	392	47300	599000	0.0790	0.0840		0.0591	23.2	108.4
								mean	20.9	97.6	
								SD	1.8	9.4	
								%RSD	8.6	9.6	

สรุป เปอร์เซ็นต์คืนกลับและค่าเบี่ยงเบนมาตรฐานสัมพัทธ์อยู่ในเกณฑ์ยอมรับ (ภาคผนวก ฉ.)

ดังนั้น LOQ อยู่ที่ระดับ 20.0 นาโนกรัมต่อกิโลกรัมหรือไมโครกรัมต่อกิโลกรัม (ppb)

ค.3 แม่ทริกซ์มันฝรั่ง

ค.3.1 ขีดจำกัดการตรวจพบ (LOD) ของแม่ทริกซ์มันฝรั่ง

วิเคราะห์ปริมาณอะคริลามิดใน sample blank ของมันฝรั่ง คำนวณปริมาณอะคริลามิดที่ตรวจพบ ค่าเฉลี่ย (mean) และ ค่าเบี่ยงเบนมาตรฐาน (SD)

$$\text{สมการของกราฟมาตรฐาน } R_r = 1.16 R_c + -0.0133 \quad (r = 0.9998)$$

$$\text{Slope} = 1.16$$

$$\text{Intercept} = -0.0133$$

Sample	Wt (g)	IS (ng)	IS (ng/g)	Peak area m/z 72/55	Peak area m/z 75/58	Rr	Rc	Rc ต่อสี่	Rc sample - Rc blank	AA (ng/g)
Blank_1 (no SPE)		400		16100	1290000	0.0125	0.0222	0.0211		
Blank_2 (no SPE)		400		8950	1140000	0.0079	0.0182			
Blank_3 (no SPE)		400		29800	1680000	0.0177	0.0268			
Blank_4 (no SPE)		400		10100	1550000	0.0065	0.0171			
potato no. 1 (no SPE)	1.0822	400	370	14600	940000	0.0155	0.0249		0.0038	1.41
potato no. 2 (no SPE)	1.0026	400	399	10600	832000	0.0127	0.0224		0.0013	0.52
potato no. 3 (no SPE)	1.1001	400	364	9000	826000	0.0109	0.0209		0.0000	0.00
potato no. 4 (no SPE)	1.1052	400	362	16400	795000	0.0206	0.0292		0.0081	2.93
potato no. 5 (no SPE)	1.0560	400	379	14200	802000	0.0177	0.0267		0.0056	2.12
potato no. 6 (no SPE)	1.1093	400	361	0	681000	0.0000	0.0115		0.0000	0.00
potato no. 7 (no SPE)	1.0248	400	390	15300	738000	0.0207	0.0293		0.0082	3.20
potato no. 8 (no SPE)	1.0989	400	364	19000	746000	0.0255	0.0334		0.0123	4.48
potato no. 9 (no SPE)	1.1712	400	342	6190	723000	0.0086	0.0188		0.0000	0.00
								mean	1.63	
								SD	1.65	
								3SD	4.95	
								10SD	16.5	

สรุป

$$\text{LOD} = \text{mean} + 3\text{SD}$$

$$= 1.63 + 4.95 = 6.58 \text{ นาโนกรัมต่อกรัม หรือ } \text{ไมโครกรัมต่อกิโลกรัม (ppb)}$$

$$\text{estimate LOQ} = \text{mean} + 10\text{SD}$$

$$= 1.63 + 16.5 = 18.1 \text{ นาโนกรัมต่อกรัม หรือ } \text{ไมโครกรัมต่อกิโลกรัม (ppb)}$$

ค.3.2 ขั้นตอนการวิเคราะห์ปริมาณ (LOQ) ของแมทริกซ์มันฝรั่ง

วิเคราะห์ปริมาณอะคริลาไมค์ในตัวอย่างที่เติมสารละลายน้ำตรารูานอะคริลาไมค์จำนวน 20 นาโนกรัม ในตัวอย่างมันฝรั่ง 1 กรัม คำนวณปริมาณอะคริลาไมค์ที่ตรวจพบ เปอร์เซ็นต์คืนกลับ (%recovery) และค่าเบี่ยงเบนมาตรฐานสัมพัทธ์ (%RSD)

$$\text{สมการของกราฟมาตรฐาน } R_r = 1.16R_c + -0.0133 \quad (r = 0.9998)$$

$$\text{Slope} = 1.16$$

$$\text{Intercept} = -0.0133$$

Sample	Wt (g)	IS (ng)	IS (ng/g)	Peak area m/z 72/55	Peak area m/z 75/58	Rr	Rc	Rc เฉลี่ย sample – Rc blank	Rc sample	AA (ng/g)	%Rec
Blank_1	400			16100	1290000	0.0125	0.0222	0.0212			
Blank_2	400			8950	1140000	0.0079	0.0182				
Blank_3	400			30400	1680000	0.0181	0.0271				
Blank_4	400			10100	1550000	0.0065	0.0171				
potato no.1-9 (from LOD)								mean	1.63		
potato +std 20 ng no. 1 (no SPE)	1.0327	400	387	48700	829000	0.0587	0.0621		0.0409	15.8	73.2
potato +std 20 ng no. 2 (no SPE)	1.0719	400	373	54700	879000	0.0622	0.0651		0.0439	16.4	79.2
potato +std 20 ng no. 3 (no SPE)	1.0167	400	393	53900	886000	0.0608	0.0639		0.0427	16.8	77.1
potato +std 20 ng no. 4 (no SPE)	1.0570	400	378	59300	829000	0.0715	0.0731		0.0519	19.6	95.0
potato +std 20 ng no. 5 (no SPE)	1.0574	400	378	55000	732000	0.0751	0.0762		0.0550	20.8	101.4
potato +std 20 ng no. 6 (no SPE)	1.0013	400	400	54600	778000	0.0702	0.0720		0.0508	20.3	93.5
potato +std 20 ng no. 7 (no SPE)	1.0399	400	385	53800	819000	0.0657	0.0681		0.0469	18.1	85.6
								mean	18.3	86.4	
								SD	2.0	10.5	
								%RSD	10.9	12.2	

สรุป เปอร์เซ็นต์คืนกลับและค่าเบี่ยงเบนมาตรฐานสัมพัทธ์อยู่ในเกณฑ์ยอมรับ (ภาคผนวก ฉ.)

ดังนั้น LOQ อยู่ที่ระดับ 20.0 นาโนกรัมต่อกรัมหรือไมโครกรัมต่อกรัม (ppb)

ค.4 แม่ทริกซ์ถัว

ค.4.1 ขีดจำกัดการตรวจพบ (LOD) ของแม่ทริกซ์ถัว

วิเคราะห์ปริมาณอะคริลาไมค์ใน sample blank ของถัว คำนวณปริมาณอะคริลาไมค์ที่ตรวจพบ ค่าเฉลี่ย (mean) และ ค่าเบี่ยงเบนมาตรฐาน (SD)

$$\text{สมการของกราฟมาตรฐาน } R_r = 1.11 R_c + - 0.023 \quad (r = 0.9996)$$

$$\text{Slope} = 1.11$$

$$\text{Intercept} = -0.023$$

Sample	Wt (g)	IS (ng)	IS (ng/g)	Peak area m/z 72/55	Peak area m/z 75/58	Rr	Rc	Rc เฉลี่ย	Rc sample – Rc blank	AA (ng/g)
Blank_1 (no SPE)		400		8570	1130000	0.0076	0.0276	0.0279		
Blank_2 (no SPE)		400		10700	1160000	0.0092	0.0290			
Blank_3 (no SPE)		400		8950	1260000	0.0071	0.0271			
peanut no. 1 (no SPE)	1.0553	400	379	44500	1780000	0.0250	0.0432		0.0153	5.80
peanut no. 2 (no SPE)	1.0313	400	388	31100	1320000	0.0236	0.0419		0.0140	5.43
peanut no. 3 (no SPE)	1.0208	400	392	7030	498000	0.0141	0.0334		0.0055	2.16
peanut no. 4 (no SPE)	1.0717	400	373	15400	591000	0.0261	0.0442		0.0163	6.08
peanut no. 5 (no SPE)	1.0680	400	375	22300	534000	0.0418	0.0583		0.0304	11.4
peanut no. 6 (no SPE)	1.0300	400	388	12400	537000	0.0231	0.0415		0.0136	5.28
peanut no. 7 (no SPE)	1.0242	400	391	15600	565000	0.0276	0.0456		0.0177	6.92
peanut no. 8 (no SPE)	1.0248	400	390	10200	555000	0.0184	0.0373		0.0094	3.67
peanut no. 9 (no SPE)	1.0812	400	370	18800	585000	0.0321	0.0497		0.0218	8.07
peanut no. 10 (no SPE)	1.0246	400	390	10100	546000	0.0185	0.0374		0.0095	3.71
								mean	5.85	
								SD	2.59	
								3SD	7.77	
								10SD	25.9	

สรุป

$$\text{LOD} = \text{mean} + 3\text{SD}$$

$$= 5.85 + 7.77 = 13.62 \text{ นาโนกรัมต่อกิโลกรัม หรือ } \text{ไมโครกรัมต่อกิโลกรัม (ppb)}$$

$$\text{estimated LOQ} = \text{mean} + 10\text{SD}$$

$$= 5.85 + 25.9 = 31.8 \text{ นาโนกรัมต่อกิโลกรัม หรือ } \text{ไมโครกรัมต่อกิโลกรัม (ppb)}$$

ค.4.2 ขั้นตอนการวิเคราะห์ปริมาณ (LOQ) ของแมทริกซ์ถัว

วิเคราะห์ปริมาณอะคริลามีนค์ในตัวอย่างที่เติมสารละลายน้ำตรารูานอะคริลามีนค์จำนวน 30 นาโนกรัม ในตัวอย่างถัว 1 กรัม คำนวณปริมาณอะคริลามีนค์ที่ตรวจพบ เปอร์เซ็นต์คืนกลับ (%recovery) และค่าเบี่ยงเบนมาตรฐานสัมพัทธ์ (%RSD)

$$\text{สมการของกราฟมาตรฐาน } R_r = 1.12 R_c + -0.0181 \quad (r = 0.9998)$$

$$\text{Slope} = 1.12$$

$$\text{Intercept} = -0.0181$$

Sample	Wt (g)	IS (ng)	IS (ng/g)	Peak area m/z 72/55	Peak area m/z 75/58	Rr	Rc	Rc sample – Rc blank	AA (ng/g)	%Rec
Blank_1 (no SPE)		400		8990	1340000	0.0067	0.0224			
peanut no. 1 (no SPE)	1.0260	400	390	37800	1530000	0.0247	0.0386	0.0162	6.32	
peanut no. 2 (no SPE)	1.0690	400	374	32800	1020000	0.0322	0.0453	0.0229	8.56	
peanut no. 3 (no SPE)	1.0334	400	387	28800	1100000	0.0262	0.0399	0.0175	6.77	
								mean	7.22	
peanut +std 30 ng no. 1 (no SPE)	1.0688	400	374	108000	954000	0.1132	0.1183	0.0959	35.9	102.2
peanut +std 30 ng no. 2 (no SPE)	1.0581	400	378	101000	960000	0.1052	0.1111	0.0887	33.5	92.7
peanut +std 30 ng no. 3 (no SPE)	1.0110	400	396	101000	977000	0.1034	0.1094	0.0870	34.5	91.9
peanut +std 30 ng no. 4 (no SPE)	1.0134	400	395	99300	901000	0.1102	0.1156	0.0932	36.8	99.9
peanut +std 30 ng no. 5 (no SPE)	1.0174	400	393	94900	820000	0.1157	0.1206	0.0982	38.6	106.4
peanut +std 30 ng no. 6 (no SPE)	1.0221	400	391	115000	995000	0.1156	0.1204	0.0980	38.3	105.9
peanut +std 30 ng no. 7 (no SPE)	1.0396	400	385	95100	845000	0.1125	0.1177	0.0953	36.7	102.1
peanut +std 30 ng no. 8 (no SPE)	1.0423	400	384	93500	790000	0.1184	0.1229	0.1005	38.6	109.0
								mean	36.6	101.3
								SD	1.9	6.2
								%RSD	5.2	6.1

สรุป เปอร์เซ็นต์คืนกลับและค่าเบี่ยงเบนมาตรฐานสัมพัทธ์อยู่ในเกณฑ์ยอมรับ (ภาคผนวก ฉ.)
ดังนั้น LOQ อยู่ที่ระดับ 30.0 นาโนกรัมต่อกิโลกรัมหรือไมโครกรัมต่อกิโลกรัม (ppb)

ค.5 แม่ทริกซ์ผลไม้

ค.5.1 ขีดจำกัดการตรวจพบ (LOD) ของแม่ทริกซ์ผลไม้

วิเคราะห์ปริมาณอะคริลาไมด์ใน sample blank ของกลุ่ย คำนวณปริมาณอะคริลาไมด์ที่ตรวจพบ ค่าเฉลี่ย (mean) และ ค่าเบี่ยงเบนมาตรฐาน (SD)

$$\text{สมการของกราฟมาตรฐาน } R_r = 1.11 R_c + 0.000271 \quad (r = 0.9997)$$

$$\text{Slope} = 1.11$$

$$\text{Intercept} = 0.000271$$

Sample	Wt (g)	IS (ng)	IS (ng/g)	Peak area m/z 72/55	Peak area m/z 75/58	Rr	Rc	Rc เฉลี่ย	Rc sample – Rc blank	AA (ng/g)
Blank_1 (no SPE)		400		8530	1390000	0.0061	0.0053	0.0058		
Blank_2 (no SPE)		400		8070	1330000	0.0061	0.0052			
Blank_3 (no SPE)		400		13800	1760000	0.0078	0.0068			
banana no. 1 (no SPE)	1.0378	400	385	6180	1200000	0.0052	0.0044		0.0000	0.00
banana no. 2 (no SPE)	1.0688	400	374	7820	949000	0.0082	0.0072		0.0014	0.52
banana no. 3 (no SPE)	1.0229	400	391	3000	1100000	0.0027	0.0022		0.0000	0.00
banana no. 4 (no SPE)	1.0782	400	371	7750	1240000	0.0063	0.0054		0.0000	0.00
banana no. 5 (no SPE)	1.0663	400	375	13000	1310000	0.0099	0.0087		0.0029	1.09
banana no. 6 (no SPE)	1.0473	400	382	8240	1290000	0.0064	0.0055		0.0000	0.00
banana no. 7 (no SPE)	1.0710	400	374	3840	864000	0.0044	0.0038		0.0000	0.00
banana no. 8 (no SPE)	1.0449	400	383	8400	1350000	0.0062	0.0054		0.0000	0.00
banana no. 9 (no SPE)	1.0734	400	373	4460	932000	0.0048	0.0041		0.0000	0.00
banana no. 10 (no SPE)	1.0368	400	386	5030	1010000	0.0050	0.0042		0.0000	0.00
								mean	0.16	
								SD	0.37	
								3SD	1.11	
								10SD	3.70	

สรุป

$$\text{LOD} = \text{mean} + 3\text{SD}$$

$$= 0.16 + 1.11 = 1.27 \text{ นาโนกรัมต่อกรัม หรือ } \text{ไมโครกรัมต่อกิโลกรัม (ppb)}$$

$$\text{estimated LOQ} = \text{mean} + 10\text{SD}$$

$$= 0.16 + 3.70 = 3.86 \text{ นาโนกรัมต่อกรัม หรือ } \text{ไมโครกรัมต่อกิโลกรัม (ppb)}$$

ค.5.2 ขั้นตอนการวิเคราะห์ปริมาณ (LOQ) ของแมทริกซ์ผลไม้

วิเคราะห์ปริมาณอะคริลาไมค์ในตัวอย่างที่เติมสารละลายน้ำตรฐานอะคริลาไมค์จำนวน 20 นาโนกรัม ในตัวอย่างกลีบ 1 กรัม คำนวณปริมาณอะคริลาไมค์ที่ตรวจพบ เปอร์เซ็นต์คืนกลับ (%recovery) และค่าเบี่ยงเบนมาตรฐานสัมพัทธ์ (%RSD)

$$\text{สมการของกราฟมาตรฐาน } R_r = 1.11R_c + 0.000271 \quad (r = 0.9997)$$

$$\text{Slope} = 1.11$$

$$\text{Intercept} = 0.000271$$

Sample	Wt (g)	IS (ng)	IS (ng/g)	Peak area m/z 72/55	Peak area m/z 75/58	Rr	Rc	Rc เฉลี่ย sample – Rc blank	Rc sample	AA (ng/g)	%Rec
Blank_1		400		8530	1390000	0.0061	0.0053	0.0058			
Blank_2		400		8070	1330000	0.0061	0.0052				
Blank_3		400		13800	1760000	0.0078	0.0068				
banana no.1-10 (from LOD)									mean	0.16	
banana +std 20 ng no. 1 (no SPE)	1.0838	400	369	58100	1030000	0.0564	0.0506		0.0448	16.5	88.5
banana +std 20 ng no. 2 (no SPE)	1.0632	400	376	52100	953000	0.0547	0.0490		0.0432	16.2	85.3
banana +std 20 ng no. 3 (no SPE)	1.0053	400	398	56900	1010000	0.0563	0.0505		0.0447	17.8	88.7
banana +std 20 ng no. 4 (no SPE)	1.0080	400	397	52400	1010000	0.0519	0.0465		0.0407	16.2	80.8
banana +std 20 ng no. 5 (no SPE)	1.0595	400	378	60700	975000	0.0623	0.0558		0.0500	18.9	99.3
banana +std 20 ng no. 6 (no SPE)	1.0319	400	388	59000	1070000	0.0551	0.0494		0.0436	16.9	86.4
banana +std 20 ng no. 7 (no SPE)	1.0045	400	398	59400	993000	0.0598	0.0536		0.0478	19.0	94.6
banana +std 20 ng no. 8 (no SPE)	1.0247	400	390	58100	1010000	0.0575	0.0516		0.0458	17.9	90.9
banana +std 20 ng no. 9 (no SPE)	1.0506	400	381	49300	1020000	0.0483	0.0433		0.0375	14.3	74.3
banana +std 20 ng no. 10 (no SPE)	1.0555	400	379	55300	987000	0.0560	0.0502		0.0444	16.8	87.8
									mean	17.0	87.7
									SD	1.4	6.9
									%RSD	8.2	7.9

สรุป เปอร์เซ็นต์คืนกลับและค่าเบี่ยงเบนมาตรฐานสัมพัทธ์อยู่ในเกณฑ์ยอมรับ (ภาคผนวก ฉ.)

ดังนั้น LOQ อยู่ที่ระดับ 20.0 นาโนกรัมต่อกรัมหรือไมโครกรัมต่อกิโลกรัม (ppb)

ค.6 แม่ทริกซ์ขนมปัง

ค.6.1 ขีดจำกัดการตรวจพบ (LOD) ของแม่ทริกซ์ขนมปัง

วิเคราะห์ปริมาณองค์คริลาไมด์ใน sample blank ของขนมปัง คำนวณปริมาณองค์คริลาไมด์ที่ตรวจพบ ค่าเฉลี่ย (mean) และ ค่าเบี่ยงเบนมาตรฐาน (SD)

$$\text{สมการของกราฟมาตรฐาน } R_r = 1.12 R_c + -0.00181 \quad (r = 0.9998)$$

$$\text{Slope} = 1.12$$

$$\text{Intercept} = -0.00181$$

Sample	Wt (g)	IS (ng)	IS (ng/g)	Peak area m/z 72/55	Peak area m/z 75/58	Rr	Rc	Rc sample – Rc blank	AA (ng/g)
Blank_1 (no SPE)		400		8990	1340000	0.0067	0.0222		
bread no. 1 (no SPE)	1.0800	400	370	13800	814000	0.0170	0.0313	0.0091	3.37
bread no. 2 (no SPE)	1.0460	400	382	9590	809000	0.0119	0.0267	0.0045	1.72
bread no. 3 (no SPE)	1.0323	400	388	6600	820000	0.0080	0.0233	0.0011	0.43
bread no. 4 (no SPE)	1.0722	400	373	9580	813000	0.0118	0.0267	0.0045	1.68
bread no. 5 (no SPE)	1.0331	400	387	10300	831000	0.0124	0.0272	0.0050	1.94
bread no. 6 (no SPE)	1.0080	400	397	11100	991000	0.0112	0.0262	0.0040	1.59
bread no. 7 (no SPE)	1.0649	400	376	17100	847000	0.0202	0.0342	0.0120	4.51
bread no. 8 (no SPE)	1.0507	400	381	10100	817000	0.0124	0.0272	0.0050	1.91
bread no. 9 (no SPE)	1.0385	400	385	12800	763000	0.0168	0.0311	0.0089	3.43
bread no. 10 (no SPE)	1.0719	400	373	11100	791000	0.0140	0.0287	0.0065	2.42
								mean	2.30
								SD	1.17
								3SD	3.51
								10SD	11.7

สรุป

$$\text{LOD} = \text{mean} + 3\text{SD}$$

$$= 2.30 + 3.51 = 5.81 \text{ นาโนกรัมต่อกรัม หรือ } \text{ไมโครกรัมต่อกิโลกรัม (ppb)}$$

$$\text{estimated LOQ} = \text{mean} + 10\text{SD}$$

$$= 2.30 + 11.7 = 14.0 \text{ นาโนกรัมต่อกรัม หรือ } \text{ไมโครกรัมต่อกิโลกรัม (ppb)}$$

ค.6.2 ปั๊กัดการวิเคราะห์ปริมาณ (LOQ) ของแมทริกซ์ข้นปัง

วิเคราะห์ปริมาณอะคริลาไมค์ในตัวอย่างที่เติมสารละลายน้ำตรฐานอะคริลาไมค์จำนวน 20 นาโนกรัม ในตัวอย่างข้นปัง 1 กรัม คำนวณปริมาณอะคริลาไมค์ที่ตรวจพบ เปอร์เซ็นต์คืนกลับ (%recovery) และค่าเบี่ยงเบนมาตรฐานสัมพัทธ์ (%RSD)

$$\text{สมการของกราฟมาตรฐาน } R_r = 1.02R_c + 0.0134 \quad (r = 0.9993)$$

Slope = 1.02

Intercept = 0.0134

Sample	Wt (g)	IS (ng)	IS (ng/g)	Peak area m/z 72/55	Peak area m/z 75/58	Rr	Rc	Rc เฉลี่ย sample – Rc blank	Rc sample – Rc blank	AA (ng/g)	%Rec
Blank_1 (no SPE)		400		18900	1500000	0.0126	0.0000	0.0000			
Blank_2 (no SPE)		400		16400	1570000	0.0104	0.0000				
Blank_3 (no SPE)		400		8500	1940000	0.0044	0.0000				
Blank_4 (no SPE)		400		11100	1520000	0.0073	0.0000				
bread no. 1 (no SPE)	1.0189	400	393	23200	1720000	0.0135	0.0001		0.0001	0.04	
bread no. 2 (no SPE)	1.0057	400	398	19500	988000	0.0197	0.0062		0.0062	2.47	
bread no. 3 (no SPE)	1.0671	400	375	10800	1020000	0.0106	0.0000		0.0000	0.00	
bread no. 4 (no SPE)	1.0016	400	399	12300	924000	0.0133	0.0000		0.0000	0.00	
									mean	0.63	
bread +std 20 ng no. 1 (no SPE)	1.0366	400	386	76800	1180000	0.0651	0.0507		0.0507	19.6	98.3
bread +std 20 ng no. 2 (no SPE)	1.0433	400	383	48100	844000	0.0570	0.0427		0.0427	16.4	82.3
bread +std 20 ng no. 3 (no SPE)	1.0261	400	390	55900	884000	0.0632	0.0489		0.0489	19.1	94.8
bread +std 20 ng no. 4 (no SPE)	1.0094	400	396	46700	862000	0.0542	0.0400		0.0400	15.8	76.6
bread +std 20 ng no. 5 (no SPE)	1.0402	400	385	50000	850000	0.0588	0.0445		0.0445	17.1	85.7
bread +std 20 ng no. 6 (no SPE)	1.0323	400	388	55800	911000	0.0613	0.0469		0.0469	18.2	90.7
bread +std 20 ng no. 7 (no SPE)	1.0715	400	373	49100	851000	0.0577	0.0434		0.0434	16.2	83.4
bread +std 20 ng no. 8 (no SPE)	1.0846	400	369	49700	844000	0.0589	0.0446		0.0446	16.5	86.1
bread +std 20 ng no. 9 (no SPE)	1.0778	400	371	49700	858000	0.0579	0.0437		0.0437	16.2	83.9
									mean	17.2	86.9
									SD	1.4	6.7
									%RSD	8.1	7.7

สรุป เปอร์เซ็นต์คืนกลับและค่าเบี่ยงเบนมาตรฐานสัมพัทธ์อยู่ในเกณฑ์ยอมรับ (ภาคผนวก ฉ.)

ดังนั้น LOQ อยู่ที่ระดับ 20.0 นาโนกรัมต่อกรัมหรือไมโครกรัมต่อกิโลกรัม (ppb)

ค.7 แม่ทริกซ์กาแฟ

ค.7.1 ขีดจำกัดการตรวจพบ (LOD) ของแม่ทริกซ์กาแฟ

วิเคราะห์ปริมาณอะคริลาไมด์ใน sample blank ของแม่ทริกซ์กาแฟ คำนวณปริมาณอะคริลาไมด์ที่ตรวจพบ ค่าเฉลี่ย (mean) และ ค่าเบี่ยงเบนมาตรฐาน (SD)

$$\text{สมการของกราฟมาตรฐาน } R_r = 1.01 R_c + 0.0165 \quad (r = 0.9998)$$

$$\text{Slope} = 1.01$$

$$\text{Intercept} = 0.0165$$

Sample	Wt (g)	IS (ng)	IS (ng/g)	Peak area m/z 72/55	Peak area m/z 75/58	Rr	Rc	Rc เฉลี่ย	Rc sample – Rc blank	AA (ng/g)
Blank_1 (SPE_MCX)		400		2920	731000	0.0040	0.0000	0.0000		
Blank_2 (SPE_MCX)		400		5180	728000	0.0071	0.0000			
Blank_3 (SPE_MCX)		400		4960	404000	0.0123	0.0000			
coffee no. 1 (SPE_MCX)	1.0085	400	397	14900	651000	0.0229	0.0063		0.0063	2.50
coffee no. 2 (SPE_MCX)	1.0081	400	397	16600	651000	0.0255	0.0089		0.0089	3.53
coffee no. 3 (SPE_MCX)	1.0049	400	398	11600	547000	0.0212	0.0047		0.0047	1.87
coffee no. 4 (SPE_MCX)	1.0000	400	400	5190	539000	0.0096	0.0000		0.0000	0.00
coffee no. 5 (SPE_MCX)	1.0086	400	397	14600	543000	0.0269	0.0103		0.0103	4.09
coffee no. 6 (SPE_MCX)	1.0042	400	398	6840	522000	0.0131	0.0000		0.0000	0.00
coffee no. 7 (SPE_MCX)	1.0022	400	399	6920	521000	0.0133	0.0000		0.0000	0.00
								mean	1.71	
								SD	1.75	
								3SD	5.25	
								10SD	17.5	

สรุป

$$\text{LOD} = \text{mean} + 3\text{SD}$$

$$= 1.71 + 5.25 = 6.96 \text{ นาโนกรัมต่อกรัม หรือ } \text{ไมโครกรัมต่อกิโลกรัม (ppb)}$$

$$\text{estimated LOQ} = \text{mean} + 10\text{SD}$$

$$= 1.71 + 17.5 = 19.2 \text{ นาโนกรัมต่อกรัม หรือ } \text{ไมโครกรัมต่อกิโลกรัม (ppb)}$$

ค.7.2 ขั้นจำากัดการวิเคราะห์ปริมาณ (LOQ) ของแมทริกซ์กาแฟ

วิเคราะห์ปริมาณอะคริลาไมค์ในตัวอย่างที่เติมสารละลายน้ำมาตรฐานอะคริลาไมค์จำนวน 20 นาโนกรัม ในตัวอย่างเมล็ดกาแฟบด 1 กรัม คำนวณปริมาณอะคริลาไมค์ที่ตรวจพบ เปอร์เซ็นต์คืนกลับ (%recovery) และค่าเบี่ยงเบนมาตรฐานสัมพัทธ์ (%RSD)

$$\text{สมการของกราฟมาตรฐาน } R_r = 1.01R_c + 0.0165 \quad (r = 0.9998)$$

Slope = 1.01

Intercept = 0.0165

Sample	Wt (g)	IS (ng)	IS (ng/g)	Peak area m/z 72/55	Peak area m/z 75/58	Rr	Rc	Rc เฉลี่ย sample – Rc blank	Rc sample	AA (ng/g)	%Rec
Blank_1		400		2920	731000	0.0040	0.0000	0.0000			
Blank_2		400		5180	728000	0.0071	0.0000				
Blank_3		400		4960	404000	0.0123	0.0000				
coffee no.1-7 (from LOD)										mean	1.71
coffee +std 20 ng no. 1 (SPE_MCX)	1.0027	400	399	33800	573000	0.0590	0.0421		0.0421	16.8	75.7
coffee +std 20 ng no. 2 (SPE_MCX)	1.0070	400	397	37800	550000	0.0687	0.0517		0.0517	20.5	94.6
coffee +std 20 ng no. 3 (SPE_MCX)	1.0002	400	400	17600	290000	0.0607	0.0438		0.0438	17.5	79.0
coffee +std 20 ng no. 4 (SPE_MCX)	1.0093	400	396	39900	654000	0.0610	0.0441		0.0441	17.5	79.7
coffee +std 20 ng no. 5 (SPE_MCX)	1.0006	400	400	40500	677000	0.0598	0.0429		0.0429	17.2	77.5
coffee +std 20 ng no. 6 (SPE_MCX)	1.0006	400	400	46400	648000	0.0716	0.0546		0.0546	21.8	100.5
coffee +std 20 ng no. 7 (SPE_MCX)	1.0099	400	396	44400	680000	0.0653	0.0483		0.0483	19.1	87.8
										mean	18.6
										SD	1.9
										%RSD	10.2
											11.2

สรุป เปอร์เซ็นต์คืนกลับและค่าเบี่ยงเบนมาตรฐานสัมพัทธ์อยู่ในเกณฑ์ยอมรับ (ภาคผนวก ฉ.)

ดังนั้น LOQ อยู่ที่ระดับ 20.0 นาโนกรัมต่อกรัมหรือไมโครกรัมต่อกิโลกรัม (ppb)

ภาคผนวก ง.
คำนวณปริมาณอะคริลามีด์ของแต่ละแมทริกซ์ที่
ระดับความเข้มข้นต่างๆ

ง.1 แมทริกซ์ข้าว

ง.1.1 วิเคราะห์ปริมาณอะคริลามีด์ของแมทริกซ์ข้าวที่ระดับความเข้มข้น 400 ไมโครกรัมต่อกิโลกรัม
 วิเคราะห์ปริมาณอะคริลามีด์ในตัวอย่างที่เติมสารละลายมาตราฐานอะคริลามีด์จำนวน 400 นาโนกรัม ในตัวอย่างข้าว 1 กรัม คำนวณปริมาณอะคริลามีด์ที่ตรวจพบ เปอร์เซ็นต์คืนกลับ (%recovery) และค่าเบี่ยงเบนมาตรฐานสัมพัทธ์ (%RSD)

$$\text{สมการของกราฟมาตรฐาน } R_r = 1.03 R_c + -0.00378 \quad (r = 0.9997)$$

$$\text{Slope} = 1.03, \text{ Intercept} = -0.00378$$

Sample	Wt (g)	IS (ng)	IS (ng/g)	Peak area m/z 72/55	Peak area m/z 75/58	Rr	Rc	Rc เฉลี่ย	Rc sample – Rc blank	AA (ng/g)	%Rec
Blank_1 (no SPE)		400		14300	1300000	0.0110	0.0143	0.0144			
Blank_2 (no SPE)		400		14900	1380000	0.0108	0.0142				
Blank_3 (no SPE)		400		20600	1690000	0.0122	0.0155				
Blank_4 (no SPE)		400		17400	1690000	0.0103	0.0137				
rice no.1 (no_SPE)	1.0176	400	393	14700	1070000	0.0137	0.0170		0.0026	1.02	
rice no.2 (no_SPE)	1.0504	400	381	12000	1290000	0.0093	0.0127		0.0000	0.00	
rice no. 3 (no_SPE)	1.0546	400	379	14100	1200000	0.0118	0.0151		0.0007	0.27	
								mean	0.43		
rice +std 400 ng no. 1	1.0136	400	395	970000	938000	1.0341	1.0077		0.9933	392	99.2
rice +std 400 ng no. 2	1.0317	400	388	981000	959000	1.0229	0.9968		0.9824	381	98.2
rice +std 400 ng no. 3	1.0196	400	392	854000	844000	1.0118	0.9860		0.9716	381	97.0
rice +std 400 ng no. 4	1.0009	400	400	878000	841000	1.0440	1.0173		1.0029	401	100.2
rice +std 400 ng no. 5	1.0225	400	391	911000	904000	1.0077	0.9821		0.9677	378	96.5
rice +std 400 ng no. 6	1.0416	400	384	1140000	1150000	0.9913	0.9661		0.9517	366	95.2
rice +std 400 ng no. 7	1.0476	400	382	1160000	1210000	0.9587	0.9344		0.9200	351	91.8
rice +std 400 ng no. 8	1.0304	400	388	1010000	1010000	1.0000	0.9745		0.9601	373	96.0
rice +std 400 ng no. 9	1.0120	400	395	1050000	1040000	1.0096	0.9839		0.9695	383	96.8
rice +std 400 ng no. 10	1.0118	400	395	1010000	1020000	0.9902	0.9650		0.9506	375	94.7
								mean	378	96.6	
								SD	14	2.4	
								%RSD	3.7	2.5	

สรุป เปอร์เซ็นต์คืนกลับและค่าเบี่ยงเบนมาตรฐานสัมพัทธ์อยู่ในเกณฑ์ยอมรับ (ภาคผนวก ฉ.)

4.1.2 วิเคราะห์ปริมาณอะคริลามีนด้วยแม่ทริกซ์ข้าวที่ระดับความเข้มข้น 800 ไมโครกรัมต่อโลกรัม

วิเคราะห์ปริมาณอะคริลามีนด้วยแม่ทริกซ์ข้าวที่ระดับความเข้มข้น 800 ไมโครกรัม ในตัวอย่างที่เติมสารละลายมาตรฐานอะคริลามีนจำนวน 800 นาโนกรัม ในตัวอย่างข้าว 1 กรัม คำนวณปริมาณอะคริลามีนที่ตรวจพบ เปอร์เซ็นต์คืนกลับ (%recovery) และค่าเบี่ยงเบนมาตรฐานสัมพัทธ์ (%RSD)

$$\text{สมการของกราฟมาตรฐาน } R_f = 1.03 R_c + - 0.00378 \quad (r = 0.9997)$$

$$\text{Slope} = 1.03$$

$$\text{Intercept} = -0.00378$$

Sample	Wt (g)	IS (ng)	IS (ng/g)	Peak area m/z 72/55	Peak area m/z 75/58	Rr	Rc	Rc $\frac{\text{เฉลี่ย}}{\text{ตัวอย่าง}}$	Rc sample – Rc blank	AA (ng/g)	%Rec
Blank_1 (no SPE)		400		14300	1300000	0.0110	0.0143	0.0144			
Blank_2 (no SPE)		400		14900	1380000	0.0108	0.0142				
Blank_3 (no SPE)		400		20600	1690000	0.0122	0.0155				
Blank_4 (no SPE)		400		17400	1690000	0.0103	0.0137				
rice no.1 (no_SPE)	1.0176	400	393	14700	1070000	0.0137	0.0170		0.0026	1.02	
rice no.2 (no_SPE)	1.0504	400	381	12000	1290000	0.0093	0.0127		0.0000	0.00	
rice no. 3 (no_SPE)	1.0546	400	379	14100	1200000	0.0118	0.0151		0.0007	0.27	
									mean	0.43	
rice +std 800 ng no. 1	1.0001	400	400	2360000	1170000	2.0171	1.9620		1.9476	779	97.3
rice +std 800 ng no. 2	1.0555	400	379	2390000	1220000	1.9590	1.9056		1.8912	717	94.5
rice +std 800 ng no. 3	1.0102	400	396	1900000	956000	1.9874	1.9332		1.9188	760	95.9
rice +std 800 ng no. 4	1.0081	400	397	1800000	894000	2.0134	1.9584		1.9440	772	97.2
rice +std 800 ng no. 5	1.0219	400	391	1960000	980000	2.0000	1.9454		1.9310	755	96.4
rice +std 800 ng no. 6	1.0537	400	380	2210000	1060000	2.0849	2.0279		2.0135	765	100.7
rice +std 800 ng no. 7	1.0101	400	396	2390000	1180000	2.0254	1.9701		1.9557	774	97.7
rice +std 800 ng no. 8	1.0210	400	392	1700000	840000	2.0238	1.9685		1.9541	766	97.7
rice +std 800 ng no. 9	1.0669	400	375	1890000	921000	2.0521	1.9960		1.9816	743	99.0
rice +std 800 ng no. 10	1.0262	400	390	1720000	827000	2.0798	2.0229		2.0085	783	100.4
									mean	761	97.7
									SD	20	1.9
									%RSD	2.6	1.9

สรุป เปอร์เซ็นต์คืนกลับและค่าเบี่ยงเบนมาตรฐานสัมพัทธ์อยู่ในเกณฑ์ยอมรับ (ภาคผนวก ฉ.)

4.2 แม่ทริกซ์ข้าวโพด

4.2.1 วิเคราะห์ปริมาณอะคริลาไมด์ของแม่ทริกซ์ข้าวโพดที่ระดับความเข้มข้น 400 ไมโครกรัมต่อกรัม

วิเคราะห์ปริมาณอะคริลาไมด์ในตัวอย่างที่เติมสารละลายน้ำตรฐานอะคริลาไมด์จำนวน 400 นาโนกรัม ในตัวอย่างข้าวโพด 1 กรัม คำนวณปริมาณอะคริลาไมด์ที่ตรวจพบ เปอร์เซ็นต์คืนกลับ (%recovery) และค่าเบี่ยงเบนมาตรฐานสัมพัทธ์ (%RSD)

$$\text{สมการของกราฟมาตรฐาน } R_r = 1.16R_c + -0.0185 \quad (r = 0.9998)$$

$$\text{Slope} = 1.16, \text{ Intercept} = -0.0185$$

Sample	Wt (g)	IS (ng)	IS (ng/g)	Peak area m/z 72/55	Peak area m/z 75/58	Rr	Rc	Rc เฉลี่ย	Rc sample – Rc blank	AA (ng/g)	%Rec
Blank_1 (no SPE)		400		13200	811000	0.0163	0.0300	0.0249			
Blank_2 (no SPE)		400		7470	875000	0.0085	0.0233				
Blank_3 (no SPE)		400		6080	897000	0.0068	0.0218				
Blank_4 (no SPE)		400		9530	958000	0.0099	0.0245				
corn no.1-10 (from LOD)								mean	1.97		
corn +std 400 ng no. 1 (no SPE)	1.0043	400	398	757000	653000	1.1593	1.0153		0.9904	394	98.4
corn +std 400 ng no. 2 (no SPE)	1.0148	400	394	661000	583000	1.1338	0.9934		0.9685	382	96.4
corn +std 400 ng no. 3 (no SPE)	1.0106	400	396	714000	644000	1.1087	0.9717		0.9468	375	94.2
corn +std 400 ng no. 4 (no SPE)	1.0186	400	393	729000	647000	1.1267	0.9873		0.9624	378	95.8
corn +std 400 ng no. 5 (no SPE)	1.0118	400	395	717000	638000	1.1238	0.9848		0.9599	379	95.4
corn +std 400 ng no. 6 (no SPE)	1.0160	400	394	754000	691000	1.0912	0.9566		0.9317	367	92.7
corn +std 400 ng no. 7 (no SPE)	1.0158	400	394	735000	669000	1.0987	0.9631		0.9382	370	93.5
corn +std 400 ng no. 8 (no SPE)	1.0527	400	380	719000	647000	1.1113	0.9740		0.9491	361	94.5
corn +std 400 ng no. 9 (no SPE)	1.0617	400	377	771000	642000	1.2009	1.0512		1.0263	387	102.2
corn +std 400 ng no. 10 (no SPE)	1.0557	400	379	742000	661000	1.1225	0.9837		0.9588	363	95.3
								mean	376	95.8	
								SD	11	2.7	
								%RSD	2.9	2.8	

สรุป เปอร์เซ็นต์คืนกลับและค่าเบี่ยงเบนมาตรฐานสัมพัทธ์อยู่ในเกณฑ์ยอมรับ (ภาคผนวก ฉ.)

4.2.2 วิเคราะห์ปริมาณอะคริลามีนด้วยแม่ทริกซ์ข้าวโพดที่ระดับความเข้มข้น 800 ไมโครกรัมต่อกิโลกรัม

วิเคราะห์ปริมาณอะคริลามีนด้วยแม่ทริกซ์ข้าวโพดที่ระดับความเข้มข้น 800 นาโนกรัม ในตัวอย่างที่เติมสารละลายน้ำตรฐานอะคริลามีนด้วยจำนวน 800 นาโนกรัม ในตัวอย่างข้าวโพด 1 กรัม คำนวณปริมาณอะคริลามีนด้วยการหารส่วนของค่าปริมาณในตัวอย่างที่เติมสารละลายน้ำต่อค่าปริมาณในตัวอย่างที่ไม่เติมสารละลายน้ำ

$$\text{สมการของกราฟมาตรฐาน } R_f = 1.16R_c + -0.0185 \quad (r = 0.9998)$$

Slope = 1.16

Intercept = -0.0185

Sample	Wt (g)	IS (ng)	IS (ng/g)	Peak area m/z 72/55	Peak area m/z 75/58	Rr	Rc	Rc เฉลี่ย sample – Rc blank	Rc sample (ng/g)	AA (ng/g)	%Rec
Blank_1 (no SPE)	400			13200	811000	0.0163	0.0300	0.0249			
Blank_2 (no SPE)	400			7470	875000	0.0085	0.0233				
Blank_3 (no SPE)	400			6080	897000	0.0068	0.0218				
Blank_4 (no SPE)	400			9530	958000	0.0099	0.0245				
corn no.1-10 (from LOD)									mean	1.97	
corn +std 800 ng no. 1 (no SPE)	1.0551	400	379	1440000	639000	2.2535	1.9586		1.9337	733	96.4
corn +std 800 ng no. 2 (no SPE)	1.0713	400	373	1320000	570000	2.3158	2.0123		1.9874	741	99.0
corn +std 800 ng no. 3 (no SPE)	1.0183	400	393	1530000	671000	2.2802	1.9816		1.9567	769	97.6
corn +std 800 ng no. 4 (no SPE)	1.0865	400	368	1390000	610000	2.2787	1.9803		1.9554	720	97.5
corn +std 800 ng no. 5 (no SPE)	1.0101	400	396	1520000	632000	2.4051	2.0893		2.0644	818	103.0
corn +std 800 ng no. 6 (no SPE)	1.0607	400	377	1510000	674000	2.2404	1.9473		1.9224	725	95.9
corn +std 800 ng no. 7 (no SPE)	1.0818	400	370	1490000	665000	2.2406	1.9475		1.9226	711	95.9
corn +std 800 ng no. 8 (no SPE)	1.0379	400	385	1500000	660000	2.2727	1.9752		1.9503	751	97.2
corn +std 800 ng no. 9 (no SPE)	1.0758	400	372	1470000	658000	2.2340	1.9418		1.9169	713	95.6
corn +std 800 ng no. 10 (no SPE)	1.0498	400	381	1490000	679000	2.1944	1.9077		1.8828	717	93.8
									mean	740	97.2
									SD	33	2.5
									%RSD	4.5	2.6

สรุป เปอร์เซ็นต์คืนกลับและค่าเบี่ยงเบนมาตรฐานสัมพัทธ์อยู่ในเกณฑ์ยอมรับ (ภาคผนวก ฉ.)

4.3 แม่ทริกซ์มันฝรั่ง

4.3.1 วิเคราะห์ปริมาณอะคริลาไมด์ของแม่ทริกซ์มันฝรั่งที่ระดับความเข้มข้น 400 ไมโครกรัมต่อกรัม

วิเคราะห์ปริมาณอะคริลาไมด์ในตัวอย่างที่เติมสารละลายน้ำตรฐานอะคริลาไมด์จำนวน 400 นาโนกรัม ในตัวอย่างมันฝรั่ง 1 กรัม คำนวณปริมาณอะคริลาไมด์ที่ตรวจพบ เปอร์เซ็นต์คืนกลับ (%recovery) และค่าเบี่ยงเบนมาตรฐานสัมพัทธ์ (%RSD)

$$\text{สมการของกราฟมาตรฐาน } R_f = 1.16R_c + - 0.0133 \quad (r = 0.9998)$$

$$\text{Slope} = 1.16, \text{ Intercept} = -0.0133$$

Sample	Wt (g)	IS (ng)	IS (ng/g)	Peak area m/z 72/55	Peak area m/z 75/58	Rr	Rc	Rc เฉลี่ย	Rc sample – Rc blank	AA (ng/g)	%Rec
Blank_1		400		16100	1290000	0.0125	0.0222	0.0212			
Blank_2		400		8950	1140000	0.0079	0.0182				
Blank_3		400		30400	1680000	0.0181	0.0271				
Blank_4		400		10100	1550000	0.0065	0.0171				
potato no.1-9 (from LOD)								mean	1.63		
potato +std 400 ng no. 1 (no SPE)	1.0547	400	379	818000	737000	1.1099	0.9683		0.9471	359	94.2
potato +std 400 ng no. 2 (no SPE)	1.0497	400	381	698000	660000	1.0576	0.9232		0.9020	344	89.8
potato +std 400 ng no. 3 (no SPE)	1.0337	400	387	711000	638000	1.1144	0.9722		0.9510	368	94.7
potato +std 400 ng no. 4 (no SPE)	1.0403	400	384	701000	618000	1.1343	0.9893		0.9681	372	96.3
potato +std 400 ng no. 5 (no SPE)	1.0521	400	380	670000	607000	1.1038	0.9630		0.9418	358	93.7
potato +std 400 ng no. 6 (no SPE)	1.0588	400	378	807000	719000	1.1224	0.9790		0.9578	362	95.4
potato +std 400 ng no. 7 (no SPE)	1.0625	400	376	767000	690000	1.1116	0.9697		0.9485	357	94.4
potato +std 400 ng no. 8 (no SPE)	1.0799	400	370	725000	637000	1.1381	0.9926		0.9714	359	96.5
potato +std 400 ng no. 9 (no SPE)	1.0136	400	395	763000	651000	1.1720	1.0218		1.0006	395	99.7
potato +std 400 ng no. 10 (no SPE)	1.0074	400	397	734000	608000	1.2072	1.0522		1.0310	409	102.6
								mean	368	95.7	
								SD	20	3.5	
								%RSD	5.4	3.7	

สรุป เปอร์เซ็นต์คืนกลับและค่าเบี่ยงเบนมาตรฐานสัมพัทธ์อยู่ในเกณฑ์ยอมรับ (ภาคผนวก ฉ.)

4.3.2 วิเคราะห์ปริมาณอะคริลาไมด์ของแม่ทริกซ์มันฝรั่งที่ระดับความเข้มข้น 800 ใหมโครกรัมต่อกรัม

วิเคราะห์ปริมาณอะคริลาไมด์ในตัวอย่างที่เติมสารละลายน้ำตาลอะคริลาไมด์จำนวน 800 นาโนกรัม ในตัวอย่างมันฝรั่ง 1 กรัม คำนวณปริมาณอะคริลาไมด์ที่ตรวจพบ เปอร์เซ็นต์คืนกลับ (%recovery) และค่าเบี่ยงเบนมาตรฐานสัมพัทธ์ (%RSD)

$$\text{สมการของกราฟมาตรฐาน } R_f = 1.16R_c + -0.0133 \quad (r = 0.9998)$$

$$\text{Slope} = 1.16$$

$$\text{Intercept} = -0.0133$$

Sample	Wt (g)	IS (ng)	IS (ng/g)	Peak area m/z 72/55	Peak area m/z 75/58	Rr	Rc	Rc เฉลี่ย – Rc blank	Rc sample – Rc blank	AA (ng/g)	%Rec
Blank_1		400		16100	1290000	0.0125	0.0222	0.0212			
Blank_2		400		8950	1140000	0.0079	0.0182				
Blank_3		400		30400	1680000	0.0181	0.0271				
Blank_4		400		10100	1550000	0.0065	0.0171				
potato no.1-9 (from LOD)								mean	1.63		
potato +std 800 ng no. 1 (no SPE)	1.0416	400	384	1780000	781000	2.2791	1.9762		1.9550	751	97.6
potato +std 800 ng no. 2 (no SPE)	1.0664	400	375	1430000	625000	2.2880	1.9839		1.9627	736	97.9
potato +std 800 ng no. 3 (no SPE)	1.0347	400	387	1470000	640000	2.2969	1.9915		1.9703	763	98.5
potato +std 800 ng no. 4 (no SPE)	1.0559	400	379	1470000	648000	2.2685	1.9671		1.9459	738	97.2
potato +std 800 ng no. 5 (no SPE)	1.0193	400	392	1320000	602000	2.1927	1.9017		1.8805	737	93.7
potato +std 800 ng no. 6 (no SPE)	1.0603	400	377	1610000	702000	2.2934	1.9886		1.9674	742	98.1
potato +std 800 ng no. 7 (no SPE)	1.0694	400	374	1450000	640000	2.2656	1.9646		1.9434	727	97.0
potato +std 800 ng no. 8 (no SPE)	1.0177	400	393	1490000	658000	2.2644	1.9636		1.9424	763	96.9
potato +std 800 ng no. 9 (no SPE)	1.0049	400	398	1360000	598000	2.2742	1.9720		1.9508	776	97.3
potato +std 800 ng no. 10 (no SPE)	1.0174	400	393	1430000	649000	2.2034	1.9109		1.8897	743	94.3
								mean	748	96.8	
								SD	15	1.6	
								%RSD	2.0	1.7	

สรุป เปอร์เซ็นต์คืนกลับและค่าเบี่ยงเบนมาตรฐานสัมพัทธ์อยู่ในเกณฑ์ยอมรับ (ภาคผนวก ฉ.)

4.4 แม่ทริกซ์ถัว

4.4.1 วิเคราะห์ปริมาณอะคริลามีนด้วยแม่ทริกซ์ถัว ที่ระดับความเข้มข้น 400 ไมโครกรัมต่อ กิโลกรัม

วิเคราะห์ปริมาณอะคริลามีนค์ในตัวอย่างที่เพิ่มสารละลายน้ำตรฐานอะคริลามีนจำนวน 400 นาโนกรัม ในตัวอย่างถัว 1 กรัม คำนวณปริมาณอะคริลามีนด้วยตัวอย่าง เปอร์เซ็นต์คืนกลับ (%recovery) และค่าเบี่ยงเบนมาตรฐานสัมพัทธ์ (%RSD)

$$\text{สมการของกราฟมาตรฐาน } R_r = 1.11 R_c + - 0.023 \quad (r = 0.9996)$$

Slope = 1.11

Intercept = -0.023

Sample	Wt (g)	IS (ng)	IS (ng/g)	Peak area m/z 72/55	Peak area m/z 75/58	Rr	Rc	Rc sample – Rc blank	AA (ng/g)	%Rec
Blank_1 (no SPE)		400		8570	1130000	0.0076	0.0276	0.0279		
Blank_2 (no SPE)		400		10700	1160000	0.0092	0.0290			
Blank_3 (no SPE)		400		8950	1260000	0.0071	0.0271			
peanut no. 1-10 (from LOD)								mean	5.85	
peanut +std 400 ng no. 1 (no SPE)	1.0555	400	379	754000	763000	0.9882	0.9110	0.8831	335	86.9
peanut +std 400 ng no. 2 (no SPE)	1.0456	400	383	1120000	914000	1.2254	1.1247	1.0968	420	108.3
peanut +std 400 ng no. 3 (no SPE)	1.0482	400	382	600000	620000	0.9677	0.8926	0.8647	330	84.9
peanut +std 400 ng no. 4 (no SPE)	1.0467	400	382	647000	605000	1.0694	0.9842	0.9563	365	94.0
peanut +std 400 ng no. 5 (no SPE)	1.0544	400	379	966000	805000	1.2000	1.1018	1.0739	407	105.7
peanut +std 400 ng no. 6 (no SPE)	1.0450	400	383	914000	811000	1.1270	1.0360	1.0081	386	99.3
peanut +std 400 ng no. 7 (no SPE)	1.0436	400	383	663000	616000	1.0763	0.9904	0.9625	369	94.7
peanut +std 400 ng no. 8 (no SPE)	1.0430	400	384	995000	797000	1.2484	1.1454	1.1175	429	110.3
peanut +std 400 ng no. 9 (no SPE)	1.0495	400	381	1140000	995000	1.1457	1.0529	1.0250	391	101.1
peanut +std 400 ng no. 10 (no SPE)	1.0619	400	377	1110000	977000	1.1361	1.0443	1.0164	383	100.1
								mean	382	98.5
								SD	33	8.5
								%RSD	8.6	8.6

สรุป เปอร์เซ็นต์คืนกลับและค่าเบี่ยงเบนมาตรฐานสัมพัทธ์อยู่ในเกณฑ์ยอมรับ (ภาคผนวก ฉ.)

4.4.2 วิเคราะห์ปริมาณอะคริลามีด์ของแม่ทริกซ์ถัวที่ระดับความเข้มข้น 800 ไมโครกรัมต่อ กิโลกรัม

วิเคราะห์ปริมาณอะคริลามีด์ในตัวอย่างที่เติมสารละลายน้ำตรฐานอะคริลามีด์จำนวน 800 นาโนกรัม ในตัวอย่างถัว 1 กรัม คำนวณปริมาณอะคริลามีด์ที่ตรวจพบ เปอร์เซ็นต์คืนกลับ (%recovery) และค่าเบี่ยงเบนมาตรฐานสัมพัทธ์ (%RSD)

$$\text{สมการของกราฟมาตรฐาน } R_r = 1.11 R_c + -0.023 \quad (r = 0.9996)$$

Slope = 1.11

Intercept = -0.023

Sample	Wt (g)	IS (ng)	IS (ng/g)	Peak area m/z 72/55	Peak area m/z 75/58	Rr	Rc	Rc sample - Rc blank	AA (ng/g)	%Rec
Blank_1 (no SPE)		400		8570	1130000	0.0076	0.0276	0.0279		
Blank_2 (no SPE)		400		10700	1160000	0.0092	0.0290			
Blank_3 (no SPE)		400		8950	1260000	0.0071	0.0271			
peanut no. 1-10 (from LOD)								mean	5.85	
peanut +std 800 ng no. 1 (no SPE)	1.0677	400	375	1610000	781000	2.0615	1.8779	1.8500	694	91.8
peanut +std 800 ng no. 2 (no SPE)	1.0567	400	379	2430000	1050000	2.3143	2.1057	2.0778	788	103.3
peanut +std 800 ng no. 3 (no SPE)	1.0481	400	382	2260000	976000	2.3156	2.1068	2.0789	794	103.3
peanut +std 800 ng no. 4 (no SPE)	1.0532	400	380	2140000	870000	2.4598	2.2367	2.2088	839	109.7
peanut +std 800 ng no. 5 (no SPE)	1.0402	400	385	1440000	641000	2.2465	2.0446	2.0167	776	100.1
peanut +std 800 ng no. 6 (no SPE)	1.0570	400	378	1840000	800000	2.3000	2.0928	2.0649	781	102.4
peanut +std 800 ng no. 7 (no SPE)	1.0440	400	383	2360000	977000	2.4156	2.1969	2.1690	831	107.7
peanut +std 800 ng no. 8 (no SPE)	1.0416	400	384	2080000	894000	2.3266	2.1168	2.0889	802	103.7
peanut +std 800 ng no. 9 (no SPE)	1.0582	400	378	1830000	772000	2.3705	2.1563	2.1284	805	105.7
peanut +std 800 ng no. 10 (no SPE)	1.0406	400	384	1490000	653000	2.2818	2.0764	2.0485	787	101.6
								mean	790	102.9
								SD	39	4.8
								%RSD	4.9	4.7

สรุป เปอร์เซ็นต์คืนกลับและค่าเบี่ยงเบนมาตรฐานสัมพัทธ์อยู่ในเกณฑ์ยอมรับ (ภาคผนวก ฉ.)

4.5 แม่ทริกซ์ผลไม้

4.5.1 วิเคราะห์ปริมาณอะคริลามีด์ของแม่ทริกซ์ผลไม้ ที่ระดับความเข้มข้น 400 ไมโครกรัมต่อกิโลกรัม

วิเคราะห์ปริมาณอะคริลามีด์ในตัวอย่างที่เติมสารละลายน้ำตรฐานอะคริลามีดจำนวน 400 นาโนกรัม ในตัวอย่างกล่าว 1 กรัม คำนวณปริมาณอะคริลามีดที่ตรวจพบ เปอร์เซ็นต์คืนกลับ (%recovery) และค่าเบี่ยงเบนมาตรฐานสัมพัทธ์ (%RSD)

$$\text{สมการของกราฟมาตรฐาน } R_r = 1.11 R_c + 0.000271 \quad (r = 0.9997)$$

Slope = 1.1

Intercept = 0.000271

Sample	Wt (g)	IS (ng)	IS (ng/g)	Peak area m/z 72/55	Peak area m/z 75/58	Rr	Rc	Rc sample – Rc blank	AA (ng/g)	%Rec
Blank_1 (no SPE)		400		8530	1390000	0.0061	0.0053	0.0058		
Blank_2 (no SPE)		400		8070	1330000	0.0061	0.0052			
Blank_3 (no SPE)		400		13800	1760000	0.0078	0.0068			
banana no. 1-10 (from LOD)							mean	0.16		
banana +std 400 ng no. 1 (no SPE)	1.0483	400	382	1100000	982000	1.1202	1.0089	1.0031	383	100.3
banana +std 400 ng no. 2 (no SPE)	1.0821	400	370	1320000	1130000	1.1681	1.0521	1.0463	387	104.6
banana +std 400 ng no. 3 (no SPE)	1.0156	400	394	1490000	1250000	1.1920	1.0736	1.0678	421	106.9
banana +std 400 ng no. 4 (no SPE)	1.0982	400	364	1410000	1180000	1.1949	1.0763	1.0705	390	107.0
banana +std 400 ng no. 5 (no SPE)	1.0589	400	378	1450000	1210000	1.1983	1.0793	1.0735	406	107.4
banana +std 400 ng no. 6 (no SPE)	1.0734	400	373	1080000	986000	1.0953	0.9865	0.9807	366	98.2
banana +std 400 ng no. 7 (no SPE)	1.0623	400	377	1220000	1090000	1.1193	1.0081	1.0023	378	100.3
banana +std 400 ng no. 8 (no SPE)	1.0181	400	393	1260000	1120000	1.1250	1.0133	1.0075	396	100.8
banana +std 400 ng no. 9 (no SPE)	1.0609	400	377	1200000	1110000	1.0811	0.9737	0.9679	365	96.8
banana +std 400 ng no. 10 (no SPE)	1.0265	400	390	1300000	1140000	1.1404	1.0271	1.0213	398	102.1
							mean	389	102.4	
							SD	17	3.8	
							%RSD	4.5	3.7	

สรุป เปอร์เซ็นต์คืนกลับและค่าเบี่ยงเบนมาตรฐานสัมพัทธ์อยู่ในเกณฑ์ยอมรับ (ภาคผนวก ฉ.)

4.5.2 วิเคราะห์ปริมาณอะคริลาไมด์ของแม่ทริกซ์ผลไม้ ที่ระดับความเข้มข้น 800 ไมโครกรัมต่อกรัม

วิเคราะห์ปริมาณอะคริลาไมด์ในตัวอย่างที่เติมสารละลายน้ำตรฐานอะคริลาไมด์จำนวน 800 นาโนกรัม ในตัวอย่างกลุ่ม 1 กรัม คำนวณปริมาณอะคริลาไมด์ที่ตรวจพบ เปอร์เซ็นต์คืนกลับ (%recovery) และค่าเบี่ยงเบนมาตรฐานสัมพัทธ์ (%RSD)

$$\text{สมการของกราฟมาตรฐาน } R_r = 1.11 R_c + 0.000271 \quad (r = 0.9997)$$

$$\text{Slope} = 1.11$$

$$\text{Intercept} = 0.000271$$

Sample	Wt (g)	IS (ng)	IS (ng/g)	Peak area m/z 72/55	Peak area m/z 75/58	Rr	Rc	Rc sample – Rc blank	AA (ng/g)	%Rec
Blank_1 (no SPE)		400		8530	1390000	0.0061	0.0053	0.0058		
Blank_2 (no SPE)		400		8070	1330000	0.0061	0.0052			
Blank_3 (no SPE)		400		13800	1760000	0.0078	0.0068			
banana no. 1-10 (from LOD)							mean	0.16		
banana +std 800 ng no. 1 (no SPE)	1.0457	400	383	2110000	966000	2.1843	1.9676	1.9618	751	98.1
banana +std 800 ng no. 2 (no SPE)	1.0043	400	398	2870000	1210000	2.3719	2.1366	2.1308	848	106.4
banana +std 800 ng no. 3 (no SPE)	1.0153	400	394	2750000	1210000	2.2727	2.0473	2.0415	804	102.0
banana +std 800 ng no. 4 (no SPE)	1.0890	400	367	2630000	1150000	2.2870	2.0601	2.0543	754	102.6
banana +std 800 ng no. 5 (no SPE)	1.0848	400	369	2670000	1130000	2.3628	2.1284	2.1226	783	106.2
banana +std 800 ng no. 6 (no SPE)	1.0339	400	387	2190000	1010000	2.1683	1.9532	1.9474	754	97.4
banana +std 800 ng no. 7 (no SPE)	1.0456	400	383	2350000	1040000	2.2596	2.0354	2.0296	777	101.5
banana +std 800 ng no. 8 (no SPE)	1.0127	400	395	2330000	1040000	2.2404	2.0181	2.0123	795	100.6
banana +std 800 ng no. 9 (no SPE)	1.0649	400	376	2420000	1050000	2.3048	2.0761	2.0703	778	103.5
banana +std 800 ng no. 10 (no SPE)	1.0739	400	372	2320000	1030000	2.2524	2.0290	2.0232	753	101.1
							mean	780	101.9	
							SD	30	3.0	
							%RSD	3.8	2.9	

สรุป เปอร์เซ็นต์คืนกลับและค่าเบี่ยงเบนมาตรฐานสัมพัทธ์อยู่ในเกณฑ์ยอมรับ (ภาคผนวก ฉ.)

4.6 แม่ทริกซ์ข้นปั่ง

4.6.1 วิเคราะห์ปริมาณอะคริลามีด์ของแม่ทริกซ์ข้นปั่ง ที่ระดับความเข้มข้น 400 ไมโครกรัมต่อกรัม

วิเคราะห์ปริมาณอะคริลามีด์ในตัวอย่างที่เติมสารละลายน้ำตรฐานอะคริลามีด์จำนวน 400 นาโนกรัมในตัวอย่างข้นปั่ง 1 กรัม คำนวณปริมาณอะคริลามีด์ที่ตรวจพบ เปอร์เซ็นต์คืนกลับ (%recovery) และค่าเบี่ยงเบนมาตรฐานสัมพัทธ์ (%RSD)

$$\text{สมการของกราฟมาตรฐาน } R_t = 1.02 R_c + 0.0134 \quad (r = 0.9993)$$

Slope = 1.02

Intercept = 0.0134

Sample	Wt (g)	IS (ng)	IS (ng/g)	Peak area m/z 72/55	Peak area m/z 75/58	Rr	Rc	Rc เฉลี่ย sample – Rc blank	Rc (ng/g)	AA (ng/g)	%Rec
Blank_1 (no SPE)		400		18900	1500000	0.0126	0.0000	0.0000			
Blank_2 (no SPE)		400		16400	1570000	0.0104	0.0000				
Blank_3 (no SPE)		400		8500	1940000	0.0044	0.0000				
Blank_4 (no SPE)		400		11100	1520000	0.0073	0.0000				
bread no.1 (no SPE)	1.0189	400	393	23200	1720000	0.0135	0.0001		0.0001	0.04	
bread no.2 (no SPE)	1.0057	400	398	19500	988000	0.0197	0.0062		0.0062	2.47	
bread no.3 (no SPE)	1.0671	400	375	10800	1020000	0.0106	0.0000		0.0000	0.00	
bread no. 4 (no SPE)	1.0016	400	399	12300	924000	0.0133	0.0000		0.0000	0.00	
								mean	0.63		
bread +std 400 ng no. 1	1.0658	400	375	1090000	1030000	1.0583	1.0244		1.0244	384	102.1
bread +std 400 ng no. 2	1.0555	400	379	850000	810000	1.0494	1.0157		1.0157	385	101.4
bread +std 400 ng no. 3	1.0175	400	393	900000	866000	1.0393	1.0057		1.0057	395	100.3
bread +std 400 ng no. 4	1.0243	400	391	954000	884000	1.0792	1.0449		1.0449	409	104.6
bread +std 400 ng no. 5	1.0400	400	385	874000	847000	1.0319	0.9985		0.9985	384	99.7
bread +std 400 ng no. 6	1.0316	400	388	1150000	1040000	1.1058	1.0710		1.0710	416	107.1
bread +std 400 ng no. 7	1.0191	400	392	885000	851000	1.0400	1.0064		1.0064	395	100.5
bread +std 400 ng no. 8	1.0489	400	381	800000	793000	1.0088	0.9759		0.9759	372	97.4
bread +std 400 ng no. 9	1.0167	400	393	900000	848000	1.0613	1.0274		1.0274	404	102.5
bread +std 400 ng no. 10	1.0330	400	387	906000	873000	1.0378	1.0043		1.0043	389	100.3
								mean	393	101.6	
								SD	13	2.7	
								%RSD	3.3	2.7	

สรุป เปอร์เซ็นต์คืนกลับและค่าเบี่ยงเบนมาตรฐานสัมพัทธ์อยู่ในเกณฑ์ยอมรับ (ภาคผนวก ๙.)

4.6.2 วิเคราะห์ปริมาณอะคริลามีนด้วยแม่ทริกซ์ขนมปัง ที่ระดับความเข้มข้น 800 ไมโครกรัมต่อกรัม

วิเคราะห์ปริมาณอะคริลามีนด้วยตัวอย่างที่เติมสารละลายน้ำมารถรูปอะคริลามีนด้วยจำนวน 800 นาโนกรัม ในตัวอย่างขนมปัง 1 กรัม คำนวณปริมาณอะคริลามีนที่ตรวจพบ เปอร์เซ็นต์คืนกลับ (%recovery) และค่าเบี่ยงเบนมาตรฐานสัมพัทธ์ (%RSD)

$$\text{สมการของกราฟมาตรฐาน } R_r = 1.02 R_c + 0.0134 \quad (r = 0.9993)$$

$$\text{Slope} = 1.02$$

$$\text{Intercept} = 0.0134$$

Sample	Wt (g)	IS (ng)	IS (ng/g)	Peak area m/z 72/55	Peak area m/z 75/58	Rr	Rc	Rc เฉลี่ย sample - Rc blank	Rc sample (ng/g)	AA (ng/g)	%Rec
Blank_1 (no SPE)		400		18900	1500000	0.0126	0.0000	0.0000			
Blank_2 (no SPE)		400		16400	1570000	0.0104	0.0000				
Blank_3 (no SPE)		400		8500	1940000	0.0044	0.0000				
Blank_4 (no SPE)		400		11100	1520000	0.0073	0.0000				
bread no.1 (no SPE)	1.0189	400	393	23200	1720000	0.0135	0.0001		0.0001	0.04	
bread no.2 (no SPE)	1.0057	400	398	19500	988000	0.0197	0.0062		0.0062	2.47	
bread no.3 (no SPE)	1.0671	400	375	10800	1020000	0.0106	0.0000		0.0000	0.00	
bread no.4 (no SPE)	1.0016	400	399	12300	924000	0.0133	0.0000		0.0000	0.00	
								mean	0.63		
bread +std 800 ng no. 1	1.0738	400	373	2080000	980000	2.1224	2.0677		2.0677	771	103.4
bread +std 800 ng no. 2	1.0336	400	387	1690000	792000	2.1338	2.0789		2.0789	805	103.9
bread +std 800 ng no. 3	1.0546	400	379	1720000	835000	2.0599	2.0064		2.0064	760	100.1
bread +std 800 ng no. 4	1.0105	400	396	1810000	824000	2.1966	2.1404		2.1404	848	107.0
bread +std 800 ng no. 5	1.0029	400	399	1860000	846000	2.1986	2.1423		2.1423	855	107.1
bread +std 800 ng no. 6	1.0386	400	385	2080000	995000	2.0905	2.0363		2.0363	784	101.7
bread +std 800 ng no. 7	1.0307	400	388	1590000	760000	2.0921	2.0379		2.0379	791	101.8
bread +std 800 ng no. 8	1.0742	400	372	1730000	815000	2.1227	2.0679		2.0679	769	103.2
bread +std 800 ng no. 9	1.0583	400	378	1690000	779000	2.1694	2.1138		2.1138	799	105.6
bread +std 800 ng no. 10	1.0096	400	396	1630000	775000	2.1032	2.0488		2.0488	811	102.3
								mean	799		103.6
								SD	32		2.3
								%RSD	4.0		2.2

สรุป เปอร์เซ็นต์คืนกลับและค่าเบี่ยงเบนมาตรฐานสัมพัทธ์อยู่ในเกณฑ์ยอมรับ (ภาคผนวก ฉ.)

4.7 แม่ทริกซ์กาแฟ

4.7.1 วิเคราะห์ปริมาณอะคริลาไมด์ของแม่ทริกซ์กาแฟ ที่ระดับความเข้มข้น 400 ไมโครกรัมต่อกิโลกรัม

วิเคราะห์ปริมาณอะคริลาไมด์ในตัวอย่างที่เติมสารละลายน้ำตรฐานอะคริลาไมด์จำนวน 400 นาโนกรัมในตัวอย่างเมล็ดกาแฟบด 1 กรัม คำนวณปริมาณอะคริลาไมด์ที่ตรวจพบ เปอร์เซ็นต์คืนกลับ (%recovery) และค่าเบี่ยงเบนมาตรฐานสัมพัทธ์ (%RSD)

$$\text{สมการของกราฟมาตรฐาน } R_r = 1.01R_c + 0.0165 \quad (r = 0.9998)$$

Slope = 1.01

Intercept = 0.0165

Sample	Wt (g)	IS (ng)	IS (ng/g)	Peak area m/z 72/55	Peak area m/z 75/58	Rr	Rc	Rc !ฉลี่ย	Rc sample – Rc blank	AA (ng/g)	%Rec
Blank_1		400		2920	731000	0.0040	0.0000	0.0000			
Blank_2		400		5180	728000	0.0071	0.0000				
Blank_3		400		4960	404000	0.0123	0.0000				
coffee no.1-7 (from LOD)									mean	1.71	
coffee +std 400 ng no. 1 (SPE_MCX)	1.0019	400	399	769000	702000	1.0954	1.0683		1.0683	426	106.3
coffee +std 400 ng no. 2 (SPE_MCX)	1.0076	400	397	672000	625000	1.0752	1.0482		1.0482	416	104.4
coffee +std 400 ng no. 3 (SPE_MCX)	1.0071	400	397	698000	648000	1.0772	1.0502		1.0502	417	104.6
coffee +std 400 ng no. 4 (SPE_MCX)	1.0086	400	397	636000	593000	1.0725	1.0456		1.0456	415	104.2
coffee +std 400 ng no. 5 (SPE_MCX)	1.0071	400	397	610000	550000	1.1091	1.0818		1.0818	430	107.8
coffee +std 400 ng no. 6 (SPE_MCX)	1.0086	400	397	567000	537000	1.0559	1.0291		1.0291	409	102.7
coffee +std 400 ng no. 7 (SPE_MCX)	1.0067	400	397	528000	508000	1.0394	1.0127		1.0127	402	100.7
									mean	416	104.4
									SD	10	2.3
									%RSD	2.4	2.2

สรุป เปอร์เซ็นต์คืนกลับและค่าเบี่ยงเบนมาตรฐานสัมพัทธ์อยู่ในเกณฑ์ยอมรับ (ภาคผนวก ฉ.)

4.7.2 วิเคราะห์ปริมาณอะคริลาไมด์ของแมทริกซ์กาแฟ ที่ระดับความเข้มข้น 800 ไมโครกรัมต่อกรัม

วิเคราะห์ปริมาณอะคริลาไมด์ในตัวอย่างที่เติมสารละลายน้ำตรารูานอะคริลาไมด์จำนวน 800 นาโนกรัม ในตัวอย่างเมล็ดกาแฟบด 1 กรัม คำนวณปริมาณอะคริลาไมด์ที่ตรวจพบ เปอร์เซ็นต์คืนกลับ (%recovery) และค่าเบี่ยงเบนมาตรฐานสัมพัทธ์ (%RSD)

$$\text{สมการของกราฟมาตรฐาน } R_r = 1.01R_c + 0.0165 \quad (r = 0.9998)$$

$$\text{Slope} = 1.01$$

$$\text{Intercept} = 0.0165$$

Sample	Wt (g)	IS (ng)	IS (ng/g)	Peak area m/z 72/55	Peak area m/z 75/58	Rr	Rc	Rc เฉลี่ย – Rc blank	Rc sample – Rc blank	AA (ng/g)	%Rec
Blank_1	400		2920	731000	0.0040	0.0000	0.0000				
Blank_2	400		5180	728000	0.0071	0.0000					
Blank_3	400		4960	404000	0.0123	0.0000					
coffee no.1-7 (from LOD)									mean	1.71	
coffee +std 800 ng no. 1 (SPE_MCX)	1.0004	400	400	1050000	490000	2.1429	2.1053		2.1053	842	105.1
coffee +std 800 ng no. 2 (SPE_MCX)	1.0072	400	397	1070000	484000	2.2107	2.1725		2.1725	862	108.3
coffee +std 800 ng no. 3 (SPE_MCX)	1.0067	400	397	800000	375000	2.1333	2.0959		2.0959	832	104.5
coffee +std 800 ng no. 4 (SPE_MCX)	1.0066	400	397	791000	358000	2.2095	2.1713		2.1713	862	108.2
coffee +std 800 ng no. 5 (SPE_MCX)	1.0061	400	398	808000	368000	2.1957	2.1576		2.1576	859	107.8
coffee +std 800 ng no. 6 (SPE_MCX)	1.0083	400	397	790000	370000	2.1351	2.0977		2.0977	833	104.8
coffee +std 800 ng no. 7 (SPE_MCX)	1.0105	400	396	824000	388000	2.1237	2.0863		2.0863	826	104.1
									mean	845	106.1
									SD	16	1.9
									%RSD	1.9	1.8

สรุป เปอร์เซ็นต์คืนกลับและค่าเบี่ยงเบนมาตรฐานสัมพัทธ์อยู่ในเกณฑ์ยอมรับ (ภาคผนวก ฉบ.)

ภาคผนวก จ.
คำนวณปริมาณอะคริลาไมด์ใน SRM2387 peanut butter

จ.1 SRM2387 penut butter (วันที่ 1)

วิเคราะห์ปริมาณอะคริลาไมด์ในตัวอย่าง SRM 2387 peanut butter 1 กรัม คำนวณ
ปริมาณอะคริลาไมด์ที่ตรวจพบ ค่าเฉลี่ย (mean) และค่าเบี่ยงเบนมาตรฐานสัมพัทธ์ (%RSD)

$$\text{สมการของกราฟมาตรฐาน } R_r = 1.11R_c + -0.023 \quad (r = 0.9996)$$

$$\text{Slope} = 1.11$$

$$\text{Intercept} = -0.023$$

Sample	Wt (g)	IS (ng)	IS (ng/g)	Peak area m/z 72/55	Peak area m/z 75/58	Rr	Rc	Rc เฉลี่ย	Rc sample – Rc blank	AA (ng/g)
Blank_1		400		8570	1130000	0.0076	0.0276	0.0279		
Blank_2		400		10700	1160000	0.0092	0.0290			
Blank_3		400		8950	1260000	0.0071	0.0271			
SRM2387 penut butter no. 1 (no SPE)	1.0339	400	387	228000	844000	0.2701	0.2641		0.2362	91.4
SRM2387 penut butter no. 2 (no SPE)	1.0441	400	383	158000	663000	0.2383	0.2354		0.2075	79.5
SRM2387 penut butter no. 3 (no SPE)	1.0033	400	399	144000	613000	0.2349	0.2324		0.2045	81.6
SRM2387 penut butter no. 4 (no SPE)	1.0104	400	396	147000	606000	0.2426	0.2393		0.2114	83.7
SRM2387 penut butter no. 5 (no SPE)	1.0143	400	394	172000	717000	0.2399	0.2368		0.2089	82.3
SRM2387 penut butter no. 6 (no SPE)	1.0225	400	391	183000	727000	0.2517	0.2475		0.2196	85.9
SRM2387 penut butter no. 7 (no SPE)	1.0103	400	396	168000	711000	0.2363	0.2336		0.2057	81.5
								mean	83.7	
								SD	3.9	
								%RSD	4.7	

สรุป ปริมาณอะคริลาไมด์เฉลี่ยอยู่ในช่วงใบรับรองระบุ (87 ± 7.8 ไมโครกรัมต่อกิโลกรัม) และ
ค่าเบี่ยงเบนมาตรฐานสัมพัทธ์อยู่ในเกณฑ์ยอมรับ (ภาคผนวก ฉ.)

จ.2 SRM 2387 penut butter (วันที่ 2)

วิเคราะห์ปริมาณอะคริลามิค์ในตัวอย่าง SRM 2387 peanut butter 1 กรัม คำนวณ
ปริมาณอะคริลามิค์ที่ตรวจพบ ค่าเฉลี่ย (mean) และค่าเบี่ยงเบนมาตรฐานสัมพัทธ์ (%RSD)

$$\text{สมการของกราฟมาตรฐาน } R_r = 1.16R_c + -0.0185 \quad (r = 0.9998)$$

Slope = 1.16

Intercept = -0.0185

Sample	Wt (g)	IS (ng)	IS (ng/g)	Peak area m/z 72/55	Peak area m/z 75/58	Rr	Rc	Rc เฉลี่ย – Rc blank	Rc sample – Rc blank	AA (ng/g)
Blank_1		400		13200	811000	0.0163	0.0300	0.0249		
Blank_2		400		7470	875000	0.0085	0.0233			
Blank_3		400		6080	897000	0.0068	0.0218			
Blank_4		400		9530	958000	0.0099	0.0245			
SRM2387 penut butter no. 1 (no_SPE)	1.0198	400	392	147000	542000	0.2712	0.2498		0.2249	88.2
SRM2387 penut butter no. 2 (no_SPE)	1.0648	400	376	159000	529000	0.3006	0.2751		0.2502	94.1
SRM2387 penut butter no. 3 (no_SPE)	1.0730	400	373	150000	513000	0.2924	0.2680		0.2431	90.7
								mean	91.0	
								SD	3.0	
								%RSD	3.3	

สรุป ปริมาณอะคริลามิค์เฉลี่ยอยู่ในช่วงใบรับรองระบุ (87 ± 7.8 ไมโครกรัมต่อกิโลกรัม) และ
ค่าเบี่ยงเบนมาตรฐานสัมพัทธ์อยู่ในเกณฑ์ยอมรับ (ภาคผนวก ฉ.)

จ.3 SRM 2387 peanut butter (วันที่ 3)

วิเคราะห์ปริมาณอะคริลาไมค์ในตัวอย่าง SRM 2387 peanut butter 1 กรัม คำนวณ
ปริมาณอะคริลาไมค์ที่ตรวจพบ ค่าเฉลี่ย (mean) และค่าเบี่ยงเบนมาตรฐานสัมพัทธ์ (%RSD)

$$\text{สมการของกราฟมาตรฐาน } R_r = 1.03R_c + -0.00378 \quad (r = 0.9997)$$

Slope = 1.03

Intercept = -0.00378

Sample	Wt (g)	IS (ng)	IS (ng/g)	Peak area m/z 72/55	Peak area m/z 75/58	Rr	Rc	Rc เฉลี่ย – Rc blank	Rc sample – Rc blank	AA (ng/g)
Blank_1		400		14300	1300000	0.0110	0.0143	0.0144		
Blank_2		400		14900	1380000	0.0108	0.0142			
Blank_3		400		20600	1690000	0.0122	0.0155			
Blank_4		400		17400	1690000	0.0103	0.0137			
SRM2387 peanut butter no. 1 (no_SPE)	1.0398	400	385	279000	1100000	0.2536	0.2499		0.2355	90.7
SRM2387 peanut butter no. 2 (no_SPE)	1.0592	400	378	214000	818000	0.2616	0.2577		0.2433	92.0
SRM2387 peanut butter no. 3 (no_SPE)	1.0389	400	385	208000	800000	0.2600	0.2561		0.2417	93.1
								mean	91.9	
								SD	1.2	
								%RSD	1.3	

สรุป ปริมาณอะคริลาไมค์เฉลี่ยอยู่ในช่วงใบรับรองระบุ (87 ± 7.8 ในโตรกรัมต่อกิโลกรัม) และ
ค่าเบี่ยงเบนมาตรฐานสัมพัทธ์อยู่ในเกณฑ์ยอมรับ (ภาคผนวก ฉบ.)

จ.4 SRM 2387 peanut butter (วันที่ 4) ใช้ SPE Oasis MCX

วิเคราะห์ปริมาณอะคริลามิค์ในตัวอย่าง SRM 2387 peanut butter 1 กรัม คำนวณ
ปริมาณอะคริลามิค์ที่ตรวจพบ ค่าเฉลี่ย (mean) และค่าเบี่ยงเบนมาตรฐานสัมพัทธ์ (%RSD)

$$\text{สมการของกราฟมาตรฐาน } R_r = 1.03R_c + -0.00378 \quad (r = 0.9997)$$

Slope = 1.03

Intercept = -0.00378

Sample	Wt (g)	IS (ng)	IS (ng/g)	Peak area m/z 72/55	Peak area m/z 75/58	Rr	Rc	Rc เฉลี่ย sample – Rc blank	AA (ng/g)
Blank_1		400		6560	906000	0.0072	0.0170	0.0171	
Blank_2		400		6650	858000	0.0078	0.0175		
Blank_3		400		9450	1310000	0.0072	0.0169		
SRM2387 peanut butter no. 1 (SPE_MCX)	1.0818	400	370	316000	1160000	0.2724	0.2719		0.2548 94.3
SRM2387 peanut butter no. 2 (SPE_MCX)	1.1548	400	346	271000	969000	0.2797	0.2789		0.2618 90.6
SRM2387 peanut butter no. 3 (SPE_MCX)	1.1690	400	342	249000	846000	0.2943	0.2930		0.2759 94.4
								mean	93.1
								SD	2.2
								%RSD	2.4

สรุป ปริมาณอะคริลามิค์เฉลี่ยอยู่ในช่วงใบรับรองระบุ (87 ± 7.8 ไมโครกรัมต่อกิโลกรัม) และ
ค่าเบี่ยงเบนมาตรฐานสัมพัทธ์อยู่ในเกณฑ์ยอมรับ (ภาคผนวก ฉบ.)

ภาคผนวก ณ. เกณฑ์การยอมรับความเที่ยงและความแม่น

ณ.1 เกณฑ์การยอมรับความเที่ยง (precision) [56]

ความเที่ยงเป็นคุณลักษณะเฉพาะของวิธีที่แสดงถึงความใกล้เคียงกันของผลการวิเคราะห์ซ้ำๆภายในสภาวะที่กำหนด ความเที่ยงจะบอกถึงความคลาดเคลื่อนสุ่ม (random error) ที่เกิดขึ้น โดยทั่วไปการแสดงความเที่ยงของวิธีวิเคราะห์ 2 แบบ คือ การทวนซ้ำได้ (repeatability) หรือการทำซ้ำได้ (reproducibility)

การทวนซ้ำได้ เป็นตัวบอกรความแปรปรวนที่จะเกิดขึ้นเมื่อวิเคราะห์ตัวอย่างซ้ำๆกันหลายครั้งในสภาวะเดียวกัน และแสดงค่าในรูปของ RSD_r

การทำซ้ำได้ เป็นตัวบอกรความแปรปรวนเมื่อมีการวิเคราะห์ตัวอย่างชุดเดียวกันแต่ต่างสภาวะ เช่น เวลาต่างกัน และแสดงค่าในรูปของ RSD_R

โดยทั่วไปการระบุความเที่ยงจะแสดงด้วย $\%RSD$ แต่เนื่องจากความเที่ยงขึ้นอยู่กับความเข้มข้นของสาร การประเมินการยอมรับโดยการเปรียบเทียบกับค่าที่คำนวณได้จาก Horwitz's equation และ HORRAT (Horwitz ratio)

Horwitz equation

$$\text{สำหรับการทำซ้ำได้ } \%RSD_r = 0.66 \times 2^{(1-0.5 \log C)} \quad (\text{ณ.1})$$

$$\text{สำหรับการทำซ้ำได้ } \%RSD_R = 2^{(1-0.5 \log C)} \quad (\text{ณ.2})$$

โดย C คือ concentration ratio (ไม่มีหน่วย) เช่น

ปริมาณสารในตัวอย่างเป็น 1 ppm จะมีค่า $C = 10^{-6}$

ปริมาณสารในตัวอย่างเป็น 1 ppb จะมีค่า $C = 10^{-9}$

ตารางที่ ฉ.1 แสดงค่า expected %RSD_r (การทวนซ้ำได้) และ RSD_R (การทำซ้ำได้) ที่คำนวณจาก Horwitz's equation ที่ระดับความเข้มข้นต่างๆ

ความเข้มข้นของสารที่สนใจ	C	Expected %RSD _r	Expected %RSD _R
100 %	1	1.3	2.0
10%	0.1	1.8	2.8
1%	0.01	2.6	4.0
0.1%	0.001	3.7	5.7
100 ppm	0.0001	5.2	8.0
10 ppm	0.00001	7.4	11.3
1 ppm	0.000001	10.5	16.0
100 ppb	0.0000001	14.9	22.6
10 ppb	0.00000001	21.1	32.0
1 ppb	0.000000001	29.8	45.3

HORRAT หรือ Horwitz ratio คือ อัตราส่วนระหว่างค่า RSD ที่คำนวณได้จากการทดลอง (RSD_{obs}) กับค่า RSD ที่คำนวณจาก Horwitz's equation (RSD_{expected}) ใช้ประเมินการยอมรับความเที่ยงได้ เกณฑ์การยอมรับ น้อยกว่า 2.0

$$\text{HORRAT} = \frac{RSD_{obs}}{RSD_{expected}} \quad (\text{ฉ.3})$$

ผลที่ได้จากการตรวจสอบความถูกต้องของวิธีวิเคราะห์ (method validation) ในแมทริกซ์ต่างๆ นำมาประเมินความเที่ยงของวิธีวิเคราะห์ จากการทวนซ้ำ (repeatability) ที่ระดับความเข้มข้นต่างๆ ค่าเบี่ยงเบนมาตรฐานสัมพันธ์ที่ได้จากการทดสอบ (%RSD_r) และที่ได้จากการคำนวณจาก Horwitz's equation ที่ความเข้มข้นต่างๆ โดยใช้สมการ ฉ.1 ได้ expected %RSD_r และนำมาคำนวณ HORRAT จากสมการ ฉ.3 ผลการคำนวณแสดงในตารางที่ ฉ.2 พนว่าทุกแมทริกซ์และความเข้มข้น มีค่า HORRAT น้อยกว่า 2 แสดงว่าวิธีวิเคราะห์นี้มีความเที่ยง

ตารางที่ ฉ.2 แสดงผลการคำนวณ HORRAT ของแต่ละระดับความเข้มข้นในชนิดตัวอย่างต่างๆ

ชนิดตัวอย่าง	ความเข้มข้น ($\mu\text{g/kg}$)	C (concentration ratio)	Expected	RSD _r (%)	HORRAT
ข้าว	20	0.000000020	19.0	10.3	0.54
	400	0.000000400	12.1	3.7	0.31
	800	0.000000800	10.9	2.6	0.24
ข้าวโพด	20	0.000000020	19.0	8.6	0.45
	400	0.000000400	12.1	2.9	0.24
	800	0.000000800	10.9	4.5	0.41
มันผึ้ง	20	0.000000020	19.0	10.9	0.57
	400	0.000000400	12.1	5.4	0.45
	800	0.000000800	10.9	2.0	0.18
ถั่ว	30	0.00000003	17.9	5.2	0.29
	400	0.000000400	12.1	8.6	0.71
	800	0.000000800	10.9	4.9	0.45
ผลไม้	20	0.000000020	19.0	8.2	0.43
	400	0.000000400	12.1	4.5	0.37
	800	0.000000800	10.9	3.8	0.35
ขนมปัง	20	0.000000020	19.0	8.1	0.43
	400	0.000000400	12.1	3.3	0.27
	800	0.000000800	10.9	4.0	0.37
เมล็ดกาแฟ	20	0.000000020	19.0	10.2	0.54
	400	0.000000400	12.1	2.4	0.20
	800	0.000000800	10.9	1.9	0.17

การศึกษาความเที่ยง 2 รูปแบบ คือ การทวนซ้ำได้ และการทำซ้ำได้ เมื่อวิเคราะห์ตัวอย่าง SRM 2387 peanut butter ภายในวันเดียว และระหว่างวัน ค่าเบี่ยงเบนมาตรฐานสัมพัทธ์จากการทดลอง % RSD_r (ภายในวันเดียว) และ % RSD_R (ระหว่างวัน) และที่ได้จากการคำนวณจาก Horwitz's equation ที่ความเข้มข้นต่างๆ โดยใช้สมการ ฉ.1 และ ฉ.2 ตามลำดับ ได้ expected %RSD_r และ expected %RSD_R และนำมาคำนวณ HORRAT จากสมการ ฉ.3 ผลการคำนวณแสดงในตารางที่ ฉ.3 พบว่าการวิเคราะห์ภายในวันเดียวและระหว่างวัน มีค่า HORRAT น้อยกว่า 2 แสดงว่าวิเคราะห์หนึ่งมีความเที่ยงในการทวนซ้ำได้ (repeatability) และการทำซ้ำได้ (reproducibility)

**ตารางที่ ฉ.3 แสดงผลการคำนวณ HORRAT ของการวิเคราะห์ตัวอย่าง SRM 2387 peanut butter
ภายในวันเดียว (intra-day) และ ระหว่างวัน (inter-day)**

ชนิดตัวอย่าง	ความเข้มข้น	C (concentration ratio)	Expected %RSD _r	Expected %RSD _R	RSD _r (%)	RSD _R (%)	HORRAT
	($\mu\text{g/kg}$)						
Intra-day วันที่ 1	87.0	0.000000087	15.2	-	4.7	-	0.31
Intra-day วันที่ 2	87.0	0.000000087	15.2	-	3.3	-	0.22
Intra-day วันที่ 3	87.0	0.000000087	15.2	-	1.3	-	0.09
Intra-day วันที่ 4	87.0	0.000000087	15.2	-	2.4	-	0.16
Inter-day วันที่ 1-4	87.0	0.000000087	-	23.1	-	5.9	0.26

ฉ.2 เกณฑ์การยอมรับความแม่น (accuracy) [56]

ความแม่นของวิธีการที่แสดงในรูปเปอร์เซ็นต์คืนกลับ (%recovery) ซึ่งเกณฑ์การยอมรับเปอร์เซ็นต์คืนกลับ ได้มีแนวทางกำหนดจาก The AOAC Manual for the Peer Verified Methods Program (1993) ดังแสดงตาราง

ตารางที่ ฉ.4 เกณฑ์การยอมรับเปอร์เซ็นต์คืนกลับ (%recovery) ที่ระดับความเข้มข้นต่างๆ

ระดับความเข้มข้น	% recovery
100 %	98-102
> 10 %	98-102
> 1 %	97-103
> 0.1 %	95-105
100 ppm	90-107
10 ppm	80-110
1 ppm	80-110
100 ppb	80-110
10 ppb	60-115
1 ppb	40-120

ภาคผนวก ช.

การประเมินความถูกต้องและช่วงของความเชื่อมั่นของค่าเฉลี่ย

ช.1 การประเมินความถูกต้อง (Trueness) [56]

Trueness คือคุณสมบัติที่บ่งบอกว่า ผลการวิเคราะห์ใกล้เคียงกับค่าจริงมากน้อยแค่ไหน ความแตกต่างระหว่างค่าเฉลี่ยที่ได้จากการวิเคราะห์กับค่าจริงหรือค่าอ้างอิงเรียกว่า ความเบี่ยงเบน (bias) การประเมิน trueness ของวิเคราะห์จึงทำได้โดยการเปรียบเทียบผลจากการวิเคราะห์กับค่าจริงหรือค่าอ้างอิงโดยใช้สถิติที่เหมาะสม

การประเมิน trueness โดยเปรียบเทียบกับค่าจริงของ SRM โดยใช้สถิติ t-test ที่ระดับความเชื่อมั่น 95 % โดยคำนวณค่า t จาก

$$t = \frac{(\bar{x} - \mu)}{(SD / \sqrt{n})} \quad (\text{ช.1})$$

t เป็นอัตรส่วนระหว่าง bias ($= \bar{x} - \mu$) ซึ่งแสดงถึงความคลาดเคลื่อนแบบ systematic error กับ standard error $\left(\frac{SD}{\sqrt{n}} \right)$

μ คือ ค่าจริงหรือค่าอ้างอิง

\bar{x} คือ ค่าเฉลี่ยของผลการวิเคราะห์ n ครั้ง และ SD

เปรียบเทียบ ค่า t ที่ได้จากการคำนวณ กับค่า critical (t_c) จากตาราง ค่านี้ขึ้นอยู่กับ confidence level และค่า degree of freedom (df) ถ้า ค่า t น้อยกว่า t_c แสดงว่าไม่มีความแตกต่างอย่างมีนัยสำคัญ ระหว่าง ค่าจากการทดสอบกับค่าจริงหรือค่าอ้างอิง

การตรวจวิเคราะห์ตัวอย่าง SRM 2387 peanut butter ซึ่งระบุค่า reference concentration value ของสารอะคริลามิด เท่ากับ 87.0 ± 7.8 ไมโครกรัมต่อกรัม ทำการตรวจวิเคราะห์ตามขั้นตอนจำนวน 7 ชุด แสดงผลดังตาราง

ตารางที่ ช.1 แสดงปริมาณอะคริลาไมด์ในตัวอย่าง SRM2387 peanut butter

ลำดับ	ปริมาณอะคริลาไมด์ (ไมโครกรัมต่อกิโลกรัม)
1	91.4
2	79.5
3	81.6
4	83.7
5	82.3
6	85.9
7	81.5
ค่าเฉลี่ย	83.7
SD	3.9

$$\text{การคำนวณค่า } t = \frac{|83.7 - 87.0|}{(3.9 / \sqrt{7})} = 2.2$$

ค่า t_c จากตารางที่ ช.2 โดยเลือก $df = n-1 = 6$ และที่ระดับความเชื่อมั่น 95 % ได้ค่า t_c เท่ากับ 2.45 หากการคำนวณโดยไม่ต้องคำนึงถึงครึ่งของหมาย เมื่อเปรียบเทียบกับค่า t_c พบร้า $t < t_c$ แสดงว่าค่าที่ได้จากการวิเคราะห์ด้วยวิธีที่กำลังตรวจสอบความถูกต้องนั้นไม่แตกต่างจากค่าที่ได้รับรองระบุอย่างมีนัยสำคัญ ที่ระดับความเชื่อมั่น 95 % และว่า trueness ของวิธีนี้ยอมรับได้

ช.2 การหาช่วงของความเชื่อมั่น (confidence interval) ของค่าเฉลี่ย [56]

การวิเคราะห์วัดถูกตัวอย่างซ้ำๆ กันหลายครั้งทำให้เราทราบค่า \bar{x} ซึ่งเป็นค่าประมาณของ μ

$$CI = \bar{x} \pm \frac{t * SD}{\sqrt{n}} \quad (\text{ช.2})$$

จากตารางที่ ช.1 ค่าเฉลี่ยของผลการวิเคราะห์ เท่ากับ 83.7 ไมโครกรัมต่อกิโลกรัม SD เท่ากับ 3.9 และ n เท่ากับ 7 ซึ่ง t ได้จากตารางที่ ช.2 โดยเลือกที่ระดับความเชื่อมั่น 95% และ df เท่ากับ 6 ได้ค่า t_c เท่ากับ 2.45

$$\text{ดังนั้น } CI = 83.7 \pm \frac{2.45 * 3.9}{\sqrt{7}} = 83.7 \pm 3.6 \text{ ไมโครกรัมต่อกิโลกรัม}$$

ตารางที่ ๗.๒ The t-distribution (two-tailed)

Degree of freedom	Confidence level			
	90%	95%	98%	99%
1	6.31	12.71	31.82	63.66
2	2.92	4.30	6.96	9.92
3	2.35	3.18	4.54	5.84
4	2.13	2.78	3.75	4.60
5	2.02	2.57	3.36	4.03
6	1.94	2.45	3.14	3.71
7	1.89	2.36	3.00	3.50
8	1.86	2.31	2.90	3.36
9	1.83	2.26	2.80	3.25
10	1.81	2.23	2.76	3.17
12	1.78	2.18	2.68	3.05
14	1.76	2.14	2.62	2.98
16	1.75	2.12	2.58	2.92
18	1.73	2.10	2.55	2.88
20	1.72	2.09	2.53	2.85
30	1.70	2.04	2.46	2.75
50	1.68	2.01	2.40	2.68
α	1.64	1.96	2.33	2.58

ภาคผนวก ๗.

การศึกษาการสูญเสียอะคริลามีด์เมื่อเป่าแห้ง

๗.๑ กรณีที่ไม่ใช้ d_3 -อะคริลามีด์เป็นอินเทอร์นอลสแตนดาร์ด

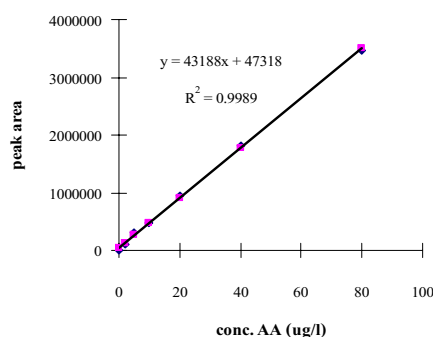
ขั้นตอนการทดลอง

เตรียมสารละลายตัวอย่างเติมสารละลายมาตรฐานอะคริลามีด์ในสารละลายผสม เมทานอลในน้ำ 70 % โดยปริมาตรให้มีเข้มข้น 40 ไมโครกรัมต่อลิตร (ไม่มีอินเทอร์นอลสแตนดาร์ด) เตรียมจำนวน 3 ช้อน (No. 1-3) นำสารละลายที่เตรียมจำนวน 0.7 มิลลิลิตร ลงในขวด derivatize เป่าให้แห้งด้วยแก๊สไนโตรเจนหรือให้เหลือน้อยกว่า 20 ไมโครลิตร จากนั้นเติมน้ำ จำนวน 0.7 มิลลิลิตร ปิดฝา ปั่นด้วยเครื่องผสมสารสำหรับหลอดทดลองประมาณ 1 นาที กรองสารละลายที่ได้ผ่าน syring filter ชนิดในลอนขนาด 0.45 ไมครอน นำไปตรวจวิเคราะห์ด้วย LC-ESI-MS/MS

ผลการศึกษา

สร้างกราฟมาตรฐานของความสัมพันธ์ระหว่างพื้นที่ได้พิคของสารที่สนใจ ($m/z 72/55$) กับ ความเข้มข้นของสารละลายมาตรฐาน โดยใช้สมการถดถอย (regression line) โดยวิธีกำลังสอง น้อยที่สุด (the method of least squares) ได้สมการ $y = 43188x + 47318$ สัมประสิทธิ์การตัดสินใจ (R^2) = 0.9989

ความเข้มข้นของอะคริลามีด์ ($\mu\text{g/l}$)	พื้นที่ได้พิคของอะคริลามีด์ ($m/z 72/55$)
0	0
2	93800
5	311000
10	470000
20	947000
40	1820000
80	3470000



ผลการวิเคราะห์

	พื้นที่ได้พิคของอะคริลามีด์ ($m/z 72/55$)	ความเข้มข้นของอะคริลามีด์ จากกราฟมาตรฐาน ($\mu\text{g/l}$)
สารละลายตัวอย่าง No.1	1350000	30.2
สารละลายตัวอย่าง No. 2	1340000	29.9
สารละลายตัวอย่าง No. 3	1240000	27.6
	เฉลี่ย	29.2
	% recovery	73.0

๗.๒ กรณีที่ใช้ ${}^2\text{d}_3$ -อะคริลาไมด์เป็นอินเทอร์นอลสแตนดาร์ด

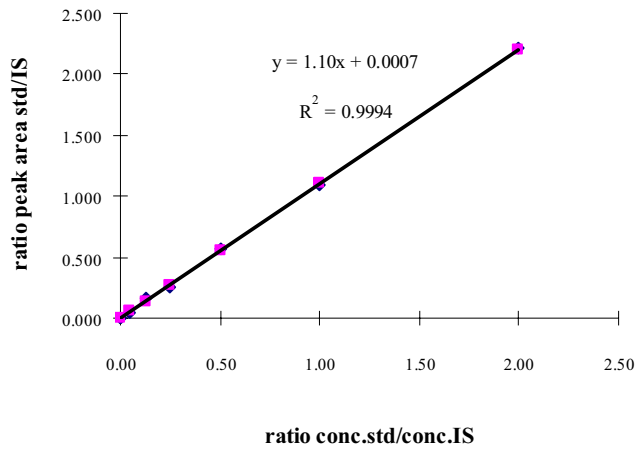
ขั้นตอนการทดลอง

เตรียมสารละลายน้ำตัวอย่างเติมสารละลามาตรฐานอะคริลาไมด์ในสารละลายน้ำเมทานอลในน้ำ 70 % โดยปริมาตรให้มีเข้มข้น 40 ไมโครกรัมต่อลิตร และ ${}^2\text{d}_3$ -อะคริลาไมด์ เข้มข้น 40 ไมโครกรัมต่อลิตร เตรียมจำนวน 3 ชั้ง (No.I-III) นำสารละลายน้ำตัวอย่างที่เตรียมจำนวน 0.7 มิลลิลิตร ลงในขวด derivatize เป้าให้แห้งด้วยแก๊สไนโตรเจนหรือให้เหลือน้อยกว่า 20 ไมโครลิตร จากนั้นเติมน้ำจำนวน 0.7 มิลลิลิตร ปิดฝา ปั่นด้วยเครื่องผสมสารสำหรับหลอดทดลองประมาณ 1 นาที กรองสารละลายน้ำตัวอย่างผ่าน syring filter ชนิดไนلونขนาด 0.45 ไมครอน นำไปตรวจวิเคราะห์ด้วย LC-ESI-MS/MS

ผลการศึกษา

สร้างกราฟมาตรฐานระหว่างอัตราส่วนของพื้นที่ได้พีคของสารละลายน้ำต่ออินเทอร์นอลสแตนดาร์ด (แกน y) และอัตราส่วนของความเข้มข้นสารละลายน้ำต่ออินเทอร์นอลสแตนดาร์ด (แกน x) ได้สมการ $y = 1.10x + 0.0007$ สัมประสิทธิ์การตัดสินใจ (R^2) = 0.9994

ความเข้มข้นของอะคริลาไมด์ ($\mu\text{g/l}$)	ความเข้มข้นของ ${}^2\text{d}_3$ -อะคริลาไมด์ (IS) ($\mu\text{g/l}$)	อัตราส่วนของความเข้มข้น	พื้นที่ได้พีคของอะคริลาไมด์ ($m/z 72/55$)	พื้นที่ได้พีคของ ${}^2\text{d}_3$ -อะคริลาไมด์ (IS) ($m/z 75/58$)	อัตราส่วนของพื้นที่ได้พีค
0	40	0.00	0	2160000	0.000
2	40	0.05	93800	2010000	0.047
5	40	0.12	311000	1840000	0.169
10	40	0.25	470000	1900000	0.247
20	40	0.50	947000	1670000	0.567
40	40	1.00	1820000	1660000	1.096
80	40	2.00	3470000	1570000	2.210



ผลการวิเคราะห์

	ความเข้มข้นของ $^{2}d_3$ -อะคริลามีด ($\mu\text{g/l}$)	พื้นที่ได้พีคของ อะคริลามีด (m/z 72/55)	พื้นที่ได้พีคของ $^{2}d_3$ -อะคริลามีด (m/z 75/58)	อัตราส่วนของ พื้นที่ได้พีค	ความเข้มข้นที่ คำนวณได้ ($\mu\text{g/l}$)
สารละลายตัวอย่าง No. I	40	1310000	1170000	1.120	40.7
สารละลายตัวอย่าง No. II	40	1340000	1240000	1.081	39.3
สารละลายตัวอย่าง No. III	40	1320000	1200000	1.100	40.0
			เฉลี่ย		40
			% recovery		100

ภาครหบก ณ.
ผลการตรวจวิเคราะห์ปริมาณอะคริลามีดในอาหาร

ณ.1 ขั้นตอนเบื้องต้นของกระบวนการบรรจุของ

ตารางที่ ณ.1 ปริมาณอะคริลามีดในขั้นตอนเบื้องต้นของกระบวนการบรรจุของ โดยแบ่งเป็นประเภทต่างๆตามวัตถุคุณภาพ

ปริมาณอะคริลามีด (ไมโครกรัมต่อกิโลกรัม)					
ข้าวและ แป้งจากข้าว	ข้าวโพดและ แป้งข้าวโพด	มันฝรั่ง แป้งมันฝรั่ง	มันชนิดอื่นๆ	อื่นๆและ เมล็ดพืช	
26.3	31.8	604	363	141	
88.3	488	897	60.9	48.4	
276	202	1,336	78.3	28.3	
439	น้อยกว่า 20.0	2,016	85.7	ไม่พบ	
57.0	95.8	3,466		น้อยกว่า 30.0	
20.1	22.7	701		น้อยกว่า 30.0	
761	ไม่พบ	528		น้อยกว่า 30.0	
59.2	63.6	2,676		45.1	
ไม่พบ	57.7	1,398		131	
น้อยกว่า 20.0	43.2			49.0	
81.4	25.5			60.0	
75	47.1			ไม่พบ	
296	108			43.0	
23.4	200				
	95.0				
	57.2				
	41.5				
จำนวนตัวอย่าง	14	17	9	4	13
ค่าต่ำสุด ($\mu\text{g/kg}$)	ไม่พบ	ไม่พบ	528	60.9	ไม่พบ
ค่าสูงสุด ($\mu\text{g/kg}$)	761	488	3,466	363	141
ค่าเฉลี่ยฐาน ($\mu\text{g/kg}$)	67.1	57.2	1,336	82	43.0

๘.๒ ขนມหรือของว่างไทย

ตารางที่ ๘.๒ ปริมาณอะคริลามีด์ในขนມหรือของว่างไทยโดยแบ่งเป็นประเภทต่างๆตามวัตถุคุณภาพ

ปริมาณอะคริลามีด์ (ไมโครกรัมต่อกรัม)			
ชื่อและแป้งจากข้าว	มัน เม็ด	ตัว	
44.0	70.7	53.7	
259	136	น้อยกว่า 30.0	
น้อยกว่า 20.0	457	น้อยกว่า 30.0	
น้อยกว่า 20.0	24.8	53.9	
น้อยกว่า 20.0	50.6	33.8	
58.9	34.9	34.7	
30.6	496	56.0	
137	56.2	น้อยกว่า 30.0	
139			
240			
น้อยกว่า 20.0			
21.9			
41			
65.3			
207			
27.3			
29.3			
286			
347			
219			
40.5			
น้อยกว่า 20.0			
น้อยกว่า 20.0			
น้อยกว่า 20.0			
24.2			
37.8			
น้อยกว่า 20.0			
98.7			
117			
49.4			
272			
166			
จำนวนตัวอย่าง	32	8	8
ค่าต่ำสุด ($\mu\text{g/kg}$)	น้อยกว่า 20.0	24.8	น้อยกว่า 30.0
ค่าสูงสุด ($\mu\text{g/kg}$)	347	496	56
ค่ามัธยฐาน ($\mu\text{g/kg}$)	42.5	63.4	34.2

๘.๓ ขنمปง บสกิต แครกเกอร์ คุกคี้และเวเฟอร์

ตารางที่ ๘.๓ ปริมาณอะคริลามีด์ในขنمปง บสกิต แครกเกอร์ คุกคี้และเวเฟอร์

ปริมาณอะคริลามีด์ (ไมโครกรัมต่อกรัม)	
	486
	403
น้อยกว่า 20.0	
	22.8
	266
	171
	240
	39.3
ไม่พบ	
	23.7
	45.2
	97.2
	123
น้อยกว่า 20.0	
	ไม่พบ
น้อยกว่า 20.0	
	ไม่พบ
	24.0
	111
	55.6
	234
น้อยกว่า 20.0	
	134
	303
จำนวนตัวอย่าง	24
ค่าต่ำสุด ($\mu\text{g/kg}$)	ไม่พบ
ค่าสูงสุด ($\mu\text{g/kg}$)	486
ค่ามัธยฐาน ($\mu\text{g/kg}$)	50.4

ณ.4 เฟรนฟรายด์

ตารางที่ ณ.4 ปริมาณอะคริลาไมด์ในเฟรนฟรายด์

ปริมาณอะคริลาไมด์ (ไมโครกรัมต่อกิโลกรัม)	
	220
	482
จำนวนตัวอย่าง	2
ค่าต่ำสุด ($\mu\text{g/kg}$)	220
ค่าสูงสุด ($\mu\text{g/kg}$)	482
ค่ามัธยฐาน ($\mu\text{g/kg}$)	351

ณ.5 ช็อปปิ้งอาหารเช้า

ตารางที่ ณ.5 ปริมาณอะคริลาไมด์ในช็อปปิ้งอาหารเช้า

ปริมาณอะคริลาไมด์ (ไมโครกรัมต่อกิโลกรัม)	
	28.6
	44.6
	154
จำนวนตัวอย่าง	3
ค่าต่ำสุด ($\mu\text{g/kg}$)	28.6
ค่าสูงสุด ($\mu\text{g/kg}$)	154
ค่ามัธยฐาน ($\mu\text{g/kg}$)	44.6

ณ.6 บะหมี่กึ่งสำเร็จรูป

ตารางที่ ณ.6 ปริมาณอะคริลาไมด์ในบะหมี่กึ่งสำเร็จรูป

ปริมาณอะคริลาไมด์ (ไมโครกรัมต่อกิโลกรัม)	
	136
	166
	203
	190
	137
	103
จำนวนตัวอย่าง	6
ค่าต่ำสุด ($\mu\text{g/kg}$)	103
ค่าสูงสุด ($\mu\text{g/kg}$)	203
ค่ามัธยฐาน ($\mu\text{g/kg}$)	152

ณ.7 ผักและผลไม้ที่ผ่านกระบวนการให้ความร้อน

ตารางที่ ณ.7 ปริมาณอะคริลามีด์ในผักและผลไม้ที่ผ่านกระบวนการให้ความร้อน

ปริมาณอะคริลามีด์ (ไมโครกรัมต่อกิโลกรัม)	
152	
34.0	
60.4	
น้อยกว่า 20.0	
628	ไม่พบ
32.8	ไม่พบ
315	ไม่พบ
น้อยกว่า 20.0	ไม่พบ
35.7	ไม่พบ
น้อยกว่า 20.0	ไม่พบ
18	
ค่าต่ำสุด ($\mu\text{g/kg}$)	ไม่พบ
ค่าสูงสุด ($\mu\text{g/kg}$)	628
ค่ามัธยฐาน ($\mu\text{g/kg}$)	น้อยกว่า 20.0

ณ.8 กาแฟสำเร็จรูป

ตารางที่ ณ.8 ปริมาณอะคริลามีด์ในการกาแฟสำเร็จรูป

ปริมาณอะคริลามีด์ (ไมโครกรัมต่อกิโลกรัม)	
37.2	
409	
404	
3	
37.2	
409	
404	

ประวัติผู้เขียน

ชื่อ-นามสกุล นางสาวพนาวัลย์ กลึงกล่างตอน
วัน เดือน ปีเกิด 8 ตุลาคม พ.ศ. 2516 ที่จังหวัดนราธิวาส
ที่อยู่ 64/100 ซอยข้างซอยสถาบันบำราศนราดูร ถ. ติวนันท์ ต.ตลาดขวัญ¹
อ. เมือง จ. นนทบุรี 11000 โทร 0-2951-1466

ประวัติการศึกษา 2538 วิทยาศาสตรบัณฑิต สาขาวิชามหาวิทยาลัยมหาสารคาม

ประสบการณ์การทำงาน

พ.ศ. 2538 -2540 ตำแหน่งนักเคมี บริษัทแอช.เค. ฟาร์มาซูติคัล จำกัด

พ.ศ. 2540 –ปัจจุบัน รับราชการ ตำแหน่งนักวิทยาศาสตร์การแพทย์ 6ว

สำนักคุณภาพและความปลอดภัยอาหาร

กรมวิทยาศาสตร์การแพทย์ กระทรวงสาธารณสุข

ผลงานวิจัย

- ผู้ร่วมวิจัยเรื่อง “สถานการณ์สารบอแรกซ์ในอาหาร” วารสารวิชาศาสตร์สิ่งแวดล้อม ปีที่ 1 (ก.ค-ธ.ค) พ.ศ. 2542
- ผู้ร่วมวิจัยเรื่อง “การพัฒนาฐานแบบชุดทดสอบกรดแร่/oิสระในน้ำส้มสายชู” การประชุมวิชาการงานคุ้มครองผู้บริโภคด้านผลิตภัณฑ์สุขภาพ สำนักงานคณะกรรมการอาหารและยา พ.ศ. 2542
- ผู้ร่วมวิจัยเรื่อง “โครงการผลิตซอสปรุงรสเพื่อลดสาร 3-MCPD” การประชุมวิชาการ วิทยาศาสตร์การแพทย์แห่งชาติ พ.ศ. 2544
- ผู้ร่วมวิจัยเรื่อง “การสำรวจวิจัยปริมาณสาร 3-MCPD ในผลิตภัณฑ์ปรุงรสในประเทศไทย” การประชุมวิชาการกรมวิทยาศาสตร์การแพทย์ ครั้งที่ 13 พ.ศ. 2545
- ผู้ร่วมวิจัยเรื่อง “การศึกษาปริมาณโลหะเป็นพิษที่คนไทยบริโภคจริงต่อวัน ปี พ.ศ. 2542- 2544” วารสารกรมวิทยาศาสตร์การแพทย์ ปีที่ 47 ฉบับที่ 4 พ.ศ. 2548
- ผู้ร่วมวิจัยเรื่อง “สถานการณ์การปนเปื้อนสาร 3-MCPD ในผลิตภัณฑ์ปรุงรสที่ผลิตในประเทศไทย” วารสารกรมวิทยาศาสตร์การแพทย์ ปีที่ 48 ฉบับที่ 2 พ.ศ. 2549